

Dan Ștefănescu



Clădiri civile

**Editura Societății Academice „Matei - Teiu Botez”
Iași, 2007**

Referenți: Prof. univ. dr. ing. Adrian Radu
Universitatea Tehnică „Gheorghe Asachi” Iași
Prof. univ. dr. ing. Alexandru Vereș
Universitatea Tehnică „Gheorghe Asachi” Iași

Descrierea CIP a Bibliotecii Naționale a României

ȘTEFĂNESCU, DAN

Clădiri civile / Dan Ștefănescu

Iași, Editura Societății Academice „Matei - Teiu Botez”, 2007

ISBN 978-973-8955-11-0

624

Editura Societății Academice „Matei - Teiu Botez”
B-dul Dumitru Mangeron nr. 43

Director: Prof. univ. dr. ing. Constantin Ionescu,
e-mail: cionescu@ce.tuiasi.ro

Editare computerizată: Dan Ștefănescu

Copertă: Dan Ștefănescu

Cuprins

Prefață	5
1. Introducere în teoria și tehnica construcțiilor	8
1.1. Clasificarea construcțiilor.....	8
1.2. Elementele constitutive ale clădirilor.....	12
1.3. Exigențe și performanțe în construcții	14
1.3.1. Noțiuni introductive	14
1.3.2. Exigențe de performanță pentru clădiri civile	17
1.3.3. Aprecierea calității clădirilor	20
1.4. Coordonare dimensională și toleranțe în construcții	21
1.4.1. Scurt istoric	21
1.4.2. Coordonarea modulară.....	23
1.4.2.1. Definiții	23
1.4.2.2. Sistemul de referință modular	25
1.4.3. Tipizarea elementelor de construcții	29
1.4.4. Toleranțe și abateri în construcții	29
2. Elemente de siguranța construcțiilor	34
2.1. Metode deterministe.....	35
2.1.1. Metoda rezistențelor admisibile	36
2.1.2. Metoda de calcul la rupere	37
2.2. Metoda semiprobabilistică a stărilor limită	38
3. Acțiuni în construcții	42
3.1. Clasificarea acțiunilor	43
3.2. Intensitatea acțiunilor.....	44
3.3. Acțiuni permanente	45

3.4. Acțiuni temporare	48
3.4.1. Acțiuni temporare cvasipermanente	48
3.4.2. Acțiuni temporare variabile	49
3.4.2.1. Încărcări utile	49
3.4.2.2. Acțiunea zăpezii	50
3.4.2.3. Acțiunea vântului	56
3.4.2.4. Acțiunea variațiilor de temperatură	71
3.5. Acțiunea seismică	75
3.5.1. Generalități	75
3.5.2. Evaluarea sarcinii seismice orizontale	81
3.5.2.1. Metoda forțelor seismice statice echivalente	84
3.5.2.2. Metoda de calcul modal cu spectre de răspuns	92
3.5.3. Principii de conformare antiseismică	94
3.6. Gruparea încărcărilor	95
3.6.1. Gruparea încărcărilor în cazul stărilor limită ultime	95
3.6.2. Gruparea încărcărilor în cazul stărilor limită de serviciu	98
4. Elemente de mecanica zidărilor	100
4.1. Generalități	100
4.2. Clasificarea zidărilor	101
4.3. Principii generale de alcătuire a zidărilor	103
4.4. Proprietăți mecanice ale zidărilor	105
4.4.1. Comportarea zidăriei supuse la compresiune	105
4.4.2. Rezistența zidăriei la compresiune	110
4.4.3. Rezistența zidăriei la întindere	111
4.4.4. Rezistența zidăriei la forfecare	113
4.4.5. Rezistența zidăriei la strivire	114
4.5. Deformațiile zidărilor	115
4.5.1. Modulul de elasticitate	115
4.5.2. Flambajul elementelor de zidărie	119
4.6. Calculul secțiunilor de zidărie simplă	121
4.6.1. Compresiunea centrică	122
4.6.2. Compresiunea excentrică	123
4.6.3. Compresiunea locală (strivirea)	128
4.6.4. Forfecarea	129
4.6.5. Încovoierea simplă	130

5. Higrotermica clădirilor	131
5.1. Considerații generale	131
5.2. Transmisia căldurii	134
5.2.1. Noțiuni fundamentale	134
5.2.2. Transferul căldurii prin conducție	141
5.2.2.1. Mecanismul fenomenului	141
5.2.2.2. Legea lui Fourier	141
5.2.2.3. Coeficientul de conductivitate termică	146
5.2.3. Transmisia căldurii prin convecție	149
5.2.3.1. Mecanismul fenomenului	149
5.2.3.2. Legea lui Newton	150
5.2.3.3. Coeficientul de transfer termic de suprafață	152
5.2.4. Transmisia căldurii prin radiație	153
5.2.4.1. Mecanismul fenomenului	153
5.2.4.2. Relația lui Stefan–Boltzmann	154
5.2.5. Noțiunea de rezistență termică unidirecțională	156
5.2.6. Transmisia căldurii prin conducție la structuri în mai multe straturi paralele	159
5.2.7. Transferul global de căldură	161
5.2.8. Transmisia căldurii prin conducție în regim nestaționar	164
5.2.8.1. Ecuația diferențială a conducției termice	164
5.2.8.2. Mărimi caracteristice privind regimul termic variabil	166
5.2.9. Condiții de unicitate	170
5.2.10. Rezolvarea numerică a problemelor de câmp termic	173
5.2.10.1. Generalități	173
5.2.10.2. Metoda diferențelor finite	174
5.2.10.3. Metoda elementelor finite	178
5.2.10.4. Programe de calcul	181
5.2.10.5. Exemplu de calcul	187
5.2.11. Rezistența termică a elementelor cu punți	195
5.2.11.1. Punți termice	195
5.2.11.2. Conceptul de rezistență termică specifică corectată	197
5.2.11.3. Coeficienții liniari și punctuali de transfer termic	202
5.2.12. Coeficientul global de izolare termică	209
5.3. Transferul de masă	214
5.3.1. Mecanismul transferului de masă	214
5.3.2. Ecuația diferențială a transferului de masă	215

5.3.3. Umiditatea construcțiilor	216
5.3.3.1. Surse de umiditate	216
5.3.3.2. Umiditatea aerului	217
5.3.3.3. Umiditatea materialelor	218
5.3.4. Aprecierea prin calcul a riscului la condens	219
5.3.4.1. Condensul pe suprafața interioară.....	221
5.3.4.2. Condensul în interiorul elementelor	222
6. Noțiuni de acustica construcțiilor	230
6.1. Generalități	230
6.2. Sunetul ca fenomen fizic	232
6.2.1. Unde acustice	232
6.2.2. Caracteristici de bază ale sunetului	235
6.3. Sunetul ca fenomen fiziologic	238
6.4. Absorbția acustică. Reverberația	241
6.4.1. Absorbția acustică	241
6.4.2. Reverberația	242
6.5. Determinarea caracteristicilor de izolare acustică	242
6.5.1. Zgomote aeriene	242
6.5.2. Zgomote de impact	245
6.6. Măsuri de atenuare a zgomotelor	247
6.6.1. Reducerea zgomotelor prin măsuri urbanistice.....	247
6.6.2. Reducerea zgomotelor prin izolare acustică	248
6.6.3. Tratamente acustice absorbante	251
6.7. Elemente de acustica sălilor	255
6.7.1. Acustica geometrică.....	255
6.7.2. Absorbția acustică	257
6.7.3. Reverberația	257
6.7.4. Elemente de proiectare acustică a sălilor	258
Minidicționar tehnic de construcții	261
Indexul termenilor	289
Indexul simbolurilor	299
Bibliografie	315

Prezenta lucrare constituie un curs universitar destinat în primul rând studenților secției de „Construcții civile”, dar și cursanților din cadrul programelor de studii postuniversitare, inginerilor constructori proiectanți, arhitecților etc.

Ca structură, lucrarea se înscrie pe linia clasică a cursurilor de construcții civile predate de-a lungul anilor în cadrul Facultății de Construcții din Iași. S-a urmărit însă punerea la zi a subiectelor tratate, ținându-se cont de noile reglementări tehnice apărute în cursul ultimului deceniu, în contextul mai larg al alinierii la normativele europene (eurocoduri).

Capitolul 1 al cărții este o introducere succintă în teoria și tehnica construcțiilor, cuprinzând clasificarea acestora, descrierea generală a elementele constitutive ale clădirilor, probleme legate de noțiunile de exigență și performanță în domeniul construcțiilor, coordonarea dimensională și toleranțe.

Capitolul 2 include unele elemente de siguranță a construcțiilor: definirea conceptului, metodele deterministe de calcul și metoda semiprobabilistică a stărilor limită.

Capitolul 3, dedicat acțiunilor în construcții, cuprinde definirea și clasificarea acțiunilor, precum și modul de apreciere prin calcul a principalelor tipuri de acțiuni permanente, variabile și accidentale (excepționale). Pentru calculul încărcărilor din vânt (Cod NP-082-04) și din zăpadă (Cod CR 1-1-3–2005) au fost utilizate ultimele normative românești, elaborate în concordanță cu eurocodurile corespunzătoare. De asemeni, pentru încărcarea seismică s-a utilizat noul cod de proiectare antisismică P100–1/2004, ce corespunde Eurocodului 8 (SR EN 1998–1/2004). În final, sunt prezentate noile reglementări introduse pentru gruparea efectelor acțiunilor, conform Codului CR 0–2005.

Capitolul 4 prezintă elementele de bază din domeniul mecanicii zidărilor: clasificare, principii generale de alcătuire, proprietățile mecanice, deformațiile zidărilor, calculul secțiunilor de zidărie simplă.

Capitolul 5, cel mai dezvoltat din cadrul lucrării, analizează problematica legată de procesele de transfer de căldură și de masă prin elementele de construcții. Sunt descrise, într-o manieră intuitivă, mecanismul și relațiile fundamentale de calcul ce stau la baza fiecărui mod de transfer termic. De asemeni, sunt prezentate principalele modalități de abordare a calculelor pe baza modelărilor numerice cu ajutorul programelor specializate.

Un subcapitol separat este destinat particularităților privind aprecierea caracteristicilor elementelor cu punți termice. Este definit și explicat conceptul de „rezistență termică specifică corectată” și este indicată modalitatea prin care se poate ajunge la relația de calcul a acestei mărimi. De asemeni, sunt introduse noțiunile de coeficient de transfer termic liniar și punctual, sunt date definițiile și interpretarea fizică a acestora (ce lipsesc din normativele românești actuale), și este introdusă o modalitate alternativă originală de calcul.

Este prezentată pe larg noțiunea de „coeficient global de izolare termică” și modul de calcul al acestuia, în cazul clădirilor de locuit.

Ultimul punct al capitolului se referă la transferul de masă în elementele de construcții: mecanismul fenomenului, ecuația diferențială a transferului de masă, verificarea riscului la condens pe suprafața interioară și în interiorul elementelor.

Capitolul 6 tratează o serie de noțiuni specifice acusticii construcțiilor: sunetul ca fenomen fizic și fiziologic, determinarea caracteristicilor de izolare acustică, măsuri de atenuare a zgomotelor, elemente de acustica sălilor.

La final, lucrarea mai cuprinde un minidicționar al principalilor termeni tehnici specifici ingineriei clădirilor civile, indexul termenilor de specialitate, indexul simbolurilor (notațiilor) folosite, precum și o bibliografie selectivă.

În cadrul cărții s-a încercat îmbinarea rigorii științifice cu o serie de comentarii și observații intuitive, unele rezultate din numeroasele discuții avute cu D-nul profesor Adrian Radu, în urma cărora îmi dau întodeauna seama că mai am de învățat, altele preluate din interesanta carte a lui Mario Salvadori – „Mesajul structurilor”. Prin numeroasele figuri, fotografii, grafice, tabele s-a urmărit ușurarea procesului de înțelegere a noțiunilor discutate și realizarea unei prezentări cu un aspect atrăgător.

Autorul

Capitolul 1

Introducere în teoria și tehnica construcțiilor

O parte însemnată a activității pe care o desfășoară societatea, pentru transformarea naturii și asigurarea condițiilor de existență, are ca scop realizarea de construcții. Din cele mai vechi timpuri oamenii au fost nevoiți să execute adăposturi și treptat numeroase alte tipuri de construcții, din ce în ce mai complexe și mai perfecționate.

În ansamblu, producția de construcții cuprinde obiecte fixe pe teren, care se deosebesc astfel de celelalte produse realizate de societate. Orice obiect – un scaun, un aspirator, o mașină etc. – este produs într-o unitate specializată. Această fabrică este fixă, pe când produsul, care pleacă spre cumpărători, este mobil. În industria construcțiilor lucrurile se petrec invers: fabrica de case – șantierul – este mobil, în timp ce produsele realizate – construcțiile – rămân fixe.

1.1. Clasificarea construcțiilor

Cea mai generală clasificare împarte construcțiile în două mari categorii: clădiri și lucrări ingineresti (Fig. 1.1).

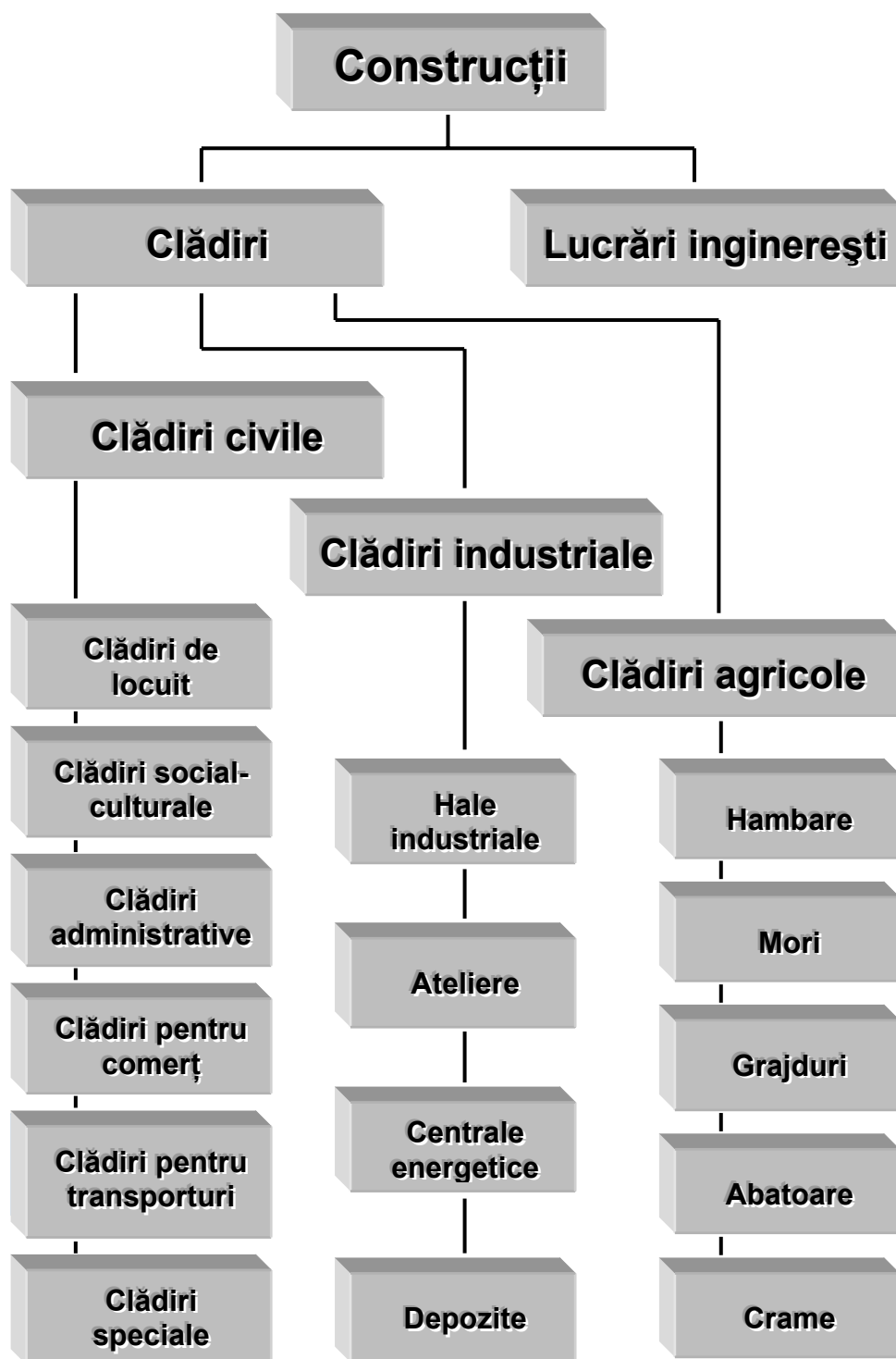


Fig. 1.1. Clasificarea construcțiilor

Clădirile au funcția principală de a servi ca adăpost pentru oameni în timpul perioadelor de muncă, destindere sau odihnă și pentru bunurile acestora, precum și pentru procesele tehnologice.

Lucrările ingineresti sunt toate celelalte construcții: drumuri, căi ferate, poduri, rezervoare, coșuri de fum, turnuri, canale etc.

La rândul lor clădirile, funcție de destinație, se împart după cum urmează (Fig. 1.1).

a. Clădiri civile – în această categorie intră acele clădiri ce nu servesc producției.

Există următoarele tipuri principale de clădiri civile:

- clădiri de locuit (individuale, blocuri de apartamente, cămine, hoteluri, case de odihnă etc.);
- clădiri social – culturale (sociale: spitale, case de cultură, săli de sport; culturale: teatre, muzee, biblioteci, cinematografe; de învățământ: universități, școli; religioase: catedrale, biserici, mănăstiri etc.);
- clădiri administrative (sediile instituțiilor, sediile companiilor, birourile, tribunalele etc.);
- clădiri pentru comerț (magazine, bănci etc.);
- clădiri pentru transporturi (gări, autogări, aerogări, depouri etc.);
- clădiri cu destinații speciale (militare, funerare etc.).

b. Clădiri industriale – se consideră cele destinate producției: hale industriale, ateliere, centrale energetice, depozite etc.

c. Clădiri agricole – sunt destinate producției agricole: hambare, mori, grajduri, abatoare, crame etc.

În raport cu deformabilitatea sub acțiunea sarcinilor exterioare există trei tipuri de clădiri.

a. Clădiri cu structură rigidă

Sunt clădirilor la care deplasările laterale (orizontale) sunt relativ mici, fiind produse în special de forțele tăietoare. Aceste construcții au perioadele proprii de vibrație mici ($T \leq 0,25 \dots 0,50$ s). În această categorie intră clădirile cu structura de rezistență alcătuită din pereți portanți din beton armat sau din zidărie de cărămidă.

b. Clădiri cu structură flexibilă

În acest caz deplasările laterale sunt mai mari, fiind rezultatul efectului dominant al momentelor încovoietoare. Perioadele proprii de vibrație sunt în general $T \geq 0,80 \dots 1,20$ s. Construcții cu structura formată din cadre de beton armat, de oțel sau de lemn se încadrează în categoria construcțiilor cu structură flexibilă.

c. Clădiri cu structură semiflexibilă

Deplasările laterale sunt rezultatul efectului combinat al forțelor tăietoare și al momentelor încovoietoare. Perioadele proprii de vibrație se înscriu de regulă în intervalul $T = 0,25 \dots 1,20$ s. În această categorie intră clădirile alcătuite din cadre de beton armat rigidizate cu pereți de umplutură din zidărie masivă sau cu pereți din beton armat.

Funcție de importanță există trei tipuri de clădiri civile.

a. Clădiri civile de importanță deosebită:

- clădiri de primă necesitate cu rol de menținere a unor activități vitale, economice și sociale (spitale mari, centrale de telecomunicații, gări, cazărmi de pompieri etc.);

- clădiri în care se află frecvent un număr mare de oameni (cinematografe, teatre, case de cultură), sau cu valoare mare (muzee, monumente etc.);

b. Clădiri civile de importanță medie – sunt constituite de imobilele curente: clădiri de locuit, social-culturale, administrative etc.;

c. Clădiri de importanță redusă (construcții provizorii).

Lucrările ingineresti sunt foarte diverse, cele mai importante fiind (Fig. 1.2):

a. construcții speciale industriale: rezervoare, castele de apă, silozuri etc.;

b. construcții speciale pentru transporturi: drumuri, căi ferate, tuneluri și stații pentru metrouri, funiculare etc.;

c. construcții speciale pentru transporturi pe apă: canale navigabile, ecluze, porturi etc.;

d. construcții speciale pentru continuitatea transporturilor, numite și lucrări de artă: poduri, tuneluri, viaducte, ziduri de sprijin etc.;

e. construcții hidrotehnice: baraje și lucrări aferente acestora;

f. construcții pentru îmbunătățiri funciare și regularizarea cursurilor de apă: irigații, desecări, taluzuri, protecția malurilor etc.

1.2. Elementele constitutive ale clădirilor

a. Structura de rezistență – este alcătuită din acele elemente de construcție care preiau încărcările mecanice, determinând capacitatea portantă a clădirii: pereți portanți, planșee, cadre, stâlpi, grinzi, fundații etc.

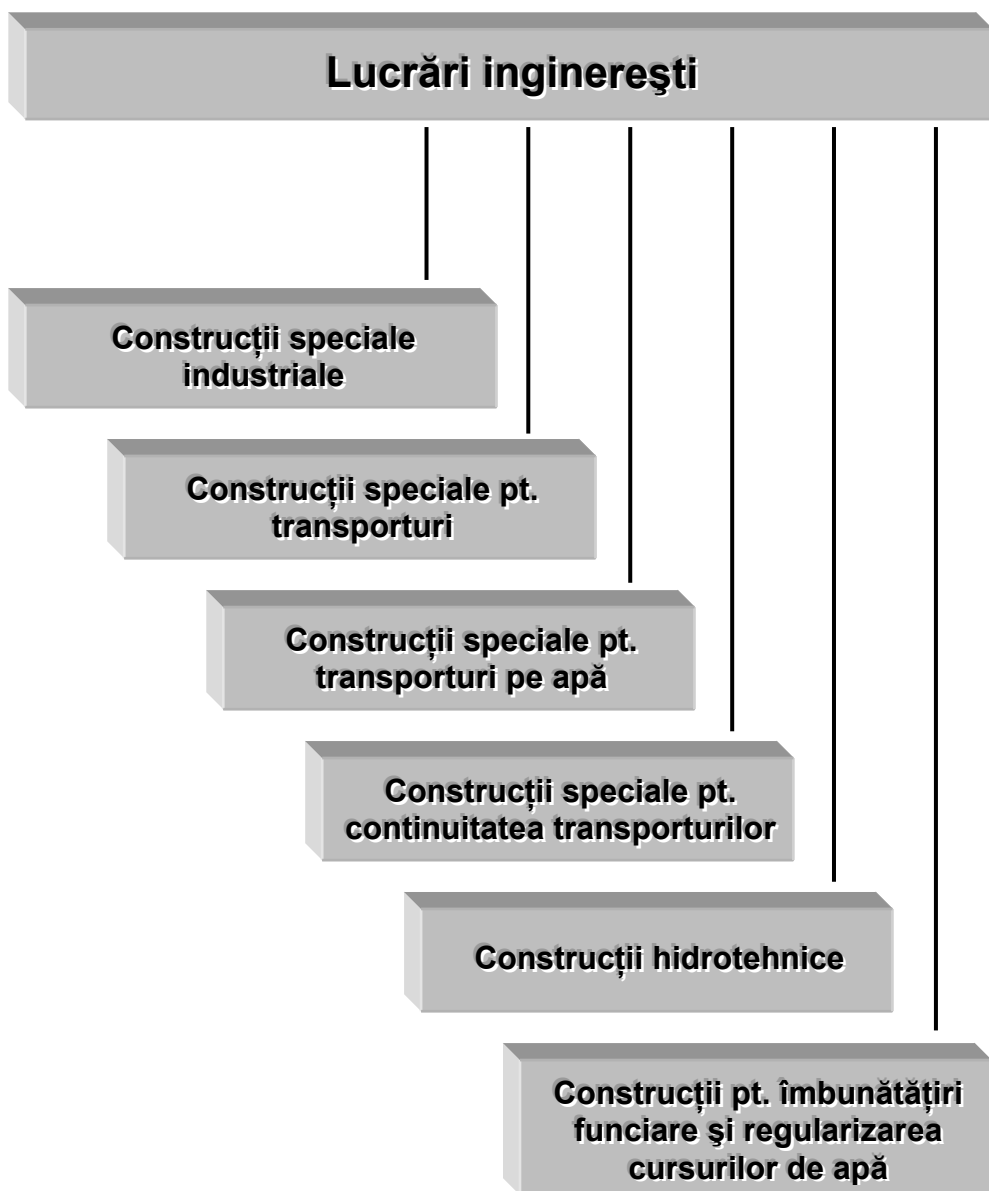


Fig. 1.2. Clasificarea lucrărilor ingineresti

b. Elemente de închidere – sunt elementele ce asigură izolarea termică, hidrofugă și acustică a interiorului clădirii. Din această categorie fac parte: pereții exteriori, ferestrele, ușile exterioare, învelitorile acoperișului etc.

c. Elemente de compartimentare – pereții interiori, elementele ușoare de compartimentare, ușile interioare etc.

d. Elemente de finisaj – tencuieli, pardoseli, placaje, vopsitorii, zugrăveli, etc.

Un element de construcție poate îndeplini simultan mai multe funcții. De exemplu, un perete exterior poate avea atât rol de element de rezistență, cât și funcțiuni de izolare termică și acustică.

O clădire se împarte geometric în niveluri (subsol, parter, etaje), iar pe verticală în tronsoane separate între ele prin elemente numite „rosturi” (întreruperi ale clădirii în plan vertical, pe toată înălțimea acesteia, inclusiv fundațiile) care permit deformarea independentă a tronsoanelor.

Fundațiile și subsolul unei clădiri constituie așa numita „infrastructură”, iar parterul și etajele „suprastructură”. Altfel spus, elementele situate sub cota ± 0.00 a clădirii (fundațiile, pereții de subsol, planșeul peste subsol) constituie infrastructura clădirii, iar restul elementelor, situate peste cota ± 0.00 , formează suprastructura acesteia. Cota ± 0.00 a unei construcții este, prin convenție, cota pardoselii finite de la parter.

1.3. Exigențe și performanțe în construcții

1.3.1. Noțiuni introductive

Construcțiile se numără printre cele mai importante produse realizate, deoarece asigură un cadru protejat pentru majoritatea activităților umane și, dintre toate bunurile, au cea mai lungă perioadă de utilizare. Clădirile au atât o valoare utilitară, de ordin practic, dar și o valoare artistică, arhitecturală.

În consecință, orice construcție trebuie să răspundă unui ansamblu bogat de cerințe (exigențe) determinate de necesitățile de utilizare și de cele de ordin

estetic, iar calitatea mai bună sau mai puțin bună a unei clădiri se apreciază prin măsura în care aceasta răspunde exigențelor.

Prin exigențe în construcții se înțeleg condițiile care trebuiesc îndeplinite astfel încât clădirile să corespundă necesităților și posibilităților utilizatorilor individuali și societății în ansamblu.

În acest context definirea științifică a exigențelor, care pot fi diferite de la o societate la alta sau de la o etapă la alta, reprezintă o necesitate de primă importanță în industria construcțiilor, întrucât nu se poate concepe, proiecta, executa sau optimiza un obiect fără a ști exact căror cerințe trebuie să răspundă.

Un sistem de exigențe devine util când poate conduce la soluționarea următoarelor probleme:

- a.** determinarea condițiilor pe care trebuie să le îndeplinească construcțiile, în ansamblu și pe părți componente, ținând seama de funcțiile ce decurg din destinația clădirii și de interesele colectivității care o utilizează;
- b.** stabilirea soluțiilor constructive care să satisfacă aceste condiții, a modalităților de verificare, a materialelor utilizate și a tehnologiilor prin care se poate ajunge cel mai avantajos la rezultatul dorit.

Conceptul de „performanță în construcții” are un înțeles diferit de sensul comun al noțiunii de „performanță”. Construcțiile nu sunt performante în sensul în care, de exemplu, sportivii sunt performanți atunci când doboară un record sau câștigă o medalie. O clădire nu trebuie să fie cea mai înaltă, cea mai frumoasă sau cea mai scumpă pentru a fi performantă, dar trebuie să răspundă unui set rațional, precis și coerent de exigențe.

În domeniul construcțiilor, noțiunile de bază ce conduc la definirea conceptului de performanță sunt cele enumerate în continuare.

- a. Exigențele utilizatorilor clădirilor** – se referă la condițiile pe care aceștia le doresc îndeplinite în imobilele pe care le vor folosi.

Aceste condiții sunt determinate de următoarele categorii de cerințe:

- fiziologice – naturale (condiții de igienă, confort și protecție față de factorii nocivi);
- psiho-sociale (referitoare la senzația de contact cu microclimatul clădirii, posibilitatea de a comunica sau de a se separa, satisfacție estetică etc.);
- de eficiență (privind cheltuieli și consumuri minime de achiziție și exploatare a clădirii).

Exigențele utilizatorilor sunt formulate la modul general, lipsite de expresie cantitativă (numerică), fără a ține seama de materialele sau procesele tehnologice prin care sunt realizate clădirile. Astfel, o exigență a utilizatorilor este cerința de liniște pentru a lucra sau pentru a se odihni.

b. Exigențele de performanță – sunt formulate de specialiști pentru a satisface exigențele utilizatorilor, luând în considerare factorii care acționează asupra imobilului. Ca și exigențele utilizatorilor, exigențele de performanță sunt exprimate tot calitativ (fără formulare cantitativă) și nu țin seama de materialele din care sunt realizate clădirile. Astfel, o exigență de performanță este izolarea acustică față de zgomotele provenite din afara unei clădiri.

c. Criteriile de performanță – constituie traducerea exigențelor de performanță în calități pe care trebuie să le îndeplinească diferențiat părțile componente ale clădirii pentru ca exigențele de performanță să fie satisfăcute. Unei singure exigențe de performanță generală, cum ar fi izolarea acustică față de zgomotele exterioare, îi corespund pentru pereți capacitatea de izolare la transmisia zgomotelor aeriene, iar pentru planșee capacitatea de izolare la transmisia zgomotelor aeriene și de impact.

d. Nivelurile de performanță – reprezintă concretizarea cantitativă, numerică, a criteriilor de performanță, astfel încât acestea să poată fi

utilizate în proiectare, cu ajutorul diferitelor relații fizico–matematice de dimensionare. Valorile minime, maxime sau optime ale nivelurilor de performanță sunt stabilite prin prescripții tehnice (standarde, normative). De exemplu, nivelul zgomotelor exterioare percepute în încăperi trebuie să fie de maxim 35 dB.

Stabilirea nivelului de performanță este o operație complexă, ținând cont că majorarea cantitativă a unui nivel, în afară de faptul că poate fi nerentabilă, nu duce în mod obligatoriu la performanțe reale. De exemplu nu este recomandabilă creșterea necontrolată a capacității de izolare acustică a unui element de închidere, deoarece o stare prelungită de liniște profundă, fără fondul sonor minim cu care organismul este obișnuit, poate conduce la o stare de neliniște greu de suportat.

1.3.2. Exigențe de performanță pentru clădiri civile

La nivelul Organizației internaționale pentru standardizare (ISO) s-a întocmit o listă ce cuprinde 14 exigențe de performanță pentru clădiri civile, enumerate și descrise succint în cele ce urmează.

Stabilitate și rezistență – intensitatea maximă a acțiunilor mecanice, în gruparea de încărcări cea mai defavorabilă, nu trebuie să depășească capacitatea portantă a clădirii, respectiv a elementelor structurale ale acesteia.

Siguranța la foc – se referă la aprecierea gradului de risc la izbucnirea incendiilor și la siguranța ocupanților și a clădirii în caz de incendiu.

Siguranța utilizării – are în vedere cerințe referitoare la:

- securitatea muncii pentru lucrări de întreținere, modernizare, reparații etc.;

- securitatea de contact, ce reprezintă protecția utilizatorilor la posibilitatea producerii de leziuni prin contact cu suprafețele elementelor de construcție;
- securitatea la circulație prin reducerea riscului de accidentare prin alunecare, cădere, blocare etc., în timpul circulației în interiorul clădirii;
- securitatea la intruziuni prin protejarea clădirii, în special a elementelor sale exterioare, împotriva pătrunderii nedorite a oamenilor, animalelor, insectelor etc.

Etanșeitatea – se referă la calitatea elementelor de construcție de a fi etanșe la apa din diverse surse (meteorica, subterană etc.), la aer, gaze, zăpadă, praf sau nisip antrenate de aer etc.

Confort higrotermic – pentru asigurarea în interiorul clădirii a nivelurilor optime de temperatură și de umiditate, în sezonul rece și în cel cald.

Ambianță atmosferică – prin asigurarea microclimatului încăperilor cu aer proaspăt, cu ajutorul ventilării naturale și/sau artificiale.

Confort acustic – ce se referă la protecția fonică împotriva zgomotelor exterioare, zgomotelor din încăperile învecinate și zgomotelor datorate funcționării instalațiilor.

Confort tactil – are în vedere cerințele de protecție la contactul cu diverse suprafețe ale clădirii, protecție ce se poate referi la izolare termică, la izolare electrică, sau la măsuri împotriva contactului mecanic cu diverse elemente.

Confort antropodinamic – cu următoarele componente:

- confortul împotriva vibrațiilor sau mișcărilor induse ocupanților de către clădire;
- confortul în cazul deplasărilor în clădire;

- ușurința în manevrarea ușilor, ferestrelor sau altor elemente mobile ale clădirii;

Igienă – vizează măsurile împotriva poluării microclimatului clădirii (emanații de gaze, fum etc., degajate de materialele din elementele de construcție) și asigurarea condițiilor de igienă cu ajutorul instalațiilor (distribuția apei potabile, evacuarea apei menajere și a gunoaielor).

Utilizarea spațiilor – are în vedere funcționalitatea spațiilor interioare (caracteristici geometrice, relațiile dintre încăperi etc.) și adaptarea la utilizarea suprafețelor finisate ale clădirii (rezistența acestor suprafețe la acțiuni mecanice, termice, chimice, atmosferice etc.).

Durabilitate – privitor la durata de viață a elementelor de construcție și a clădirii în ansamblu și la rezistența împotriva factorilor ce afectează performanțele (agenți climatici, chimici etc.).

Confort vizual – se referă la iluminatul natural și cel artificial, aspectul suprafețelor vizibile și vederea din clădire spre exterior.

Economicitate – se iau în considerare următoarele aspecte:

- indicatori dimensionali: suprafețe ale clădirii (aria desfășurată, aria construită, aria utilă etc.) și volume (volum total, volum pe niveluri etc.);
- indicatori derivați: gradul de ocupare a terenului, indicele suprafețelor de circulație, indicele volumului total etc.;
- costuri: inițiale (de investiție), de exploatare, de întreținere (remedieri, reparații) etc.;
- gradul de industrializare: ponderea elementelor de construcție realizate industrial.

1.3.3. Aprecierea calității clădirilor

Calitatea unei construcții poate fi apreciată în mod obiectiv folosind conceptul de performanță, prin utilizarea următoarelor metodologii:

a. Gradul de satisfacere a exigențelor de performanță

Prin acest procedeu se determină în ce măsură este satisfăcută fiecare exigență de performanță „i”, prin definirea unui raport, conform relației:

$$p_i = \frac{\text{nivel de performanță realizat (cf. proiect)}}{\text{nivel de performanță impus (normat)}} \quad (1.1)$$

Dacă valoarea raportului $p_i = 1$ atunci exigența „i” este respectată. În cazul când $p_i < 1$ exigența de performanță nu este asigurată, iar dacă $p_i > 1$ exigența este depășită în sens favorabil.

Nu întodeauna calitatea variază proporțional cu raportul p_i , în sensul că o creștere exagerată a acestui raport peste valoarea unitară nu conduce în mod obligatoriu la o creștere a performanțelor. De exemplu:

- creșterea capacității portante a unui planșeu din beton (prin mărirea grosimii sau folosirea unui beton cu calități superioare), peste capacitatea portantă minimă necesară nu este rațională, întrucât este puțin probabil ca sarcinile gravitaționale să crească peste valorile de calcul prevăzute de normative și, pe de altă parte, cheltuielile de execuție ar crește nejustificat de mult;
- sporirea rezistenței termice a unui element de închidere conduce la un spor de confort și la o economie de energie pentru încălzire, dar peste anumite valori ale gradului de izolare aceste avantaje cresc extrem de lent, ponderea pierderilor de căldură transferându-se spre alte zone ale clădirii.

b. Ponderea exigențelor de performanță

Pentru exprimarea ponderii fiecărei exigențe de performanță „i” se stabilesc în mod convențional o serie de coeficienți α_i care reflectă faptul că unele performanțe sunt mai importante decât altele. Coeficienții α_i sunt subunitari și au valori mai mari sau mai mici după cum decidem că o exigență de performanță este mai importantă sau mai puțin importantă. În consecință, coeficienții α_i au un caracter oarecum arbitrar, dar în final trebuie respectă relația: $\sum \alpha_i = 1$.

După definirea coeficienților α_i , aprecierea performanțelor unei construcții se poate efectua pe baza unei note (calificativ) N obținut cu relația:

$$N = \sum \alpha_i \cdot p_i \quad (1.2)$$

Relația precedentă poate fi utilizată și în cazul când există mai multe variante pentru o clădire și dorim să alegem soluția cu performanțe optime.

1.4. Coordonare dimensională și toleranțe în construcții

1.4.1. Scurt istoric

Atunci când se pune problema realizării unei construcții, unul din primele lucruri la care ne gândim este cât de extinsă va fi această construcție, cu alte cuvinte ce dimensiuni va trebui să aibă pentru a răspunde unui anumit scop. Această întrebare și-au pus-o probabil primii „constructori”, atunci când au început să creeze adăposturi artificiale în corturi din piei de animale, în urmă cu peste 10.000 de ani, și-o pun și constructorii de azi când se pregătesc să ridice un nou zgârie – nori.

Dimensiunile unei construcții, atât cele principale cât și cele de detaliu, au fost dintotdeauna importante. Pentru stabilirea acestora s-au folosit la început, din rațiuni practice, dimensiunile diferitelor părți ale corpului uman (picior, cot, cap), deoarece dimensiunile unui obiect se stabilesc și se percep mai ușor prin comparație cu cele ale omului.

Nu numai dimensiunile privite separat, dar și anumite rapoarte între acestea sunt importante. Vechii egiptenii știau acest lucru atunci când au construit piramidele, respectând un anumit raport între latura bazei și înălțime, astfel încât cele patru fețe au o înclinare constantă de 52° la toate piramidele (cu o singură excepție). Grecii și romanii respectau un anumit raport între dimensiunile principale ale clădirilor (lungimea și lățimea), numit raportul de aur, ce conduce la un dreptunghi ce nu este nici prea apropiat de un pătrat, dar nici exagerat de alungit. Proporțiile celor mai multe dintre monumentele antice se încadrează în regula secțiunii de aur, după cum și dimensiunile unei fotografii obișnuite, ale unei pagini de carte sau a feței unei cutii de chibrituri respectă, într-o măsură mai mare sau mai mică, același raport:

raport: $\frac{A}{A+a} = \frac{a}{A}$, „A” și „a” fiind latura mare și respectiv latura mică a dreptunghiului.

Dorința de a obține anumite proporții a condus la ideea că se poate adopta o anumită dimensiune fixă, numită „modul”, toate dimensiunile unei construcții fiind stabilite apoi prin multiplicarea sau divizarea acestui modul. La grecii antici era ales drept modul diametrul de la baza coloanelor. Înălțimea acestora era determinată prin multiplicarea diametrului cu un coeficient ales astfel încât coloanele să nu rezulte prea subțiri, lucru ce ar fi creat probleme de rezistență, dar nici prea groase, întrucât ar fi fost inestetice.

În afara faptului că alegerea judicioasă a dimensiunilor și a raporturilor dintre acestea este o condiție obligatorie pentru obținerea anumitor efecte

arhitecturale, în secolul trecut s-a dezvoltat o tendință nouă în construcții, aceea de industrializare a acestora. În esență, ideea este ca o parte dintre elementele componente ale unei clădiri să fie produse în condiții industriale, în cadrul unor întreprinderi specializate, urmând ca apoi să fie transportate și montate la locul de punere în operă. Astfel se pot confecționa stâlpi, grinzi, pereți, planșee etc., care ulterior se îmbină pentru a forma structura unei clădiri. Evident, dimensiunile acestor elemente (care pot fi executate de mai mulți producători, în locații diferite) și poziția lor în cadrul clădirii trebuie astfel corelate încât procesul de montaj să se poată desfășura în condiții normale.

Prin coordonare dimensională a elementelor de construcție se înțelege convenția de a utiliza, în cadrul activităților de proiectare, de producere și de punere în operă, numai acele dimensiuni care respectă anumite reguli stabilite anterior. Altfel spus, coordonarea dimensională reprezintă operația prin care se stabilesc dimensiunile unor elemente sau ansambluri, precum și dimensiunile ce definesc poziția lor reciprocă.

Coordonarea dimensională este o operație obligatorie și se realizează prin două metode: coordonare modulară și tipizare.

1.4.2. Coordonarea modulară

1.4.2.1. Definiții

Coordonarea modulară constă în aceea că dimensiunile elementelor de construcție pot lua numai acele valori care corespund unei lungimi alese arbitrar, numită modul de bază și notată cu „M”, sau unor moduli derivați din modulul de bază.

În sistemul metric valoarea internațională standardizată a modulului de bază este $M = 100 \text{ mm} = 10 \text{ cm}$, adoptată în majoritatea țărilor.

Deoarece este a zecea parte dintr-un metru, această valoare se încadrează în sistemul modular decimetric. În unele țări se utilizează modulul de bază egal cu 12,5 cm, ce face parte din sistemul modular octometric și este întâlnit și la noi în cazul elementelor de construcții din cărămidă normală.

În afară de modulul de bază se utilizează o serie de moduli derivați din acesta, determinați cu o relație de forma: $M_d = n.M$. Astfel se obțin:

- moduli derivați măriți ($n > 1$): $n = 2, 3, 6, 12, 15, 30, 60$;
- moduli derivați fracționați ($n < 1$): $n = 1/2, 1/5, 1/10, 1/20, 1/50, 1/100$.

În funcție de mărimea dimensiunilor ce urmează a fi modulate, modulii derivați măriți se folosesc la deschideri, travei, lungimi de grinzi, înălțimi de niveluri etc.

Modulii fracționați se utilizează la dimensiuni mici, cum ar fi detaliile de construcții, unele materiale de construcții etc. Cu alte cuvinte, fiecărui modul derivat îi corespunde un anumit domeniu de aplicare, funcție de dimensiunile curente ale elementelor de construcții corespunzătoare.

În consecință, utilizând modulii derivați se pot obține dimensiuni modulate, care se împart astfel:

- a. grupa I** – dimensiuni mari (deschideri, travei, dimensiunile încăperilor etc.);
- b. grupa II** – dimensiuni mijlocii (înălțimi etaje, goluri de uși și ferestre etc.);
- c. grupa III** – dimensiuni mici (secțiunile elementelor);
- d. grupa IV** – dimensiuni foarte mici (grosimi materiale, detalii de construcții etc.).

1.4.2.2. Sistemul de referință modular

Sistemul de referință modular este compus dintr-o rețea de plane perpendiculare, pe trei direcții, care împart volumul clădirii în paralelipipede rectangulare (volume de forma unei cărămizi, delimitate de șase fețe plane), cu lungimea laturilor egală cu modulul de bază sau cu multiplii ai acestuia (Fig. 1.3).

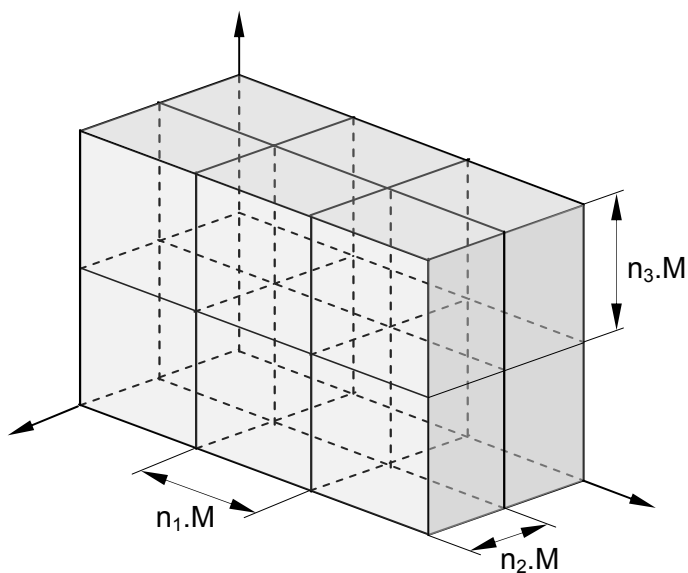


Fig. 1.3. Sistem de referință modular

Planele sistemului de referință poartă numele de plane modulare de referință. Distanțele dintre aceste plane se numesc trame și pot fi de mai multe tipuri: principale (deschideri, travei, înălțimi de etaje etc.), secundare (lățimea fâșiilor planșeelor, dimensiunile golurilor de uși sau ferestre etc.) și de detaliu (dimensiunile îmbinărilor, dimensiunile secțiunilor elementelor) – Fig. 1.4.

Intersecțiile planelor modulare se numesc linii de referință. Ansamblul liniilor de referință formează rețeaua modulară, iar volumul delimitat de

planele modulare formează volumul modular. Rețeaua modulară servește pentru coordonarea dimensiunilor în plan și spațiu cu dimensiunile sistemului constructiv al clădirii.

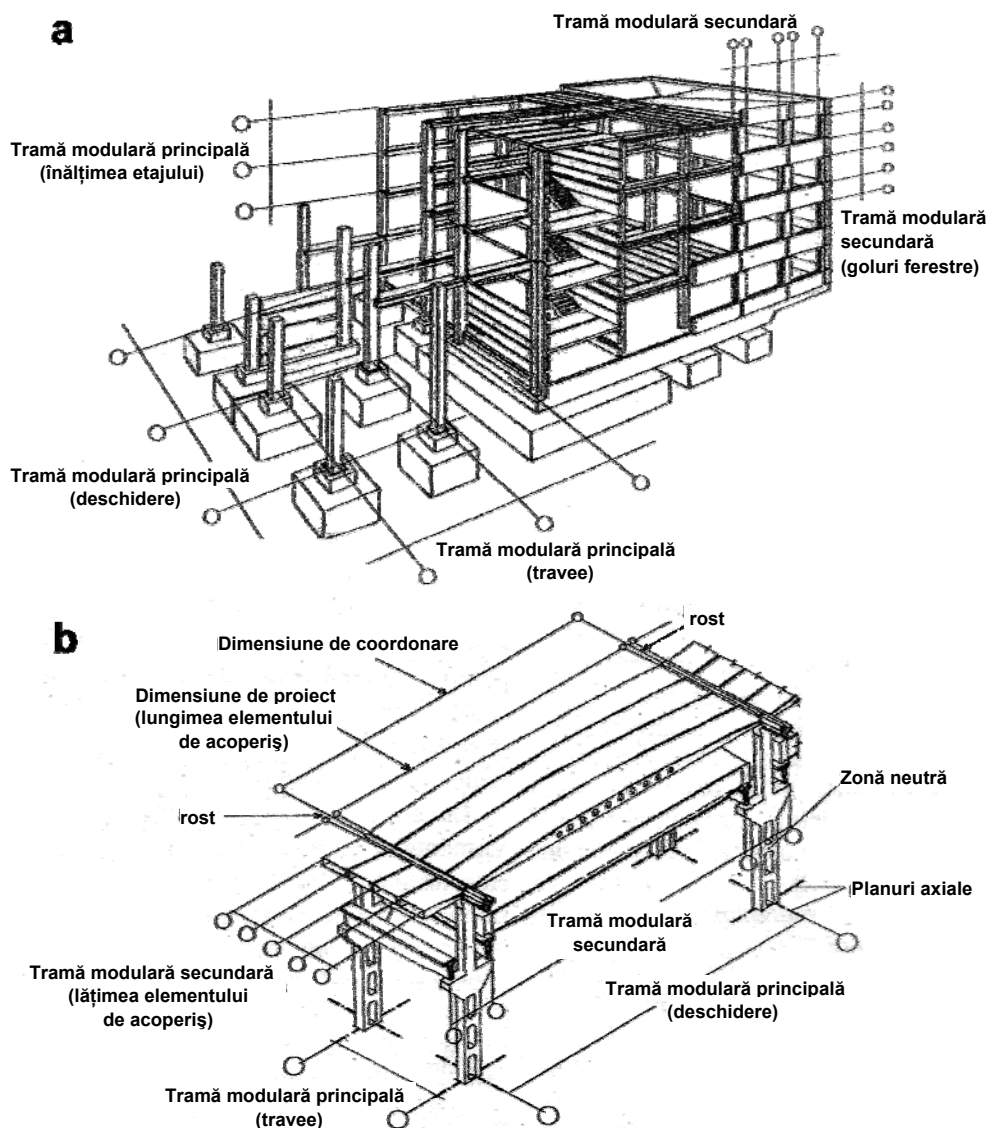


Fig. 1.4. Trame modulare principale și secundare
a. clădiri civile; **b.** clădiri industriale

Dimensiunea modulară a unui element de construcție se definește ca fiind un multiplu întreg al unui modul.

Dimensiunea modulată reprezintă dimensiunea unui element de construcție care se assemblează cu altele, astfel încât prin alăturarea acestora, ținând seama și de rosturi, să rezulte o dimensiune modulară (Fig. 1.5).

Dimensiunea nominală este o dimensiune modulară ce caracterizează un element prin dimensiunea sa principală, permițând identificarea lui dintr-o serie de elemente asemănătoare. În cazul elementelor din beton prefabricate, dimensiunea nominală cuprinde dimensiunea de proiect a elementului la care se adaugă mărimea rostului de monolitizare. De exemplu, dimensiunile nominale ale fâșiilor prefabricate de planșeu, reprezentând lungimea acestora, sunt: 2,00; 2,40; 3,00; 3,60; 4,00; 4,40; 5,00; 5,60 m, în timp ce dimensiunea lor efectivă, de execuție, este cu 8 cm mai mică. Dimensiunile nominale (grosimile) pereților de cărămidă normală sunt: 7,5; 12,5; 25,0; 37,5 cm, funcție de modul de dispunere a cărămizilor.

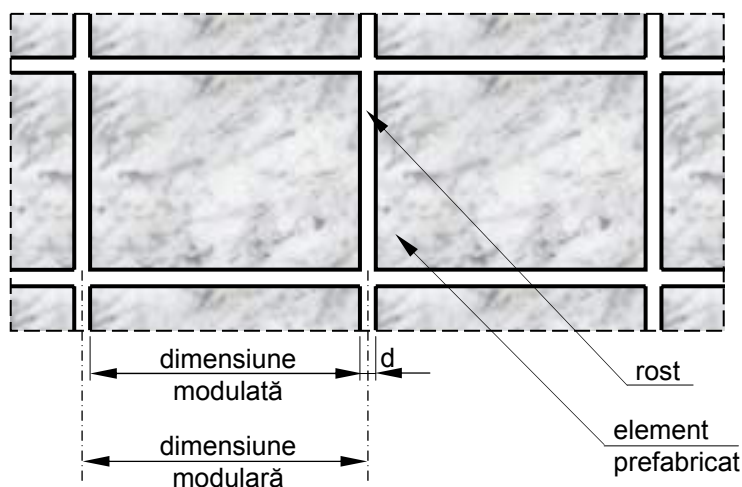


Fig. 1.5. Tipuri de dimensiuni

Axele tramei modulare, numite și axe de trasare, se poziționează în funcție de structura de rezistență a clădirii astfel:

- structuri cu pereți portanți: la pereții exteriori axa este dispusă la o distanță de suprafața interioară a peretelui egală cu jumătatea grosimii peretelui interior portant; la pereții interiori portanți axa modulară coincide cu axa geometrică a acestora, fiind poziționată la jumătatea grosimii peretelui;
- clădiri cu pereți exteriori autoportanți sau tip cortină: axa modulară se suprapune peste fața interioară a acestora;
- structuri pe cadre cu stâlpi cu secțiune constantă pe înălțime: axele modulare pe cele două direcții principale coincid cu axele geometrice ale secțiunii stâlpilor;
- structuri pe cadre cu stâlpi cu secțiune variabilă pe înălțime: axele modulare pe cele două direcții principale coincid cu axele geometrice ale secțiunii stâlpilor la cota $\pm 0,00$;
- structuri pe cadre, cu pod rulant (specifice halelor industriale): axele modulare longitudinale ale stâlpilor marginali coincid cu axele geometrice ale secțiunii acestora la cota șinei grinzii de rulare, iar axele longitudinale ale stâlpilor centrali coincid cu axa lor geometrică (mijlocul secțiunii); axele modulare transversale coincid cu axa geometrică a secțiunii stâlpilor;
- la stâlpii dublii de la rosturile clădirii se adoptă fie două axe modulare, nefiind obligatoriu ca distanța dintre acestea să fie modulată, fie o singură axă ce coincide cu axa geometrică a rostului.

Pe verticală axele modulare se poziționează respectând următoarele reguli:

- la clădiri civile înălțimea etajului curent este egală cu distanța dintre suprafețele pardoselilor finite a două niveluri succesive;
- la clădiri industriale (hale) înălțimea modulată este situată între cota $\pm 0,00$ și cota inferioară a grinzilor transversale.

1.4.3. Tipizarea elementelor de construcții

Reprezintă o treaptă mai avansată a coordonării dimensionale și constă în proiectarea și confecționarea unor elemente de dimensiuni corespunzătoare unei serii modulare cu număr redus de termeni și unor condiții de exploatare tip, care se repetă cu o mare frecvență.

La proiectarea construcțiilor se iau în considerare aceste elemente tipizate, cu caracteristicile lor, astfel încât atât forma cât și dimensiunile obiectelor se adaptează la dimensiunile și caracteristicile elementelor de construcție.

Exemple de dimensiuni tipizate:

- dimensiunile tipizate, denumite uneori și dimensiuni preferențiale, pentru deschideri și travei sunt: 3,0 m; 6,0 m; 9,0 m; 12,0 m; 15,0 m; 18,0 m; 21,0 m; 24,0 m;
- dimensiunea principală (lungimea) căzilor de baie obișnuite (dreptunghiulare) fabricate în țara noastră sunt: 1,20 m; 1,50 m; 1,80 m.

1.4.4. Toleranțe și abateri în construcții

Preocupări privind precizia dimensională a construcțiilor au existat din cele mai vechi timpuri. Cele patru laturi ce delimitează baza mării piramide din Egipt (piramida lui Cheops) au lungimea de 230 m și diferă între ele cu

maxim 20 cm (eroare de 1 la 1150). Unghiurile drepte ale bazei au devieri maxime de trei minute și jumătate (eroare de cca. 1 la 1500). Orientarea piramidei în raport cu punctele cardinale are o abatere maximă de cinci minute și jumătate (eroare de cca. 1 la 4000).

Cu toate acestea, construcțiile curente din vechime nu impuneau condiții severe de precizie. În afara faptului că nu existau proiecte, în sensul în care înțelegem astăzi această noțiune, masivitatea elementelor utilizate și faptul că eventualele erori se puteau corecta „din mers”, făcea acceptabil un grad relativ redus de precizie.

Acest mod de a privi lucrurile a trebuit abandonat odată cu apariția și dezvoltarea procesului de industrializare a lucrărilor de construcții, cu toate implicațiile sale. Elementele prefabricate de rezistență, majoritatea din beton sau metal, pot avea dimensiuni mari și rezemări reduse. Din acest motiv este important ca precizia de execuție să fie suficient de bună, deoarece eventualele operații ulterioare de corecție și ajustare ar fi costisitoare și ar putea avea urmări nedorite asupra structurii clădirii.

Pentru înțelegerea noțiunii de toleranță dimensională trebuie mai întâi definite conceptele de dimensiune de proiect (teoretică) și dimensiune reală (efectivă, de execuție).

Prin dimensiuni de proiect se înțeleg dimensiunile teoretice ale conturului unui element, adică dimensiunile rezultate din calculele de rezistență și din condițiile de rezemare sau de asamblare. Prin dimensiuni reale se înțeleg dimensiunile efective de contur ale unui element de construcție.

Teoretic, dimensiunile efective ar trebui să fie egale cu cele de proiect, dar practic acest lucru nu se poate realiza datorită inpreciziilor de măsurare, deformațiilor tiparelor, procesului tehnologic de fabricație etc.

În acest context problema care se pune este aceea de a realiza construcții ale căror dimensiuni finale să fie cât mai apropiate de cele preconizate inițial, prin proiect, dar nu identice, admițându-se în acest fel o anumită toleranță dimensională. Sfera acestei noțiuni este însă mai largă, întrucât se referă nu numai la dimensiuni, ci și la forma și poziția elementelor, precum și la aspectul suprafețelor acestora.

Toleranțele reprezintă mărimea erorilor admise pentru un produs. Toleranțele în construcții se referă atât la dimensiunile (lungime, înălțime, grosime etc.) cât și la poziția elementelor (orizontalitate, verticalitate etc.), la forma acestora (planeitatea suprafețelor, liniaritatea muchiilor, corectitudinea unghiurilor etc.), precum și la aspectul lor. Respectarea unor limite ale toleranțelor asigură rezistența și stabilitatea structurii construcției și, pe de altă parte, un aspect corespunzător.

Pentru produsele standardizate (materiale de construcții și instalații) toleranțele sunt indicate în standardele și normele interne de fabricație, iar pentru elemente sau părți de construcții sunt prezentate în normativele de execuție și recepție.

Prin toleranță dimensională se înțelege diferența dintre dimensiunea maximă și cea minimă a unui produs:

$$T_D = D_{\max} - D_{\min} \quad (1.3)$$

unde: T_D – toleranța dimensională;

D_{\max} – dimensiunea limită maximă (limita superioară admisă a dimensiunii efective a unui element de construcție);

D_{\min} – dimensiunea limită minimă (limita inferioară admisă a dimensiunii efective a unui element de construcție).

Abaterea admisibilă reprezintă diferența dintre dimensiunile limită și dimensiunile de construcție:

$$A_{ad} = D_{\max / \min} - D_{\text{constr}} \quad (1.4)$$

unde: D_{constr} – dimensiunea de construcție.

Există cazuri când o serie de elemente de construcție sunt cuprinse în altele, ca de exemplu tâmplăria ușilor și ferestrelor în golurile pereților din zidărie sau beton. Pentru fiecare din cele două elemente, cuprinzător (C) și cuprins (c) există toleranțe admise. Diferența dintre dimensiunile efective ale elementului cuprinzător și respectiv cuprins se numește joc:

$$J_{\max} = D_{\text{ef. max}}^C - D_{\text{ef. min}}^c; \quad J_{\min} = D_{\text{ef. min}}^C - D_{\text{ef. max}}^c \quad (1.5)$$

unde: J_{\max}, J_{\min} – jocul maxim, respectiv minim;

$D_{\text{ef. max}}^C, D_{\text{ef. min}}^C$ – dimensiunile efective maxime, respectiv minime, ale elementului cuprinzător;

$D_{\text{ef. max}}^c, D_{\text{ef. min}}^c$ – dimensiunile efective maxime, respectiv minime, ale elementului cuprins.

Toleranța jocului se definește prin diferența:

$$T_J = J_{\max} - J_{\min} \quad (1.6)$$

Mărimea toleranțelor este condiționată de dimensiunile elementelor și de clasa de precizie.

Dimensiunile unui element oarecare condiționează mărimea toleranței. Dacă o grindă prefabricată din beton cu lungimea de proiect de 5,90 m va rezulta după execuție de 5,895 m (eroare de 5 mm în minus), acest lucru nu va afecta procesul de montaj. Dar dacă a gaură circulară într-o plăcuță metalică

va avea diametrul mai mic cu 5 mm, șurubul care trebuie să treacă prin ea nu va intra.

Clasa de precizie reprezintă un ansamblu de valori maxime admisibile ale toleranței, corespunzătoare fiecărui grad de precizie. Prescripțiile tehnice prevăd 10 clase, severitatea condițiilor de precizie descrescând de la clasa 1 spre clasa 10. În Tabelul 1.1 sunt prezentate toleranțele dimensionale pentru prefabricate din beton și beton armat, pentru primele 5 clase de precizie.

Tabel 1.1

Clasa de precizie	Domeniul dimensiunii elementelor (mm)					
	100	100 250	250 1000	1000 2500	2500 10000	10000
	Toleranțe dimensionale admisibile (mm)					
I	0,5	1	2	2	3	3
II	1	2	3	3	4	5
III	2	3	4	5	6	8
IV	3	4	6	8	10	12
V	4	6	10	12	16	20

Toleranțele, ca și multe alte mărimi numerice ce intervin în procesul de proiectare al unei construcții, au un caracter aleator. De aceea ele trebuie studiate prin mijloace statistice, folosind teoria probabilităților. O astfel de abordare poate conduce la depistarea unor erori ale procesului de fabricație sau execuție și la o îmbunătățire a sistemului de toleranțe.

Capitolul 2

Elemente de siguranța construcțiilor

Una dintre cele mai importante exigențe de performanță pentru construcții este condiția de siguranță în exploatare, prin care se înțelege, în primul rând, rezistența și stabilitatea la acțiuni mecanice, cu o probabilitate foarte mică (acceptabilă) de atingere a unei stări limită pe parcursul perioadei normate de exploatare a clădirii.

Multă vreme dimensiunile elementelor de construcție se adoptau fără a avea la bază vre-un calcul, doar pe baza experienței. Construcțiile astfel realizate se caracterizau în general prin masivitatea elementelor componente, ceea ce determina consumuri ridicate de materiale și manoperă.

Odată cu progresul științelor au apărut și s-au dezvoltat posibilități de dimensionare și verificare prin calcul a elementelor structurii, urmate de raționalizarea consumurilor la execuție.

Primele metode de calcul au fost cele deterministe, urmate de metode semiprobabilistice, utilizate pe scară largă în prezent.

Siguranța unei structuri reprezintă un concept relativ, deoarece practic nu se poate conta pe o siguranță absolută în exploatare. Prin modul de realizare al structurii (concepție – proiectare – execuție) se urmărește însă obținerea unei probabilități de avariere acceptabil de redusă, cu consecințe nefavorabile minime.

Siguranța construcțiilor se poate aprecia prin calcul, comparând solicitarea maximă provocată de acțiunile mecanice cu capacitatea minimă de rezistență a structurilor sau a elementelor structurale.

În principiu, dimensionarea sau verificarea de rezistență presupune parcurgerea următoarelor etape:

- a. evaluarea încărcărilor ce acționează asupra elementelor în cursul exploatării construcției;
- b. stabilirea eforturilor secționale sau unitare maxime din zonele cele mai solicate ale elementelor structurale;
- c. determinarea capacității minime de rezistență a secțiunilor sau a elementelor;
- d. compararea eforturilor maxime cu capacitatea minimă de rezistență în scopul verificării sau dimensionării elementelor structurale.

2.1. Metode deterministe

Factorii principali de siguranță care intervin în calculele efectuate prin aceste metode se stabilesc empiric și se consideră mărimi certe, deși variază aleator (întâmplător).

Metodele deterministe de calcul sunt metoda rezistențelor admisibile și metoda de calcul la rupere.

2.1.1. Metoda rezistențelor admisibile

Se bazează pe următoarele ipoteze fundamentale:

- a. materialele se consideră omogene și izotrope;
- b. tensiunile (eforturile unitare) sunt proporționale cu deformațiile (legea lui Hooke);
- c. secțiunile plane, normale (perpendiculare) pe axa elementelor înainte de deformare, rămân plane și normale pe axă după deformare (ipoteza Bernoulli).

Principiul de calcul al metodei constă în compararea tensiunilor normale și tangențiale maxime, care apar în secțiunile cele mai solicitate ale elementului, cu eforturile admisibile.

$$\sigma_{\max} \leq \sigma_a ; \quad \tau_{\max} \leq \tau_a \quad (2.1)$$

Eforturile admisibile se obțin prin împărțirea unor rezistențe limită la un coeficient de siguranță unic:

$$\sigma_a \leq \frac{\sigma_{\lim}}{c} ; \quad \tau_a \leq \frac{\tau_{\lim}}{c} \quad (2.2)$$

Rezistența limită poate fi limita de curgere în cazul materialelor ductile (de exemplu oțelul) sau limita de rupere la materialele casante (cum este fonta).

Coeficientul de siguranță „c” are valori diferențiate de la un material la altul ($c = 1,7 \dots 5,0$) și variază de asemeni funcție de natura eforturilor, de gruparea de încărcări și de condițiile de lucru. Aceste valori erau stabilite în principal pe bază de experiență, prin observarea modului de comportare a unor construcții existente, calculate prin metoda rezistențelor admisibile.

Principalele neajunsuri ale metodei sunt:

- a. consideră în mod determinist factorii siguranței, neglijând caracterul lor aleator;
- b. utilizează un coeficient de siguranță unic, deși există mai mulți factori independenți de care depinde siguranța construcției (acțiunile și caracteristicile structurii), fiecare având un alt tip de variație;
- c. neglijează unele rezerve de capacitate portantă de care dispune structura, conducând astfel la supradimensionarea elementelor.

2.1.2. Metoda de calcul la rupere

Ține seama de comportarea reală a materialelor în stadiul de rupere, care se consideră ca stadiu de calcul.

Principiul metodei constă în compararea eforturilor maxime ce se dezvoltă în secțiunea cea mai solicitată a unui element cu eforturile de rupere (capacitatea portantă), raportate la un coeficient de siguranță unic „ c_r ”, conform relațiilor:

$$N_{\max} \leq \frac{N_r}{c_r}; \quad M_{\max} \leq \frac{M_r}{c_r}; \quad T_{\max} \leq \frac{T_r}{c_r}; \quad (2.3)$$

Deși superioară metodei rezistențelor admisibile, întrucât se bazează pe experimentări și oglindește mai bine comportarea reală a materialelor în condițiile de rupere, metoda este depășită deoarece analizează comportarea structurii în mod unilateral, numai în stadiul de rupere, neglijând alte stadii de lucru ce apar în condiții de exploatare, la încărcări mai mici decât cele de rupere: deformații, fisurare, oboseală etc. De asemenea, menținerea coeficientului de siguranță global (unic), cu valori convenționale, constituie un alt neajuns al metodei.

2.2. Metoda semiprobabilistică a stărilor limită

Această metodă reprezintă stadiul actual pentru dimensionarea structurilor, având la bază următoarele principii:

- considerarea realistă a modului de variație a acțiunilor (Fig. 2.1) și a caracteristicilor mecanice ale structurii (Fig. 2.2);
- asigurarea rațională împotriva riscului de atingere a stărilor limită în perioada de exploatare normată a construcției (Fig. 2.3);

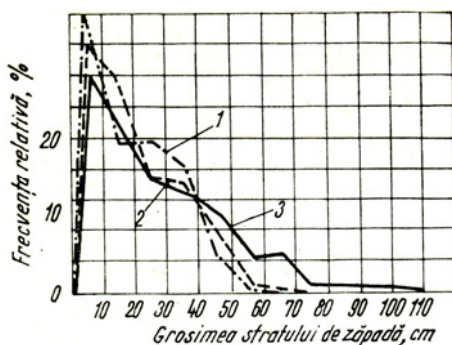


Fig. 2.1. Distribuțiile grosimii stratului de zăpadă la Moscova, pe o perioadă de 6 ani (1), 13 ani (2) și 37 ani (3)

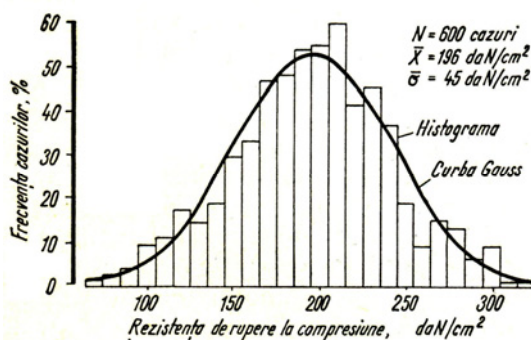


Fig. 2.2 Distribuția rezistenței de rupere a betonului la solicitarea de compresiune

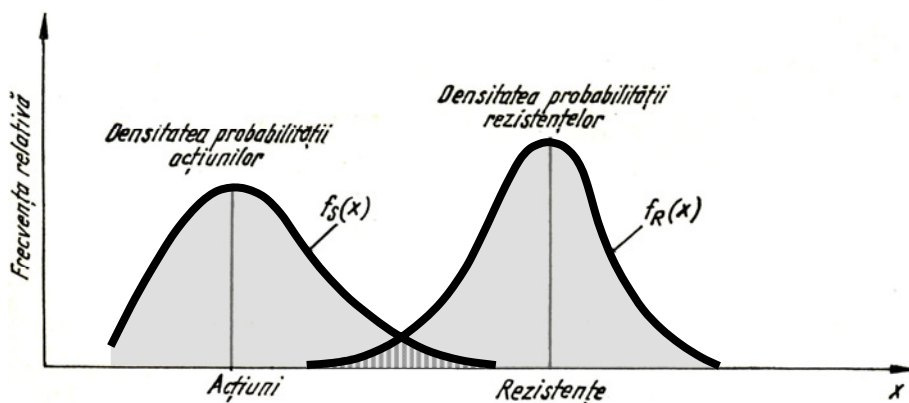


Fig. 2.3. Principiul de verificare a capacității portante

Întrucât până în prezent nu există toate datele necesare, pe baze statistice, pentru o rezolvare integral probabilistică a problemei, aplicarea metodei stărilor limită are încă un caracter semiprobabilistic.

Prin stări limită se înțeleg situațiile în care construcția începe să piardă capacitatea de a satisface condițiile de exploatare conform destinației, inclusiv situațiile în care sunt puse în pericol persoane sau bunuri ce trebuie protejate.

Se definesc două grupe de stări limită: stări limită ultime și stări limită ale exploatării normale, denumite în prezent „stări limită de serviciu”.

Stările limită ultime corespund epuizării (pierderii definitive) a capacității portante sau a altei calități indispensabile pentru exploatarea construcției, și pot fi cauzate de: ruperi de diferite naturi, pierderea stabilității formei, pierderea stabilității poziției prin răsturnare sau lunecare, apariția unor fisuri sau deformații excesive etc.

Stările limită ultime sunt asociate cu prăbușirea sau cu forme similare de cedare structurală și implică protecția vieților omenești și/sau a unor bunuri de valoare deosebită.

Stările limită ale exploatării normale (stările limită de serviciu) corespund situațiilor în care exploatarea construcției trebuie întreruptă temporar, dar poate fi reluată ulterior, atunci când se iau anumite măsuri de remediere sau când intensitatea acțiunilor scade. Apariția stărilor limită din această categorie corespunde apariției unor deformări sau fisuri incompatibile cu folosirea construcției, dar temporare.

Parametrii ce intervin în calculul prin metoda stărilor limită pot fi: intensități, amplitudini, frecvențe etc. (pentru acțiuni), respectiv rezistențe, moduli de elasticitate etc. (pentru caracteristicile materialelor). Pentru calcul se definesc valori normate, denumite în prezent „valori caracteristice”, și valori de calcul ale acestor parametri.

În metoda stărilor limită se utilizează, spre deosebire de metodele deterministe, coeficienți diferențiați de siguranță, determinați pe baze științifice, prin care se ține seama de modul de variație a principalilor factori ai siguranței la fiecare stare limită. Cu ajutorul acestor coeficienți se stabilesc încărcările și solicitările maxime și, pe de altă parte, rezistențele minime probabile ale materialelor, și se corectează relațiile de calcul punându-se de acord cu situațiile reale.

Coeficienții specifici metodei stărilor limită sunt:

- a. coeficientul încărcării „ n ”, denumit în prezent coeficient parțial de siguranță „ γ ” – aplicat (prin înmulțire) la valoarea încărcării normate și care este de regulă supraunitar, exceptând acele acțiuni care favorizează comportarea structurii;
- b. coeficientul de siguranță pentru materiale „ k ”, denumit în prezent coeficient parțial de siguranță pentru materiale „ γ_m ” – prin care se ține seama de abaterile posibile, în sens defavorabil, a rezistențelor materialelor față de valorile normate, datorită variațiilor statistice ale calității materialelor și ale caracteristicilor geometrice ale elementelor de construcție. Acest coeficient este precizat pentru fiecare material în standardele de specialitate, și are de regulă rolul de a reduce valorile normate;
- c. coeficienții de grupare sau factorii de simultaneitate „ ψ_0 ”, „ ψ_1 ”, „ ψ_2 ” (Capitolul 3, pct. 3.6) – sunt introduși pentru considerarea probabilității reduse de apariție simultană a mai multor acțiuni cu intensități maxime.

Principiul metodei de calcul a stărilor limită constă în compararea grupărilor de acțiuni cu sistemele de valori corespunzătoare apariției diferitelor stări

limită. Funcție de natura stării limită considerate, criteriul de comparație poate fi constituit de diferiți parametri:

- a. compararea încărcărilor aplicate unui element de construcție sau unei structuri cu încărcările capabile;
- b. compararea eforturilor din secțiunile cele mai solicate cu capacitatea portantă a elementului;
- c. compararea tensiunilor (eforturilor unitare) din punctele cele mai solicate cu rezistențele materialelor de construcție;
- d. compararea deplasărilor sau deformațiilor statice, sau a amplitudinii deplasărilor dinamice, cu valorile limită omoloage, în cazul verificării unor condiții de exploatare;
- e. compararea deschiderii fisurilor cu deschiderile limită, în cazul unor verificări specifice elementelor de beton.

În principal, calculul la stări limită se efectuează pentru starea limită de rezistență și pentru starea limită de deformație.

În cazul stării limită de rezistență principiul de calcul constă în compararea solicitării maxime posibile S_{\max} cu capacitatea portantă minimă probabilă a secțiunii considerate S_{\min}^{cap} :

$$S_{\max} \leq S_{\min}^{\text{cap}} \quad (2.4)$$

Pentru starea limită de deformație calculul constă în compararea deformației maxime (săgeată sau rotire) a elementului Δ , determinată cu valorile normate ale încărcării, cu deformația limită $\bar{\Delta}$ stabilită în prescripțiile tehnice:

$$\Delta \leq \bar{\Delta} \quad (2.5)$$

Superioritatea acestei metode de calcul constă în introducerea conceptului de stare limită și în înlocuirea coeficientului de siguranță unic cu coeficienți diferențiați, stabiliți pe baze riguroase științifice.

Capitolul 3

Acțiuni în construcții

Prin acțiuni se înțeleg orice cauze susceptibile de a determina solicitări mecanice ale elementelor de construcție, ca de exemplu: greutatea proprie a clădirii și a corpurilor pe care aceasta le susține, presiunea vântului, variațiile de temperatură și de umiditate care provoacă dilatări sau contracții, tasările neuniforme ale terenului etc. Există de asemenea acțiuni excepționale, ce pot provoca avarii deosebit de grave structurii unei construcții, mergând până la distrugerea totală a acesteia: forțele seismice, inundațiile mari, alunecările de teren, exploziile, impactul dintre avioane și clădiri etc.

În proiectare acțiunile se reprezintă cu ajutorul schemelor de încărcare, ce cuprind sistemele de forțe, deplasări și deformații impuse. Încărcările sunt caracterizate prin intensitate, punct de aplicație, orientare și mod de variație în timp.

3.1. Clasificarea acțiunilor

Acțiunile (încărcările) se clasifică după mai multe criterii.

a. După modul cum variază în timp și frecvența cu care se manifestă la anumite intensități (această clasificare este oficializată prin prescripții tehnice):

- acțiuni permanente (G sau P) – sunt acele acțiuni a căror valoare rămâne practic neschimbată pe toată durata de exploatare a construcției (de exemplu greutatea proprie a elementelor de construcție cu poziție fixă);
- acțiuni temporare (T), ce pot fi de două tipuri: cvasipermanente (aproape permanente) și variabile.

Acțiunile cvasipermanente (C) se manifestă cu intensități mari timp îndelungat sau foarte frecvent (greutatea pereților despărțitori neportanți, presiunea lichidelor sau gazelor din rezervoare, greutatea prafului industrial etc.).

Acțiunile variabile (Q) sunt acele acțiuni ce se manifestă cu intensități semnificative la intervale mari sau care pot varia rapid în timp (încărcarea din zăpadă, vânt etc.).

- acțiuni excepționale (E), numite și accidentale (A) – apar foarte rar, eventual niciodată în perioada de folosință a unei construcții, dar cu intensități deosebit de mari (acțiunea seismică, acțiunile rezultate din inundații puternice, acțiunile din explozii etc.).

b. După modul de manifestare și efectul produs, acțiunile se clasifică în:

- acțiuni statice – care variază lent în timp, astfel încât nu determină oscilații ale structurii;

- acțiuni dinamice – variază rapid ca intensitate, direcție sau punct de aplicare, determinând oscilații ale structurii.

Mario Salvadori scrie în cartea sa „Mesajul structurilor”: „... un ciocan așezat lent, ușor pe capul unui cui nu va produce nici un impact. Dar lovind cu același ciocan brusc cuiul, acesta va intra în lemn. Se poate arăta că astfel de încărcări aplicate brusc sunt echivalente cu de mai multe ori greutatea lor aplicate static.”

Există cazuri când aceeași acțiune poate avea caracter static sau dinamic, funcție de tipul de construcție asupra căreia se exercită. Astfel, vântul are o acțiune statică asupra construcțiilor obișnuite, cu înălțime redusă, dar poate avea o acțiune dinamică asupra construcțiilor înalte și zvelte, sensibile la vibrații (blocuri înalte, turnuri pentru antene etc.).

c. Alte criterii de clasificare se referă la:

- cauza acțiunilor (din greutate proprie, acțiuni utile, acțiuni climatice);
- direcția de manifestare (verticale, orizontale, normale pe o suprafață).

3.2. Intensitatea acțiunilor

În trecut intensitatea acțiunilor era considerată egală cu valoarea maximă observată până la data respectivă. În prezent se ține seama de faptul ca acțiunile pot avea variații aleatoare (întâmplătoare), astfel că intensitatea lor poate fi apreciată numai în baza unor studii statistice. Prevederea posibilității de manifestare a unei acțiuni, cu o anumită intensitate, în timpul întregii perioade de exploatare a clădirii, este o problemă de probabilitate.

Pentru calculele prin metoda stărilor limita (MSL), se disting intensități normale și intensități de calcul ale acțiunilor.

a. Intensitatea (valoarea sau mărimea) normată a încărcării, denumită în cadrul eurocodurilor valoare caracteristică a acțiunii, este o valoare de referință, aleasă convențional, ținând seama de variabilitatea statistică specifică a acțiunii respective. Modul de stabilire a intensității normale și valoarea concretă a acesteia este precizată de standardul acțiunii.

b. Intensitatea de calcul a încărcării este o valoare ce se determină prin înmulțirea valorii (intensității) normale cu un coeficient al încărcării, numit coeficient parțial de siguranță, prin care se ține seama de abaterile posibile (altele decât cele statistice) în sens defavorabil pentru structură, ale intensității în raport cu valorile caracteristice.

Coeficientul încărcării are semnificația unui coeficient de siguranță și are valori diferențiate în raport cu acțiunea considerată și cu tipul de stare limită pentru care se face verificarea. Uneori coeficientul parțial de siguranță poate lua și valori subunitare, în cazul când acțiunea are efect favorabil.

Rolul coeficientului de siguranță nu se referă la greșeli de calcul, neglijențe de execuție, exploatarea necorespunzătoare a construcției etc. Acest coeficient se referă numai la posibilitatea depășirii valorilor caracteristice datorită unor variații ale intensității acțiunii. În consecință, coeficientul de siguranță ține seama numai de acele variații care sunt posibile când se respectă proiectul și prescripțiile tehnice.

3.3. Acțiuni permanente

Prin acțiuni permanente se înțeleg acele încărcări care se exercită pe întreaga perioadă de existență a unei construcții. În această categorie intră:

a. greutatea elementelor de construcție ce rămân nemodificate pe toată durata exploatării (pereți structurali, stâlpi, grinzi, planșee etc.);

- b. greutatea și împingerea pământului (în cazul construcțiilor subterane, la pereții subsolurilor etc.);
- c. efectele precomprimării betonului.

Valoarea caracteristică (normată) P_k a încărcării permanente dată de greutatea proprie a unui element de construcție se calculează cu relația:

$$P_k = \gamma \cdot V \quad (3.1)$$

unde: γ – greutatea tehnică a materialului (greutatea materialului după ce a fost pus în operă) (daN/m^3);

V – volumul elementului (m^3).

Greutățile tehnice ale materialelor se consideră în starea de îndesare și cu umiditatea de echilibru pe care acestea le au în construcție. Greutățile tehnice sunt exprimate sub formă de greutate specifică în cazul materialelor omogene compacte (metale, sticlă, lichide etc.), greutate specifică aparentă în cazul materialelor poroase (beton, cărămidă, lemn), greutate specifică în grămadă sau în vrac (ciment, balast, nisip), greutate specifică în stivă (cherestea, cărămizi). În Tabelul 3.1 sunt prezentate greutatețile tehnice pentru o serie de materiale de construcții.

Tabel 3.1 Greutăți tehnice (daN/m^3)

Material	Greutate tehnică	Material	Greutate tehnică
Polistiren expandat	20	Zidărie cărămidă	1200...1800
Pâslă minerală	250	Nisip	1600
Lemn	600...800	Pietriș	1600
B.C.A.	500...1050	Argilă	1800
Granulit vrac	900	Beton simplu	2100
Oțel	7850	Beton armat	2400...2500

Greutățile tehnice efective sunt diferite de cele nominale. La metale diferența este neglijabilă, dar la elementele din beton sau din alte materiale pot să apară diferențe semnificative. De exemplu, greutatea tehnică a betonului, conform unor studii statistice, poate varia conform graficului din Fig. 3.1.

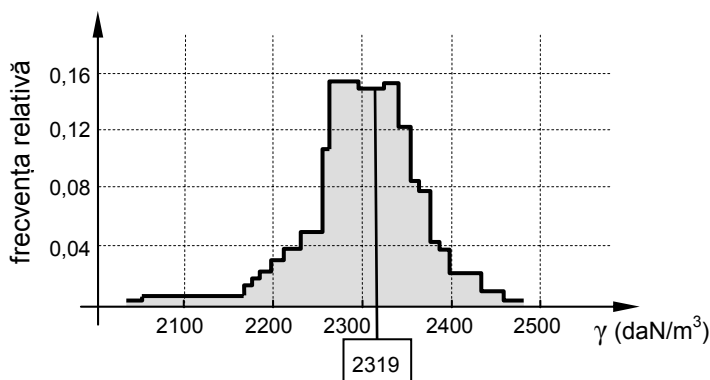


Fig. 3.1. Variabilitatea statistică a greutății specifice a betonului

Volumul se calculează pe baza dimensiunilor de execuție obținute în urma calculelor de proiectare. După cum s-a arat în primul capitol, dimensiunile reale prezintă abateri față de cele din proiect.

În consecință, este necesară utilizarea unui coeficient al încărcării, denumit în standardele actuale coeficient parțial de siguranță, care ia în considerare abaterile aleatoare ale dimensiunilor elementelor.

Valoarea de calcul a încărcării permanente P_d se va determina cu relația:

$$P_d = \gamma_p \cdot P_k \quad (3.2)$$

unde: γ_p – coeficient (factor) parțial de siguranță.

Reducerea greutății proprii a construcțiilor constituie un obiectiv de perfecționare și o măsură a nivelului de performanță atins. Preocupările în

acest sens conduc la consumuri mici de materiale, transporturi și manipulări mai reduse, dar și la scăderea intensității acțiunii seismice care este direct proporțională cu masa construcției. Dacă vechile piramide egiptene se caracterizau printr-o greutate medie de cca. 2000 daN/m^3 , clădirile actuale cu structură din beton armat au cca. 400 daN/m^3 .

3.4. Acțiuni temporare

3.4.1. Acțiuni temporare cvasipermanente

Aceste acțiuni se manifestă cu intensități medii timp îndelungat sau cu intensități mari în mod frecvent. În această categorie intră: greutatea pereților despărțitori neportanți, greutatea utilajelor fixe, greutatea conținutului rezervoarelor, greutatea prafului industrial etc.

Pentru construcțiile civile interesează în principal încărcarea dată de greutatea pereților despărțitori, care pot fi modificați în decursul perioadei de exploatare a construcției sau pot fi desființați fără a afecta structura de rezistență a clădirii. Această acțiune se consideră în mod simplificat ca o sarcină uniform distribuită pe toată suprafața planșeului pe care sprijină acești pereți, cu valoarea cuprinsă între $50 \dots 150 \text{ daN/m}^2$, funcție de greutatea efectivă a peretelui. Această simplificare (aproximare) este permisă cu două condiții:

- greutatea proprie a pereților să nu depășească 500 daN/ml ;
- pereții despărțitori să nu fie situați pe un singur element de rezistență, căruia să-i transmită integral încărcarea din greutatea proprie (acești pereți nu trebuie să rezeme, de exemplu, pe o singură grindă sau pe o singură fâșie prefabricată a planșeului).

3.4.2. Acțiuni temporare variabile

Sunt acele acțiuni care se manifestă cu intensități semnificative la intervale mari sau care variază sensibil cu timpul. Din această categorie fac parte: încărcările utile, încărcările climatice, încărcările din poduri rulante etc.

3.4.2.1. Încărcări utile

Sunt reprezentate de greutatea oamenilor, mobilierului, aparatelor, instalațiilor etc. Mario Salvadori scria: „Aceste încărcări nepermanente pot fi deplasate sau pot varia ca intensitate. Poți fi singur într-o cameră astăzi și să ai zece musafiri mâine. Aceștia se pot aduna într-un colț sau pot fi împrăștiați în toată camera. Locatarul următor poate avea o mobilă masivă și o poate amplasa diferit. Este evident că nu putem ști niciodată exact ce încărcare utilă avem și cum urmează să fie distribuită.”

Datorită faptului că nu putem controla foarte exact mărimea și poziția încărcărilor utile și pentru a nu complica calculele de proiectare, prescripțiile tehnice asimilează aceste încărcări, care în general sunt neuniform distribuite, cu încărcări verticale uniform distribuite pe planșee, având valori considerate echivalente cu cele din realitate și determinate pe baza unor studii statistice, dar mai cu seamă pe baza experienței de proiectare. De exemplu, pentru încăperile clădirilor de locuințe încărcarea utilă normată (caracteristică) se consideră egală cu 150 daN/m^2 . În Tabelul 3.2 sunt date valorile încărcărilor utile, conform standardului în vigoare, pentru o serie de zone dintr-o clădire.

Planșeele încărcate cu sarcina utilă pot avea următoarele scheme de încărcare: încărcare completă sau încărcare parțială (în șah) pentru obținerea celor mai defavorabile ipoteze.

Deoarece este puțin probabil ca încărcările utile să atingă valorile maxime pe toată suprafața planșeului și simultan la toate etajele, la verificarea elementelor structurale indirect încărcate (grinzi, stâlpi, pereți, fundații) se aplică coeficienți subunitari de reducere a încărcărilor.

Tabel 3.2 Încărcări utile normate (caracteristice)

Zona verificată	Intensitatea (daN/m²)
Acoperișuri și terase necirculabile cu panta:	
– peste 5%	50
– sub 5%	75
Idem circulabile	200
Locuințe, hoteluri, creșe etc.	150
Birouri, clase	200
Balcoane, loggii	200
Poduri necirculabile	75
Spații de acces: scări, coridoare etc.	300
Săli de spectacole, magazine etc.	400
Tribunale:	
– cu locuri fixe	400
– fără locuri fixe	500

3.4.2.2. Acțiunea zăpezii

Această acțiune face parte din categoria încărcărilor variabile climatice și poate fi extrem de periculoasă pentru unele tipuri de acoperișuri, în anumite condiții climatice. Mario Salvadori relatează despre prăbușirea acoperișului unui patinoar: „Unul dintre acoperișurile metalice cele mai mari din Statele Unite, peste un patinoar de hochei pe gheață din Hartford, Connecticut, s-a prăbușit deoarece nu a putut suporta o încărcare neobișnuită cu zăpadă.

Din fericire, patinoarul nu era folosit în acel moment. Acoperișul era rezemat pe patru stâlpi puternici și avea dimensiunile de 110 x 91,5 m. A căzut în câteva secunde.”

Situații similare au existat la acoperișul Pavilionului Expozițional din București, unde încărcarea din zăpadă a atins o cifră record, de cca. 700 daN/m^2 , și la vechea hală de pește din Iași, ce era situată în Centrul civic, în zona restaurantului Dunărea. În Fig. 3.2 sunt redată câteva situații la care încărcarea din zăpadă a condus la cedarea unor elemente structurale ale acoperișului și pereților unor clădiri civile și industriale.



Fig. 3.2. Avarii provocate de acțiunea zăpezii

Factorii de care depinde încărcarea din zăpadă sunt:

- greutatea proprie a zăpezii (cca. 235 daN/m^3), care depinde de gradul de îndesare și de prezența pulberilor sau a gheții;
- grosimea stratului de zăpadă, dependentă de zona geografică și de perioada de revenire (numărul mediu de ani în care valoarea unui anumit parametru poate fi atinsă o singură dată);
- forma acoperișului și clădirii, poziția și forma imobilelor învecinate, tipul reliefului, toate acestea influențând aglomerarea zăpezii sub acțiunea vântului.

Acțiunea zăpezii pe suprafața expusă a elementului de construcție considerat se calculează, conform normativului în vigoare, cu relația:

$$s_k = \mu_i \cdot C_e \cdot C_t \cdot s_{0,k} \quad (3.3)$$

unde: s_k – valoarea caracteristică a încărcării din zăpadă pe acoperiș (daN/m^2);

μ_i – coeficient de formă (aglomerare) pentru încărcarea din zăpadă, în zona considerată de pe clădire, datorită formei acoperișului;

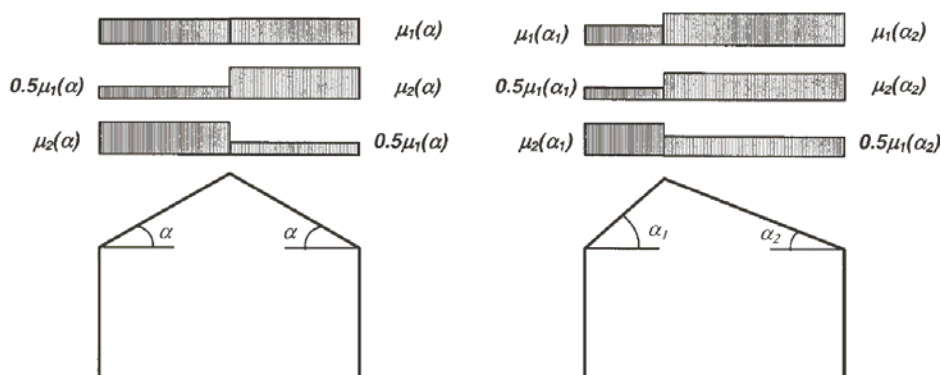
C_e – coeficient prin care se ține seama de condițiile de expunere ale amplasamentului construcției;

C_t – coeficient termic prin care se ține seama de topirea zăpezii datorită pierderilor termice ale clădirii;

$s_{0,k}$ – valoarea caracteristică (numită și greutate de referință) a încărcării din zăpadă pe sol: reprezintă greutatea stratului de zăpadă depusă pe teren plan orizontal, în zona unde este amplasată construcția (daN/m^2).

Coeficientul de formă μ_i este prevăzut în standardul pentru încărcarea din zăpadă, funcție de forma acoperișului (mărimea pantei, prezența unor denivelări, prezența unor obstacole etc.), pentru diverse situații, întâlnite în mod frecvent. O astfel de situație este prezentată, ca exemplu, în Fig. 3.3.

Pentru construcții de importanță deosebită și sensibile la acțiunea combinată a zăpezii și vântului, se recomandă ca valorile μ_i să se determine experimental pe modele la scară redusă, în tunelul aerodinamic, utilizând materiale cu proprietăți asemănătoare zăpezii (rumeguș, pilitură din lemn de brad etc.).



α	μ_1	μ_2
$0 < \alpha \leq 30^\circ$	0,8	$0,8 \frac{30 + \alpha}{30}$
$30^\circ < \alpha \leq 60^\circ$	$0,8 \frac{60 - \alpha}{30}$	1,6
$\alpha > 60^\circ$	0,0	—

Fig. 3.3. Coeficientul de formă μ_i pentru acoperișuri cu două pante

Coeficientul C_e ține cont de gradul de expunere al clădirii la vânt, funcție de prezența în vecinătatea construcției a unor obstacole (alte clădiri, plantații etc.), și are valorile recomandate: 0.8 (expunere completă), 1.0 (expunere parțială) și 1.2 (expunere redusă).

Coeficientul termic C_t poate reduce încărcarea dată de zăpadă pe acoperiș în cazuri speciale, când capacitatea de izolare a acoperișului este limitată și căldura cedată duce la topirea zăpezii. În aceste cazuri valoarea coeficientului termic se determină prin studii speciale. Pentru acoperișurile prevăzute cu strat termoizolant, coeficientul termic $C_t = 1.0$.

Valoarea caracteristică a încărcării din zăpadă pe sol (greutatea de referință) $s_{0,k}$ se determină pe bază de analiză statistică a șirurilor de observații meteorologice asupra greutateții și grosimii stratului de zăpadă la nivelul terenului plat. Valorile greutateții de referință pentru altitudini sub 1000 m sunt funcție de zona geografică, conform hărții de zonare din cadrul codului pentru evaluarea acțiunii din zăpadă (Fig. 3.4), și pot avea valori de 150, 200 sau 250 daN/m². Pentru regiunile montane cu altitudini peste 1000 m, greutatea de referință pe sol se determină cu relațiile prevăzute în normativ, funcție de mărimea efectivă a altitudinii. În acest caz rezultă valori cuprinse în intervalul 150...760 daN/m².

Determinarea intensității de calcul s_d a încărcării din zăpadă se face cu relația:

$$s_d = \gamma \cdot s_k \quad (3.4)$$

în care cu γ s-a notat coeficientul încărcării, denumit în standard coeficient parțial de siguranță, care depinde de o multitudine de factori: zona climatică, gruparea de încărcări și starea limită la care se face verificarea,

raportul dintre încărcările gravitaționale ale acoperișului și încărcarea din zăpadă, clasa de importanță a structurii calculate.

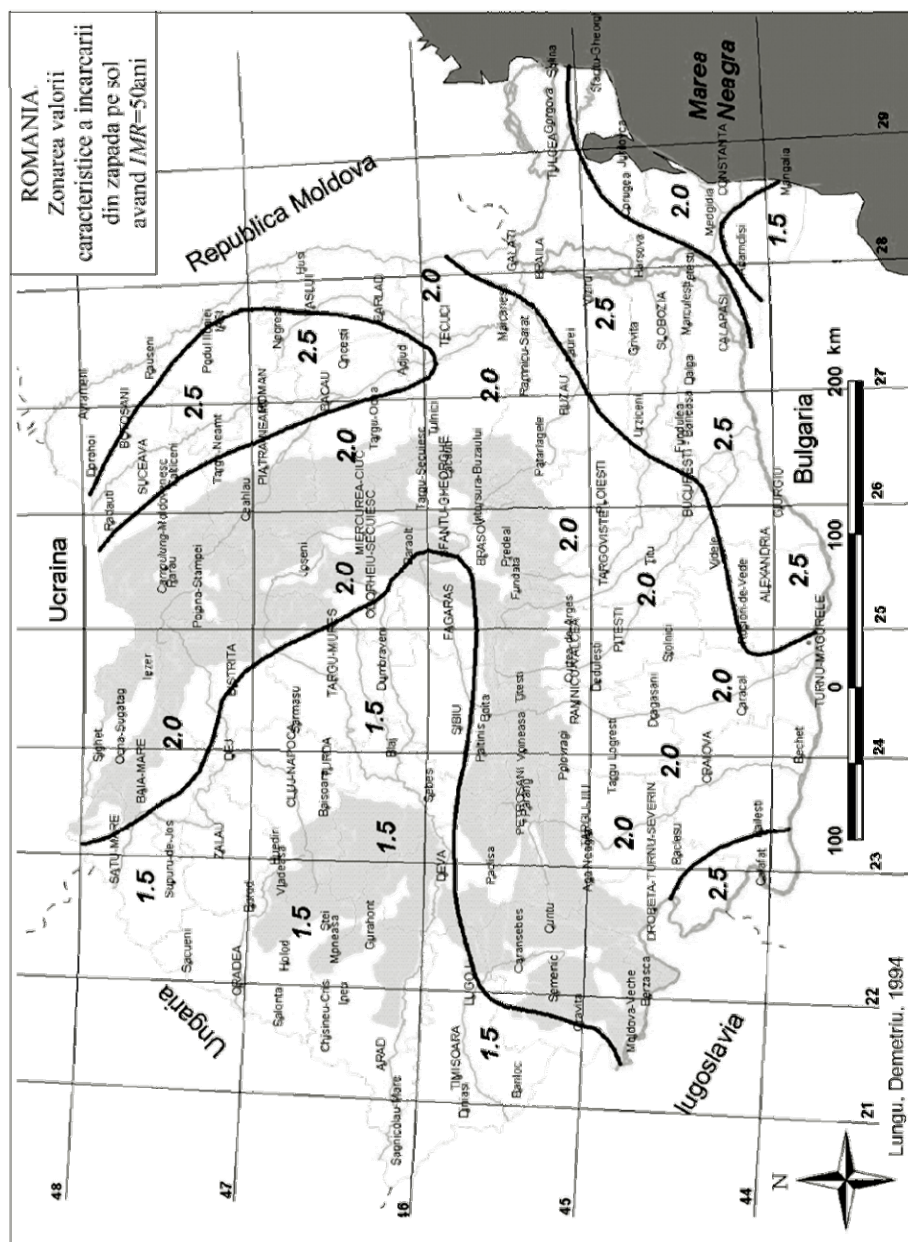


Fig. 3.4. Harta de zonare a valorii caracteristice a încărcării din zăpadă pe sol $s_{0,k}$ (kN/m²)

Deoarece încărcarea din zăpadă poate deveni extrem de periculoasă, mai ales pentru acoperișurile ușoare sau de tip membrană, în procesul de proiectare trebuie luate în considerare o serie de aspecte nefavorabile cum ar fi:

- distribuția asimetrică a zăpezii datorită vântului (Fig. 3.5.a);
- aglomerări mari de zăpadă, care sunt posibile dacă forma acoperișului este nefavorabilă (Fig. 3.5.b);
- mărirea greutateii zăpezii din cauza pulberilor industriale sau a gheții.

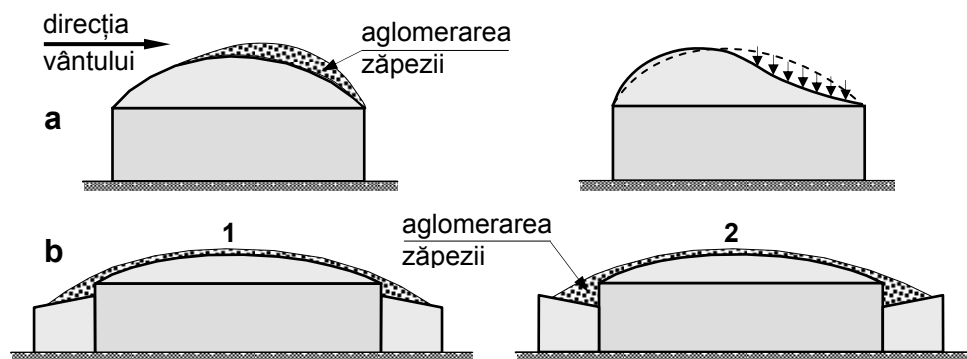


Fig. 3.5. a. acoperiș tip membrană încărcat asimetric
b. forma favorabilă (1) și nefavorabilă (2) de acoperiș

3.4.2.3. Acțiunea vântului

A. Generalități

Deși încărcarea din vânt este încadrată în categoria acțiunilor temporare variabile, efectele sale pot fi deosebit de grave, în special asupra construcțiilor flexibile de dimensiuni mari. Prăbușirea în 1940 a podului metalic Tacoma Narrows din Washington, datorită unor oscilații de torsiune ale tablierului (Fig. 3.6), sau a turnurilor de răcire din beton armat ale centralei energetice Ferrybridge din Anglia în 1965 (Fig. 3.7) sunt doar două exemple în acest sens. Astfel de situații pun în pericol vieți omenești și în plus au ca urmare pagube materiale foarte mari, în SUA acestea fiind evaluate la peste 500 milioane de dolari anual (la nivelul anilor '80).

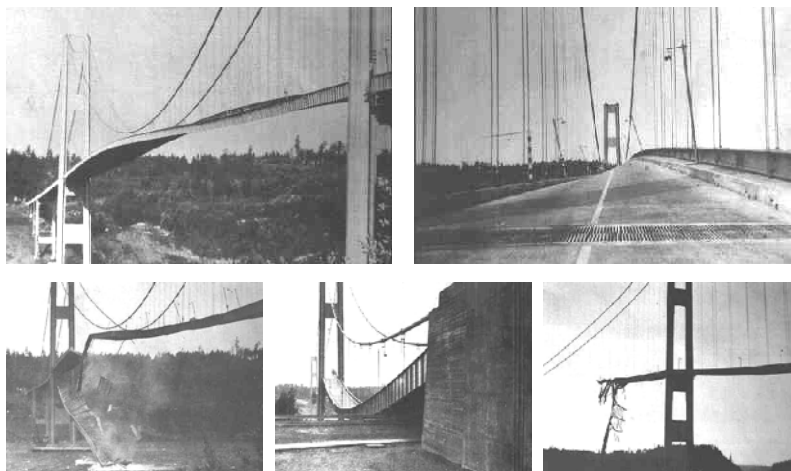


Fig. 3.6. Prăbușirea podului metalic Tacoma Narrows (SUA, 1940)

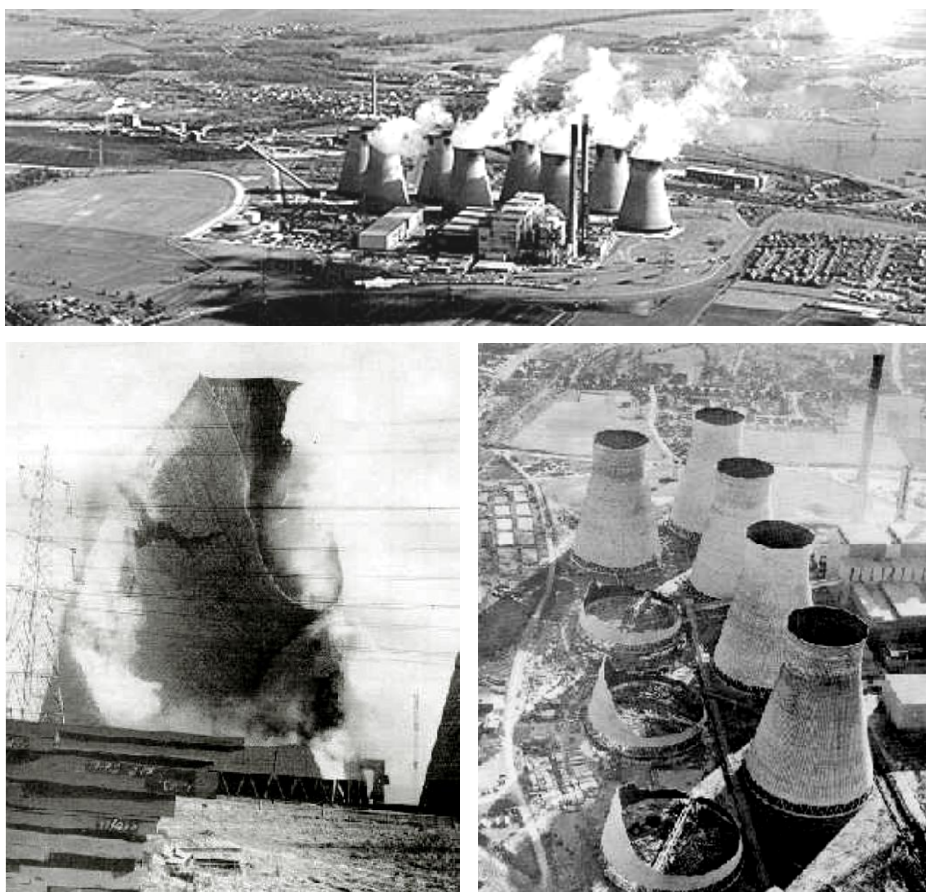


Fig. 3.7. Prăbușirea turnurilor de răcire ale centralei Ferrybridge (Anglia, 1965)

Încărcarea din vânt este rezultatul interacțiunii dintre masele de aer în mișcare, cu direcție preponderent orizontală și obstacolele constituite de construcții.

Caracterul complex al acțiunii vântului este determinat, printre altele, de faptul că în vecinătatea construcțiilor liniile de curent (direcțiile de circulație ale maselor de aer) sunt deviate, luând traiectorii complicate (Fig. 3.8).

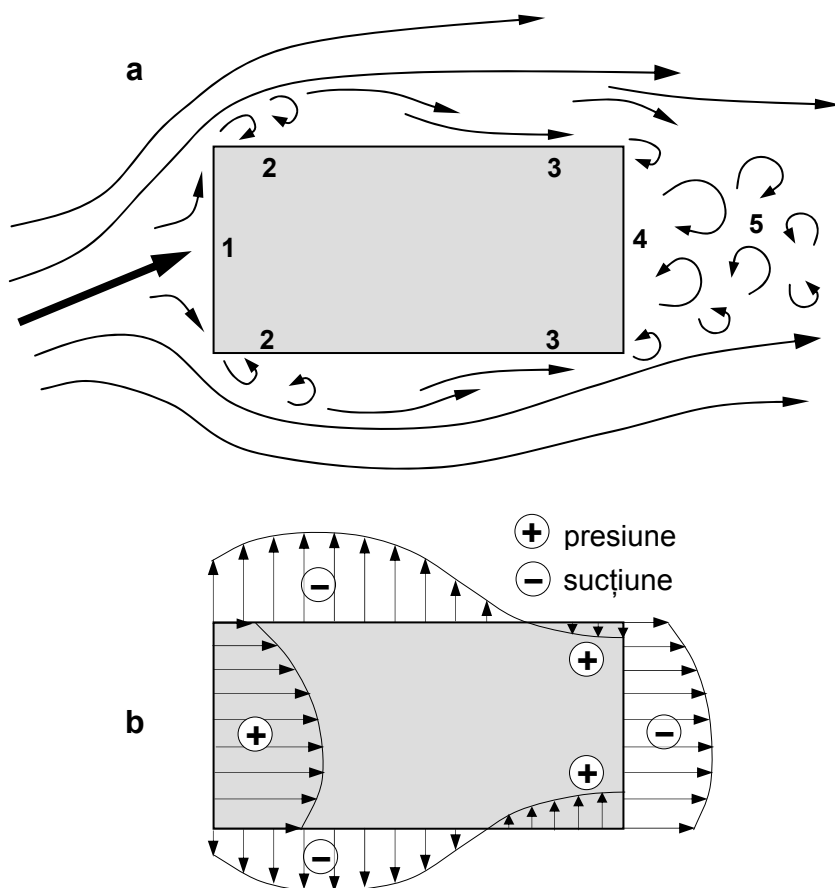


Fig. 3.8. Curgerea aerului în jurul unei clădiri, datorită vântului

a. direcția curenților; **b.** diagrama de presiuni

1. punct de stagnare; 2. zone cu vârtejuri ce se desprind de clădire;
3. zone de realipire a curenților; 4. zonă cu presiuni negative (sucțiuni);
5. zonă de vârtejuri (siaj)

Astfel, pe fațada clădirii expusă direct vântului apar presiuni superioare celei atmosferice (Fig. 3.8 pct. 1). Pe fațadele laterale iau naștere vârtejuri induse de colțurile clădirii ce se desprind periodic, alunecând în sensul curgerii (Fig. 3.8, pct. 2), în continuare curenții având tendința să se realipească de clădire (Fig. 3.8, pct. 3). În spatele clădirii se formează o zonă cu presiuni negative numite suționi (Fig. 3.8, pct. 4), și o dâră de vârtejuri alternante (siaj) asemănătoare cu urma lăsată pe apă de un vapor în mișcare (Fig. 3.8, pct. 5).

Pe de altă parte, grupurile de clădiri pot determina efecte defavorabile ale acțiunii vântului, cum este de exemplu efectul de tunel ce apare între grupuri de clădiri paralele și determină creșterea locală a vitezei vântului (Fig. 3.9.a), sau efectul de pâlnie între clădiri neparalele, având ca urmare majorarea vitezei curenților de aer (Fig. 3.9.b).

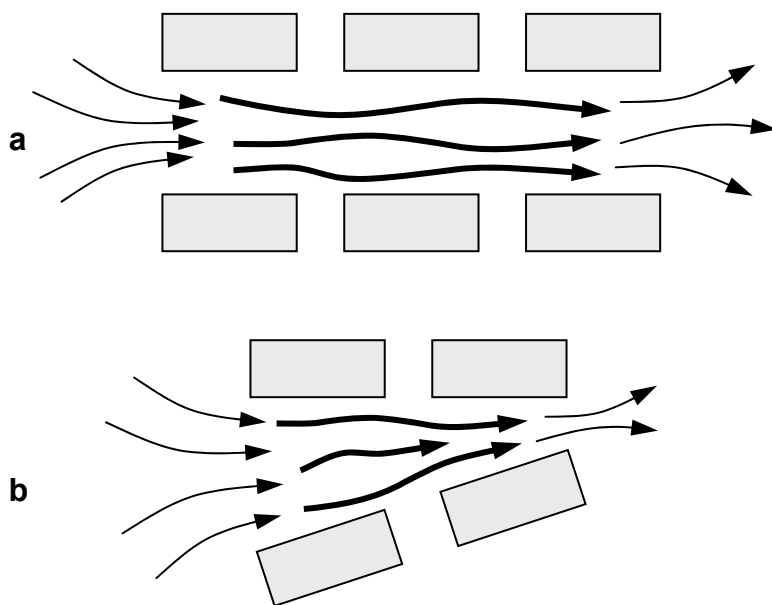


Fig. 3.9. Efecte defavorabile ale acțiunii vântului
a. efectul de tunel; **b.** efectul de pâlnie

În ceea ce privește modul în care vântul își poate manifesta acțiunea asupra construcțiilor, trebuie remarcat faptul că această încărcare poate avea caracter static sau dinamic, funcție de tipul de clădire asupra căreia se exercită. În general, se poate considera că vântul are o acțiune statică asupra clădirilor grele, cu înălțime redusă, și o acțiune dinamică asupra construcțiilor înalte și zvelte, sensibile la vibrații. Într-o exprimare mai riguroasă, vântul are o acțiune statică dacă perioada rafalelor este mai mare decât perioada de vibrație a clădirii, și dinamică în caz contrar.

Mario Salvadori scria: „ ... De exemplu, o rafală de vânt atingând intensitatea maximă și apoi descrescând în două secunde constituie o încărcare dinamică pentru turnurile lui World Trade Center ce au o perioadă de zece secunde, dar aceeași rafală de două secunde este o încărcare statică pentru o clădire de cărămidă cu zece etaje care are o perioadă de numai o jumătate de secundă.”

Ca urmare, efectul dinamic al acțiunii vântului se manifestă prin:

- oscilații longitudinale, pe direcția de deplasare a curenului de aer, datorită faptului că viteza vântului este fluctuantă, crescând și scăzând aleator în raport cu viteza medie;
- oscilații transversale, datorită vârtejurilor care se desprind periodic pe lângă suprafețele laterale ale construcției (efectul este asemănător cu mișcarea șerpuită a unui steag fixat pe un pilon); dacă perioada de pulsație a vârtejurilor laterale coincide cu cea a construcției se ajunge la fenomenul de rezonanță, deosebit de periculos.

În concluzie, acțiunea vântului poate avea efecte generale, de ansamblu, asupra clădirilor (construcția tinde să fie deplasată, răsturnată, torsionată etc., Fig. 3.10) și efecte locale (avarierea unor pereți, desprinderea învelitorii acoperișului, spargerea geamurilor, infiltrații nedorite de aer în clădire etc., Fig. 3.11).

Andrew



Charley



Katrina



Donna



Fig. 3.10. Efecte de ansamblu ale uraganelor

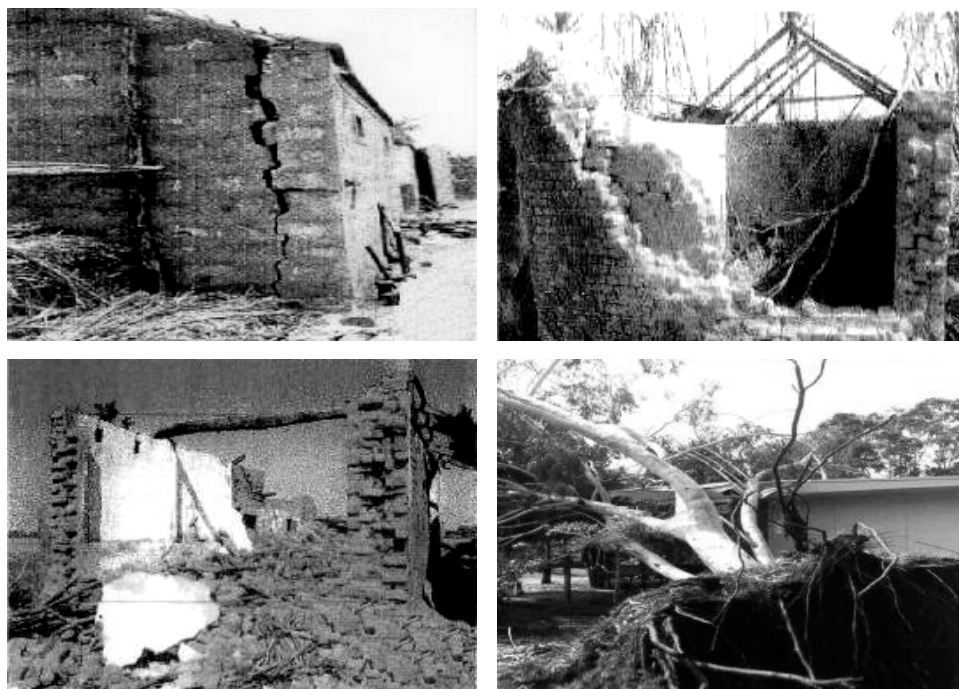


Fig. 3.11. Efecte locale ale acțiunii vântului

B. Caracteristici de bază ale vântului

Vântul este un fenomen aleator, având drept caracteristică principală viteza. Aceasta este o mărime vectorială, care variază în raport cu timpul și cu spațiul. Fiind o mărime aleatoare, viteza poate fi studiată în mod precis numai cu ajutorul metodelor statistice și a teoriei probabilităților.

Principial, viteza medie a vântului, notată cu U , se poate determina cu ajutorul unei relații de forma:

$$U = \frac{u_1 + u_2 + \dots + u_n}{n} = \frac{\sum_{i=1}^n u_i}{n} \quad (3.5)$$

în care: u_i – viteza vântului la momentul „ i ” (m/s).

În cazul în care viteza este exprimată sub forma unei funcții $u(t)$ în raport cu timpul, expresia precedentă a vitezei medii devine:

$$U = \frac{1}{T} \int_0^T u(t) dt \quad (3.6)$$

unde: $u(t)$ – viteza la momentul „t” (m/s);

T – intervalul de mediere, ce reprezintă durata de timp pentru care se calculează viteza medie (min).

Codul românesc actual introduce noțiunea de „viteză de referință”, notată U_{ref} , definită ca fiind viteza vântului mediată pe o durată $T = 10$ min., măsurată la o înălțime de 10 m, în câmp deschis și având o probabilitate de depășire într-un an de 0,02 (2%).

Viteza vântului la un anumit moment poartă numele de viteză instantanee (Fig. 3.12), și poate fi exprimată cu o expresie de forma:

$$U(z, t) = U(z) + u(z, t) \quad (3.7)$$

unde: $U(z, t)$ – viteza instantanee a vântului la momentul „t”, la înălțimea „z” (m/s);

$U(z)$ – viteza medie a vântului la înălțimea „z” (m/s);

$u(z, t)$ – partea fluctuantă a vitezei vântului (componenta de rafală) la momentul „t”, la înălțimea „z” (m/s).

Viteza medie a vântului crește cu înălțimea față de teren, datorită frecării aerului cu suprafața rugoasă a pământului, până la o cotă numită înălțime de gradient, după care rămâne constantă (Fig. 3.13). Această variație este cel mai bine descrisă de o lege logaritmică. Pentru o categorie de teren cu o anumită rugozitate, legea logaritmică scrisă în forma standard este dată de relația (3.8).

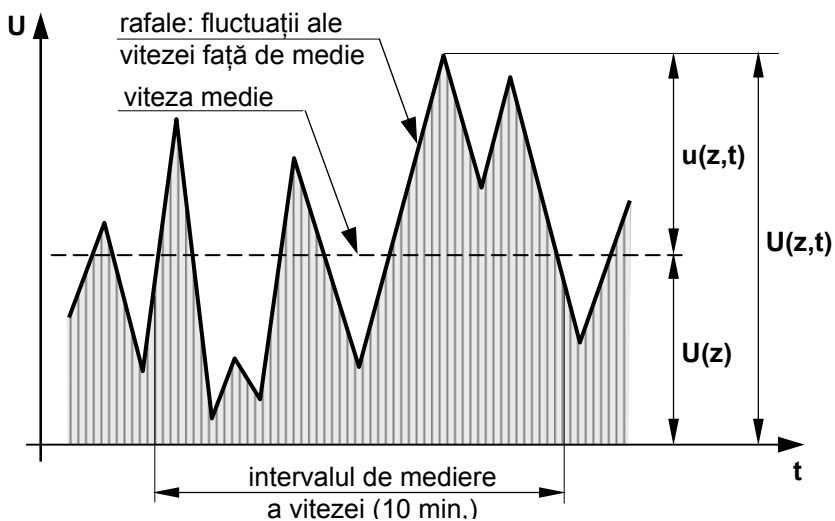


Fig. 3.12. Variația vitezei vântului în timp

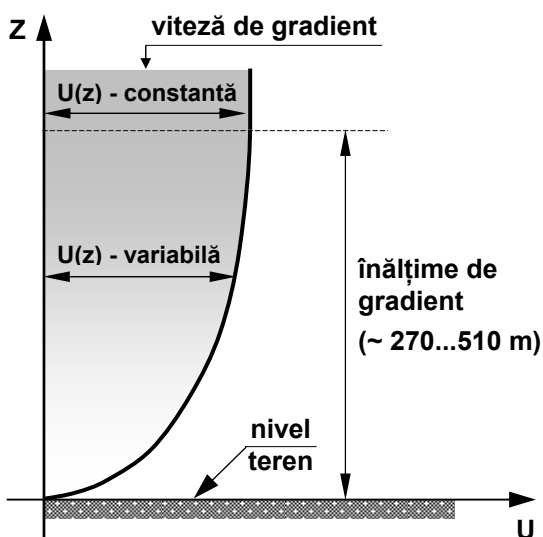


Fig. 3.13. Variația vitezei vântului cu înălțimea

$$\frac{U(z)}{U(z_r)} = \frac{\ln \frac{z}{z_o}}{\ln \frac{z_r}{z_o}} \quad (3.8)$$

unde: $U(z)$ – viteza medie a vântului la înălțimea "z" deasupra terenului (m/s);

$U(z_r)$ – viteza medie a vântului la o înălțime de referință " z_r " deasupra terenului (m/s);

z – înălțimea deasupra terenului (m);

z_r – înălțimea de referință deasupra terenului (uzual $z_r = 10$ m) (m);

z_o – lungimea de rugozitate: reprezintă o măsură a mărimii vârtejurilor vântului turbulent la suprafața terenului (m).

Datorită vitezei, atunci când vântul întâlnește un obstacol, ia naștere o presiune. Considerând că în calea vântului se află o suprafață plană verticală, dispusă perpendicular pe direcția vântului, presiunea exercitată în punctul de stagnare situat în centrul plăcii, se numește presiune de referință și are valoarea:

$$q_{\text{ref}} = \frac{1}{2} \rho_a \cdot U_{\text{ref}}^2 \quad (3.9)$$

unde: ρ_a – densitatea aerului, ce variază funcție de altitudine și temperatură.

C. Calculul încărcărilor din vânt

Constă în determinarea forțelor normale (perpendiculare) ce acționează asupra elementelor exterioare de închidere, și a forțelor tangențiale, de frecare, distribuite la suprafața exterioară a construcției.

a) Presiunea vântului la înălțimea „z” deasupra terenului, normală pe suprafețele structurii, se determină cu relația:

$$w(z) = c_e(z) \cdot c_p \cdot q_{ref} \quad (3.10)$$

unde: $w(z)$ – presiunea normală a acțiunii vântului (daN/m² sau Pa);

$c_e(z)$ – factorul de expunere la înălțimea „z” deasupra terenului;

c_p – coeficient aerodinamic de presiune;

q_{ref} – presiunea de referință a vântului (daN/m² sau Pa).

Factorul de expunere $c_e(z)$ ține cont de influența rafalelor vântului și a rugozității terenului, fiind exprimat prin relația:

$$c_e(z) = c_g(z) \cdot c_r(z) \quad (3.11)$$

unde: $c_g(z)$ – factorul de rafală, exprimat ca raport între presiunea de vârf produsă de rafalele vântului și presiunea medie, produsă de viteza medie a vântului: $c_g(z) = q_g(z)/Q(z)$;

$c_r(z)$ – factorul de rugozitate, dat de raportul dintre presiunea medie a vântului la înălțimea „z” și presiunea de referință:
 $c_r(z) = q(z)/q_{ref}$.

Variația factorului de expunere funcție de înălțimea deasupra terenului, pentru viteza vântului mediată pe 10 min., este reprezentată în graficele din Fig. 3.14. pentru diferite categorii de teren (diverse rugozități).

Coeficientul aerodinamic c_p are semnificația unui raport între presiune normală $w(z)$ într-un punct pe suprafața clădirii și presiunea de referință q_{ref} într-un punct aflat la distanță de clădire, într-o zonă în care curenții de aer

nu sunt perturbați de construcție. Acest coeficient depinde de geometria și dimensiunile clădirii, de unghiul de atac al vântului, de rugozitatea terenului.

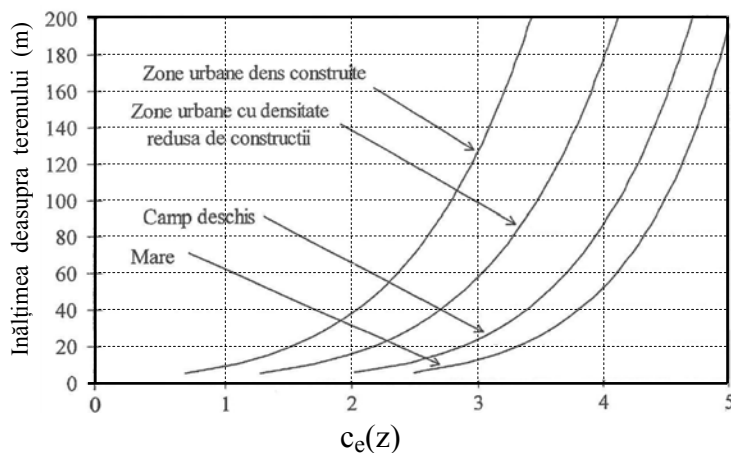


Fig. 3.14. Factorul de expunere $c_e(z)$

Coeficienții aerodinamici sunt prevăzuți în standardul acțiunii vântului, cu valori maxime (acoperitoare), pentru următoarele tipuri de structuri: clădiri, copertine, pereți verticali izolați, garduri și panouri pentru reclamă, elemente structurale cu secțiuni rectangulară, poligonală sau circulară, structuri cu zăbrele, steaguri etc.

De exemplu, în Fig. 3.15 este reprezentată zonarea pereților exteriori ai unei clădiri dreptunghiulare, iar în Tabelul 3.3 valorile coeficienților aerodinamici corespunzători acestor zone, conform codului pentru acțiunea vântului.

În cazuri deosebite (clădiri de dimensiuni mari, cu forme complicate, situate în zone cu configurație geometrică complexă etc.) pentru determinarea precisă a coeficienților aerodinamici se apelează la simulări în tunelul aerodinamic.

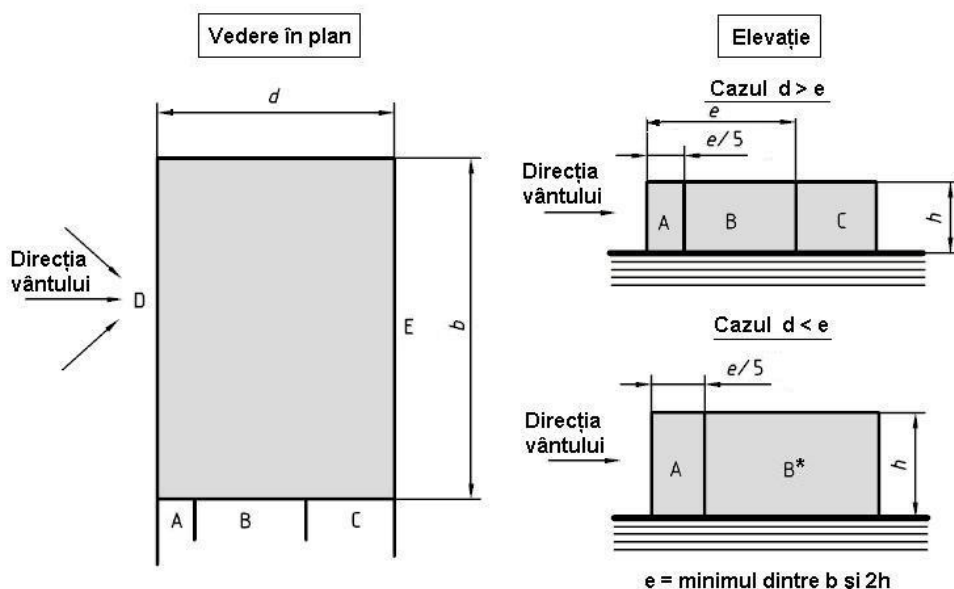


Fig. 3.15. Zone caracteristice la pereții verticali ai clădirilor dreptunghiulare

Tabel 3.3. Coeficienții aerodinamici pentru zonele pereților din Fig. 3.15

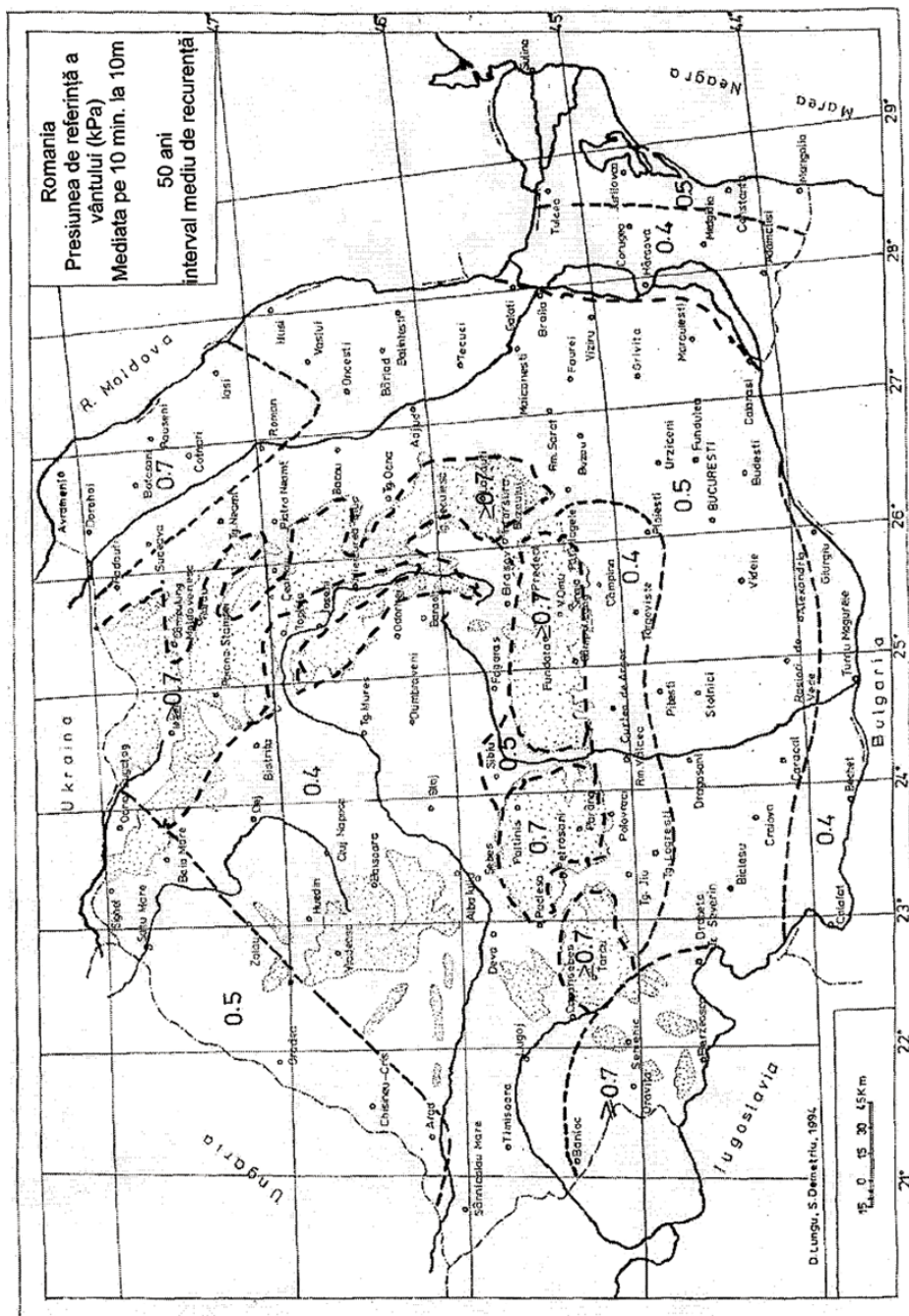
Zona	A		B, B*		C		D		E	
d/h	$c_{p,10}$	$c_{p,1}$	$c_{p,10}$	$c_{p,1}$	$c_{p,10}$	$c_{p,1}$	$c_{p,10}$	$c_{p,1}$	$c_{p,10}$	$c_{p,1}$
≤ 1	-1.0	-1.3	-0.8	-1.0	-0.5		+0.8	+1.0	-0.3	
≥ 4	-1.0	-1.3	-0.8	-1.0	-0.5		+0.6	+1.0	-0.3	

$c_{p,10}$ – coeficientul aerodinamic pentru arii expuse de minim 10 m^2

$c_{p,1}$ – coeficientul aerodinamic pentru arii expuse de maxim 1 m^2

(pentru valori intermediare ale ariilor expuse, sau ale raportului d/h , coeficienții aerodinamici se obțin prin interpolare liniară)

Presiunea de referință q_{ref} a vântului în România, determinată funcție de viteza de referință mediată pe 10 min. și având 50 ani interval mediu de recurență (perioadă de revenire) este indicată în harta de zonare din codul acțiunii vântului (Fig. 3.16).



b) Forța globală pe direcția vântului F_w , pe o arie de construcție de referință orientată perpendicular pe direcția vântului, se determină cu relația generală:

$$F_w = c_e(z) \cdot c_f \cdot c_d \cdot q_{ref} \cdot A_{ref} \quad (3.12)$$

unde: $c_e(z)$ – factorul de expunere la înălțimea „z” deasupra terenului

(conform punctului anterior);

c_f – coeficientul aerodinamic de forță;

c_d – coeficientul de răspuns dinamic la vânt al construcției;

q_{ref} – presiunea de referință a vântului (conform punctului anterior)

(daN/m² sau Pa);

A_{ref} – aria de construcție de referință, orientată perpendicular pe direcția vântului (m²).

Coeficientul aerodinamic de forță „ c_f ” este precizat în codul acțiunii vântului, pentru: panouri publicitare; elemente structurale cu secțiuni rectangulare, cu secțiuni cu muchii ascuțite (profile metalice laminate), cu secțiuni poligonale regulate; cilindrii circulari; sfere; structuri cu zăbrele și eșafodaje; steaguri. Principal, coeficientul aerodinamic se exprimă prin relații simple, funcție de un factor de zveltețe ψ_λ ce depinde de raportul între dimensiunile principale ale elementului calculat (lungime și înălțime).

Coeficientul de răspuns dinamic „ c_d ” servește pentru evaluarea răspunsului de vârf (maxim) al structurilor și se definește ca un factor ce amplifică presiunea vântului pe baza vitezei vântului ce ia în considerare factorul de rafală. În cadrul codului pentru acțiunea vântului este detaliată o metodă simplificată pentru calculul coeficientului dinamic c_d , pentru structuri paralelipipedice.

c) Forța de frecare din vânt se obține cu expresia:

$$F_{fr} = c_e(z) \cdot c_{fr} \cdot q_{ref} \cdot A_{fr} \quad (3.13)$$

unde: c_{fr} – coeficient de frecare având valorile: 0.01 (suprafețe netede: oțel, beton); 0.02 (suprafețe rugoase: beton); 0.04 (suprafețe cu nervuri);

A_{fr} – aria de construcție verticală, orizontală etc., orientată paralel cu direcția vântului (m^2).

3.4.2.4. Acțiunea variațiilor de temperatură

Variațiile de temperatură ce se exercită asupra construcțiilor pot fi de natură climatică, datorită fluctuațiilor termice sezoniere sau zilnice, sau de natură tehnologică, datorită funcționării unor utilaje: cuptoare, camere frigorifice etc.

Datorită acestei acțiuni elementele de construcție tind să se dilate sau să se contracte. Dacă această tendință nu este împiedicată, deformarea fiind liberă, nu iau naștere eforturi. În schimb, dacă deformările sunt împiedicate datorită legăturilor elementului cu restul construcției sau datorită formei elementului, atunci iau naștere eforturi de compresiune, întindere, încovoiere sau alte tipuri de solicitări. Mario Salvadori dădea următorul exemplu:

„Să presupunem că un pod metalic de 90 m lungime a fost construit iarna la o temperatură de 2°C. Într-o zi de vară, când temperatura aerului atinge 32°C, podul se lungește, deoarece toate corpurile se dilată când sunt încălzite. Variația calculată a lungimii podului este de numai 3 cm. Desigur că este mică, doar a treia mia parte din lungimea podului, dar dacă podul este ancorat în culee care nu permit această dilatare termică, culeele vor exercita împingeri asupra podului pentru a-i reduce lungimea cu 3 cm. Din păcate, oțelul este atât de rigid încât forța de compresiune exercitată de culee consumă până la jumătate din capacitatea de rezistență a oțelului.”.

În Fig. 3.17 sunt reprezentate deformațiile unei porțiuni dintr-un perete din zidărie de cărămidă, datorită variațiilor termice sezoniere. În anotimpul rece (Fig. 3.17.b), perete se încovoiaie spre interior datorită dilatărilor la suprafața interioară (unde valorile temperaturii sunt mai mari) și datorită contracțiilor la suprafața exterioară (unde temperaturile sunt mici); în sezonul cald, temperatura exterioară fiind mai mare, încovoierea are loc spre exterior (Fig. 3.17.c). Deformațiile sunt mici și nu creează probleme pentru stratul de rezistență al peretelui (zidăria), dar în anumite condiții pot influența defavorabil comportarea în timp a straturilor exterioare de finisaj.

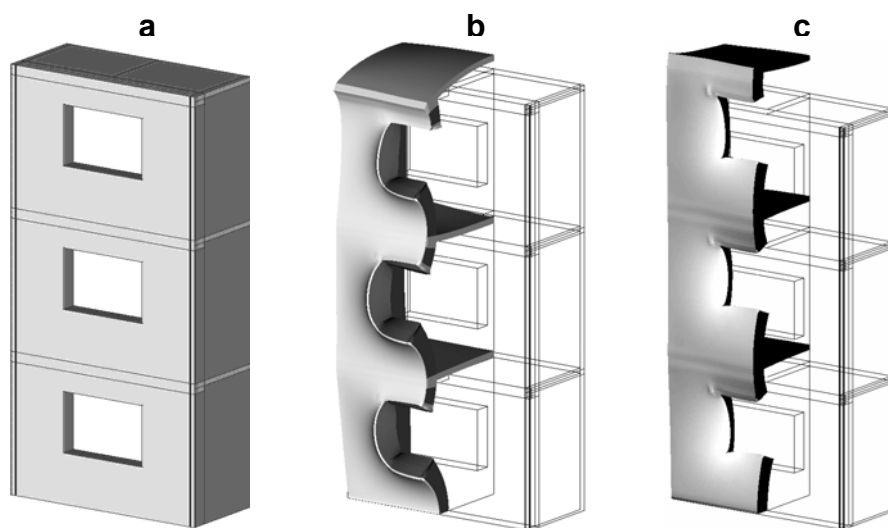


Fig. 3.17. Deformațiile unui perete din zidărie datorită variațiilor termice
a. structura nedeformată;
b. deformată în sezonul rece; **c.** deformată în sezonul cald
 (scara deformațiilor este mult amplificată, pentru evidențierea formei geometrice)

În cazul cel mai simplu, al unei bare libere încălzite sau răcite uniform pe toate fețele, alungirea sau scurtarea se stabilește cu relația:

$$\Delta \ell = \alpha \cdot \ell \cdot \Delta T \quad (3.14)$$

unde α reprezintă coeficient de dilatare termică, ℓ este lungimea inițială a barei, iar ΔT diferența de temperatură.

Dacă bara este împiedicată să se deformeze va lua naștere o solicitare de compresiune (în cazul creșterii temperaturii) sau întindere (în cazul scăderii temperaturii). În ipoteza în care bara are o comportare elastică liniară, se poate scrie:

$$E = \frac{\sigma}{\varepsilon} = \frac{\sigma}{\frac{\Delta \ell}{\ell}} = \frac{\ell}{\Delta \ell} \sigma \Rightarrow \Delta \ell = \ell \frac{\sigma}{E} \quad (3.15)$$

unde: E – modulul de elasticitate al materialului (daN/cm²);

σ – tensiunea normală de compresiune sau întindere (daN/cm²);

ε – deformația relativă.

Membrii I din relațiile (3.14) și (3.15) fiind identici, membrii II vor fi egali și se obține:

$$\alpha \cdot \ell \cdot \Delta T = \ell \frac{\sigma}{E} \Rightarrow \boxed{\sigma = E \cdot \alpha \cdot \Delta T} \quad (3.16)$$

sau:

$$\sigma = \frac{N}{A} = E \cdot \alpha \cdot \Delta T \Rightarrow \boxed{N = E \cdot A \cdot \alpha \cdot \Delta T} \quad (3.17)$$

în care A reprezintă aria secțiunii transversale a barei.

Dacă bara este încălzită asimetric, una dintre fețe fiind mai caldă decât fața opusă, ia naștere o solicitare de încovoiere, în mod analog cu solicitarea peretelui din Fig. 3.17. Cu ajutorul relației (3.16), valoarea momentului ce soliciță în acest caz bara, se poate scrie:

$$M = \sigma_{\max} \cdot W = \sigma \frac{I}{d} = E \cdot \alpha \cdot \Delta T \frac{I}{d} \quad (3.18)$$

unde: W – modulul de rezistență al secțiunii barei (cm^3);
 I – momentul de inerție al secțiunii barei (cm^4);
 d – înălțimea secțiunii barei (grosimea) (cm).

Relațiile (3.16), (3.17) sau (3.18) permit determinarea tensiunii normale σ (de întindere sau de compresiune), a sarcinii axiale N sau a momentului M ce soliciță bara supusă la variații termice. În cadrul acestor relații caracteristicile de material (E , α) și cele geometrice (A , W , I , d) sunt cunoscute.

Diferențele de temperatură ΔT se determină, conform standardului pentru încărcări din variații de temperatură, cu ajutorul relațiilor simplificate:

$$\Delta T_+^n = T_+^n - T_{0-} \quad \Delta T_-^n = T_-^n - T_{0+} \quad (3.19)$$

unde: T_+^n – temperatura exterioară normată maximă;

$T_+^n = +40$ °C (pentru construcții metalice neînglobate);

$T_+^n = +30$ °C (pentru construcții din beton, zidărie);

T_-^n – temperatura exterioară normată minimă;

$T_-^n = -30$ °C (pentru construcții metalice neînglobate);

$T_-^n = -20$ °C (pentru construcții din beton, zidărie);

T_{0+}, T_{0-} – temperaturile inițiale (pozitive sau negative) din faza terminării construcției.

În afară de aprecierea corectă prin calcul a acțiunii variațiilor de temperatură, sunt importante unele măsuri de ordin constructiv pentru evitarea valorilor exagerate ale acestei încărcări:

- prevederea rosturilor de dilatare, la distanțe care depind de tipul structurii de rezistență a clădirii, de natura materialelor utilizate etc.;

- prevederea izolațiilor termice sau a unor acoperiri protectoare dispuse pe suprafața elementelor expuse direct la variațiile de temperatură.

3.5. Acțiunea seismică

3.5.1. Generalități

Această acțiune are caracter excepțional, manifestându-se relativ rar și cu o durată redusă, în general de ordinul secundelor sau zecilor de secunde, dar cu intensități deosebit de mari și cu consecințe grave, uneori catastrofale (Fig. 3.18).

Scoarța terestră este formată din blocuri (Fig. 3.19) ce au tendința de a se mișca cu o viteză de câțiva centimetri pe an, de-a lungul unor linii de separație (suprafețe de ruptură) numite falii. Viteza de mișcare nu este constantă, deoarece plăcile se „obstrucționează” reciproc, limitându-și temporar deplasările. Se ajunge astfel, uneori după perioade îndelungate ce pot fi de ordinul secolelor, la acumularea unor tensiuni care, atunci când se depășesc rezistențele la forfecare ale rocilor, produc lunecarea bruscă a plăcilor, rezultatul fiind eliberarea bruscă a unei mari cantități de energie ce se transmite până la suprafața pământului, care este antrenată într-o mișcare rapidă de oscilație pe orizontală și pe verticală.

Punctul de origine al undelor seismice, aflat în interiorul scoarței pământului la o anumită adâncime, în zona de lunecare a plăcilor, poartă numele de focar sau hipocentru (Fig. 3.20). Proiecția geometrică a acestei zone pe suprafața scoarței se numește epicentru. Intensitatea acțiunii seismice este maximă în această regiune, scăzând cu distanța dar nu în mod uniform pe toate direcțiile.

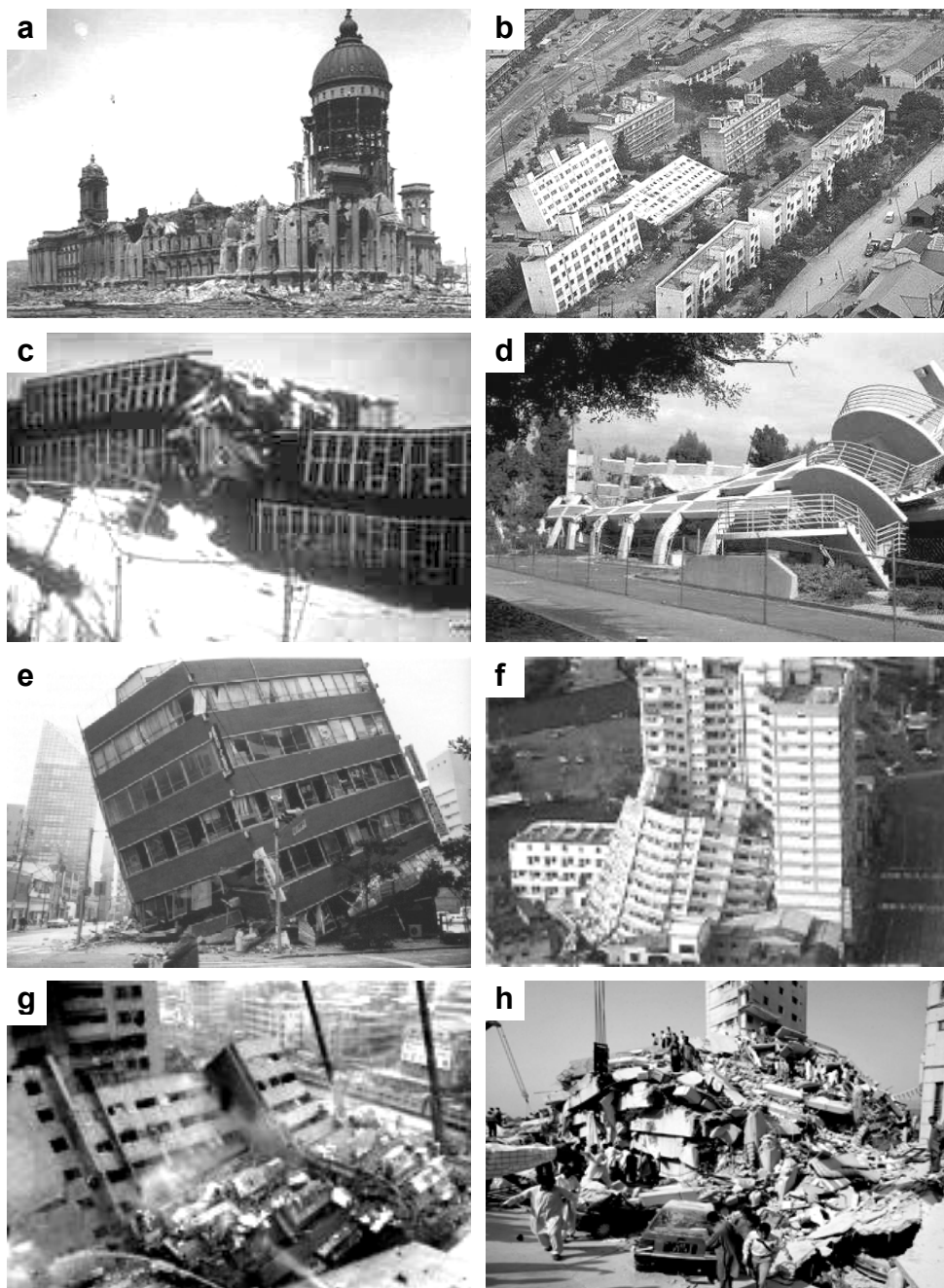


Fig. 3.18. Efectele acțiunii cutremurelor asupra clădirilor
a. San Francisco (SUA), 1906; **b.** Niigata (Japonia), 1964;
c. Anchorage (Canada), 1964; **d.** Northridge (SUA), 1994;
e. Kobe (Japonia), 1995; **f.g.** Taiwan, 1999; **h.** Pakistan, 2005

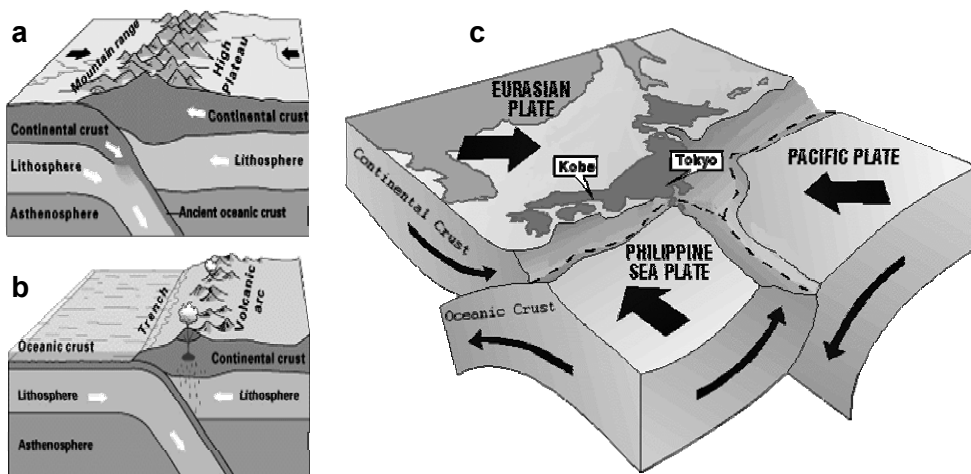


Fig. 3.19. Reprezentări schematice ale plăcilor tectonice și faliilor
a. plăci tectonice continentale; **b.** placă tectonică continentală și oceanică;
c. plăcile tectonice de sub arhipelagul nipon

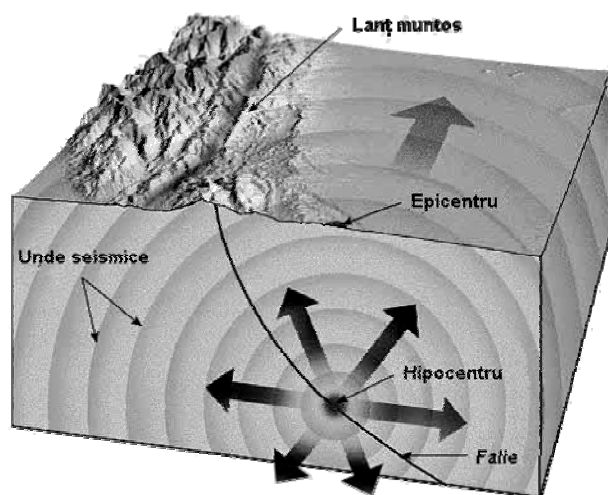


Fig. 3.20. Elementele caracteristice ale cutremurelor tectonice

Nu toată suprafața terestră este supusă cutremurelor, dar există două regiuni întinse de pe suprafața pământului unde se produc cele mai puternice seisme: una urmează o linie prin Mediterana, Asia Mică, Himalaia, India, Oceanul Indian, cealaltă urmărește coastele vestice, nordice și estice ale Pacificului (Fig. 3.21).

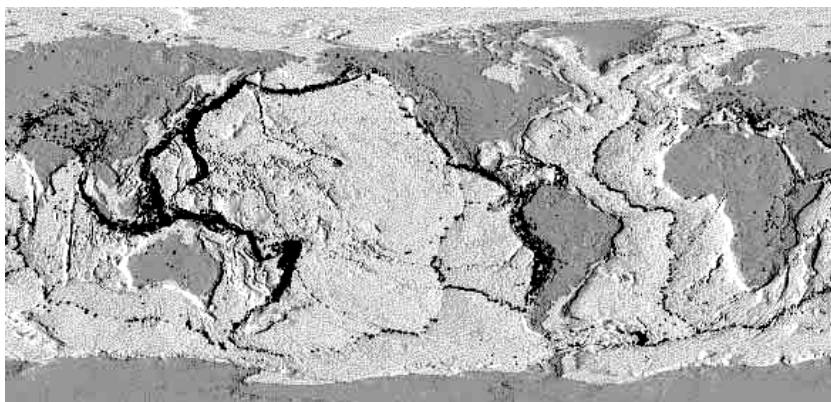


Fig. 3.21. Harta epicentrelor zonelor seismice importante

În țara noastră cutremurele își au originea (epicentrul) în câteva zone. Cea mai importantă este regiunea Vrancei, dar mai există astfel de zone în Banat, Crișana, Maramureș și nordul Bucovinei. Există informații că în perioada ultimului mileniu au existat cel puțin 78 de cutremure puternice, cele mai importante fiind în anii 1230, 1471, 1516, 1590, 1620, 1738, 1802, 1940, 1977. Ultimul seism puternic, din 1977, a lăsat în urmă 1570 morți și 11300 răniți (90% în București), conducând la prăbușirea a cca. 33 000 de locuințe (Fig. 3.22). Aceste cifre pot să pară modeste în comparație, de exemplu, cu cei 242 000 de morți de la cutremurul produs în China (la nord de Beijing) în 1968, dar urmările au fost catastrofale în ambele cazuri.



Fig. 3.22. Cutremurul din 4 martie 1977 – bloc de locuințe din București

Cutremurelor pot fi de mai multe tipuri:

- tectonice, datorită deplasărilor bruște ale plăcilor adiacente din scoarță;
- vulcanice, datorită activității vulcanilor;
- de prăbușire, datorită surpării unor porțiuni din scoarță în goluri rezultate din dizolvarea sărurilor, din prăbușirea unor mine etc.;
- din cauze diverse: explozii puternice, căderea unor meteoriți etc.

Pentru caracterizarea acțiunii cutremurelor se folosesc scările de intensitate seismică, cele mai cunoscute fiind:

- scara Mercalli având 12 grade, ce caracterizează acțiunea seismică în mod descriptiv pentru fiecare grad seismic, prin efectele asupra oamenilor, construcțiilor, terenului etc. (apreciere subiectivă);
- scara Richter cu 8 grade de magnitudine, ce se referă la energia de deformare eliberată prin ruptura faliei, calculată funcție de amplitudinea mișcării seismice, înregistrată pe seismografe de un

anumit tip (apreciere obiectivă); gradul 8 pe scara Richter nu trebuie privit ca un maxim absolut, fiind de remarcă faptul că au existat cutremure extrem de puternice, cum a fost cel din 1964 în Anchorage (Canada) având gradul 8.5, sau din 1960 în Chile, de gradul 9.

Datorită undelor seismice terenul suferă mișcări orizontale și verticale rapide. În general acțiunea orizontală este cea mai periculoasă. Forțele verticale au de regulă valori mai mici și sunt mai bine preluate de către construcții, care oricum sunt dimensionate pentru a rezista la încărcări verticale, în special gravitaționale.

Atunci când terenul de fundare începe să oscileze, construcțiile au tendința firească de a se opune acestor mișcări, datorită masei lor apreciabile. Drept rezultat apar solicitări ale clădirii, similare efectelor unor forțe suplimentare. Fenomenul este oarecum similar cu ceea ce se întâmplă atunci când stăm în picioare într-un vehicul, fără a ne sprijini: în cazul unei porniri bruște există tendința de răsturnare spre partea din spate a vehiculului (se păstrează starea inițială, de repaus), iar în cazul unei frânări apare tendința de a veni în față (se păstrează starea de mișcare). Cu alte cuvinte, datorită variațiilor vitezei de deplasare a suportului, apar forțe ce tind să ne încovoie sau să ne răstoarne pe direcția mișcării, într-un sens sau altul.

Forțele seismice ce acționează asupra unei construcții iau naștere în același fel, iar mărimea lor este proporțională cu masa construcției „m” și cu accelerația „a” imprimată clădirii de mișcarea seismică, fiind prin urmare forțe de inerție ce au, în principiu, expresia generală de forma:

$$S = m \cdot a = \frac{G}{g} a = \frac{a}{g} G = c G \quad (3.20)$$

Relația (3.20) ia în considerare gradul seismic al zonei de amplasament, prin valoarea accelerației, și masa (sau greutatea) construcției, dar nu ține de cont de o serie de particularități importante ce influențează efectul seismului asupra clădirii, fiind prin urmare o relație grosieră ce conduce la rezultate cu un grad ridicat de aproximare.

3.5.2. Evaluarea sarcinii seismice orizontale

În afară de intensitatea cutremurului și de masa construcției, răspunsul acesteia la seism depinde de proprietățile elastice și dinamice ale structurii (modurile proprii de vibrație, capacitatea de amortizare a oscilațiilor, distribuția maselor și rigidităților) precum și de proprietățile terenului de fundare. Toți acești factori fac dificilă o tratare teoretică riguroasă pentru stabilirea prin calcul a sarcinii seismice, fiind necesar a se ține seama de experiența proiectării confirmată de practică.

Există două noțiuni de bază utilizate în dinamica construcțiilor.

- Grad de libertate dinamică

În cadrul problemelor de dinamică a structurilor, problema cea mai importantă constă în a defini poziția (deformată) acestora în orice moment al mișcării, deoarece pe această bază se pot calcula în continuare tensiunile ce iau naștere în orice punct al structurii. Dacă la un anumit moment poziția structurii poate fi definită printr-un singur parametru (coordonată) se spune că structura are un singur grad de libertate, așa cum se întâmplă de exemplu în cazul unui pendul clasic. Prin generalizare, numărul gradelor de libertate dinamică al unui sistem oscilant este egal cu numărul minim de coordonate independente ce definesc complet poziția sistemului la un moment dat.

- Mod de vibrație

Datorită mișcărilor induse construcțiilor de către deplasările terenului, acestea încep să vibreze. Vibrațiile pot avea diverse forme (configurații) geometrice, și fiecareia dintre ele îi corespunde o anumită perioadă de oscilație (sau frecvență). Prin mod de vibrație se înțelege ansamblul format dintr-o formă de oscilație și perioada proprie (sau frecvența proprie) de oscilație. Aceste moduri depind de caracteristicile sistemului oscilant, adică de structura clădirii. Numărul modurilor de vibrație este egal cu numărul gradelor de libertate dinamică ale sistemului oscilant.

Noțiunile de mai sus sunt exemplificate în Fig. 3.23 prin modelul simplificat al unui cadru plan cu 3 niveluri, asimilat cu o consolă verticală cu masele fiecărui nivel concentrate în dreptul planșelor. Rezultă o structură cu 3 grade de libertate dinamică și, în consecință, cu 3 moduri de vibrație.

În Fig. 3.24 sunt reprezentate primele patru moduri de vibrație ale unui cadru plan din beton, cu 8 niveluri. Fig. 3.25 prezintă cazul mai complex al unui cadru spațial, de asemenea cu 8 niveluri, la care sunt puse în evidență modurile de vibrație după ambele direcții.

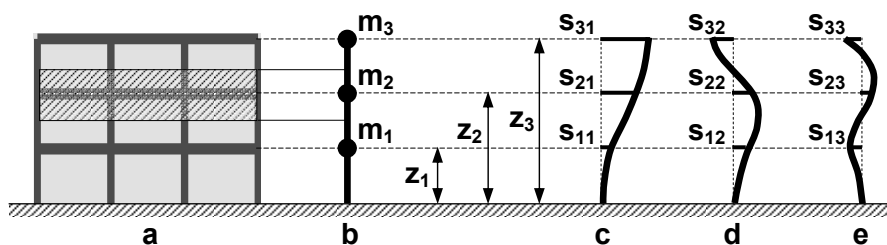


Fig. 3.23. Modelul mecanic simplificat al unui cadru plan
a. cadru plan cu 3 niveluri; **b.** consolă verticală cu 3 grade de libertate dinamică; **c.d.e.** modurile de vibrație 1, 2, 3

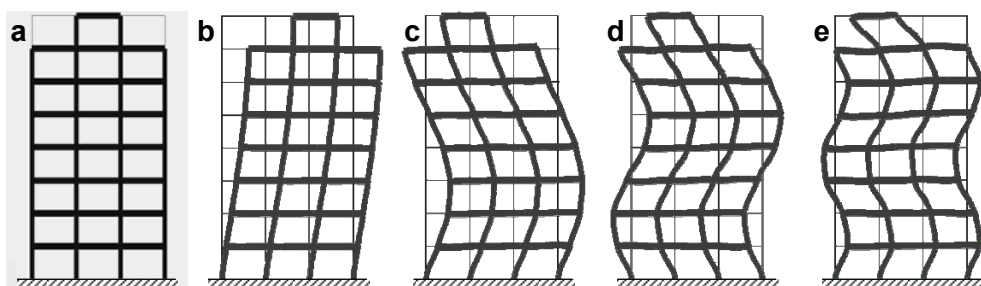


Fig. 3.24. Moduri de vibrație pentru un cadru plan
a. structura nedeformată; **b.c.d.e.** modurile de vibrație 1, 2, 3, 4

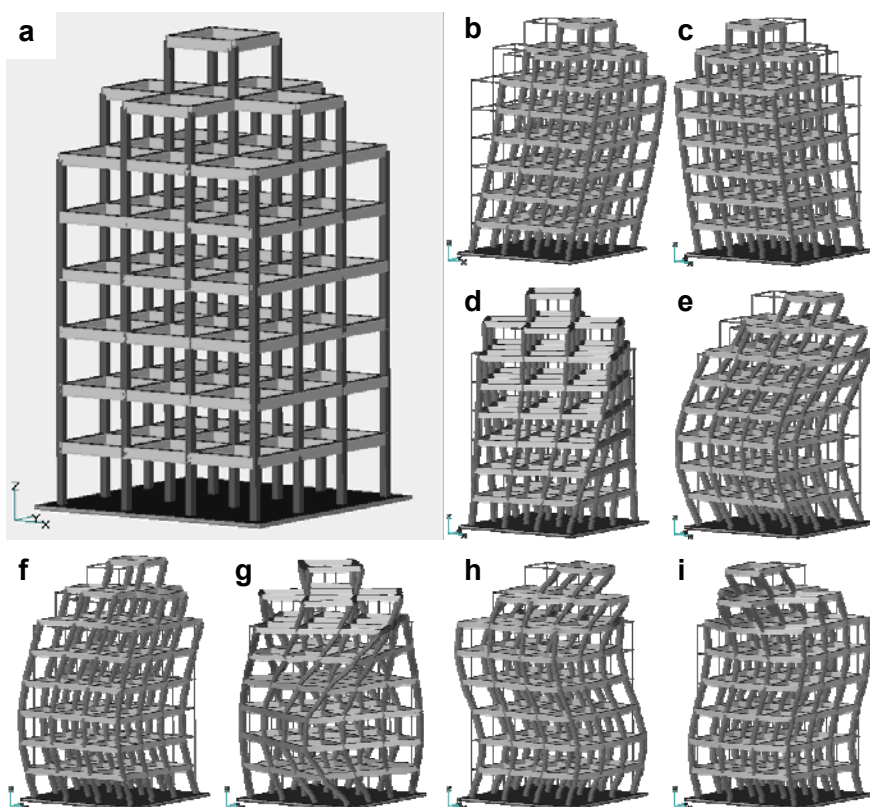


Fig. 3.25. Moduri de vibrație pentru un cadru spațial
a. structura nedeformată; **b.** modul 1 (direcția Ox); **c.** modul 2 (direcția Oy);
d. modul 3 (torsiune simplă); **e.** modul 4 (direcția Ox);
f. modul 5 (direcția Oy); **g.** modul 6 (torsiune complexă);
h. modul 7 (direcția Ox); **i.** modul 8 (direcția Oy)

3.5.2.1. Metoda forțelor seismice statice echivalente

Această metodă se poate aplica la construcțiile care pot fi calculate prin considerarea a două modele plane pe direcții ortogonale, a căror răspuns seismic total nu este influențat semnificativ de modurile proprii superioare de vibrații. În acest caz, modul propriu fundamental de translație (modul 1 de vibrație) are contribuția predominantă în răspunsul seismic total.

În această categorie intră clădirile a căror perioadă fundamentală (perioada modului fundamental) corespunzătoare direcțiilor principale îndeplinește condiția: $T \leq 1,6$ s. De asemeni, aceste construcții trebuie să aibă formă regulată în plan, să prezinte o distribuție a maselor și a rigidităților cât mai uniformă, iar planșeele să aibă rigiditate suficient de mare în planul lor (să constituie șaibe rigide).

Forța seismică totală, numită forță tăietoare de bază, corespunzătoare modului propriu fundamental, pentru fiecare direcție orizontală principală, se determină cu relația:

$$F_b = \gamma_\ell \cdot S_d(T_1) \cdot m \cdot \lambda \quad (3.21)$$

unde: γ_ℓ – factorul de importanță-expunere al construcției;

$S_d(T_1)$ – ordonata spectrului de răspuns de proiectare pentru accelerații, corespunzătoare perioadei fundamentale T_1 pe direcția considerată;

m – masa totală a clădirii, calculată ca sumă a maselor de nivel m_i ;

λ – factor de corecție care ține seama de contribuția modului propriu fundamental prin masa modală efectivă asociată acestuia:

$\lambda = 0,85$ dacă $T_1 \leq T_C$ și clădirea are mai mult de două niveluri;

$\lambda = 1,0$ în celelalte cazuri.

Factorul de importanță-expunere γ_e este o mărime convențională care depinde de clasa de importanță a clădirii, apreciată în funcție de: consecințele prăbușirii asupra vieților omenești, utilitatea construcției pentru siguranța publică și protecția civilă în perioada imediată după cutremur, consecințele sociale și economice ale prăbușirii sau avarierii grave. În normativul de calcul seismic sunt definite 4 clase de importanță I, II, III și IV, pentru care $\gamma_e = 1.4, 1.2, 1.0$ și respectiv 0.8 .

Spectrul seismic de răspuns al accelerațiilor este reprezentarea grafică a valorilor maxime ale accelerațiilor unui sistem oscilant cu un singur grad de libertate dinamică, pentru un cutremur dat, în funcție de perioada proprie și de gradul de amortizare al sistemului. Spectrele seismice se determină pe baza accelerogramelor furnizate de laboratoarele seismice specializate.

Accelerogramele reprezintă graficele de variația ale valorilor accelerației terenului în timp, pe o anumită direcție, pentru un anumit cutremur. În Fig. 3.26 este redată o accelerogramă tipică, corespunzătoare componentei N-S a cutremurului de la El Centro (California) din 1940.

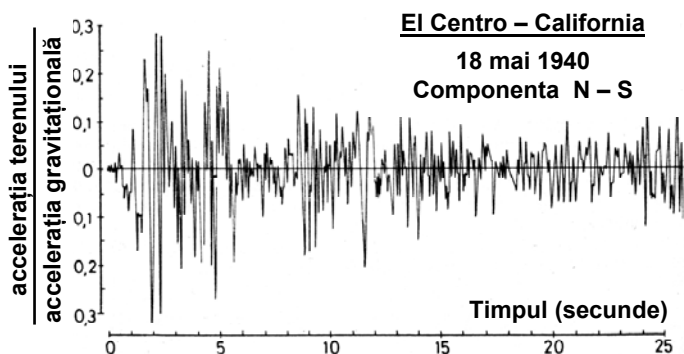


Fig. 3.26. Accelerograma cutremurului de la El Centro (accelerația terenului este raportată la accelerația gravitațională)

În calcule se utilizează media spectrelor celor două componente (pe direcțiile N – S și V – E) corespunzătoare înregistrărilor șocurilor seismice, numite spectre standard sau spectre de proiectare (Fig. 3.27.a). O reprezentare mai convenabilă a spectrului de accelerații se obține prin raportarea (împărțirea) ordonatelor graficului acestuia la accelerația maximă a terenului. Se obțin astfel așa numitele spectre normalizate de răspuns elastic ale accelerației terenului, notate cu $\beta(T)$, ce sunt prezentate în codurile de calcul seismic în mod simplificat, cu ajutorul a trei perioade caracteristice T_B , T_C și T_D , numite perioade de control sau perioade de colț, deoarece definesc punctele unghiulare dintre cele patru segmente ale graficului simplificat (Fig. 3.27.b).

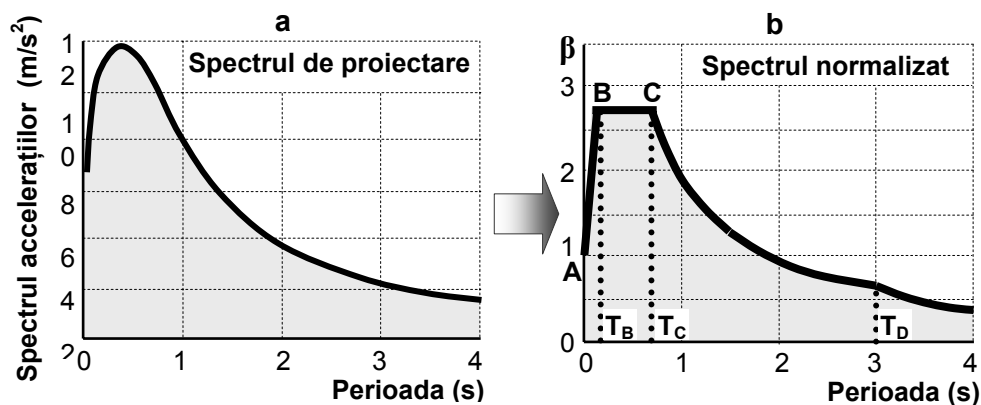


Fig. 3.27. Spectrul de proiectare și spectrul normalizat al accelerațiilor

Spectrul de proiectare pentru accelerații $S_d(T_1)$ este un spectru inelastic, întrucât ia în considerare rezervele de capacitate portantă ale structurii clădirii prin disiparea energiei când deformațiile efective depășesc limita elastică, structura lucrând parțial în domeniul plastic.

Spectrul $S_d(T_1)$ determină cu relațiile:

$$S_d(T_1) = a_g \left[1 + \frac{T_1}{T_B} \cdot \left(\frac{\beta_o}{q} - 1 \right) \right] \quad \text{pentru } 0 < T_1 \leq T_B \quad (3.22)$$

$$S_d(T_1) = a_g \frac{\beta(T_1)}{q} \quad \text{pentru } T_1 > T_B \quad (3.23)$$

unde: a_g – accelerația terenului pentru proiectare;

$\beta(T)$ – spectrul normalizat de răspuns pentru componenta orizontală a accelerației terenului;

β_o – factorul de amplificare dinamică maximă a accelerației orizontale a terenului de către structură;

q – factorul de comportare;

T_1 – perioada fundamentală;

T_B – perioada de control (de colț).

Accelerația terenului pentru proiectare a_g reprezintă valoarea de vârf a accelerației orizontale a terenului, corespunzătoare unui interval mediu de recurență al magnitudinii $IMR = 100$ ani. Zonarea accelerației terenului pentru proiectare în România este indicată în Fig. 3.28 și se folosește pentru proiectarea construcțiilor la starea limită ultimă.

Spectrul normalizat de răspuns elastic pentru componenta orizontală a accelerației terenului $\beta(T)$, obținut prin împărțirea ordonatelor spectrului de răspuns elastic la accelerația terenului pentru proiectare a_g , este reprezentat grafic pentru fracțiunea de amortizare critică $\xi = 0.05$ și în funcție de condițiile seismice și de teren din România (luate în considerare prin perioadele de control T_B , T_C și T_D) în Fig. 3.29, 3.30 și 3.31.

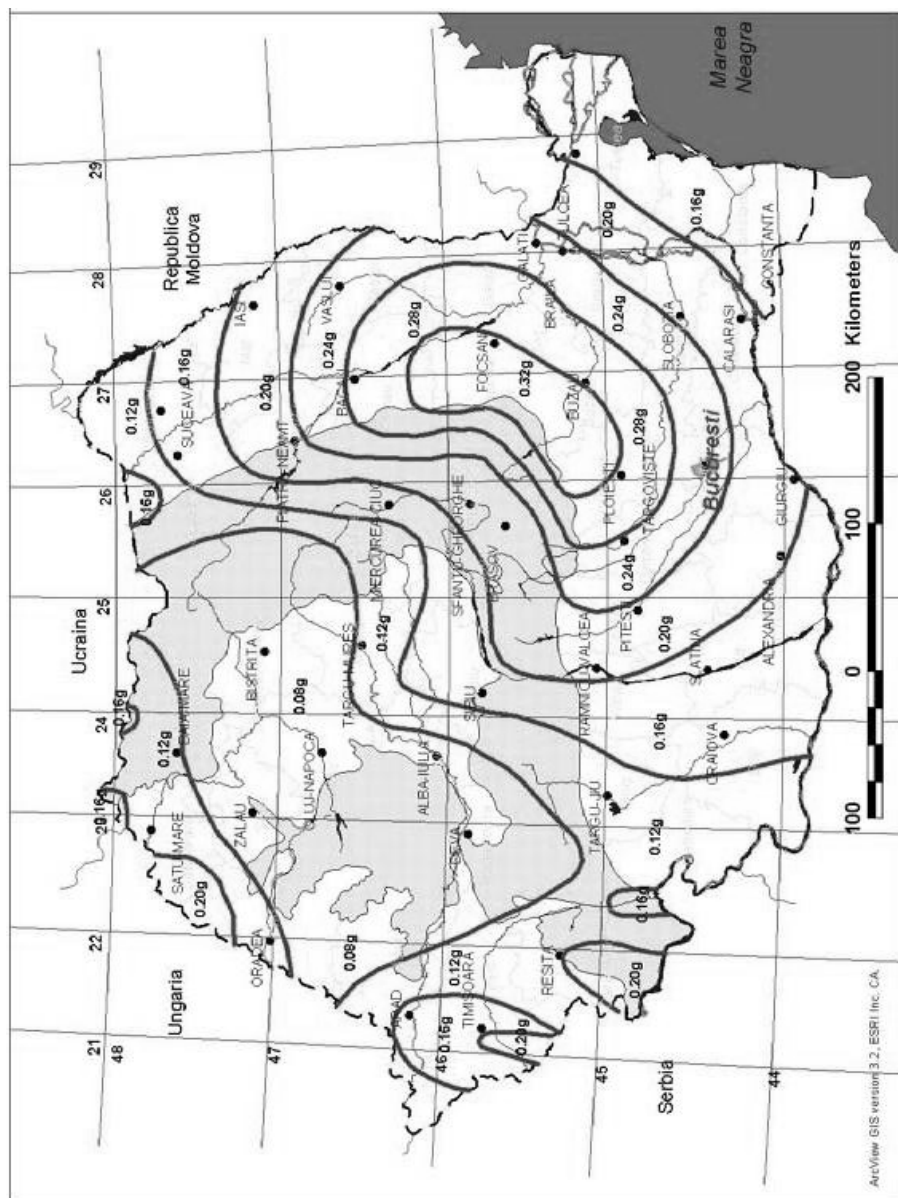


Fig. 3.28. Zonarea teritoriului României corespunzătoare acceleraţiei terenului pentru proiectare

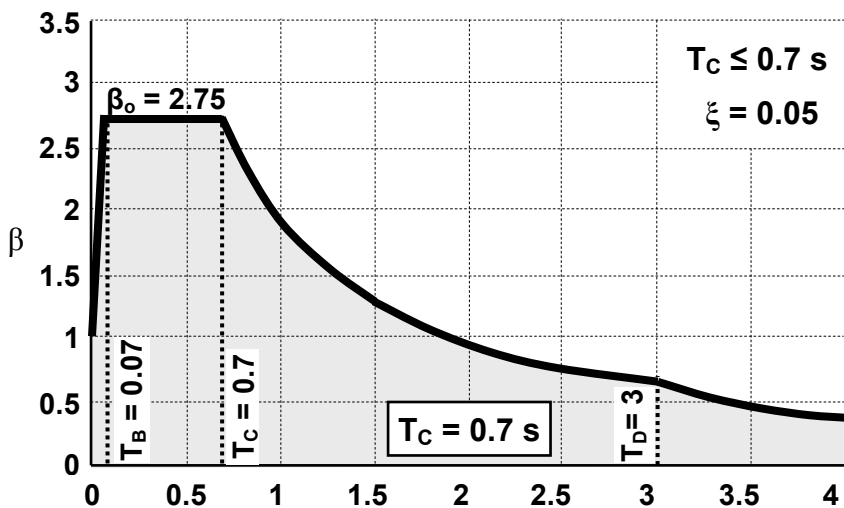


Fig. 3.29. Spectrul normalizat de răspuns elastic corespunzător $T_c = 0.7$ s

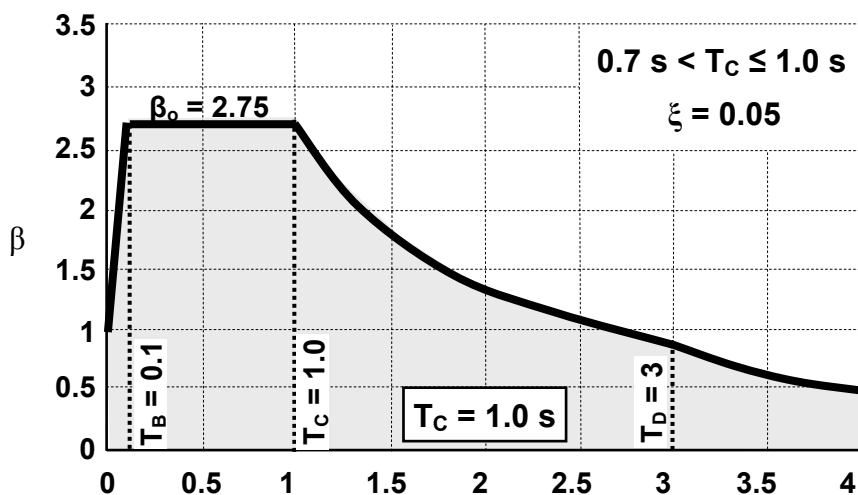


Fig. 3.30. Spectrul normalizat de răspuns elastic corespunzător $T_c = 1.0$ s

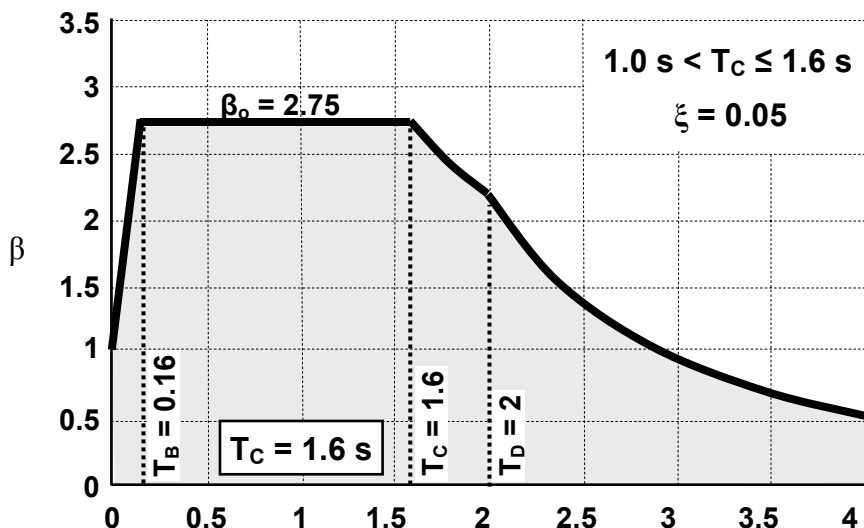


Fig. 3.31. Spectrul normalizat de răspuns elastic corespunzător $T_c = 1.6 \text{ s}$

Relațiile de calcul pentru spectrul normalizat de răspuns elastic, cu ajutorul cărora s-au trasat și graficele aferente, sunt:

$$\begin{aligned} \beta(T) &= 1 + \frac{T}{T_B} (\beta_0 - 1) \quad (T \leq T_B); \quad \beta(T) = \beta_0 \quad (T_B < T \leq T_C) \\ \beta(T) &= \beta_0 \frac{T_C}{T} \quad (T_C < T \leq T_D); \quad \beta(T) = \beta_0 \frac{T_C \cdot T_D}{T^2} \quad (T > T_D) \end{aligned} \quad (3.24)$$

Factorul de amplificare dinamică maximă a accelerației orizontale a terenului reprezintă valoarea maximă a spectrului normalizat pentru accelerații, și în mod uzual are valoarea $\beta_0 = 2.75$ (Fig. 3.29, 3.30, 3.31).

Factorul de comportare q ia în considerare comportarea inelastică a structurii, în funcție de materialele folosite (beton, metal, lemn, zidărie etc.) și de capacitatea structurii de disipare a energiei, atunci când aceasta depășește limita de comportare elastică, lucrând parțial în domeniul plastic.

Valorile factorului de comportare sunt indicate în capitolele codului de calcul seismic, în cadrul mai multor tabele, pentru diferite tipuri de materiale și de sisteme structurale.

Forța seismică orizontală totală F_b se distribuie pe nivelurile clădirii, pentru fiecare din cele două modele plane de calcul. Forța seismică ce acționează la nivelul „i” al construcției se calculează cu relația:

$$F_i = F_b \frac{m_i \cdot s_i}{\sum_{i=1}^n m_i \cdot s_i} \cong F_b \frac{m_i \cdot z_i}{\sum_{i=1}^n m_i \cdot z_i} \quad (3.25)$$

- unde: F_i – forța seismică orizontală static echivalentă de la nivelul „i”;
- F_b – forța tăietoare de bază corespunzătoare modului fundamental, determinată cu relația (3.21), reprezentând rezultanta forțelor seismice orizontale;
- s_i – componenta modului fundamental de vibrație, pe direcția gradului de libertate dinamică de translație, la nivelul „i” (conform Fig. 3.23.c);
- m_i – masa de nivel (conform Fig. 3.23.b);
- z_i – înălțimea nivelului „i” în raport cu baza construcției.

Ultimul membru din relația (3.25) reprezintă o simplificare pentru ușurarea calculelor și se poate utiliza atunci când forma proprie fundamentală poate fi aproximată printr-o variație liniară crescătoare pe înălțime.

Forțele seismice orizontale determinate cu relația (3.25) se aplică sistemelor structurale ca forțe laterale la nivelul fiecărui planșeu, considerat indeformabil în planul său.

3.5.2.2. Metoda de calcul modal cu spectre de răspuns

Această metodă de calcul se aplică clădirilor care nu îndeplinesc condițiile specificate pentru utilizarea metodei simplificate cu forțe statice echivalente, prezentată la punctul anterior. În acest caz calculele se pot efectua:

- prin folosirea a două modele plane, câte unul pe fiecare direcție principală, dacă sunt îndeplinite criteriile de regularitate ale structurii, în plan și pe verticală;
- prin utilizarea unui model spațial, la care acțiunea seismică se va aplica pe direcțiile principale ortogonale (uzual direcția transversală și longitudinală a clădirii) și pe direcțiile orizontale relevante (de exemplu, la structurile în cadre, pe direcții la 45° în raport cu direcțiile principale ortogonale).

Forța tăietoare de bază aplicată pe direcția de acțiune a mișcării seismice în modul propriu de vibrație „k” este:

$$F_{b,k} = \gamma_{\ell} \cdot S_d(T_k) \cdot m_k \quad (3.26)$$

unde: γ_{ℓ} – factorul de importanță-expunere al construcției;

$S_d(T_k)$ – ordonata spectrului de răspuns de proiectare pentru accelerații, corespunzătoare perioadei în modul de vibrație „k” (T_k), pe direcția considerată;

m_k – masa modală efectivă asociată modului de vibrație „k” (reprezintă masa unui sistem oscilant echivalent, cu un singur grad de libertate dinamică, pe baza căruia se determină spectrul de accelerații; sistemul are perioada proprie egală cu perioada T_k a sistemului real în modul „k”);

$$m_k = \frac{\left(\sum_{i=1}^n m_i \cdot s_{i,k} \right)^2}{\sum_{i=1}^n m_i \cdot s_{i,k}^2} \quad (3.27)$$

m_i – masa de nivel (conform Fig. 3.23.b);

$s_{i,k}$ – componenta pe direcția gradului de libertate dinamică de translație la nivelul „i” în modul de vibrație „k” (conform Fig. 3.23.c,d,e).

Răspunsurile clădirii pentru modurile de vibrație luate în considerare trebuie combinate, existând mai multe procedee în acest sens. Deoarece modurile de vibrație nu apar simultan, cea mai utilizată dintre metodologiile de suprapunere a răspunsurilor modale presupune combinarea probabilistică prin metoda SRSS (radical din suma pătratelor răspunsurilor modale), conform relației:

$$E_E = \sqrt{\sum_{k=1}^r E_{E,k}^2} \quad (3.28)$$

unde: E_E – efectul acțiunii seismice (efort secțional, deplasare);

$E_{E,k}$ – efectul acțiunii seismice în modul „k” de vibrație;

r – numărul modurilor de vibrație luate în calcul.

3.5.3. Principii de conformare antiseismică

Prin conformare antiseismică se înțelege un ansamblu de măsuri constructive ce asigură comportarea favorabilă a clădirilor în raport cu acțiunea seismică.

Cele mai importante principii de conformare antiseismică sunt:

- amplasarea construcției pe terenuri nefavorabile trebuie evitată sau, dacă acest lucru nu este posibil, se vor lua în prealabil măsuri de consolidare a terenului;
- adoptarea unor soluții cu greutate proprie minimă (raportul dintre greutatea proprie și suprafața construită desfășurată nu trebuie să depășească $1100 \dots 1300 \text{ daN/m}^2$);
- adoptarea unor forme simetrice din punct de vedere al volumelor, maselor și rigidităților, pentru evitarea solicitărilor de torsiune;
- dacă cerințele de ordin funcțional impun soluții cu forme neregulate, se vor prevedea rosturi antiseismice, care împart clădirea în tronsoane independente, cu forme regulate și comportare favorabilă la cutremur;
- elementele structurale verticale, longitudinale și transversale, trebuie să prezinte pe cât posibil o continuitate perfectă, fără excentricități la intersecții;
- dispunerea judicioasă, uniformă, a elementelor de rezistență pe cuprinsul clădirii;
- elementele nestructurale (pereți neportanți, învelitori etc.) trebuie să fie bine ancorate de structura de rezistență.

3.6. Gruparea încărcărilor

Diferitele tipuri de încărcări pot solicita o construcție simultan sau alternativ. Pentru a ține cont de posibilitatea apariției simultane a mai multor acțiuni, codul românesc de proiectare prevede o serie de reguli pentru gruparea acestora, funcție de starea limită luată în considerare.

Prin stare limită se înțelege starea în afara căreia structura nu mai satisface criteriile (cerințele) adoptate în cadrul procesului de concepție/proiectare. Există două categorii de stări limită: stări limită ultime și stări limită de serviciu.

Stările limită ce implică protecția vieții oamenilor și a siguranței structurii sunt clasificate ca stări limită ultime. De asemeni, stările limită ce implică protecția unor bunuri de valoare deosebită trebuie clasificate ca stări limită ultime. Toate aceste stări sunt asociate cu prăbușirea sau cu forme similare de cedare structurală.

Stările limită ce iau în considerare funcționarea structurii sau a elementelor structurale în condiții normale de exploatare, confortul utilizatorilor construcției și limitarea vibrațiilor, deplasărilor și deformațiilor structurii sunt clasificate ca stări limită de serviciu. Dincolo de aceste stări, cerințele necesare pentru utilizarea normală a construcției/structurii nu mai sunt îndeplinite.

3.6.1. Gruparea încărcărilor în cazul stărilor limită ultime

În acest caz se folosește următoarea grupare (combinație):

$$1,35 \sum_{i=1}^n G_{k,i} + 1,5 Q_{k,1} + 1,5 \sum_{j=2}^m \psi_{0,j} Q_{k,j} \quad (3.29)$$

unde: $G_{k,i}$ – efectul pe structură al acțiunii permanente „i”, luată cu valoarea sa caracteristică;

$Q_{k,1}$ – efectul pe structură al acțiunii variabile ce are ponderea predominantă, luată cu valoarea sa caracteristică;

$Q_{k,j}$ – efectul pe structură al acțiunii variabile „j”, luată cu valoarea sa caracteristică;

$\psi_{0,j}$ – factor de simultaneitate al efectelor pe structură al acțiunilor variabile „j”, luate cu valorile lor caracteristice; $\psi_{0,j} = 0.7$, cu excepția încărcărilor din depozite și a acțiunilor provenite din împingerea pământului, a materialelor pulverulente sau a fluidelor, pentru care $\psi_{0,j} = 1.0$.

Prin efecte ale acțiunilor pe structură se înțeleg eforturile secționale sau eforturile unitare (tensiunile) din elementele structurale, precum și deplasările sau rotațiile pentru elementele structurale și structura în ansamblu.

În cazul acțiunii seismice se utilizează gruparea:

$$\sum_{i=1}^n G_{k,i} + \gamma_I A_{E,k} + \sum_{j=1}^m \psi_{2,j} Q_{k,j} \quad (3.30)$$

unde: $G_{k,i}$ – efectul pe structură al acțiunii permanente „i”, luată cu valoarea sa caracteristică;

γ_I – coeficient de importanță al construcției/structurii, în funcție de clasa de importanță a construcției (Tabelul 3.4);

$A_{E,k}$ – efectul pe structură al acțiunii seismice ce corespunde intervalului mediu de recurență $IMR = 100$ ani, luată cu valoarea caracteristică;

$\Psi_{2,j}$ – coeficient pentru determinarea valorii cvasipermanente a acțiunilor variabile $Q_{k,j}$ (Tabelul 3.5);

$Q_{k,j}$ – efectul pe structură al acțiunii variabile „j”, luată cu valoarea sa caracteristică.

Produsul $\Psi_{2,j}Q_{k,j}$ reprezintă valoarea cvasipermanentă a încărcării, utilizată în cazul stărilor limită ultime ce implică acțiuni accidentale.

Tabel 3.4 Coeficientul de importanță al construcției

Clasa de importanță a construcției/structurii	Tipul funcțiunii construcției/structurii	γ_1
1	Clădiri și structuri esențiale pentru societate ¹	1,4
2	Clădiri și structuri ce pot provoca în caz de avariere un pericol major pentru viața oamenilor ²	1,2
3	Toate celelalte construcții și structuri, cu excepția celor din clasele 1, 2 și 4	1,0
4	Clădiri și structuri temporare ³	0,8

¹) spitale și instituții medicale importante; stații de pompieri și poliție; centre de comunicații; stații de producere și distribuie a energiei; rezervoare de apă etc.

²) spitale și instituții medicale cu o capacitate peste 50 persoane; instituții de învățământ cu peste 150 persoane; clădiri din patrimoniul cultural etc.

³) clădiri temporare, clădiri agricole, clădiri pentru depozitare etc.

Tabel 3.5 Coeficient pt. determinarea valorii cvasipermanente a acțiunii variabile

Tipul acțiunii	$\Psi_{2,j}$
Acțiuni din vânt. Acțiuni din variații de temperatură	0,0
Acțiuni din zăpadă. Acțiuni datorate exploatării	0,4
Încărcări în depozite	0,8

3.6.2. Gruparea încărcărilor în cazul stărilor limită de serviciu

În acest caz există trei categorii de grupări:

a) Gruparea caracteristică de efecte structurale ale acțiunii

$$\sum_{i=1}^n G_{k,i} + Q_{k,1} + \sum_{j=2}^m \psi_{0,j} Q_{k,j} \quad (3.31)$$

b) Gruparea frecventă de efecte structurale ale acțiunii

$$\sum_{i=1}^n G_{k,i} + \psi_{1,1} Q_{k,1} + \sum_{j=2}^m \psi_{2,j} Q_{k,j} \quad (3.32)$$

unde: $\psi_{1,1}$ – coeficient pentru determinarea valorii frecvente a acțiunii variabile $Q_{k,1}$ (Tabelul 3.6).

Valoarea frecventă este reprezentată de produsul $\psi_{1,1} Q_{k,1}$ și este apropiată de o valoare centrală a repartiției statistice a valorii acțiunii.

Tabel 3.6 Coeficient pt. determinarea valorii frecvente a acțiunii variabile

Tipul acțiunii	$\psi_{1,1}$
Acțiuni din vânt	0,2
Acțiuni din zăpadă. Acțiuni din variații de temperatură	0,5
Acțiuni datorate exploatării, cu valoarea $\leq 3 \text{ kN/m}^2$	
Acțiuni datorate exploatării, cu valoarea $> 3 \text{ kN/m}^2$	0,7
Încărcări în depozite	0,9

c) Gruparea cvasipermanentă de efecte structurale ale acțiunii

$$\sum_{i=1}^n G_{k,i} + \sum_{j=1}^m \psi_{2,j} Q_{k,j} \quad (3.33.a)$$

$$\sum_{i=1}^n G_{k,i} + 0,6 \gamma_I A_{E,k} + \sum_{j=1}^m \psi_{2,j} Q_{k,j} \quad (3.33.b)$$

Valoarea cvasipermanentă este reprezentată de produsul $\psi_{2,j} Q_{k,j}$ și este folosită pentru stări limită de serviciu reversibile. Valorile cvasipermanente sunt utilizate și pentru calculul efectelor pe termen lung.

Relația (3.33.a) este utilizată pentru considerarea în proiectare a efectelor de lungă durată ale acțiunilor asupra structurii. Relația (3.33.b) este folosită pentru verificarea la starea limită de serviciu a elementelor structurale, nestructurale, echipamentelor etc., atunci când acțiunea seismică trebuie considerată în gruparea de serviciu.

În relațiile (3.29)...(3.33) semnul „+” nu trebuie considerat în sensul unei sumări algebrice. Semnificația semnelui „+” este aceea că acțiunile respective se consideră simultan în calculele de proiectare.

Capitolul 4

Elemente de mecanica zidărilor

4.1. Generalități

Zidăria este un material de construcție neomogen, alcătuit din elemente rigide numite blocuri și materiale sau elemente de legătură, rezultând astfel un ansamblu de sine stătător, capabil să reziste la solicitări de ordin fizic și mecanic. Blocurile pot fi din piatră naturală, piatră artificială arsă (cărămizi, blocuri ceramice) sau piatră artificială nearsă (beton, argilă etc.), iar materialele de legătură sunt mortarele de diferite tipuri, agrafele metalice, adezivii sintetici etc.

Răspândirea zidărilor ca material de construcție se datorează următoarelor avantaje:

- a. are o bună rezistență la acțiunea factorilor atmosferici și corosivi;
- b. are o comportare avantajoasă la variații de temperatură și de umiditate;
- c. se realizează din materiale locale (piatră, cărămidă, nisip, var etc.);
- d. prezintă proprietăți satisfăcătoare sub aspectul capacității de izolare termică și acustică;

- e. se poate adapta la forme variate în plan, prezentând totodată posibilități largi de a fi tratată arhitectural;
- f. se execută relativ simplu, folosind mână de lucru cu calificare mijlocie.

Zidăriile prezintă și anumite dezavantaje, cum ar fi:

- a. au greutate proprie mare și rezistențe mecanice reduse, ceea ce conduce la realizarea unor elemente masive, comparativ cu cele realizate din oțel, beton sau lemn;
- b. adeziunea redusă a mortarului cu pietrele de zidărie conduce la o rezistență mecanică redusă la sarcini dinamice;
- c. consum ridicat de manoperă;
- d. reprezintă un sistem constructiv care până în prezent are un grad redus de mecanizare.

4.2. Clasificarea zidăriilor

Datorită numărului mare de variante sub care se prezintă, zidăriile pot fi clasificate după mai multe criterii.

a. După natura materialelor utilizate se deosebesc:

- zidării din pământ;
- zidării din blocuri de piatră naturală;
- zidării din cărămizi sau blocuri de piatră artificială arsă sau nearsă.

b. După modul de alcătuire zidăriile pot fi:

- zidării simple, alcătuite dintr-un singur tip de bloc (Fig. 4.1.a);
- zidării mixte, alcătuite din două sau mai multe straturi paralele, realizate din materiale diferite (blocuri ceramice, blocuri de piatră, beton etc.), strâns legate între ele (Fig. 4.1.b);

- zidării armate care, funcție de modul de dispunere al armăturii, pot fi armate transversal sau longitudinal (Fig. 4.1.c,d);
- zidării complexe, ce includ elemente din beton armat monolit (stâlpișori, centuri) cu care conlucrează la preluarea încărcărilor (Fig. 4.1.e).

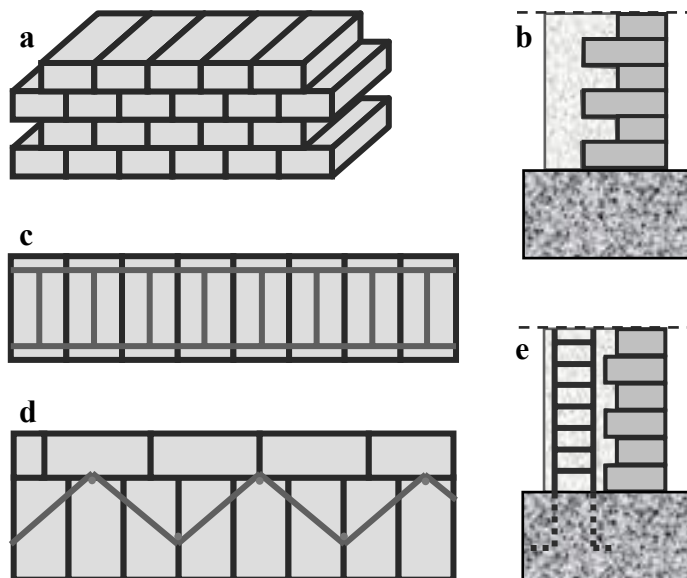


Fig. 4.1. Tipuri de zidarii
a. simple; **b.** mixte; **c.d.** armate; **e.** complexe

c. În raport cu mărimea blocurilor folosite, zidăriile se pot realiza din:

- cărămizi de toate tipurile, inclusiv produse din piatră naturală, a căror înălțime este cuprinsă între 50...150 mm;
- blocuri mici, pline sau cu goluri, cu înălțimea de 200...300 mm;
- blocuri mari, cu înălțimea mai mare de 500 mm, care se pot realiza din piatră, beton sau produse ceramice.

d. După rolul în cadrul construcției distingem:

- zidărie portantă (de rezistență) cu rolul de a prelua, pe lângă greutatea proprie și încărcările date de alte elemente de construcție;
- zidărie autoportantă, care susține și transmite numai greutatea sa proprie;
- zidărie neportantă (purtată), susținută de alte elemente de construcție (planșee, grinzi etc.).

4.3. Principii generale de alcătuire a zidăriilor

În cadrul zidăriilor blocurile se așează după anumite reguli, astfel încât să se asigure o bună legătură și împănare între ele, prin așa numitul proces de țesere și cu ajutorul mortarului.

Dispunerea blocurilor pe rânduri se poate face longitudinal (Fig. 4.2.a,b), transversal (Fig. 4.2.c), sau mixt (Fig. 4.2.d,e).

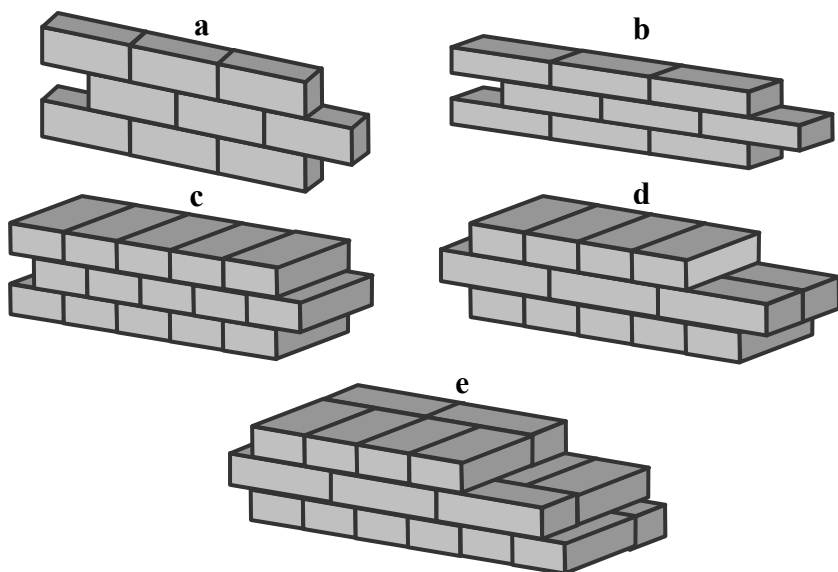


Fig. 4.2. Poziția cărămizilor în cadrul zidăriei
a. b. longitudinal; **c.** transversal; **d. e.** mixt

Spațiile dintre blocuri se numesc rosturi și se umplu cu mortar pentru legătură. Rosturile sunt orizontale sau verticale.

Un șir orizontal de blocuri împreună cu rostul orizontal aferent se numește asiză.

Principiile de bază pentru alcătuirea unei zidării sunt:

- a. rosturile orizontale trebuie să fie plane și cât mai apropiate de poziția orizontală, pentru a asigura transmisia uniformă a încărcărilor verticale de la o asiză la alta;
- b. rosturile verticale trebuie să fie alternante (decalate) de la o asiză la alta (sau de la un grup de asize la altul), astfel încât unui rost vertical dintr-un rând să-i corespundă un plin în rândul următor; în acest fel se evită formarea unor secțiuni slăbite în zidărie.

Realizarea unui element fără țesere între pietrele de zidărie (Fig. 4.3.a) conduce, în cazul unor solicitări de compresiune, la formarea unor stâlpișori izolați care lucrează independent, fără a asigura uniformizarea eforturilor pe secțiune și care, în final, cedează succesiv prin flambaj lateral.

Prezența unor legături la mai multe rânduri îmbunătățește comportarea elementului, mai ales când înălțimea lui este relativ mare (Fig. 4.3.b). Legătura la mai multe rânduri se utilizează la realizarea elementelor de umplutură sau a celor slab solícitate.

Elementele portante din zidărie se realizează cu legături la fiecare rând (Fig. 4.3.c), care asigură o mai bună uniformizare a eforturilor și o micșorare a deformațiilor transversale.

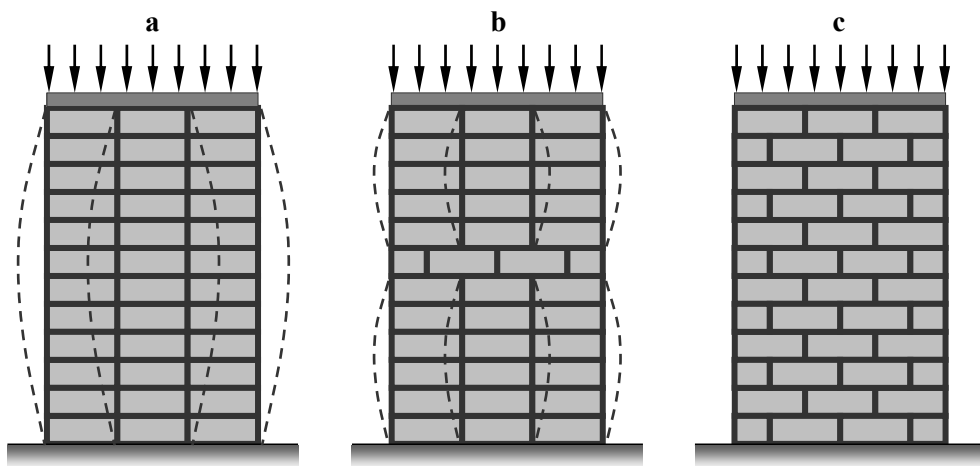


Fig. 4.3. Influența țeserii blocurilor de zidărie
a. zidărie nețesută; **b.** zidărie țesută la mai multe rânduri;
c. zidărie țesută la fiecare rând

4.4. Proprietăți mecanice ale zidăriilor

Zidăria este un material neomogen în care, datorită diverselor solicitări mecanice, iau naștere eforturi complexe în blocuri și în mortar. Atât piatra de zidărie cât și mortarul sunt materiale care lucrează favorabil la compresiune, dar se comportă defavorabil la întindere. Din această cauză solicitarea la care zidăria rezistă în bune condiții este compresiunea (centrică sau excentrică cu mică excentricitate).

4.4.1. Comportarea zidăriei supuse la compresiune

Blocurile de zidărie și mortarul sunt supuse, chiar și în cazul unei solicitări globale de compresiune centrică, la eforturi de compresiune locală, încovoiere, forfecare și întindere (Fig. 4.4).

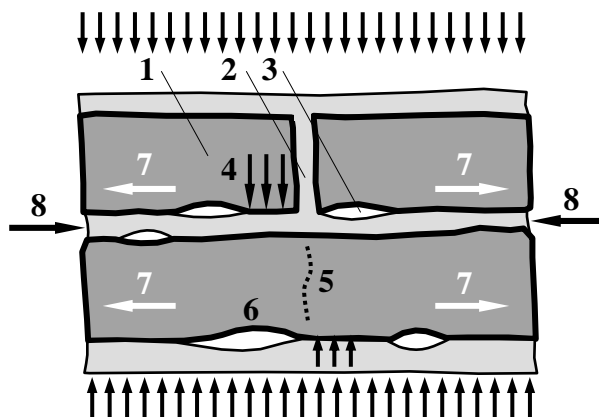


Fig. 4.4. Starea complexă de eforturi în blocuri (cărămizi) și mortar
1. cărămizi; **2.** mortar; **3.** goluri de aer; **4.** zonă de compresiune locală
5. secțiune de forfecare; **6.** zonă încovoiată;
7. tensiuni de întindere în cărămizi; **8.** tensiuni de compresiune în mortar

Această stare complexă de eforturi se explică prin:

- neuniformitatea formei și poziției blocurilor și a straturilor de mortar; blocul ajunge astfel să rezeme în unele zone discontinuu și să se încarce neuniform;
- deformațiile diferite ale blocurilor și ale mortarului (în special cel din rosturile orizontale); deformațiile transversale ale mortarului sunt mai mari decât ale blocurilor și, fiind împiedicate de frecarea și adeziunea cu piatra de zidărie, conduc la apariția eforturilor de compresiune în mortar și de întindere în blocuri.

În Fig. 4.5 și 4.6 sunt reprezentate stărilor de eforturi și deformații (numai pentru blocurile zidăriei, nu și în mortarul din rosturi), obținute prin simularea pe calculator a comportării unui perete supus pe ansamblu la compresiune. În Fig. 4.5 este prezentată situația unui perete corect executat, la care harta tensiunilor normale verticale are aceeași alura în toate blocurile curente (Fig. 4.5.c – nuanțele închise corespund valorilor mari ale tensiunilor).

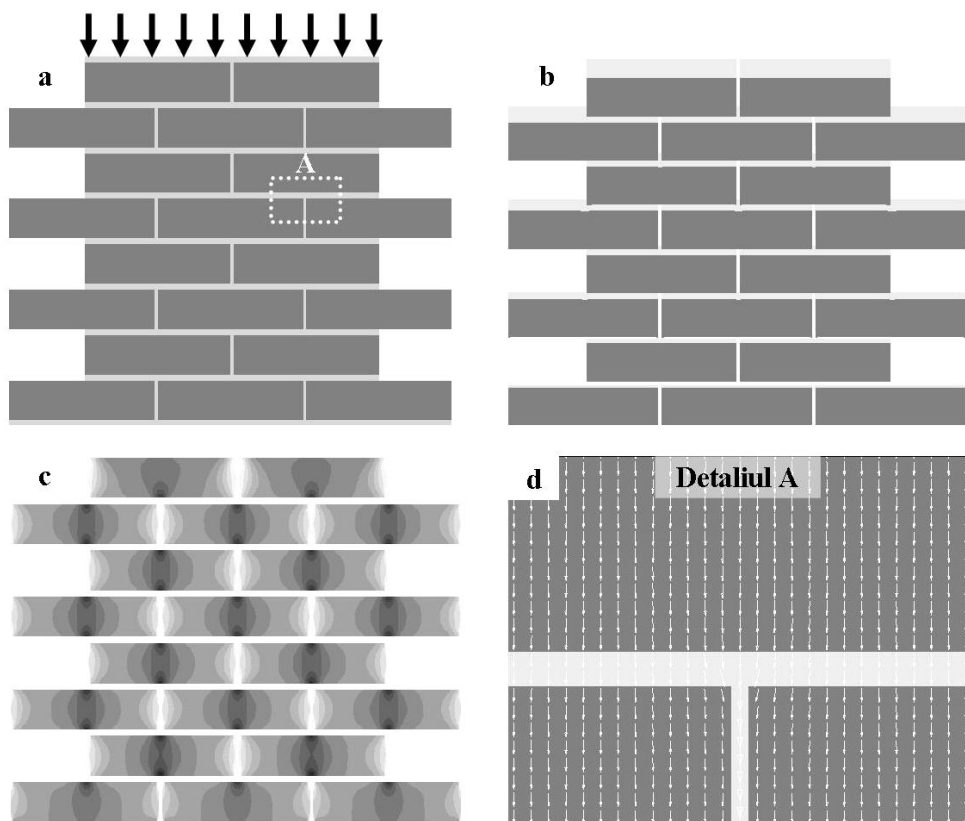


Fig. 4.5. Starea de solicitări la baza unui perete din zidărie (câmp curent)
a. elevație; **b.** deformată peretelui; **c.** harta tensiunilor normale verticale;
d. tensiunile principale de compresiune

În cazul utilizării unor blocuri cu defecte (suprafețe deplanate, muchii deteriorate etc.) sau în situația unei execuții neîngrijite (discontinuitatea mortarului în rosturile orizontale, lipsa mortarului în rosturile verticale etc.) stările de deformații (Fig. 4.6.b) și de tensiuni (Fig. 4.6.c) se modifică sensibil. Unele zone ale blocurilor sunt mai puțin solicitate (Fig. 4.6.c – nuanțele deschise), dar la marginile acestor zone apar întodeauna concentrații importante de eforturi (Fig. 4.6.c – nuanțele închise), datorită devierii traseului firesc al tensiunilor (Fig. 4.6.d).

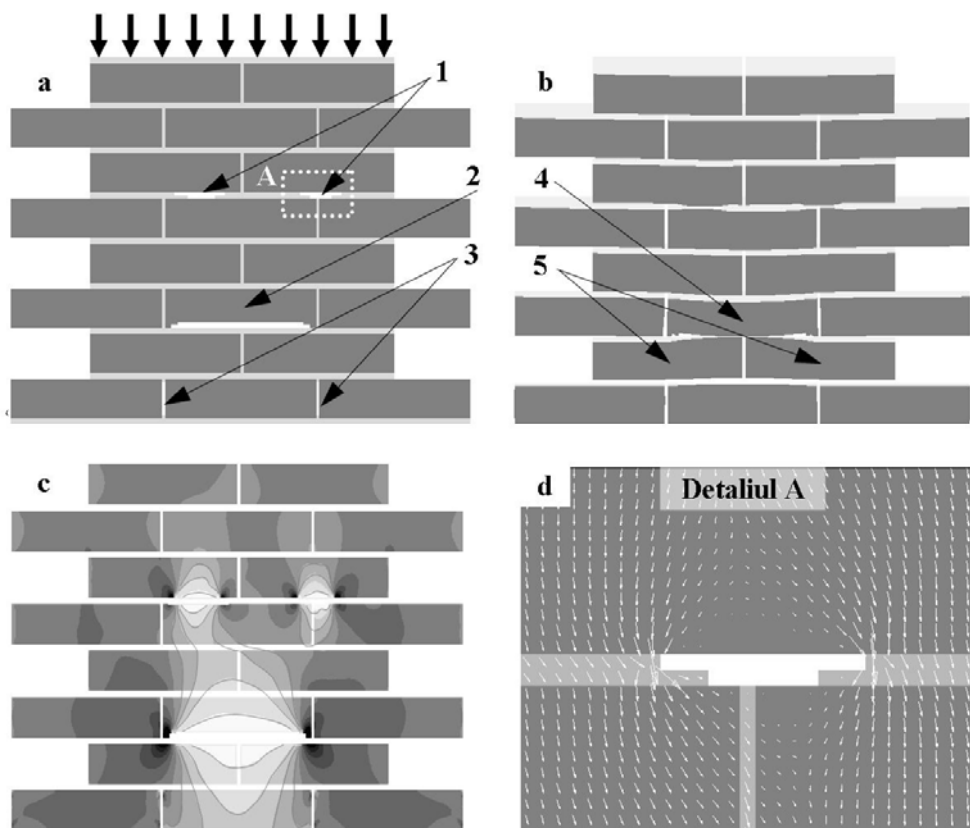


Fig. 4.6. Starea de solicitări la baza unui perete din zidărie cu defecte
a. elevație; **b.** deformată peretelui; **c.** harta tensiunilor normale verticale;
d. tensiunile principale de compresiune; **1.** rosturi orizontale neumplute;
2. bloc cu suprafața inferioară curbată; **3.** rosturi verticale fără mortar;
4. bloc supus la încovoiere; **5.** blocuri supuse la forfecare

În timpul încărcării treptate a elementelor de zidărie solitate la compresiune centrică, se deosebesc următoarele stadii de lucru (Fig. 4.7):

Stadiul I – nu apar fisuri în zidărie ($N < N_{fis}$); elementul se comportă aproape elastic;

Stadiul II – începe odată cu apariția primelor fisuri în unele blocuri ($N = N_{fis}$), datorită eforturilor de întindere, încovoiere și forfecare;

Stadiul III – fisurile existente se dezvoltă (ca lungime și deschidere) și apar fisuri noi, iar elementul de zidărie începe să se desfacă în stâlpișori verticali separați ($N_{fis} < N < N_r$); la menținerea constantă a încărcării dezvoltarea fisurilor încetează;

Stadiul IV – considerat stadiu de avarie, începe când deschiderea fisurilor continuă încet chiar la încărcare constantă și are loc atunci când $N = (0,8...0,9) \cdot N_r$; la un mic spor al încărcării fisurile se deschid brusc și se produce ruperea elementului datorită flambajului stâlpișorilor izolați formați prin unirea fisurilor ($N = N_r$).

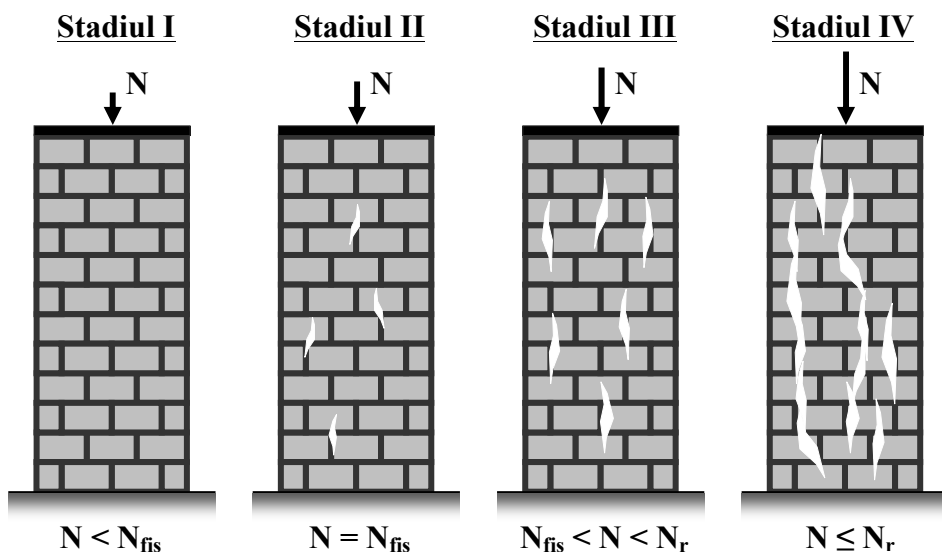


Fig. 4.7. Stadiile de lucru ale zidăriei solicitate la compresiune

4.4.2. Rezistența zidăriei la compresiune

Rezistența de rupere a zidăriei la compresiune centrică este influențată direct de următorii factori:

- caracteristicile fizico-mecanice ale blocurilor: rezistența, înălțimea, forma și planeitatea fețelor, prezența unor fisuri, aspectul suprafețelor;
- caracteristicile mortarului: rezistența și plasticitatea, grosimea stratului de mortar, uniformitatea, prezența unor granule mai mari etc.;
- alți factori: sistemul legăturilor, calitatea execuției, vârsta zidăriei, durata de încărcare, acțiunea factorilor climatici etc.

Există relații care permit stabilirea rezistenței la compresiune centrică a zidăriei ținând seama de factorii enumerați anterior. Una dintre cele mai utilizate este relația lui Oniscik, stabilită pe baze experimentale, cu ajutorul căreia rezistența normată a zidăriei la compresiune se exprimă:

$$R_z^n = A \cdot R_b^n \left(1 - \frac{a}{b + \frac{R_m^n}{2 \cdot R_b^n}} \right) \eta \quad (4.1)$$

unde: R_b^n , R_m^n – rezistența normată (caracteristică) a blocului de zidărie, respectiv a mortarului (daN/cm^2);

a , b – coeficienți adimensionali, determinați experimental;

A – coeficient de utilizare a blocului de zidărie, funcție de rezistența sa la încovoiere și la forfecare;

η – coeficient de corecție pentru mortarele de mărci inferioare.

4.4.3. Rezistența zidăriei la întindere

Zidăria lucrează defavorabil la solicitările de întindere, încovoiere și forfecare, evitându-se în general utilizarea ei în astfel de cazuri.

Întinderea apare în special la pereții silozurilor, rezervoarelor și depozitelor, ca urmare a împingerii laterale date de lichide sau de anumite solide (pulverulente).

Întinderea la zidărie poate avea loc în secțiuni nelegate (continue), când efortul de întindere acționează perpendicular pe asize (Fig. 4.8.a), sau în secțiuni legate (țesute), când forța de întindere este paralelă cu rosturile orizontale (Fig. 4.8.b,c,d).

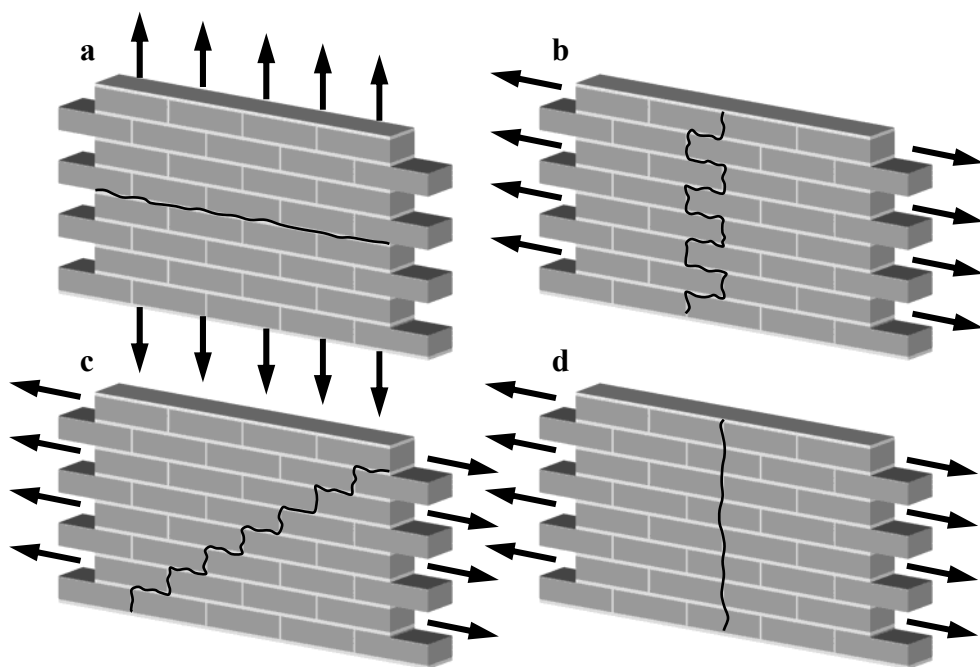


Fig. 4.8. Ruperea zidăriei la întindere
a. după secțiuni nelegate; b.c.d. după secțiuni legate

Ruperea zidăriei în secțiuni nelegate este posibilă prin desprinderea blocurilor de stratul de mortar, prin ruperea stratului de mortar sau prin ruperea blocurilor. În mod obișnuit ruperea are loc prin stratul de mortar sau prin desprinderea blocurilor.

Rezistența zidăriei la întindere este determinată în mare măsură de aderența dintre blocuri și mortar, care depinde la rândul ei de marca, compoziția, lucrabilitatea și vârsta mortarului, precum și de starea suprafețelor blocurilor (netede sau rugoase).

Rezistența normată (caracteristică) de aderență la întindere a zidăriei $R_{t,n}^n$ (executată cu mortar de marcă până la 50 daN/cm^2) se poate determina, funcție de rezistența normată (caracteristică) a mortarului R_m^n , cu relația aproximativă:

$$R_{t,n}^n \cong \frac{3}{1 + \frac{40}{R_m^n}} \quad (4.2)$$

Ruperea zidăriei în secțiuni legate poate avea loc în ștrepi (Fig. 4.8.b), în trepte (Fig. 4.8.c) sau prin secțiuni verticale care trec prin mortar și prin blocuri (Fig. 4.8.d), funcție de aderența tangențială între mortar și blocuri și de rezistența la întindere a blocurilor. Se neglijează aderența dintre blocuri și mortar în rosturile verticale, umplute incomplet cu mortar.

Rezistența normată (caracteristică) la întindere tangențială a zidăriei $R_{t,t}^n$ depinde de aceiași factori ca și rezistența normată $R_{t,n}^n$, și se apreciază cu relațiile prezentate în continuare.

a. Cazul 1 – rupere (cedare) de tipul celei din Fig. 4.8.b sau 4.8.c

$$R_{t,t}^n = 2,5 \frac{3}{1 + \frac{40}{R_m^n}} \quad (4.3)$$

b. Cazul 2 – rupere (cedare) de tipul celei din Fig. 4.8.d

$$R_{t,t}^n = 0,5 \cdot R_t' = 0,5 \frac{24R_b^n}{220 + R_b^n} \quad (4.4)$$

unde: R_t' – rezistența la întindere a blocului (daN/cm²);

R_b^n – rezistența la compresiune a blocului (daN/cm²).

4.4.4. Rezistența zidăriei la forfecare

Solicitarea de forfecare se întâlnește la reazemele construcțiilor, la arce, buiandrugi etc.

Ca și în cazul solicitării de întindere, ruperea poate avea loc prin secțiuni nelegate (Fig. 4.9.a) sau legate (Fig. 4.9.b), după cum forța tăietoare acționează paralel cu asizele, respectiv perpendicular pe asize.

Rezistența de rupere la forfecare după secțiuni nelegate $R_{f,t}^n$ se determină pe baza relației Mohr-Coulomb cu expresia:

$$R_{f,t}^n = R_{t,t}^n + 0,8 \cdot f \cdot \sigma_0 \quad (4.5)$$

unde: σ_0 – efortul mediu de compresiune în secțiunea considerată ($\sigma_0 = N / A$) (daN/cm²);

$R_{t,t}^n$ – rezistența normată la întindere tangențială (daN/cm²);

f – coeficient de frecare în rosturile zidăriei.

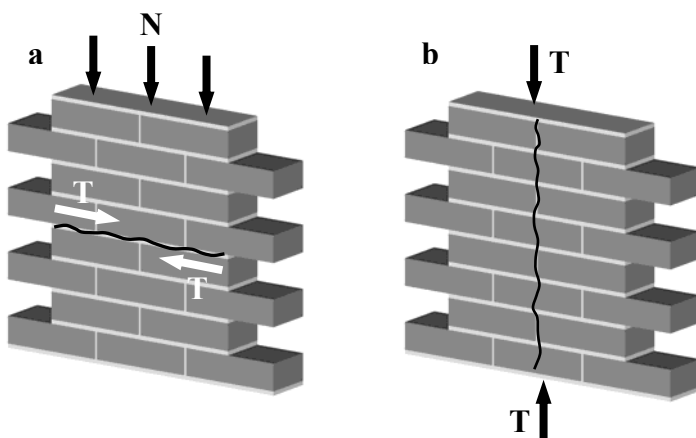


Fig. 4.9. Forfecarea zidăriei
a. după secțiuni nelegate; **b.** după secțiuni legate

Rezistența la forfecare după secțiuni legate $R_{f,n}^n$ se consideră egală cu rezistența de rupere la forfecare a blocului de zidărie (se neglijează mortarul):

$$R_{f,n}^n = R_{f,b}^n \quad (4.6)$$

4.4.5. Rezistența zidăriei la strivire

Solicitarea de strivire (compresiune locală) are loc atunci când numai o parte a secțiunii unui element este supusă la eforturi de compresiune (Fig. 4.10).

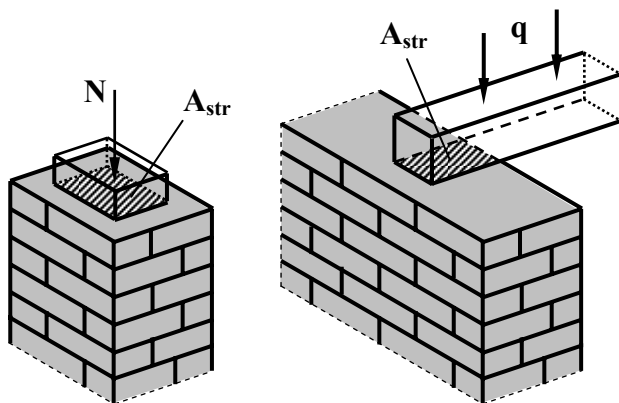


Fig. 4.10. Solicitarea zidăriei la strivire

Deoarece în acest caz zonele învecinate nesolicitate (sau slab solicitate) împiedică deformările transversale ale porțiunii comprimate, zidăria lucrează mai favorabil, iar rezistența sa la strivire R_{str}^n este mai mare decât rezistența la compresiune R_z^n . Rezistența la strivire este cu atât mai mare cu cât raportul dintre aria totală (convențională) a elementului (A_c) și aria suprafeței strivite (A_{str}) este mai mare, conform relației lui Bauschinger:

$$R_{str}^n = R_z^n \sqrt[3]{\frac{A_c}{A_{str}}} \leq 2R_z^n \quad (4.7)$$

Aria convențională de calcul A_c se determină funcție de condițiile concrete de rezemare (Fig. 4.11), dar întodeauna va fi mai mare decât aria de strivire.

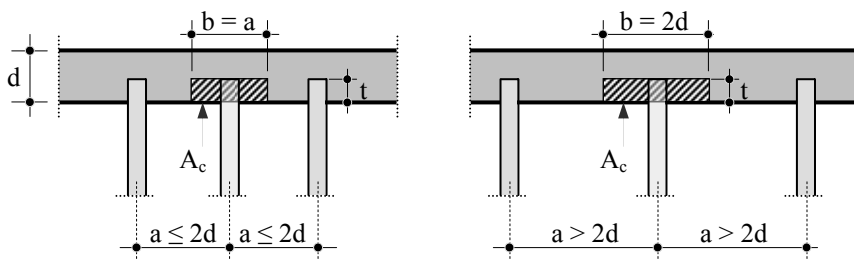


Fig. 4.11. Stabilirea ariei convenționale de calcul la strivire

4.5. Deformațiile zidărilor

4.5.1. Modulul de elasticitate

Comportarea zidăriei sub aspectul deformațiilor care apar la acțiunea sarcinilor verticale reflectă în esență proprietățile materialelor componente (bloc de zidărie și mortar) precum și gradul de conlucrare dintre aceste materiale.

Experimental s-a constatat că deformația totală a unei probe comprimate se datorează în cea mai mare măsură deformației rosturilor orizontale. Deși cca. 85% din volumul zidăriei este ocupat de cărămizi, deformația zidăriei este în proporție de 90% rezultatul deformației mortarului, deformațiile blocurilor contribuind cu numai 10%.

Curbele caracteristice ale celor doua materiale (Fig. 4.12) arată o comportare aproape elastică (liniară) pentru blocul de zidărie și o comportare elasto-plastică pentru mortar, această din urmă caracteristică imprimându-se și zidăriei.

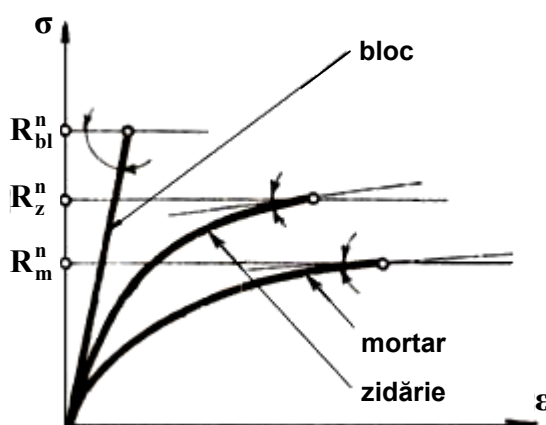


Fig. 4.12. Curbele caracteristice ale blocului, mortarului și zidăriei

Caracterul deformației zidăriei se reflectă prin modulul de elasticitate E , definit ca fiind panta tangentei geometrice la curba caracteristică (Fig. 4.13.a):

$$E = \operatorname{tg} \beta = \frac{d\sigma}{d\varepsilon} \quad (4.8)$$

unde: σ – efortul unitar (daN/cm^2);

ε – alungirea specifică.

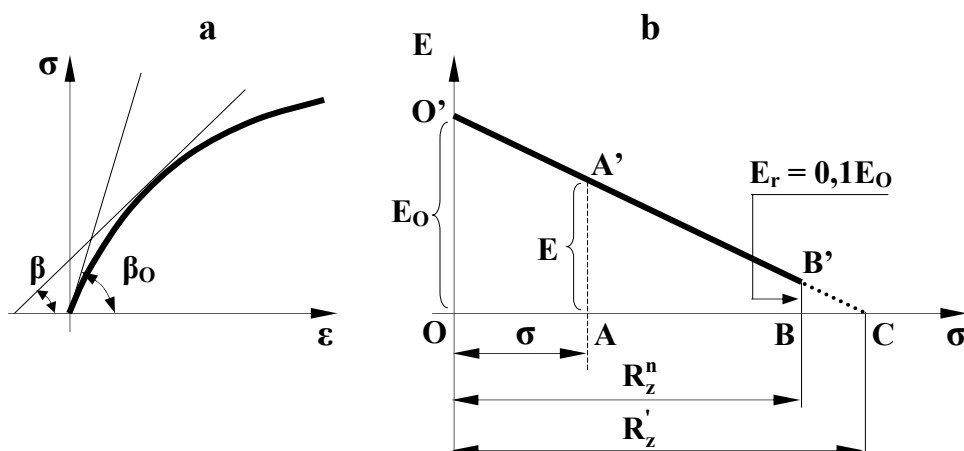


Fig. 4.13. Proprietățile de deformare ale zidărilor
a. curba caracteristică; **b.** variația modului de elasticitate

Deoarece diagrama caracteristică a zidăriei este reprezentată de o linie curbă iar tangenta geometrică prezintă unghiuri de înclinare diferite de la un punct la altul, rezultă că modulul de elasticitate al zidăriei este variabil cu efortul unitar, descrescând de la valoarea inițială $E_0 = \operatorname{tg} \beta_0$ la valoarea $E_r = \operatorname{tg} \beta_r$ corespunzătoare ruperii.

Experimental s-a constatat că modulul de elasticitate la rupere reprezintă cca. 10% din valoarea modului inițial ($E_r = 0,1 \cdot E_0$) și pe această bază se poate stabili o relație între modulul de elasticitate și efortul unitar normal.

Se consideră o variație liniară a modului de elasticitate cu efortul unitar normal și se definește rezistența limită convențională R'_z ca fiind rezistența teoretică pentru care $E = 0$ (Fig. 4.13.b).

Din asemănarea triunghiurilor OCO' și BCB' (Fig. 4.13.b) rezultă:

$$\frac{BC}{OC} = \frac{BB'}{OO'} \Rightarrow \frac{R'_z - R_z^n}{R'_z} = \frac{0,1 \cdot E_0}{E_0} \Rightarrow R'_z = 1,1 \cdot R_z^n \quad (4.9)$$

Din asemănarea triunghiurilor OCO' și ACA' (Fig. 4.13.b) rezultă:

$$\frac{AC}{OC} = \frac{AA'}{OO'} \Rightarrow \frac{R'_z - \sigma}{R'_z} = \frac{E}{E_0} \Rightarrow E = E_0 \left(1 - \frac{\sigma}{R'_z} \right) \quad (4.10)$$

În consecință:

$$\boxed{E = E_0 \left(1 - \frac{\sigma}{1,1 R_z^n} \right)} \quad (4.11)$$

Prin mijloace experimentale s-a demonstrat că modulul de elasticitate inițial depinde de rezistența normată de rupere la compresiune a zidăriei R_z^n și de un coeficient numit caracteristică elastică, notat cu α ($\alpha = 500 \dots 2000$, funcție de natura blocurilor și de marca mortarului), conform relației:

$$E_0 = \alpha R_z^n \quad (4.12)$$

Deși modulul de elasticitate al zidăriei este variabil, în calcule se pot considera următoarele valori medii:

- $E = 0,8.E_0$ – pentru calculul deformațiilor la sistemele static nedeterminate, sub influența sarcinilor de exploatare;
- $E = 0,5.E_0$ – pentru calculul la starea limită a capacității portante sau în stadiul de rupere.

Deformația specifică a zidăriei ε se poate determina pe baza modulului de elasticitate și a efortului unitar, plecând de la relația (4.8), prin integrare, ținând seama și de relația (4.11). Rezultă:

$$\boxed{\varepsilon = -\frac{1,1 R_z^n}{E_0} \ln \left(1 - \frac{\sigma}{1,1 R_z^n} \right)} \quad (4.13)$$

4.5.2. Flambajul elementelor de zidărie

Cercetările experimentale au arătat ca eforturile unitare critice ale elementelor din zidărie pot fi determinate cu suficientă precizie folosind metoda coeficientului de flambaj, definit prin relația:

$$\varphi = \frac{\sigma_{af}}{\sigma_{ac}} = \frac{\frac{\sigma_{cr}}{c}}{\frac{\sigma_c}{c}} = \frac{\sigma_{cr}}{\sigma_c} \quad (4.14)$$

unde: σ_{af} – rezistența admisibilă la flambaj (daN/cm^2);

σ_{ac} – rezistența admisibilă la compresiune (daN/cm^2);

σ_{cr} – efortul critic de flambaj (daN/cm^2);

σ_c – rezistența limită la compresiune (daN/cm^2);

c – coeficient de siguranță.

La zidării, coeficientul de flambaj se definește ca raport între efortul unitar critic de flambaj și rezistența limită convențională R'_z :

$$\varphi = \frac{\sigma_{cr}}{R'_z} = \frac{\sigma_{cr}}{1,1 R_z^n} \quad (4.15)$$

Efortul unitar de flambaj se determină cu formula lui Euler stabilită pentru domeniul elastic, în care modulul de deformație este dat de relația (4.11):

$$\sigma_{cr} = \frac{\pi^2 EI}{A \ell_f^2} = \frac{\pi^2 E_0 I}{A \ell_f^2} \left(1 - \frac{\sigma_{cr}}{1,1 R_z^n} \right) \quad (4.16)$$

Dacă se notează cu σ_{cr}^0 efortul unitar critic corespunzător modulului inițial de elasticitate E_0 :

$$\sigma_{cr}^0 = \frac{\pi^2 E_0 I}{A \ell_f^2} \quad (4.17)$$

atunci relația (4.16) devine:

$$\sigma_{cr} = \sigma_{cr}^0 \left(1 - \frac{\sigma_{cr}}{1,1 R_z^n} \right) \quad (4.18)$$

Din această egalitate rezultă expresia efortului critic:

$$\sigma_{cr} = \frac{\sigma_{cr}^0}{1 + \frac{\sigma_{cr}^0}{1,1 R_z^n}} \quad (4.19)$$

Împărțind ambii termeni ai ultimei relații la $1,1 R_z^n$ rezultă:

$$\frac{\sigma_{cr}}{1,1 R_z^n} = \frac{\frac{\sigma_{cr}^0}{1,1 R_z^n}}{1 + \frac{\sigma_{cr}^0}{1,1 R_z^n}} \quad (4.20)$$

sau:

$$\varphi = \frac{\varphi_0}{1 + \varphi_0} \quad (4.21)$$

în care:

$$\varphi_0 = \frac{\sigma_{cr}^0}{1,1 R_z^n} = \frac{\pi^2 E_0 I}{A \ell_f^2 1,1 R_z^n} = \pi^2 A_0 \quad (4.22)$$

Înlocuind $E_0 = \alpha R_z^n$ și $I/A = i^2$ în expresia (4.22), se obține:

$$\varphi_0 = \frac{\pi^2 \alpha R_z^n}{\ell_f^2 1,1 R_z^n} i^2 = \frac{\pi^2 \alpha}{1,1} \left(\frac{i}{\ell_f} \right)^2 = \frac{9\alpha}{\lambda^2} \quad (4.23)$$

Rezultă dependența coeficientului de flambaj al zidăriei de zveltețea (subțirimea) elementului și de caracteristica elastică a zidăriei. În prescripțiile tehnice valorile coeficientului de flambaj φ se dau pentru $\alpha = 1000$, funcție de coeficientul de zveltețe $\lambda = \ell_f/i$ sau gradul de zveltețe $\beta = \ell_f/d$. Pentru alte valori ale caracteristicii de elasticitate, diferite de 1000, coeficientul de flambaj se determină considerând lungimea de flambaj multiplicată cu factorul:

$$\sqrt{\frac{1000}{\alpha}} \quad (4.24)$$

La stabilirea lungimii de flambaj se ține seama de înălțimea reală a elementului și de modul de rezemare.

4.6. Calculul secțiunilor de zidărie simplă

Calculul secțiunilor de zidărie simplă se efectuează conform prescripțiilor generale de verificare a siguranței construcțiilor, prin verificarea comportării față de stările limită care pot apare în diferite etape, ținând seama de cele mai defavorabile condiții de solicitare, de cele mai defavorabile caracteristici ale materialelor, de influențele simplificărilor introduse în calcule etc.

În cazul elementelor din zidărie se iau în considerare următoarele stări limită:

- stări limită ultime de rezistență și stabilitate;

- stări limită ale exploatării normale (stări limită de serviciu), determinate de mărimea deformațiilor și de apariția și deschiderea fisurilor.

Calculul elementelor din zidărie se face cu încărcările de calcul, determinate prin înmulțirea valorilor normate (valorilor caracteristice) ale încărcărilor cu coeficientul încărcării, numit coeficient parțial de siguranță.

Elementele din zidărie se verifică fie prin compararea solicitării de calcul cu capacitatea portantă, fie prin compararea eforturilor unitare ce iau naștere sub efectul solicitărilor de calcul, cu rezistența de calcul.

4.6.1. Compresiunea centrică

Relația de verificare se stabilește pe baza echilibrului dintre acțiunea axială de calcul (N_d) și eforturile limită la compresiune ale zidăriei (egale cu rezistența de calcul la compresiune a zidăriei), considerate uniform distribuite pe întreaga secțiune a elementului (Fig. 4.14). Rezultă:

$$N_d = \gamma N_k \leq A.R_z \quad (4.25)$$

unde: N_d – solicitarea axială de calcul (daN);

N_k – solicitarea axială caracteristică (normată) (daN);

γ – coeficient parțial de siguranță (coeficientul încărcării);

A – aria secțiunii elementului (cm^2);

R_z – rezistența de calcul la compresiune centrică (daN/cm^2).

Pentru elementele zvelte, la care $\beta = \ell_f/d > 3$ sau $\lambda = \ell_f/i > 10.5$, intervine fenomenul de flambaj, iar relația de verificare devine:

$$\boxed{N_d = \gamma N_k \leq \varphi.A.R_z} \quad (4.26)$$

unde: φ – coeficientul de flambaj.

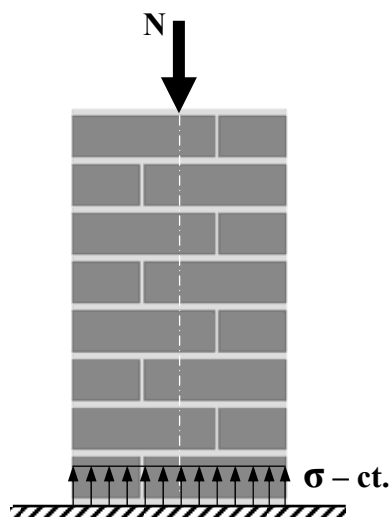


Fig. 4.14. Element din zidărie comprimat centric

4.6.2. Compresiunea excentrică

Compresiunea excentrică este solicitarea cea mai des întâlnită la elementele din zidărie (pereți, stâlpi etc.) și se datorează acțiunii unei forțe N aplicată cu o excentricitate e_0 . Efectul acestei solicitări este același cu efectul unei forțe axiale centrice N și al unui moment încovoietor egal cu produsul $N \cdot e_0$.

Studiile experimentale efectuate pe stâlpi din zidărie solicitați la compresiune excentrică au scos în evidență deosebiri esențiale în comportarea acestora funcție de mărimea excentricității forței.

a. Compresiune excentrică cu mică excentricitate

Se consideră că acest tip de solicitare apare atunci când este îndeplinită relația:

$$e_0 \leq 0,45 \cdot y \quad (4.27)$$

unde: y – distanța dintre centrul de greutate al secțiunii și marginea cea mai solicitată (Fig. 4.15).

În acest caz întreaga secțiune a elementului este solicitată la compresiune; variația eforturilor unitare este curbilinie, dar în calcule se consideră, în mod simplificat, o variație liniară (Fig. 4.15.a).

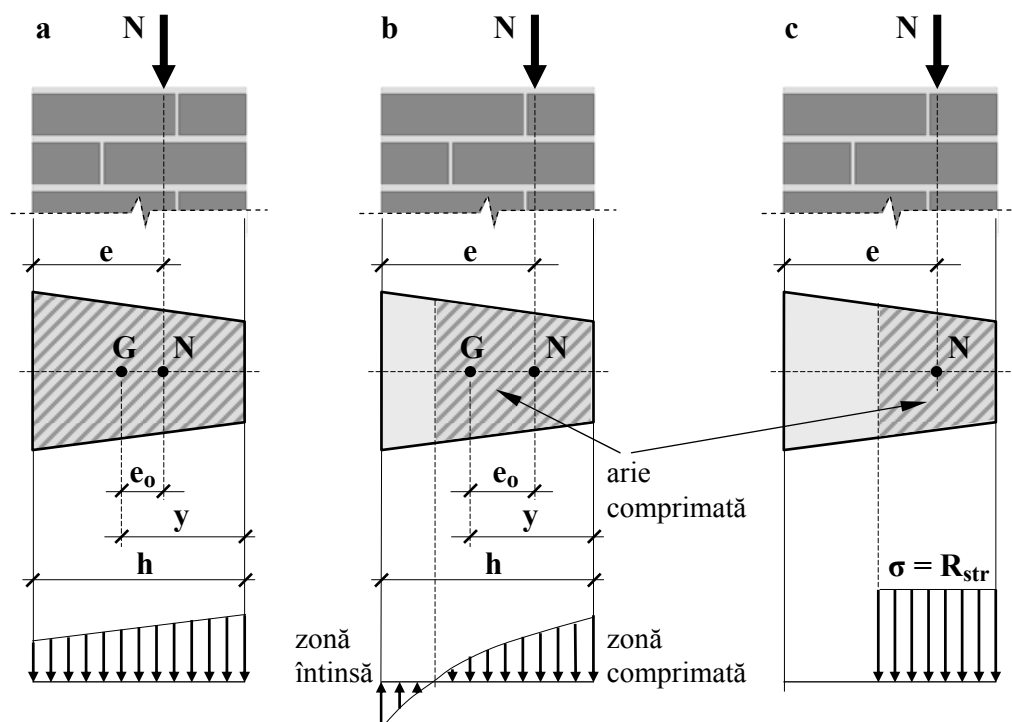


Fig. 4.15. Compresiunea excentrică
a. cu mică excentricitate; b.c. cu mare excentricitate

Cercetările experimentale au arătat că pentru valori mici ale excentricității distribuția eforturilor unitare pe secțiune nu suferă modificări semnificative cu variația excentricității. Pe această bază se poate scrie egalitatea aproximativă a momentului forței de rupere în raport cu fibra mai puțin solicitată în cazul compresiunii excentrice cu mică excentricitate (Fig. 4.15.a), cu momentul forței de rupere în cazul compresiunii centrice:

$$\begin{aligned} N \cdot e &= \sigma \cdot A (h - y) \\ e &= h - y + e_0 \end{aligned} \quad (4.28)$$

Relațiile (4.28), scrise în stadiul de rupere, conduc la:

$$N_r(h - y + e_0) = A.R_z(h - y) \quad (4.29)$$

de unde, împărțind ambii membrii cu $h - y$, se obține:

$$N_r = \frac{A.R_z}{1 + \frac{e_0}{h - y}} \quad (4.30)$$

În consecință, relația de verificare a elementelor din zidărie, solicitate la compresiune excentrică cu mică excentricitate, în metoda stărilor limită, ținând cont și de fenomenul de flambaj, se va scrie (pentru secțiuni oarecare):

$$N_d = \gamma N_k \leq \frac{\varphi.A.R_z}{1 + \frac{e_0}{h - y}} \quad (4.31)$$

b. Compresiune excentrică cu mare excentricitate

Acest caz apare când este îndeplinită inegalitatea:

$$e_0 > 0,45.y \quad (4.32)$$

În această situație o parte a secțiunii este solicitată la întindere (Fig. 4.15.b), ceea ce va conduce la apariția și dezvoltarea unor fisuri, iar încărcarea este preluată numai de zona comprimată, care se reduce pe măsură ce excentricitatea crește.

Momentul forței de rupere variază sensibil cu mărimea excentricității, iar cedarea elementului din zidărie are loc prin ruperea zonei comprimate.

Capacitatea portantă a elementelor din zidărie solicitate la compresiune excentrică cu mare excentricitate este determinată de rezistența zonei comprimate și nu de rezistența la întindere a zonei întinse.

Pe măsură ce suprafața zonei comprimate a secțiunii scade prin dezvoltarea zonei întinse fisurate, are loc o deplasare a centrului de greutate al secțiunii comprimate, respectiv scăderea excentricității forței, ceea ce se manifestă favorabil asupra comportării elementului. De asemeni, se constată o creștere a rezistenței de rupere a zidăriei comprimate excentric față de rezistența la compresiune centrică, deoarece zonele necomprimate limitează deformațiile transversale ale porțiunii comprimate, ca și în cazul compresiunii locale (strivirii).

Pe baza acestui model se poate stabili relația de verificare a elementelor din zidărie solicitate la compresiune excentrică cu mare excentricitate, considerând o distribuție uniformă a eforturilor unitare de compresiune pe secțiunea activă (comprimată) A_c a elementului. La limită, efortul unitar devine egal cu rezistența la strivire (Fig. 4.15.c).

Din relația de echilibru de proiecție pe axa verticală a elementului rezultă:

$$N = A_c \cdot R_{str} = A_c \cdot R_z \sqrt[3]{\frac{A}{A_c}} = A \cdot R_z \sqrt[3]{\left(\frac{A_c}{A}\right)^2} \quad (4.33)$$

unde: A_c – aria comprimată (cm^2);

A – aria totală a elementului (cm^2);

R_{str} – rezistența de calcul la strivire (daN/cm^2);

R_z – rezistența de calcul la compresiune centrică (daN/cm^2).

În metoda stărilor limită, ținând cont și de fenomenul de flambaj, relația de verificare devine:

$$\boxed{N_d = \gamma N_k \leq \varphi_1 \cdot A \cdot R_z \sqrt[3]{\left(\frac{A_c}{A}\right)^2}} \quad \left(\varphi_1 = \frac{\varphi + \varphi_c}{2} \right) \quad (4.34)$$

unde: φ_1 – coeficientul de flambaj corectat, ținând seama de fisurarea secțiunii;

φ – coeficientul de flambaj al întregii secțiuni a elementului;

φ_c – coeficientul de flambaj pentru partea comprimată a elementului, determinat funcție de caracteristica elastică a zidăriei și de coeficientul de zveltețe λ_c (sau de gradul de zveltețe β_c), conform relațiilor:

$$\lambda_c = \frac{\ell_f}{i_c}; \quad \beta_c = \frac{\ell_f}{h_c} \quad (4.35)$$

ℓ_f – lungimea de flambaj (cm);

i_c – raza de girație a zonei comprimate (cm);

h_c – înălțimea zonei comprimate (cm).

Aria zonei comprimate A_c se poate determina în mod simplificat admitând ipoteza că sarcina exterioară N este aplicată în centrul de greutate al secțiunii comprimate (active). Pentru secțiuni dreptunghiulare rezultă:

$$A_c = A \left(1 - \frac{2 \cdot e_0}{h} \right) \quad (4.36)$$

Relația de verificare (4.34) devine:

$$N_d = \gamma N_k \leq \varphi_1 \cdot A \cdot R_z \sqrt[3]{\left(1 - \frac{2 \cdot e_0}{h}\right)^2} \quad (4.37)$$

Aceste relații sunt valabile numai pentru valori ale excentricității $e_0 < e_{\text{lim}}$, unde $e_{\text{lim}} = (0,6 \dots 0,8) \cdot y$ funcție de tipul zidăriei. Dacă excentricitatea depășește valoarea limită (e_{lim}), precum și pentru construcții la care condițiile de exploatare nu admit fisuri, este necesară verificarea la fisurare.

4.6.3. Compresiunea locală (strivirea)

Compresiunea locală este des întâlnită în construcții la rezemarea grinzilor pe pereții din zidărie, și uneori în cazul stâlpilor din zidărie.

Elementele din zidărie solicate la strivire se verifică cu relația:

$$N \leq \mu \cdot A_{\text{str}} \cdot R_{\text{str}} \quad (4.38)$$

unde: A_{str} – suprafața de strivire (porțiunea încărcată) (cm^2);

R_{str} – rezistența de calcul a zidăriei la compresiune locală (daN/cm^2);

μ – coeficient de formă al diagramei presiunilor (rezultate ca urmare a încărcării locale), cu valorile: $\mu = 1,0$ pentru distribuție dreptunghiulară (uniformă); $\mu = 0,5$ pentru distribuție triunghiulară (Fig. 4.16).

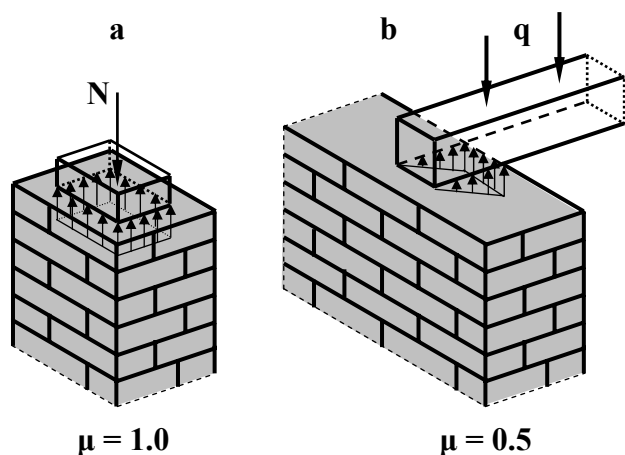


Fig. 4.16. Distribuția presiunilor la compresiune locală
a. distribuție uniformă; **b.** distribuție triunghiulară

4.6.4. Forfecarea

a. Verificarea elementelor din zidărie solicitate la forfecare, paralel cu rosturile orizontale (secțiuni nelegate), de o forță tăietoare de calcul H , se efectuează cu relația:

$$H \leq (R_f + f \cdot \sigma_0) \cdot A_f \quad (4.39)$$

unde: H – forța tăietoare (orizontală) de calcul (daN);

R_f – rezistența de calcul a zidăriei la forfecare (daN/cm²);

σ_0 – efortul unitar mediu de compresiune pe rostul forfecat

($\sigma_0 = N/A_c$) (daN/cm²);

f – coeficient de frecare;

A_f – aria secțiunii forfecate (cm²).

b. Dacă solicitarea se exercită normal pe rosturile orizontale, verificarea la forfecare se face după rosturi legate, mai precis prin blocuri, luând în considerare aria netă a blocurilor $A_{\text{net,b}}$, fără rosturile de mortar. Se utilizează relația:

$$\boxed{V \leq R_{f,b} \cdot A_{\text{net,b}}} \quad (4.40)$$

unde: V – forța tăietoare (verticală) de calcul (daN);

$R_{f,b}$ – rezistența de calcul la forfecare a blocurilor din zidărie (daN/cm²).

4.6.5. Încovoierea simplă

Solicitarea de încovoiere apare la pereții cu suprafață mare datorită acțiunii vântului, la zidurile de sprijin, ca urmare a unor tasări etc.

Verificarea se face cu relația:

$$\boxed{\sigma = \frac{M}{W} \leq R_{t,i}} \quad (4.41)$$

unde: M – momentul încovoiitor de calcul din secțiunea considerată (daN.cm);

W – modulul de rezistență al secțiunii (cm³);

R_{ti} – rezistența de calcul la întindere din încovoiere a zidăriei (daN/cm²).

Capitolul 5

Higrotermica clădirilor

5.1. Considerații generale

Higrotermica este o ramură a fizicii construcțiilor în cadrul căreia sunt studiate acele fenomene și caracteristici ale clădirilor ce au în vedere satisfacerea cerințelor de viață ale oamenilor și în special protecția contra agenților climatici: variații de temperatură și de umiditate, vânt, ploaie, zăpadă etc. Astfel, sunt investigate procesele de transfer de masă și căldură în construcții, respectiv transmisia vaporilor de apă (higro) și a căldurii (termo) prin elementele de construcții, precum și efectele pe care aceste procese le au asupra condițiilor de microclimat interior, a condițiilor de igienă și confort, a durabilității și a caracteristicilor fizice ale elementelor.

Prin transfer de căldură se înțelege procesul spontan, ireversibil de propagare a căldurii în spațiu, reprezentând schimbul de energie termică între corpuri, sau regiuni ale aceluiași corp, ca rezultat al diferenței de temperatură dintre acestea. Transferul de căldură este un transfer de energie

între sisteme fizico–chimice sau între diferitele părți ale aceluiași sistem, în cadrul unei transformări în care nu se efectuează lucru mecanic.

Știința transferului de căldură are ca preocupare procesele în care energia termică la parametri mai ridicați este transformată în energie termică la parametri mai coborâți. În mod curent, parametrul cu care se apreciază calitatea căldurii este temperatura, definită ca o măsură globală a intensității proceselor care determină energia internă a unui corp.

Schimbul de căldură respectă cele două principii fundamentale ale termodinamicii.

- **Principiul I al termodinamicii, care exprimă legea conservării energiei:**

„Dacă într-un sistem izolat termic, schimburile de căldură se desfășoară fără reacții chimice, fără fenomene electromagnetice sau de disociere și fără deplasări de mase, cantitatea de căldură a sistemului rămâne constantă, oricare ar fi schimburile termice dintre părțile sale componente.”

- **Principiul al II-lea al termodinamicii, care stabilește sensul natural al propagării căldurii, întotdeauna de la zona cu temperatură mai ridicată către zona cu temperatură mai coborâtă:**

„Dacă într-un sistem izolat termic, distribuția temperaturilor este neuniformă, vor avea loc schimburi de căldură, aceasta scurgându-se din regiunile cu temperatură ridicată spre cele cu temperatură joasă, până la completa nivelare a temperaturilor sistemului.”

Practic, transferul de căldură este prezent într-o măsură mai mare sau mai mică în majoritatea domeniilor tehnicii actuale, iar importanța lui este în

continuă creștere. Legile transferului termic controlează modul în care căldura se transmite prin elementele exterioare ale clădirilor (anvelopa), proiectarea și funcționarea unei extrem de mari varietăți de aparate și instalații industriale etc.

Se poate afirma că obiectivele generale ale studiului transferului de căldură sunt constituite de găsirea metodelor și procedeele de frânare a acestui fenomen în cazul elementelor de izolare termică, sau de intensificare în cazul unor instalații de diverse tipuri.

În mod analog transferului de căldură, transferul sau schimbul de masă se definește ca procesul spontan de transfer de substanță, între două regiuni cu concentrații diferite. Sensul transferului de masă este întodeauna din regiunea cu concentrație mai mare către regiunea cu concentrație mai redusă. Transferul de masă are loc în două moduri distincte: prin difuzie moleculară și prin difuzie turbulentă.

În aplicațiile practice, procesele de transfer de căldură și de masă se pot desfășura separat sau împreună.

Clădirile trebuie să satisfacă anumite cerințe de confort, pentru îndeplinirea cărora mărimile fizice ce caracterizează microclimatul încăperilor nu trebuie să depășească anumite limite. De exemplu, temperatura interioară în clădirile de locuit trebuie să fie minim 20 °C iarna și maxim 26 °C vara, umiditatea relativă cca. 35...70% iarna și 60% vara, viteza maximă de mișcare a aerului interior 0.2 m/s.

5.2. Transmisia căldurii

5.2.1. Noțiuni fundamentale

Rezolvarea problemelor de transfer termic specifice construcțiilor se bazează pe cunoașterea legilor fizicii referitoare la schimbul de căldură, stabilite în cadrul teoriei propagării căldurii.

Dintre criteriile de confort, de primă importanță este cel care se referă la valorile temperaturilor în spațiile locuite, denumit confort termic. Datorită diferențelor de temperatură dintre aer și elementele de construcții are loc transferul căldurii prin conducție, convecție și radiație (Fig. 5.1).

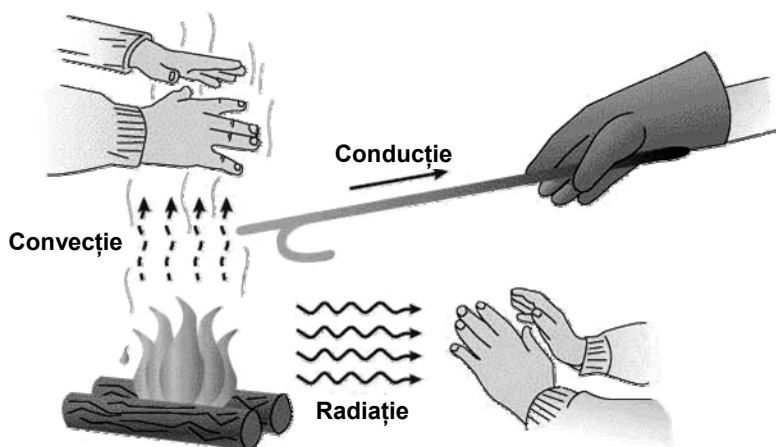


Fig. 5.1. Transferul căldurii prin conducție, convecție și radiație

a. Transferul căldurii prin conducție constă în transmisia căldurii dintr-o regiune cu temperatură mai ridicată către o regiune cu temperatură mai scăzută, în interiorul unui mediu solid, lichid sau gazos, sau între medii diferite în contact fizic direct, sub influența unei diferențe de temperatură,

fără existența unei deplasări aparente a particulelor care alcătuiesc mediile respective. În construcții acest tip de transfer este întâlnit în special la corpurile solide (pereți, planșee, acoperișuri, tâmplărie etc.) și se desfășoară prin vibrația termică a rețelei cristaline și, în cazul elementelor metalice, cu ajutorul electronilor liberi (de valență).

b. Transferul termic prin convecție reprezintă procesul de transfer al căldurii prin acțiunea combinată a conducției termice, a acumulării de energie și a mișcării de amestec. Convecția este cel mai important mecanism de schimb de căldură între o suprafață solidă și un fluid, între care există contact direct și mișcare relativă. În construcții transferul convectiv are loc în special la lichide și gaze și se datorează transportului de căldura prin mișcarea moleculelor fluidelor. Fenomenul intervine la suprafața de contact a elementelor de construcții cu aerul interior sau exterior.

c. Transferul energiei termice prin radiație este procesul prin care căldura este transferată de la un corp cu temperatură ridicată la un corp cu temperatură scăzută, corpurile fiind separate în spațiu. Schimbul de căldură prin radiație se realizează de la distanță, fără contact direct între corpuri. Fenomenul are sens dublu: un corp radiază energie, dar și absoarbe energia emisă sau reflectată de corpurile înconjurătoare. Radiația termică are loc sub formă de unde electromagnetice și intervine în mod semnificativ la diferențe mari de temperatură între corpurile solide, sau între solide și fluide, cum este în cazul elementelor de încălzire din locuințe (radiatoare).

Principalele noțiuni cu care se operează în cadrul problemelor legate de studiul fenomenelor de transfer termic sunt:

a. Temperatura – reprezintă o mărime scalară de stare, care caracterizează gradul de încălzire al corpurilor. Temperatura poate varia în timp și spațiu

fiind, în cazul cel mai general, o funcție de 4 variabile (trei variabile geometrice și variabila timp): $T = f(x, y, z, \tau)$.

Ca unitate de măsură se utilizează gradele, care diferă funcție de sistemul de măsură folosit: Kelvin (K), Celsius ($^{\circ}\text{C}$), Fahrenheit ($^{\circ}\text{F}$). În sistemul internațional (SI) unitatea de măsură a temperaturii este Kelvinul.

b. Câmp termic – reprezintă totalitatea valorilor temperaturii ce caracterizează un anumit spațiu (domeniu). Câmpul termic poate fi constant (staționar sau permanent) sau variabil (nestaționar sau tranzitoriu), după cum temperatura din fiecare punct este constantă sau variabilă în timp. De asemenea, câmpul termic este unidirecțional (Fig. 5.2), atunci când propagarea căldurii are loc în mod preponderent pe o singură direcție, bidirecțional sau plan (Fig. 5.3), dacă propagarea căldurii are loc pe două direcții și tridirecțional sau spațial (Fig. 5.4), în situația în care propagarea căldurii are loc pe toate cele trei direcții în spațiu.

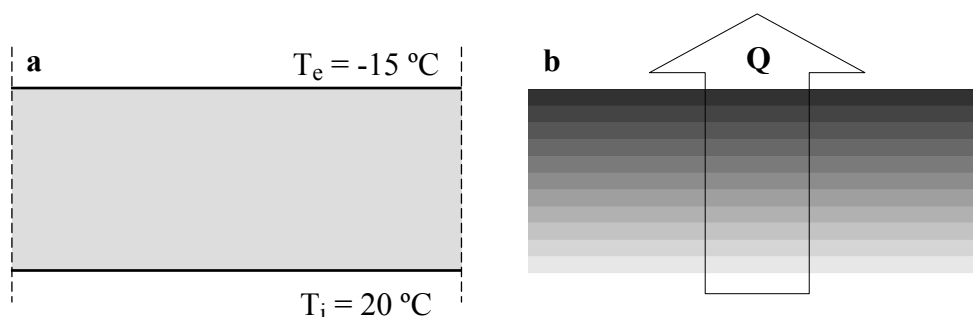


Fig. 5.2. Câmp termic unidirecțional într-un perete (câmp curent)
a. perete exterior omogen; **b.** harta temperaturilor
(temperatura scade de la nuanțele deschise spre cele închise)

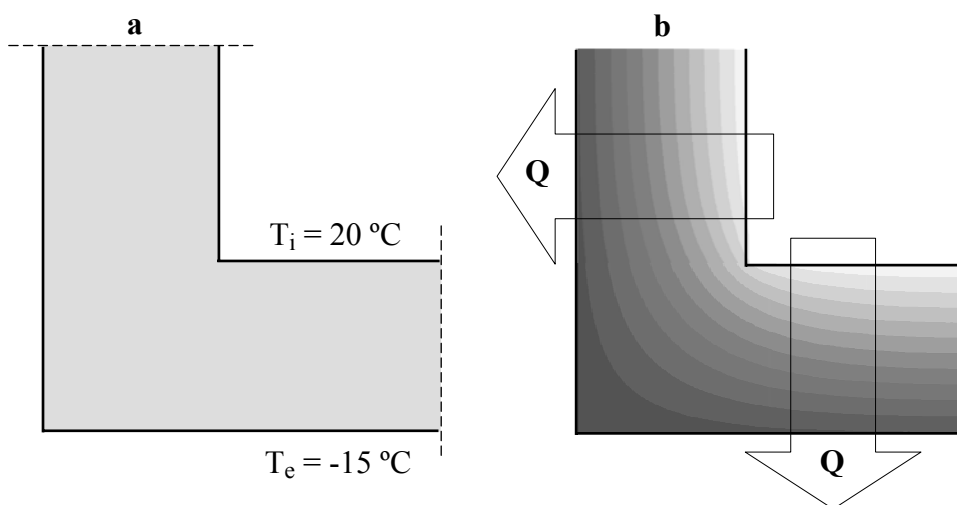


Fig. 5.3. Câmpul termic bidirecțional (plan) la colțul unui perete exterior
a. perete exterior omogen; **b.** harta temperaturilor
 (temperatura scade de la nuanțele deschise spre cele închise)

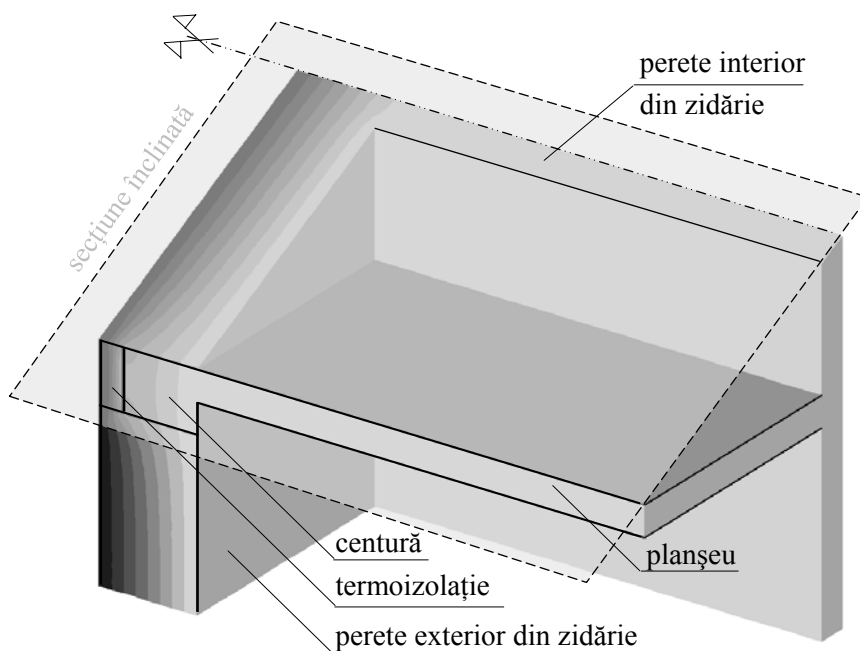


Fig. 5.4. Câmpul termic spațial pe grosimea unui perete exterior din zidărie
 (temperatura scade de la nuanțele deschise spre cele închise)

c. Linie izotermă – este locul geometric al punctelor de egală temperatură, dintr-un câmp termic plan (Fig. 5.5). Deoarece un punct al unui corp nu poate avea simultan două valori diferite ale temperaturii, rezultă că liniile izoterme sunt continue și nu se intersectează între ele.

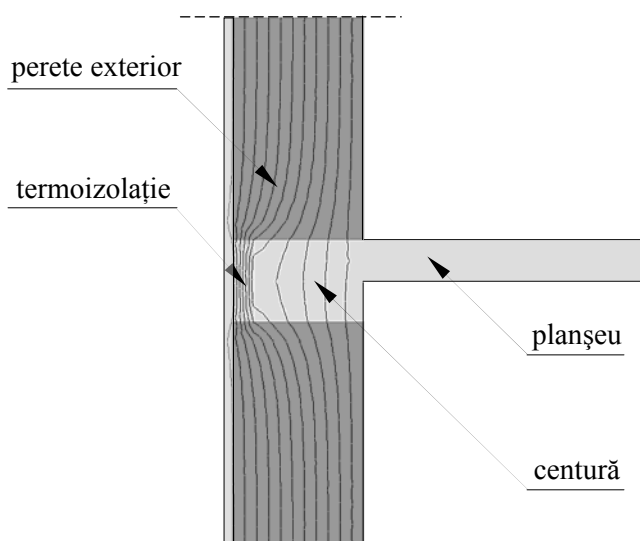


Fig. 5.5. Linii izoterme la intersecția unui perete exterior din zidărie cu planșeul

d. Suprafață izotermă – este locul geometric al punctelor dintr-un câmp termic spațial, ce se caracterizează prin aceeași valoare a temperaturii (Fig. 5.6). Suprafețele izoterme sunt continue și nu se intersectează între ele, din același motiv ca în cazul liniilor izoterme. Suprafețele izoterme pot fi plane sau curbe.

e. Gradient de temperatură – este o măsură a variației temperaturii pe o anumită direcție din spațiul (domeniul) analizat. Mai riguros, gradientul de temperatură reprezintă limita raportului între diferența de temperatură ΔT și

distanța Δx dintre două puncte, când $\Delta x \rightarrow 0$ (din punct de vedere matematic este derivata temperaturii în raport cu spațiul):

$$\text{grad } T = \lim_{\Delta x \rightarrow 0} \frac{\Delta T}{\Delta x} = \frac{dT}{dx}$$

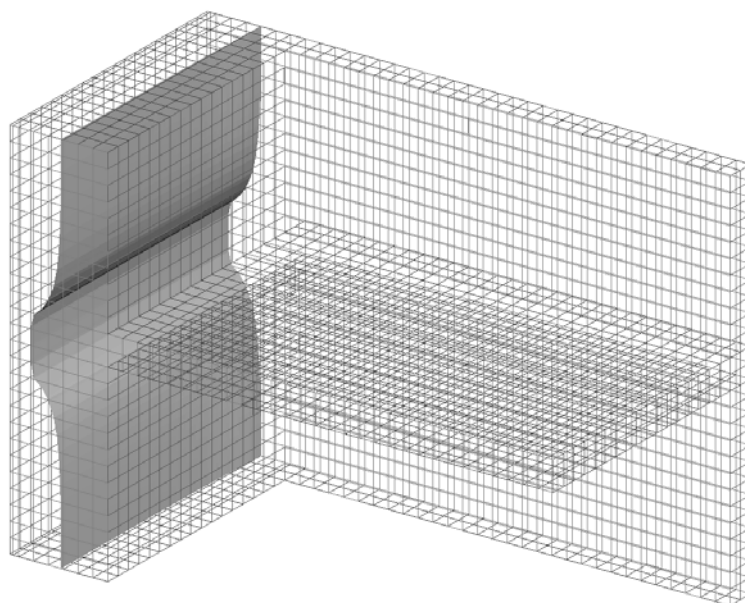


Fig. 5.6. Suprafață izotermă într-un perete exterior din zidărie, la intersecția cu planșeul (curbura spre exterior se datorează izolației termice suplimentare din dreptul centurii)

f. Cantitatea de căldură (Q) – reprezintă o cantitate de energie și în SI se măsoară în Joule (J). Se pot folosi și alte unități de măsură, cum ar fi Wh sau caloria (cal).

g. Fluxul termic sau debitul de căldură (Φ) – este cantitatea de căldură ce străbate o suprafață în unitatea de timp. Din punct de vedere matematic

reprezintă derivata cantității de căldură Q în raport cu timpul τ , și se măsoară în J/h sau, mai uzual, în W:

$$\Phi = \frac{dQ}{d\tau}$$

h. Densitatea fluxului termic sau fluxul termic unitar (q) – reprezintă cantitatea de căldură care străbate unitatea de suprafață în unitatea de timp (Fig. 5.7). Fluxul unitar este o mărime vectorială, având direcția normală la suprafețele sau liniile izoterme și se măsoară în W/m^2 .

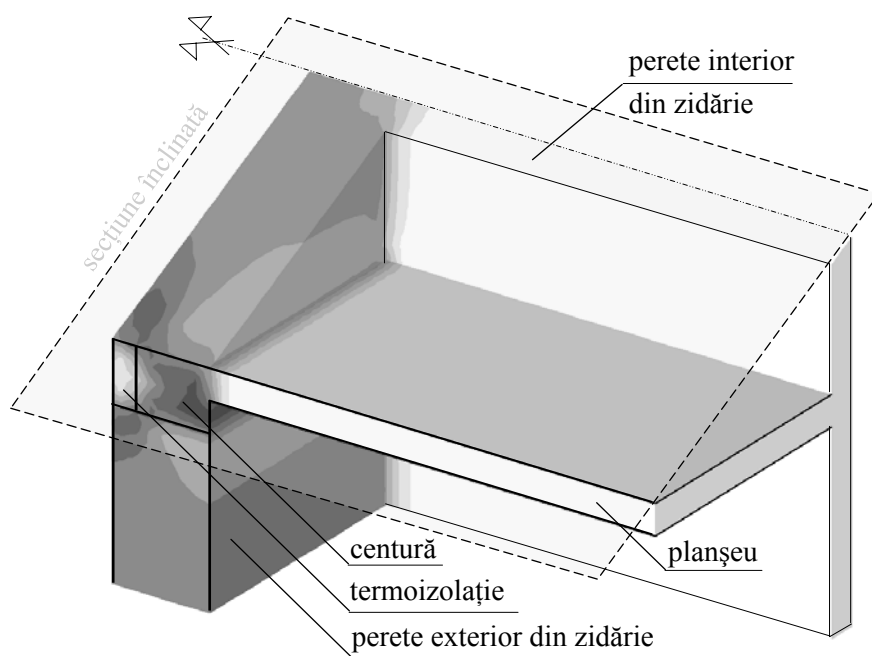


Fig. 5.7. Harta fluxului termic unitar pe grosimea unui perete exterior din zidărie (nuanțele închise corespund valorilor mari ale fluxului)

5.2.2. Transferul căldurii prin conducție

5.2.2.1. Mecanismul fenomenului

La corpurile solide nemetalice (dielectrice), conducția termică se realizează prin vibrația termică a rețelei cristaline.

La corpuri solide metalice și semiconductoare, conducția termică se realizează prin transferul de energie datorită vibrației termice a rețelei cristaline și, pe de altă parte, cu ajutorul electronilor liberi (de valență). Contribuția electronilor liberi este de 10...30 de ori mai mare decât contribuția vibrației rețelei.

La corpurile lichide și gazoase, conducție termică apare sub forma a două procese: ciocnirile elastice din aproape în aproape între molecule sau atomi, poziția reciprocă a acestora rămânând însă aceeași în spațiu, și deplasarea electronilor liberi. În cazul particular al metalelor lichide și electroliților, contribuția ultimului proces este de 10...1000 ori mai mare decât la lichidele nemetalice. Gazele, având o distribuție haotică a moleculelor, cu legături intermoleculare slabe și distanțe mari între molecule, realizează cel mai redus transfer de căldură prin conducție.

La materialele poroase, des întâlnite în construcții, conducția termică nu mai apare în stare pură deoarece fluidele (aer, apă etc.) existente în capilare și pori pot efectua mișcări în cazul unor dimensiuni corespunzătoare ale porilor. Astfel apare transfer termic prin convecție și chiar prin radiație.

5.2.2.2. Legea lui Fourier

Relația de bază a transferului de căldură prin conducție a fost propusă de Fourier, prin legea care îi poartă numele, în cadrul lucrării *Théorie Analytique de la Chaleur*, publicată în 1822.



Fig. 5.8. Baronul Jean Baptiste Joseph Fourier (1768–1830)

Fiind dat un element de construcție omogen, de exemplu un perete exterior (Fig. 5.9), cantitatea de căldură transmisă în regim staționar și unidirecțional (perpendicular pe element), pe baza ecuației lui Fourier, se poate estima cu relația:

$$Q = \lambda \frac{S \cdot (T_{si} - T_{se}) \cdot \tau}{d} \quad (5.1)$$

unde: Q – cantitatea de căldură transmisă prin conducție (J sau Wh);

λ – coeficientul de conductivitate termică (W/m°C);

S – aria suprafeței elementului prin care se face transferul termic conductiv, perpendiculară pe direcția de propagare a căldurii (m²);

T_{si} , T_{se} – temperaturile suprafeței interioare, respectiv exterioare a elementului (°C sau K);

τ – timpul (h);

d – grosimea elementului (m).

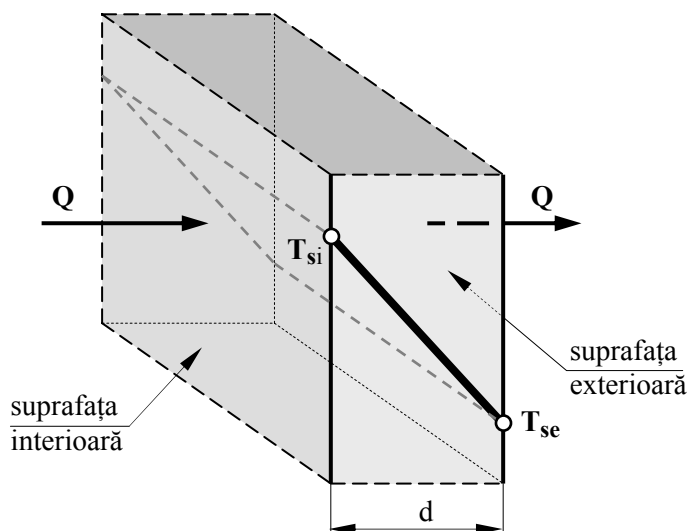


Fig. 5.9. Conducția termică în regim staționar, printr-un perete omogen.
 Variația temperaturii pe grosimea peretelui

Dacă în relația (5.1) se impune $S = 1 \text{ m}^2$, $T_{si} - T_{se} = 1 \text{ }^\circ\text{C}$, $\tau = 1 \text{ h}$, $d = 1 \text{ m}$, atunci rezultă: $\lambda = Q$. În acest mod se poate defini coeficientul de conductivitate termică ca fiind mărimea numeric egală cu cantitatea de căldură ce trece printr-un element cu suprafața de 1 m^2 , grosimea de 1 m , timp de o oră și pentru o diferență de temperatură dintre cele două suprafețe de $1 \text{ }^\circ\text{C}$ sau 1 K .

Cu ajutorul relației lui Fourier se poate stabili atât modul de variație al temperaturii pe grosimea unui element, cât și expresia temperaturii într-un punct oarecare (în regim termic unidirecțional și staționar). Pentru aceasta, în cadrul peretelui omogen din Fig. 5.9 se consideră un strat de grosime infinit mică „ dx ” în care temperatura variază cu o cantitate „ dT ” (Fig. 5.10).

Expresia fluxului termic unitar (densității de flux), se poate obține prin împărțirea relației (5.1) la aria S și la timpul τ , obținându-se relația (5.2).

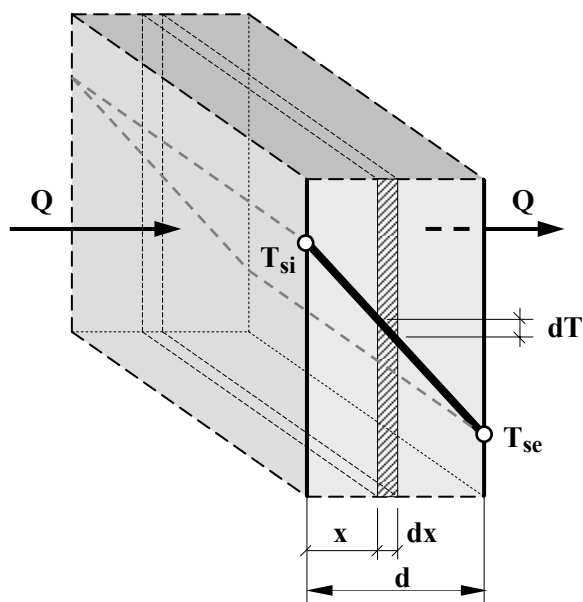


Fig. 5.10. Transmisia căldurii prin conducție la un perete omogen

$$q = -\lambda \frac{dT}{dx} \quad (5.2)$$

unde: $\frac{dT}{dx}$ – gradientul de temperatură ($^{\circ}\text{C}/\text{m}$).

Semnul „-” din relația (5.2) indică faptul că fluxul termic are sens contrar creșterii temperaturii (căldura se transmite de la zonele mai calde spre zonele mai reci, conform principiului al II-lea al termodinamicii).

Pentru determinarea câmpului termic (deci a valorilor temperaturii în orice punct al peretelui) se integrează ecuația diferențială (5.2), pusă sub forma:

$$dT = -\frac{q}{\lambda} dx \quad (5.3)$$

Prin integrare se obține:

$$T = -\frac{q}{\lambda} x + C \quad (5.4)$$

în care: C – constantă de integrare.

Valorile temperaturilor pe suprafața interioară, respectiv exterioară a peretelui, sunt:

$$x = 0 \rightarrow T = T_{si} \quad (5.5a)$$

$$x = d \rightarrow T = T_{se} \quad (5.5b)$$

Înlocuind valorile din condiția (5.5a) în relația (5.4), se determină constanta de integrare C :

$$C = T_{si} \quad (5.6)$$

Cu ajutorul condiției (5.5b) și a relațiilor (5.4) și (5.6) se deduce:

$$T_{se} = -\frac{q}{\lambda} d + T_{si} \quad (5.7)$$

Din ultima relație se explicitază fluxul termic unitar:

$$q = \frac{\lambda}{d} (T_{si} - T_{se}) = \frac{\lambda}{d} \Delta T_s \quad (5.8)$$

Temperatura într-un punct oarecare din perete, situat la distanța „ x ” de suprafața interioară a acestuia (Fig. 5.10) se deduce cu ajutorul relațiilor (5.4), (5.6) și (5.8):

$$T_x = C - \frac{q}{\lambda} x = T_{si} - \frac{\frac{\lambda}{d} \Delta T_s}{\lambda} x = T_{si} - \frac{\Delta T_s}{d} x \quad (5.9)$$

Relația (5.9) este o funcție de gradul I de variabilă „ x ” (geometric reprezintă ecuația unei drepte), prin care se pun în evidență două aspecte importante:

- în cazul unui element omogen temperatura variază liniar pe grosimea acestuia, în ipoteza regimului (câmpului) termic unidirecțional și staționar;
- la o distanță oarecare „ x ” de suprafața elementului (Fig. 5.10) valoarea temperaturii este constantă în orice punct; cu alte cuvinte, într-un plan oarecare, paralel cu suprafețele elementului, temperatura este constantă. Acest lucru reiese și din reprezentarea câmpului de temperaturi a peretelui (Fig. 5.11).

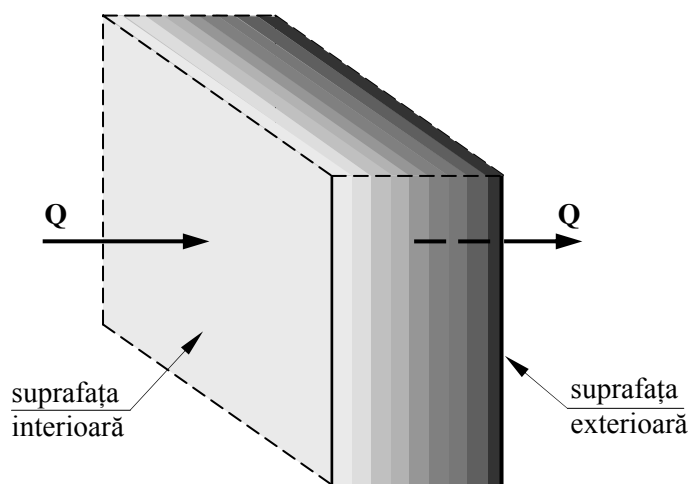


Fig. 5.11. Câmpul termic unidirecțional la un perete omogen

5.2.2.3. Coeficientul de conductivitate termică

Majoritatea materialelor de construcție, cu excepția celor compacte (metale, sticlă etc.), au o structură capilar-poroasă, alcătuită din cavități și schelet rigid, ce poate lega apa sub diferite forme, la presiuni mai mici decât cele de

saturație din afara corpurilor. De asemeni, aerul și apa migrează prin rețeaua de capilare și pori. În consecință, căldura se transmite concomitent sub mai multe forme:

- conducție în scheletul solid și în amestecul aer – apă din cavități;
- convecție locală a aerului și apei datorită diferențelor de temperatură între fețele opuse ale pereților cavității;
- schimburi repetate de fază (evaporări, condensări) în cavități.

În aceste condiții este deosebit de dificilă evaluarea cantitativă a acestor fenomene pe baza unor relații simple. Ca urmare, aprecierea coeficientului de conductivitate termică, în așa fel încât să reflecte complexitatea proceselor de transfer termic, nu se poate efectua decât experimental, determinându-se un coeficient echivalent, ce depinde de o multitudine de factori:

$$\lambda_{\text{echiv}} = f(T, U, \text{grad } T, \text{grad } U, d, \dots) \quad (5.10)$$

unde: T – temperatura absolută (K);

U – umiditatea materialului (%);

$\text{grad } T, \text{grad } U$ – gradientii de temperatură și de umiditate ($^{\circ}\text{C}/\text{m}$);

d – grosimea materialului (m).

Coeficientul de conductivitate termică λ (sau, mai scurt, conductivitatea termică) reprezintă o caracteristică termofizică de bază a fiecărui material și depinde, în cazul general, de natura și starea materialului, de temperatură și de presiune. Pentru materialele de construcție curent folosite, acest coeficient are valori cuprinse între 0,04...3,0 W/m $^{\circ}\text{C}$ (cu excepția metalelor).

În Tabelul 5.1 sunt redate valorile coeficientului de conductivitate termică pentru câteva materiale de construcții des întâlnite.

Tabel 5.1. Coeficientul de conductivitate termică

Nr. crt.	Material	λ (W/m°C)
1	Polistiren expandat	0.044
2	Vată minerală	0,042 ... 0,05
3	Zidărie din b.c.a.	0,25...0,34
4	Zidărie din cărămizi cu goluri verticale	0,46...0,75
5	Zidărie din cărămizi pline	0,8
6	Lemn	0,17...0,41
7	Beton armat	1,62...2,03
8	Oțel	58,0
9	Aluminiu	220,0

Conductivitatea termică variază direct proporțional cu densitatea materialului. Din acest motiv materialele ușoare (polistirenul, vata minerală) au un coeficient λ mai mic și deci proprietăți de izolare termică mai bune. De asemeni, coeficientul de conductivitate variază direct proporțional cu umiditatea (deoarece conductivitatea apei este considerabil mai mare – de cca. 20 de ori – decât cea a aerului), deci un material va avea proprietăți izolatoare mai bune cu cât va fi mai uscat.

5.2.3. Transmisia căldurii prin convecție

5.2.3.1. Mecanismul fenomenului

Transferul de căldură prin convecție, de exemplu de la suprafața mai caldă a unui element de încălzire (Fig. 5.12) la un fluid (aer) mai rece, are loc în câteva etape.

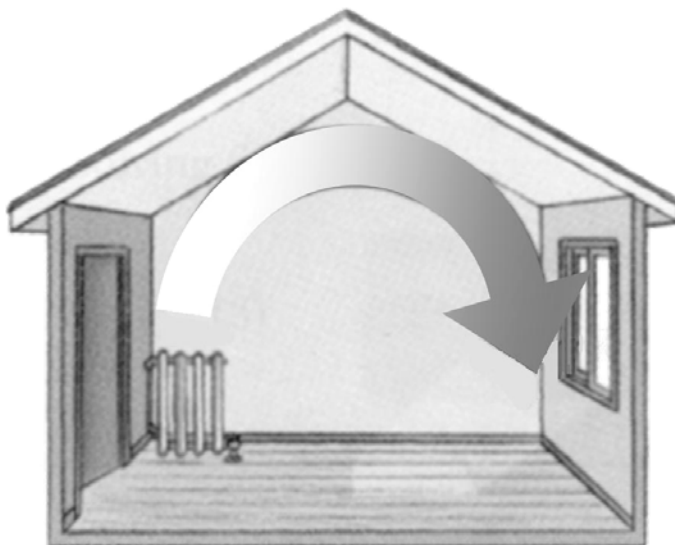


Fig. 5.12. Transferul căldurii prin convecție

Inițial, căldura trece prin conducție termică de la suprafața elementului la particulele de aer adiacente acestuia, ceea ce are ca efect ridicarea temperaturii (și energiei interne) a acestor particule; acest proces se desfășoară în stratul subțire de fluid de lângă suprafața elementului, denumit strat limită. În continuare, datorită încălzirii, aerul se dilată, își micșorează densitatea și, devenind mai ușor, tinde să se ridice spre zonele superioare, formând un curent ascendent (curent convectiv). Locul acestui fluid este luat de fluidul mai rece din restul spațiului. Cu alte cuvinte, particulele cu

energie mai mare se deplasează către zone de fluid cu temperaturi mai scăzute, unde, prin amestec cu alte particule, transmit o parte din energia lor. Dacă temperatura radiatorului ar fi constantă în timp și nu s-ar produce pierderi de căldură, acest proces ar continua până la egalizarea temperaturii aerului interior cu cea a elementului de încălzire. În vecinătatea elementelor de închidere cu temperatură scăzută (pereți exteriori, geamuri) sensul transferului termic se inversează, formându-se curenți convectivi descendenți (Fig. 5.12).

Convecția este astfel un transfer de energie, masă și impuls. Energia este înmagazinată în particulele de fluid și este transportată ca rezultat al mișcării acestora. Factorii care influențează convecția căldurii, determinând caracterul complex al acesteia, sunt: câmpul de temperatură din solid și din fluid în vecinătatea suprafeței de contact, natura fluidului (densitate, căldură masică, vâscozitate, coeficient de conductivitate termică etc.), structura geometrică a sistemului în care fluidul se mișcă, natura și modul de prelucrare al suprafețelor solidului etc.

Funcție de cauza mișcării, convecția se clasifică în convecție liberă sau naturală (mișcarea de amestec este rezultatul diferențelor de densitate produse de gradientii de temperatură), și convecție forțată (mișcarea de amestec este rezultatul unor cauze externe care produc diferențe de presiune, ca de exemplu un ventilator).

5.2.3.2. Legea lui Newton

Calculul fluxului termic transmis prin convecție nu se poate efectua cu ajutorul legii lui Fourier, datorită imposibilității cunoașterii complete a stratului limită și a gradientului termic pe suprafața de contact dintre perete

și fluid. Rezolvarea acestor dificultăți, pentru calculele practice, se face cu ajutorul legii lui Newton, care permite determinarea cantității de căldură și a fluxului termic schimbat prin convecție între un solid și un fluid.

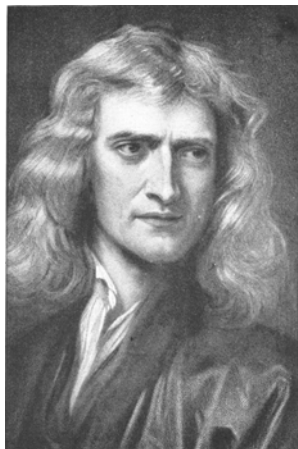


Fig. 5.13. Sir Isaac Newton (1642–1727)

Fiind dat un element, de exemplu un perete exterior, cantitatea de căldură primită (Q_c) sau cedată (Q'_c) prin convecție se determină cu relația lui Newton astfel:

$$Q_c = \alpha_c \cdot S \cdot (T_i - T_{si}) \cdot \tau \quad (5.11a)$$

$$Q'_c = \alpha'_c \cdot S \cdot (T_{se} - T_e) \cdot \tau \quad (5.11b)$$

unde: T_i, T_e – temperatura aerului interior, respectiv exterior ($^{\circ}\text{C}$);
 T_{si}, T_{se} – temperatura suprafeței interioare, respectiv exterioare a peretelui ($^{\circ}\text{C}$);
 α_c, α'_c – coeficientul de transfer termic prin convecție, la suprafața interioară, respectiv exterioară a peretelui ($\text{W}/\text{m}^2\text{^{\circ}C}$);
 S – suprafața prin care are loc transferul termic (m^2);
 τ – timpul (h).

Coeficientul de transfer de suprafață α se definește, asemănător cu coeficientul de conductivitate termică λ , ca fiind mărimea numeric egală cu cantitatea de căldură primită sau cedată într-o oră, printr-o suprafață de 1 m^2 , când diferența de temperatură dintre perete și fluid este de 1°C .

5.2.3.3. Coeficientul de transfer termic de suprafață

Definirea cantitativă a transferului de căldură prin convecție cu ajutorul legii lui Newton face ca în coeficientul de convecție α_c să se reflecte majoritatea factorilor de care depinde procesul convectiv: tipul mișcării, regimul de curgere, proprietățile fizice ale fluidului, forma și orientarea suprafeței de schimb de căldură. În felul acesta α_c devine o funcție complexă, cu multe variabile și greu de determinat, de forma:

$$\alpha_c = f(\ell, v, T_p, T_f, \lambda, c_p, \rho, \nu, \dots) \quad (5.12)$$

unde: ℓ – lungimea caracteristică a curgerii (m);

v – viteza de curgere (m/s);

T_p, T_f – temperatura peretelui, respectiv a fluidului ($^\circ\text{C}$ sau K);

λ – coeficientul de conductivitate termică al fluidului ($\text{W}/\text{m}^\circ\text{C}$);

c_p – căldura specifică a fluidului la presiune constantă ($\text{J}/\text{Kg}^\circ\text{C}$);

ρ – densitatea fluidului (Kg/m^3);

ν – vâscozitatea cinematică a fluidului (m^2/s).

Determinarea coeficientului de transfer termic prin convecție se poate face prin patru metode principale:

- determinări experimentale combinate cu analiza dimensională;
- soluțiile matematice exacte ale ecuațiilor stratului limită;

- analiza aproximativă a stratului limită prin metode integrale;
- analogia dintre transferul de căldură, masă și impuls.

Toate aceste metode își aduc contribuția la înțelegerea transferului de căldură convectiv. Cu toate acestea, nici una din metode nu poate rezolva singură toate problemele schimbului de căldură prin convecție, deoarece fiecare procedeu are anumite limitări care restrâng utilizarea sa practică.

5.2.4. Transmisia căldurii prin radiație

5.2.4.1. Mecanismul fenomenului

Radiația este un fenomen de transport al energiei, care are drept suport undele electromagnetice. Radiația se propagă și prin vid, deci poate să apară ca mod elementar de transfer termic independent de conducție și convecție. Toate corpurile emit și absorb radiații în proporții diferite și pe lungimi de undă caracteristice. Macroscopic, fenomenele radiante respectă principiile termodinamicii clasice.

La interacțiunea radiațiilor cu un mediu material se evidențiază efectul lor termic. Din punct de vedere energetic radiațiile se comportă la fel, diferențele apărând la lungimea de undă și la efectele pe care le au asupra mediului ambiant.

Energia radiațiilor provine din energia internă a corpurilor și diferă de la un tip de radiație la altul. Cea mai mare cantitate de energie o transportă radiațiile infraroșii. Efecte nocive asupra organismelor vii au radiațiile cosmice, gama și Röntgen. În doze mari și celelalte radiații sunt periculoase, deoarece pot provoca arsuri.

Toate corpurile cu o temperatură diferită de zero absolut emit continuu energie sub formă de radiații. Radiațiile au un dublu caracter: ondulatoriu și corpuscular. Energia și impulsul sunt concentrate în fotoni, iar probabilitatea ca aceștia să se găsească într-un anumit loc din spațiu este definită prin noțiunea de undă.

Mecanismul de transformare a energiei termice în energie radiantă, pe baza interpretării lui Planck, se poate prezenta astfel: în urma unui șoc (dintre molecule, atomi, electroni liberi) în interiorul unui corp, electronii unui atom sunt scoși temporar din starea de echilibru și trec de la un nivel de energie la altul (de pe o orbită pe alta). La revenirea în poziția inițială (la nivelul de energie inițial), care reprezintă o stare de stabilitate mai mare, energia termică primită în urma șocului se eliberează sub forma undelor electromagnetice care sunt emise în spațiu. Acest fenomen are loc prin transferul energiei termice sub formă de unde electromagnetice și apare între două sau mai multe corpuri ce prezintă diferențe mari de temperatură.

5.2.4.2. Relația lui Stefan–Boltzmann

Cantitatea de căldură transmisă de un corp prin radiație Q_r , conform relației lui Stefan–Boltzmann, este dată de expresia:

$$Q_r = c_r \cdot S \cdot \left(\frac{T}{100} \right)^4 \tau \quad (5.13)$$

unde: c_r – coeficientul de radiație (W/m^2K^4);

S – aria suprafeței exterioare a corpului radiant (m^2);

T – temperatura absolută (K);

τ – timpul (h).



Fig. 5.14. Josef Stefan (1835–1893)



Fig. 5.15. Ludwig Boltzmann (1844–1906)

Coeficientul de radiație c_r reprezintă, din punct de vedere numeric, cantitatea de căldură radiată de 1 m^2 din suprafața unui material, într-o oră, la o temperatură a suprafeței radiante de 100 K .

Cantitatea de căldură transmisă prin radiație de la aerul interior la suprafața interioară a unui perete poate fi determinată cu relația:

$$Q_r = c_r \cdot S \cdot \left[\left(\frac{T_i}{100} \right)^4 - \left(\frac{T_{si}}{100} \right)^4 \right] \cdot \tau \quad (5.14)$$

unde T_i , T_{si} reprezintă temperatura aerului interior, respectiv temperatura suprafeței interioare a peretelui (K).

În mod analog, cantitatea de căldură transmisă prin radiație de la suprafața exterioară a unui perete la aerul exterior se poate exprima cu relația:

$$Q'_r = c'_r \cdot S \cdot \left[\left(\frac{T_{se}}{100} \right)^4 - \left(\frac{T_e}{100} \right)^4 \right] \cdot \tau \quad (5.15)$$

În relația (5.15) T_{se} , T_e reprezintă temperatura suprafeței exterioare a peretelui, respectiv temperatura aerului exterior (K).

Din punct de vedere al calculului practic este mai convenabil să se exprime cantitatea de căldură sub forma unei expresii care să conțină temperatura la puterea I-a. Acest lucru se poate obține printr-un artificiu matematic, înlocuind coeficienții de radiație c_r cu coeficienți echivalenți de radiație α_r , astfel:

$$Q_r = c_r \cdot S \cdot \left[\left(\frac{T_i}{100} \right)^4 - \left(\frac{T_{si}}{100} \right)^4 \right] \cdot \tau = \alpha_r \cdot S \cdot (T_i - T_{si}) \cdot \tau \quad (5.16a)$$

$$Q'_r = c'_r \cdot S \cdot \left[\left(\frac{T_{se}}{100} \right)^4 - \left(\frac{T_e}{100} \right)^4 \right] \cdot \tau = \alpha'_r \cdot S \cdot (T_{se} - T_e) \cdot \tau \quad (5.16b)$$

în care:

$$\alpha_r = \frac{c_r \cdot \left[\left(\frac{T_i}{100} \right)^4 - \left(\frac{T_{si}}{100} \right)^4 \right]}{T_i - T_{si}}; \quad \alpha'_r = \frac{c'_r \cdot \left[\left(\frac{T_{se}}{100} \right)^4 - \left(\frac{T_e}{100} \right)^4 \right]}{T_{se} - T_e} \quad (5.17)$$

5.2.5. Noțiunea de rezistență termică unidirecțională

Prin rezistență termică se înțelege capacitatea unui element de construcție de a se opune propagării căldurii, deci de a diminua fluxul termic ce-l traversează.

Câmpul termic și câmpul electric sunt fenomene analoge. Aceasta înseamnă că cele două tipuri de fenomene respectă ecuații cu forme similare și au condiții la limită similare. Ecuațiile care descriu comportarea unui sistem termic pot fi transformate în ecuațiile caracteristice unui sistem electric, și invers, prin simpla schimbare a variabilelor.

Astfel, legea lui Ohm, care exprimă în electrotehnică legătura între intensitatea I a curentului, diferența de tensiune ΔU și rezistența electrică R_e , are o formă analogă în transferul de căldură prin relația dintre fluxul termic unitar q , diferența de temperatură ΔT și o mărime denumită rezistență termică (unidirecțională) R , conform relațiilor:

$$I = \frac{\Delta U}{R_e} \text{ (câmpul electric)} \Leftrightarrow q = \frac{\Delta T}{R} \text{ (câmpul termic)} \quad (5.18)$$

În consecință, relația de calcul pentru rezistența termică a unui element este, prin definiție:

$$\boxed{R = \frac{\Delta T}{q}} \quad (\text{m}^2 \text{ } ^\circ\text{C/W}) \quad (5.19)$$

unde: q – fluxul termic unitar ce străbate elementul (W/m^2);

ΔT – diferența de temperatură (căderea totală a temperaturii) între cele două medii (aerul exterior și interior) care mărginesc elementul respectiv ($^\circ\text{C}$).

Prin aplicarea relației (5.19) în cazul celor trei moduri fundamentale de transfer a căldurii, se obțin expresiile particularizate ale rezistenței termice în cazul conducției, convecției și radiației.

În cazul transferului termic unidirecțional prin conducție, rezistența termică a unui element omogen, de grosime „ d ”, va fi:

$$R = \frac{\Delta T}{q} = \frac{\Delta T}{\frac{\lambda}{d} \Delta T} = \frac{d}{\lambda} \quad (5.20)$$

În ceea ce privește transmisia termică prin convecție și radiație, trebuie observat că, la nivelul calculului, cele două forme de transfer se pot cumula.

Astfel, fluxul termic unitar total dintre un element de construcție și un fluid va fi egal cu suma fluxurilor unitare prin convecție și prin radiație:

$$\begin{aligned} q &= q_c + q_r = \alpha_c (T_s - T_f) + \alpha_r (T_s - T_f) = \\ &= (\alpha_c + \alpha_r)(T_s - T_f) = \alpha \cdot \Delta T \end{aligned} \quad (5.21)$$

unde: q – fluxul unitar total (datorită convecției și radiației) dintre element și fluid (W/m^2);

q_c – fluxul unitar transmis prin convecție (W/m^2);

q_r – fluxul unitar transmis prin radiație (W/m^2);

α_c – coeficientul de transfer termic superficial, prin convecție ($\text{W/m}^2\text{ }^\circ\text{C}$);

α_r – coeficientul de transfer termic superficial, prin radiație ($\text{W/m}^2\text{ }^\circ\text{C}$);

α – coeficientul de transfer termic superficial (total): $\alpha = \alpha_c + \alpha_r$
($\text{W/m}^2\text{ }^\circ\text{C}$);

T_s, T_f – temperatura la suprafața solidului, respectiv în fluid ($^\circ\text{C}$).

Ca urmare, rezistența termică superficială, datorită schimbului de căldură prin convecție și radiație între fluid și element, este:

$$R_s = \frac{\Delta T}{q} = \frac{\Delta T}{\alpha \cdot \Delta T} = \frac{1}{\alpha} \quad (5.22)$$

Aplicând ultima relație pentru suprafața interioară, respectiv exterioară a unui element, se obține:

$$R_i = \frac{1}{\alpha_i}; \quad R_e = \frac{1}{\alpha_e} \quad (5.23)$$

unde: R_i – rezistența termică superficială la suprafața interioară a elementului ($\text{m}^2\text{ }^\circ\text{C/W}$);

R_e – idem, la suprafața exterioară a elementului ($\text{m}^2\text{ }^\circ\text{C/W}$);

α_i – coeficientul de transfer termic superficial la suprafața interioară
($\text{W}/\text{m}^2\text{°C}$);

α_e – idem, la suprafața exterioară ($\text{W}/\text{m}^2\text{°C}$).

5.2.6. Transmisia căldurii prin conducție la structuri în mai multe straturi paralele

Fie un element de construcție exterior (de exemplu un perete), alcătuit din mai multe straturi de grosimi d_1, d_2, d_3, \dots și având conductivitățile termice $\lambda_1, \lambda_2, \lambda_3, \dots$ (Fig. 5.16).

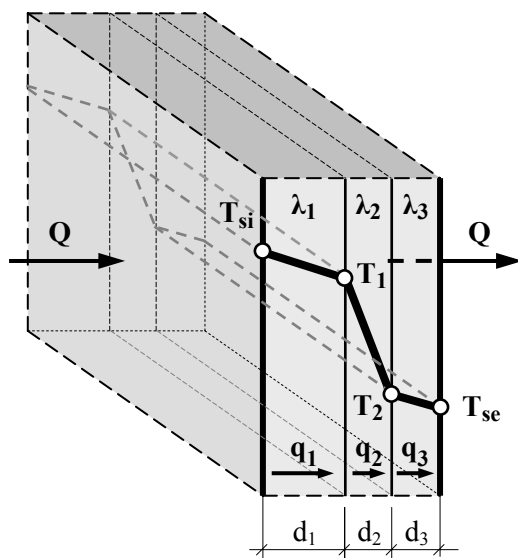


Fig. 5.16. Transmisia căldurii prin conducție la structuri în mai multe straturi paralele

Densitățile fluxului termic (fluxurile termice unitare) în cele trei straturi sunt:

$$q_1 = \frac{\lambda_1}{d_1} (T_{si} - T_1); \quad q_2 = \frac{\lambda_2}{d_2} (T_1 - T_2); \quad q_3 = \frac{\lambda_3}{d_3} (T_2 - T_{se}) \quad (5.24)$$

Regimul termic fiind considerat staționar, fluxul termic va fi constant (egal în toate straturile: $q_1 = q_2 = q_3 = q$). Explicând diferențele de temperatură din relațiile (5.24) se poate scrie:

$$T_{si} - T_1 = q \frac{d_1}{\lambda_1}; \quad T_1 - T_2 = q \frac{d_2}{\lambda_2}; \quad T_2 - T_{se} = q \frac{d_3}{\lambda_3} \quad (5.25)$$

Prin adunarea relațiilor (5.25), membru cu membru, se obține diferența totală de temperatură (diferența dintre temperaturile suprafețelor):

$$T_{si} - T_{se} = q \left(\frac{d_1}{\lambda_1} + \frac{d_2}{\lambda_2} + \frac{d_3}{\lambda_3} \right) \quad (5.26)$$

Conform rel. (5.20), rapoartele dintre grosimile straturilor și conductivitățile termice ale acestora reprezintă rezistențele termice unidirecționale ale fiecărui strat. Rezistența termică totală va fi egală cu suma rezistențelor termice ale straturilor componente:

$$\frac{d_1}{\lambda_1} + \frac{d_2}{\lambda_2} + \frac{d_3}{\lambda_3} = R_1 + R_2 + R_3 = R \quad (5.27)$$

Din expresiile (5.26) și (5.27) se poate deduce relația fluxului termic unitar:

$$q = \frac{T_{si} - T_{se}}{\frac{d_1}{\lambda_1} + \frac{d_2}{\lambda_2} + \frac{d_3}{\lambda_3}} = \frac{T_{si} - T_{se}}{R_1 + R_2 + R_3} = \frac{\Delta T_s}{R} \quad (5.28)$$

Temperatura T_1 de la suprafața de contact dintre primele două straturi (Fig. 5.16) se poate calcula pornind de la prima relație (5.25), folosind și relația (5.28):

$$T_1 = T_{si} - q \frac{d_1}{\lambda_1} = T_{si} - q \cdot R_1 = T_{si} - \frac{\Delta T_s}{R} R_1 = T_{si} - \frac{R_1}{R} \Delta T_s \quad (5.29)$$

Temperatura T_2 de la suprafața de contact dintre ultimele două straturi (Fig. 5.16) se poate calcula folosind primele doua relații (5.25) și relația (5.28):

$$\begin{aligned} T_2 = T_1 - q \frac{d_2}{\lambda_2} &= T_{si} - q \frac{d_1}{\lambda_1} - q \frac{d_2}{\lambda_2} = T_{si} - q \left(\frac{d_1}{\lambda_1} + \frac{d_2}{\lambda_2} \right) = \\ &= T_{si} - q(R_1 + R_2) = T_{si} - \frac{\Delta T_s}{R} (R_1 + R_2) = T_{si} - \frac{R_1 + R_2}{R} \Delta T_s \end{aligned} \quad (5.30)$$

Prin generalizarea relației (5.30), temperatura într-un plan vertical situat la distanța "x" de suprafața interioară a peretelui va avea expresia:

$$T_x = T_{si} - q \cdot R_x = T_{si} - \frac{\Delta T_s}{R} R_x = T_{si} - \frac{R_x}{R} \Delta T_s \quad (5.31)$$

unde: R_x – rezistența termică a stratului de grosime „x” ($m^2 \cdot ^\circ C / W$).

5.2.7. Transferul global de căldură

În cadrul proceselor de schimb termic căldura se transmite de cele mai multe ori simultan prin două sau prin toate cele trei tipuri de transfer. Numeroase aplicații tehnice presupun, de exemplu, schimbul de căldură între două fluide separate de un perete despărțitor, astfel încât transmisia căldurii se desfășoară prin conducție, convecție și radiație termică.

Fiind dat un perete omogen de grosime „d” (Fig. 5.17), transmisia căldurii de la interior spre exterior se realizează în trei etape:

a) transmisia de la aerul interior cu temperatura T_i , la suprafața interioară cu temperatura T_{si} , prin convecție și radiație; în acest caz, fluxul termic unitar este:

$$q_1 = \alpha_i (T_i - T_{si}) \quad (5.32)$$

b) transmisia în masa (pe grosimea) elementului, prin conducție:

$$q_2 = \frac{\lambda}{d}(T_{si} - T_{se}) \quad (5.33)$$

c) transmisia de la suprafața exterioară cu temperatura T_{se} la aerul exterior cu temperatura T_e , prin convecție și radiație:

$$q_3 = \alpha_e(T_{se} - T_e) \quad (5.34)$$

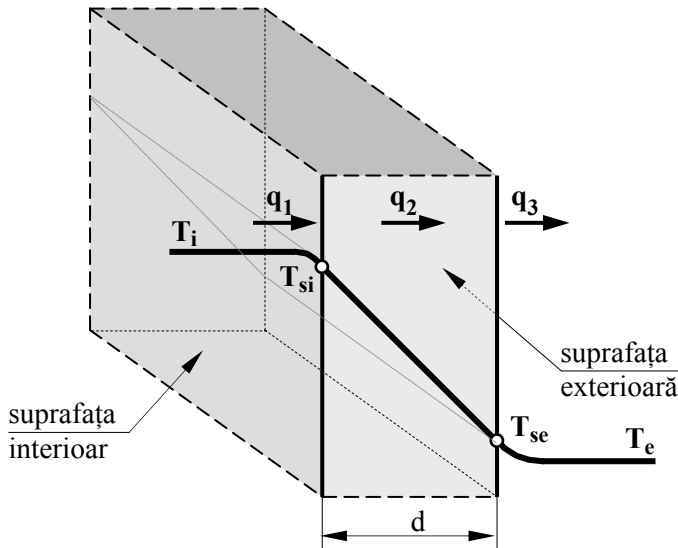


Fig. 5.17. Transmisia globală a căldurii printr-un element omogen

În cazul regimului termic staționar, cele trei fluxuri sunt egale: $q_1 = q_2 = q_3 = q$.

În consecință, relațiile (5.32), (5.33) și (5.34) se pot scrie:

$$T_i - T_{si} = \frac{q}{\alpha_i}; \quad T_{si} - T_{se} = q \frac{d}{\lambda}; \quad T_{se} - T_e = \frac{q}{\alpha_e} \quad (5.35)$$

Prin adunarea celor trei relații (5.35), membru cu membru, se obține:

$$T_i - T_e = q \left(\frac{1}{\alpha_i} + \frac{d}{\lambda} + \frac{1}{\alpha_e} \right) \Rightarrow q = \frac{T_i - T_e}{\frac{1}{\alpha_i} + \frac{d}{\lambda} + \frac{1}{\alpha_e}} = \frac{T_i - T_e}{R_i + R + R_e} = \frac{\Delta T}{R} \quad (5.36)$$

Rezistența termică totală (globală) la transmisia căldurii, printr-un element omogen, va avea deci expresia:

$$R_0 = R_i + R + R_e = \frac{1}{\alpha_i} + \frac{d}{\lambda} + \frac{1}{\alpha_e} \quad (5.37)$$

Prin inversarea rezistenței termice globale se definește coeficientul global de transfer termic, măsurat în $W/m^2 \text{ } ^\circ C$, ce reprezintă cantitatea totală de căldură ce trece printr-un perete cu suprafață de 1 m^2 și grosimea „d”, timp de o oră, la o diferență de temperatură dintre aerul interior și cel exterior de $1^\circ C$ (sau 1 K), în regim termic staționar:

$$U_0 = \frac{1}{R_0} = \frac{1}{R_i + R + R_e} = \frac{1}{\frac{1}{\alpha_i} + \frac{d}{\lambda} + \frac{1}{\alpha_e}} \quad (5.38)$$

În cazul unui element alcătuit din mai multe straturi paralele între ele și perpendiculare pe direcția fluxului termic, expresiile rezistenței termice și a coeficientului de transfer termic vor fi:

$$R_0 = \frac{1}{\alpha_i} + \sum_{j=1}^n \frac{d_j}{\lambda_j} + \frac{1}{\alpha_e} = R_i + \sum_{j=1}^n R_j + R_e \quad (5.39)$$

$$U_0 = \frac{1}{R_0} = \frac{1}{\frac{1}{\alpha_i} + \sum_{j=1}^n \frac{d_j}{\lambda_j} + \frac{1}{\alpha_e}} = \frac{1}{R_i + \sum_{j=1}^n R_j + R_e} \quad (5.40)$$

5.2.8. Transmisia căldurii prin conducție în regim nestaționar

5.2.8.1. Ecuația diferențială a conducției termice

Datorită variațiilor în timp ale temperaturii, atât la exteriorul cât și la interiorul clădirilor, are loc și o variație a temperaturii elementelor de construcții. În această situație avem de-a face cu un regim termic nestaționar (variabil). Fluxul termic, care de această dată este o mărime variabilă, se poate scrie conform relației lui Fourier (în cazul câmpului termic unidirecțional):

$$q = -\lambda \frac{dT}{dx} \quad \Rightarrow \quad \frac{dq}{dx} = -\lambda \frac{d^2T}{dx^2} \quad (5.41)$$

Cantitatea elementară de căldură dq necesară pentru creșterea temperaturii stratului dx cu dT grade, într-un interval de timp $d\tau$ este proporțională cu capacitatea de acumulare termică a stratului și cu variația temperaturii în timp, conform relației:

$$dq = -c_p \cdot \rho \cdot dx \frac{dT}{d\tau} \quad \Rightarrow \quad \frac{dq}{dx} = -c_p \cdot \rho \frac{dT}{d\tau} \quad (5.42)$$

Din expresiile (5.41) și (5.42) rezultă:

$$-\lambda \frac{d^2T}{dx^2} = -c_p \cdot \rho \frac{dT}{d\tau} \quad \Rightarrow \quad \frac{d^2T}{dx^2} = \frac{c_p \cdot \rho}{\lambda} \frac{dT}{d\tau} = \frac{1}{a} \frac{dT}{d\tau} \quad (5.43)$$

unde: c_p – căldura specifică a materialului din care este alcătuit elementul (cantitatea de căldură necesară pentru a ridica temperatura unui kilogram de material cu un grad) (J/Kg °C);

ρ – densitatea materialului (Kg/m³);

a – coeficientul de difuzivitate termică, egal prin definiție cu raportul $\lambda/c_p\rho$ (m²/s).

În concluzie, pentru regimul termic nestaționar unidirecțional, ecuația diferențială a câmpului termic va fi:

$$\frac{d^2T}{dx^2} = \frac{1}{a} \frac{dT}{d\tau} \quad (5.44)$$

În cazul câmpurilor termice plane, respectiv spațiale, ecuația (5.44) devine:

$$\frac{\partial^2 T}{\partial x^2} + \frac{\partial^2 T}{\partial y^2} = \frac{1}{a} \frac{\partial T}{\partial \tau} \quad (5.45a)$$

$$\frac{\partial^2 T}{\partial x^2} + \frac{\partial^2 T}{\partial y^2} + \frac{\partial^2 T}{\partial z^2} = \frac{1}{a} \frac{\partial T}{\partial \tau} \quad (5.45b)$$

Pentru cazul general al elementelor neomogene și anizotrope, în regim termic nestaționar spațial, cu surse termice interioare, ecuația căldurii are forma:

$$\boxed{\frac{\partial}{\partial x} \left(\lambda(x, y, z, \tau) \frac{\partial T}{\partial x} \right) + \frac{\partial}{\partial y} \left(\lambda(x, y, z, \tau) \frac{\partial T}{\partial y} \right) + \frac{\partial}{\partial z} \left(\lambda(x, y, z, \tau) \frac{\partial T}{\partial z} \right) + \sum_i q_i(x, y, z, \tau) = \frac{\partial}{\partial \tau} [c(x, y, z, \tau) \cdot \rho(x, y, z, \tau) \cdot T(x, y, z, \tau)]} \quad (5.46)$$

unde: $q(x, y, z, \tau)$ – fluxul termic unitar al surselor interne de căldură (W/m²).

5.2.8.2. Mărimi caracteristice privind regimul termic variabil

a. Noțiunea de asimilare termică

În cazul regimului termic nestaționar este importantă proprietatea materialelor de a absorbi și ceda căldura, ca urmare a variațiilor periodice ale fluxului termic.

Prin cercetări experimentale s-a demonstrat că fluxul termic are o variație apropiată de o sinusoidă, cu perioada P de o zi, o lună, un an etc. (Fig. 5.18).

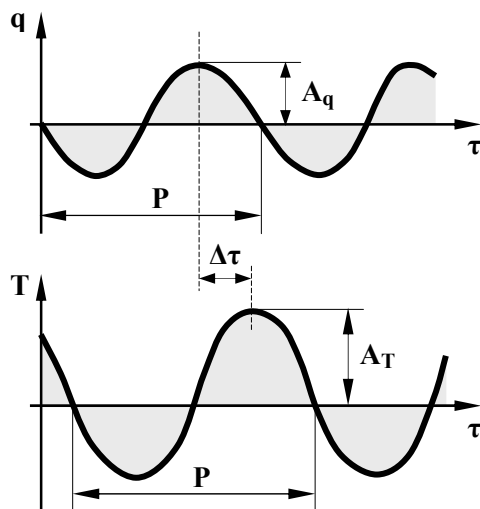


Fig. 5.18. Variațiile sinusoidale ale fluxului termic și ale temperaturii

Sub acțiunea variației fluxului termic unitar q are loc o variație a temperaturii T a elementului de construcție. Din punct de vedere matematic, asimilarea căldurii de către materiale este exprimată prin raportul între amplitudinea A_q a fluxului și amplitudinea A_T a temperaturii:

$$s = \frac{A_q}{A_T} = \frac{q_{\max} - q_{\text{med}}}{T_{\max} - T_{\text{med}}} \quad (5.47)$$

unde: s – coeficient de asimilare termica ($\text{W}/\text{m}^2\text{ }^\circ\text{C}$);

q_{\max}, q_{med} – fluxul unitar maxim, respectiv mediu (W/m^2);

T_{\max}, T_{med} – temperatura maximă, respectiv medie ($^{\circ}\text{C}$).

Coeficientul s depinde de conductivitatea termică a materialului λ , de căldura specifică c_p , de densitatea aparentă ρ , de perioada P și practic se poate calcula cu o relație de forma:

$$s = \sqrt{\frac{2\pi}{P} \lambda c_p \rho} \quad (5.48)$$

b. Indicele de inerție termică

Pentru aprecierea capacității de acumulare și cedare a căldurii de către un element s-a introdus o mărime denumită indicele de inerție termică (D), ce se determină cu ajutorul relațiilor (notațiile fiind cele cunoscute):

- elemente omogene: $D = R \cdot s$ (5.49)

- elemente în straturi: $D = \sum_k R_k \cdot s_k$ (5.50)

Funcție de valoarea indicelui de inerție, elementele de construcții cu rol de izolare termică se pot clasifica în:

- elemente cu masivitate mică: $D \leq 4$;
- elemente cu masivitate mijlocie: $4 < D \leq 7$;
- elemente cu masivitate mare: $D > 7$.

c. Coeficientul de amortizare termică

Prin coeficient de amortizare a amplitudinii oscilațiilor temperaturii aerului exterior, notat cu v , se înțelege raportul dintre amplitudinea variației

temperaturii aerului exterior (A_{Te}) și amplitudinea variației temperaturii suprafeței interioare a elementului (A_{Tsi}):

$$v = \frac{A_{Te}}{A_{Tsi}} \quad (5.51)$$

Practic, coeficientul de amortizare reflectă capacitatea unui element de a atenua variațiile de temperatură ale aerului exterior (Fig. 5.19) în vederea realizării unor condiții bune de confort termic în încăperi. Acest indice trebuie luat în considerare atât în condiții de vară, cât și în condiții de iarnă.

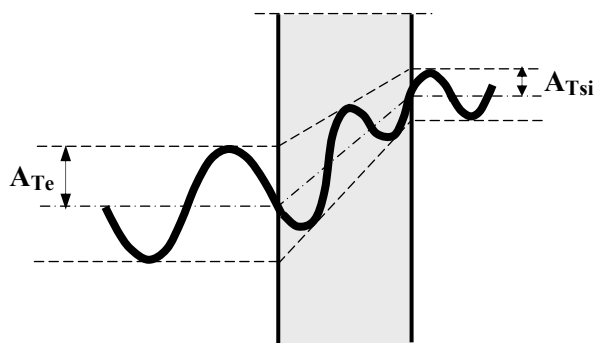


Fig. 5.19. Amortizarea oscilațiilor termice

În cadrul Normativului C 107/7–02 este descrisă o metodologie practică de calcul a coeficientului de amortizare termică, bazată pe rezolvarea analitică a ecuației diferențiale a căldurii în regim nestăionar unidirecțional (valabilă pentru câmpul curent al elementelor). Metoda este grevată de o serie de ipoteze simplificatoare, motiv pentru care precizia rezultatelor obținute lasă de dorit.

O posibilitate mult mai precisă de calcul este modelarea cu ajutorul unui program capabil să rezolve probleme de câmp termic în regim variabil.

O serie de studii efectuate la pereți din panouri mari prefabricate au arătat că valorile obținute pentru coeficientul de amortizare prin modelare numerică, în raport cu cele determinate cu relațiile din Normativul C 107/7-02 (ambele în regim unidirecțional), au fost mai mici cu cca. 30...40%. În plus, valorile obținute prin modelare numerică în zonele punților termice indică valori mai mici de cca. 4...5 ori față de cele obținute prin modelare în câmp curent, și de cca. 6 ori mai mici în raport cu valorile calculate cf. C 107/7-02.

d. Coeficientul de defazare termică

Reprezintă capacitatea elementelor de construcții de a întârzia oscilațiile temperaturii aerului exterior. În perioada sezonului cald temperatura exterioară crește la valori maxime în jumătatea a doua a zilei. O defazare termică corespunzătoare va face ca valul de căldură datorat temperaturilor ridicate să poată fi întârziat, astfel încât să ajungă în interiorul clădirii pe timpul nopții, când temperatura aerului exterior scade și se poate utiliza aerisirea prin deschiderea geamurilor. Întârzierea unei termice trebuie să fie, conform normativelor în vigoare, de minim 8 ore la pereții exteriori și la planșeele situate sub poduri, și de minim 10 ore la planșeele acoperișurilor terasă, întrucât suportă o perioadă de însorire mai mare.

Metodologie de calcul a coeficientului de defazare termică este descrisă în cadrul Normativului C 107/7-02, fiind bazată pe rezolvarea analitică a ecuației diferențiale a căldurii în regim nestăionar unidirecțional.

Teste efectuate asupra comportării termice a unor panouri mari au relevat că valorile coeficientului de defazare, calculate cf. Normativului C 107/7-02, sunt cu cca. 6% mai mari decât cele obținute prin modelarea numerică a câmpului termic unidirecțional, dar cu cca. 40% mai mari decât valoarea medie din zona punților termice, rezultată prin modelarea numerică a

câmpului termic plan. Pentru alte cazuri studiate, coeficientul de defazare calculat cf. Normativului C 107/7–02 a rezultat cu cca. 30% mai mic decât cel obținut prin modelare numerică în regim unidirecțional.

5.2.9. Condiții de unicitate

Relațiile matematice care guvernează fenomenele de transfer termic nu pot fi utilizate în rezolvarea practică a unui caz sau altul deoarece, din punct de vedere matematic, conduc la o infinitate de soluții ce diferă între ele prin una sau mai multe constante de integrare. Din acest motiv, pentru fiecare situație se atașează o serie de condiții ce definesc particularitățile cazului respectiv, numite condiții de unicitate sau condiții la limită.

Condițiile de unicitate sunt numeroase și de diverse tipuri, cele mai importante dintre ele fiind descrise în continuare.

a) Condiții geometrice, care definesc forma geometrică și dimensiunile elementului (domeniului) în care se desfășoară procesul de transfer de căldură (perete, planșeu etc.).

b) Condiții inițiale, care stabilesc valorile temperaturii în interiorul elementului la momentul inițial $\tau = 0$. În cazul general această condiție poate fi exprimată analitic sub forma $T_0 = f(x, y, z)$ la timpul $\tau = 0$. Cazul cel mai simplu îl constituie distribuția uniformă de temperatură $T = T_0 = \text{const.}$

c) Condiții de contur (de frontieră), care definesc legăturile elementului cu mediul ambiant, din punct de vedere termic (Fig. 5.20):

- condițiile de primul tip (de speța I-a, sau condiții Dirichlet) se referă la cunoașterea valorilor temperaturii pe suprafața corpului (sau pe o anumită zonă din suprafață), în fiecare moment τ :

$$T_s = f(x, y, z, \tau) - \text{cunoscute} \quad (5.52)$$

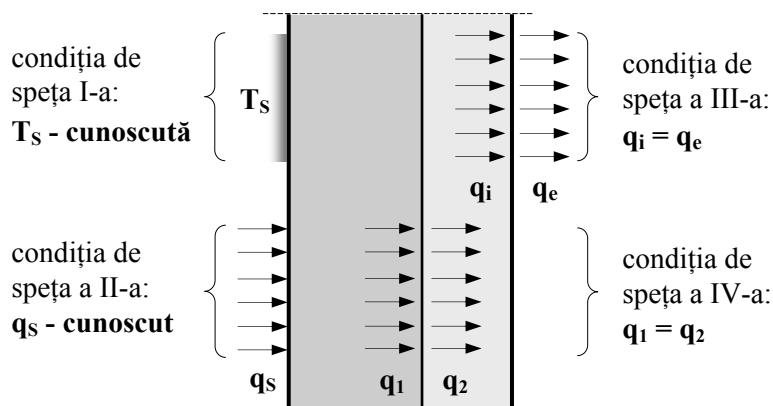


Fig. 5.20. Condiții de contur la un perete bistrat

- condițiile de al doilea tip (de speța a II-a, sau condiții Neumann) definesc valorile fluxului termic unitar la suprafața corpului (sau pe o parte din suprafață), pentru orice τ :

$$q_s = f(x, y, z, \tau) - \text{cunoscute} \quad (5.53)$$

- condițiile de al treilea tip (de speța a III-a, sau condiții Fourier) implică cunoașterea temperaturii mediului ambiant, în particular a aerului din interiorul și din exteriorul unei clădiri, și legea după care se desfășoară transferul de căldură între suprafața unui element și mediul înconjurător. Dacă se consideră o arie egală cu unitatea pe suprafața elementului atunci, potrivit legii conservării energiei, cantitatea de căldură transferată prin conducție prin element, care traversează aria unitară, este egală cu cantitatea de căldură preluată prin convecție și radiație de către fluidul din vecinătatea elementului, de pe aceeași arie unitară, adică:

$$-\lambda \frac{dT}{dx} = \alpha (T_s - T_f) \quad (5.54)$$

unde: λ – coeficientul de conductivitate termică (W/m°C);

$\frac{dT}{dx}$ – gradientul de temperatură ($^{\circ}\text{C}/\text{m}$);

α – coeficientul de transfer termic superficial ($\text{W}/\text{m}^2\text{^{\circ}C}$);

T_s – temperatura la suprafața corpului ($^{\circ}\text{C}$);

T_f – temperatura fluidului ($^{\circ}\text{C}$).

Membrul stâng al relației (5.54) reprezintă fluxul termic unitar q_i (Fig. 5.20) ce iese din element, transmis prin conducție (conform relației lui Fourier), iar membrul drept fluxul termic unitar q_e (Fig. 5.20) ce se propagă în continuare prin convecție și radiație în fluidul ce mărginește corpul (conform relației lui Newton), ecuația exprimând egalitatea acestor fluxuri conform principiului conservării energiei.

- condițiile de al patrulea tip (de speța a IV-a) definesc procesul de conducție la frontiera comună dintre două zone ale elementului, cu caracteristici fizice (termice) diferite. În acest caz, dacă se consideră contactul perfect, se poate scrie egalitatea dintre fluxul unitar q_1 (Fig. 5.20) ce iese din prima zonă cu fluxul unitar q_2 (Fig. 5.20) ce intră în cea de a doua zonă, conform relației:

$$\lambda_1 \left(\frac{dT}{dx} \right)_1 = \lambda_2 \left(\frac{dT}{dx} \right)_2 \quad (5.55)$$

unde: λ_1, λ_2 – coeficienții de conductivitate termică ai celor două zone (straturi) vecine ($\text{W}/\text{m}^{\circ}\text{C}$);

$\frac{dT}{dx}$ – gradientul de temperatură la suprafața de contact, pentru fiecare zonă ($^{\circ}\text{C}/\text{m}$).

5.2.10. Rezolvarea numerică a problemelor de câmp termic

5.2.10.1. Generalități

Din deceniul al șaselea al secolului trecut, în domeniul cercetării științifice a început să se contureze o nouă tendință, aceea de a folosi un anumit tip de metode aproximative, denumite metode sau tehnici numerice. Așa au apărut metoda diferențelor finite (FDM), metoda elementelor finite (FEM), metoda elementelor de frontieră (BEM) etc.

În esență, toate metodele numerice transformă ecuația diferențială sau sistemul de ecuații diferențiale ce caracterizează un anumit fenomen (ecuații de ordin superior, ce nu pot fi în general rezolvate prin mijloace directe, analitice) într-un sistem liniar de ecuații algebrice ușor de soluționat. În cazul modelării câmpului termic ecuația diferențială cu care se lucrează este ecuația căldurii (rel. 5.46), pusă sub o formă sau alta funcție de tipul câmpului termic studiat, considerată împreună cu condițiile de unicitate corespunzătoare (pct. 5.2.9). Ecuația diferențială împreună cu condițiile la limită aferente poartă numele de problemă la limită.

Practic, toate metodele numerice se bazează pe un proces numit „discretizare”, ce constă în „fragmentarea” (divizarea, descompunerea) obiectului modelat și pe determinarea valorilor necunoscute (temperaturi, fluxuri unitare) în nodurile și elementele rețelei de discretizare.

Deși aproximative, aceste modalități de calcul converg cu suficientă rapiditate spre soluția exactă, astfel încât, dacă se respectă anumite condiții minime de rigoare, rezultatele obținute sunt de bună calitate.

5.2.10.2. Metoda diferențelor finite

Constă în înlocuirea derivatelor funcției de temperatură din cadrul ecuației căldurii (rel. 5.46) cu diferențe de temperaturi, care definesc în mod aproximativ funcția căutată prin valorile sale în diferite puncte.

Practic, domeniul de definiție al funcției se înlocuiește cu un sistem discret, respectiv cu un ansamblu de puncte. În acest scop domeniul (zona) din cadrul elementului analizat se acoperă cu o rețea ortogonală de linii, la intersecțiile cărora se consideră punctele de discretizare, numite noduri (Fig. 5.21).

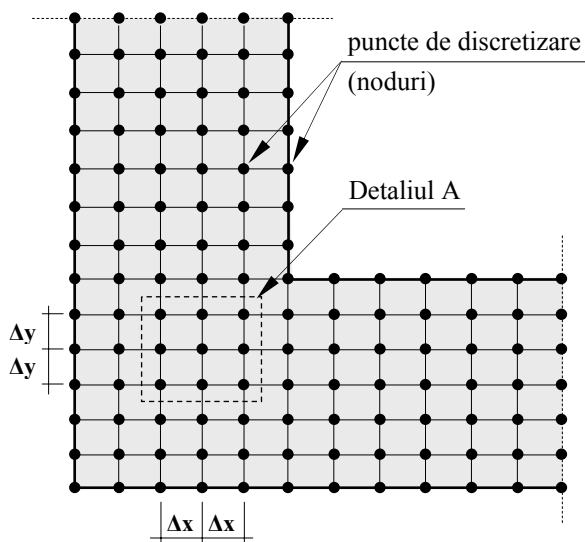


Fig. 5.21. Discretizarea colțului unui perete exterior

Aplicând ecuația căldurii transcrisă în diferențe finite pentru fiecare din cele „n” noduri ale rețelei adoptate, rezultă un sistem de „n” ecuații algebrice cu „n” necunoscute, care reprezintă temperaturile din punctele respective; rezolvarea sistemului conduce la cunoașterea câmpului termic, pe baza căruia se pot stabili în continuare toate caracteristicile termofizice ale elementului pe porțiunea considerată.

Cu cât rețeaua adoptată este mai fină, cu un număr mai mare de noduri, precizia cu care se obțin rezultatele va fi mai ridicată, deci câmpul termic va fi mai riguros caracterizat.

În cazul elementelor fără surse interioare de căldură, ecuația caracteristică a căldurii pentru câmpul termic plan staționar se poate scrie, conform rel. (5.46):

$$\frac{\partial}{\partial x} \left(\lambda(x, y) \frac{\partial T}{\partial x} \right) + \frac{\partial}{\partial y} \left(\lambda(x, y) \frac{\partial T}{\partial y} \right) = 0 \quad (5.56)$$

În cazul elementelor omogen și izotrope, expresia (5.56) devine:

$$\lambda \frac{\partial^2 T}{\partial x^2} + \lambda \frac{\partial^2 T}{\partial y^2} = 0 \quad (5.57)$$

Prin transpunerea ecuației (5.57) în diferențe finite, se poate scrie:

$$\lambda \frac{\Delta_x^2 T}{\Delta x^2} + \lambda \frac{\Delta_y^2 T}{\Delta y^2} = 0 \quad \Rightarrow \quad \frac{\Delta_x^2 T}{\Delta x^2} + \frac{\Delta_y^2 T}{\Delta y^2} = 0 \quad (5.58)$$

care exprimă faptul că în regim termic staționar fluxul de căldură este constant, deci variația fluxului termic pe domeniu este nulă.

Pentru o rețea ortogonală (Fig. 5.21, 5.22), se poate scrie:

$$\begin{aligned} \Delta_x^2 T &= (\Delta_x T)_1 - (\Delta_x T)_2 = \\ &= (T_{x+\Delta x, y} - T_{x, y}) - (T_{x, y} - T_{x-\Delta x, y}) = \\ &= T_{x+\Delta x, y} - 2T_{x, y} + T_{x-\Delta x, y} = T_1 - 2T_0 + T_2 \end{aligned} \quad (5.59)$$

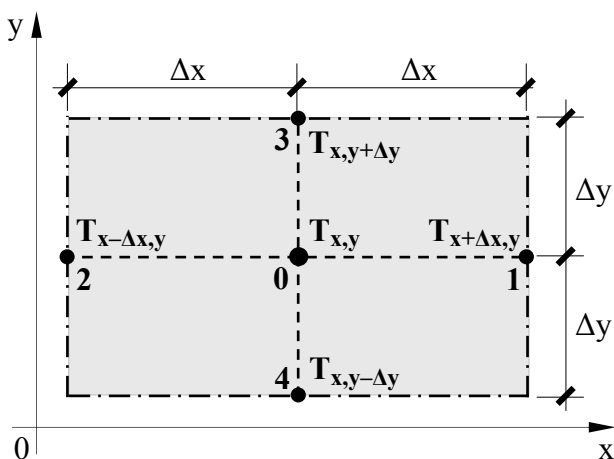


Fig. 5.22. Rețea de calcul ortogonală pentru aplicarea metodei diferențelor finite (detaliul A din Fig. 5.21)

În consecință, termenii ecuației (5.58) se pot scrie:

$$\frac{\Delta_x^2 T}{\Delta x^2} = \frac{T_1 - 2T_0 + T_2}{\Delta x^2}; \quad \frac{\Delta_y^2 T}{\Delta y^2} = \frac{T_3 - 2T_0 + T_4}{\Delta y^2} \quad (5.60)$$

Prin înlocuirea termenilor din relațiile (5.60) în expresia (5.58) și rezolvarea în raport cu temperatura în nodul 0 (T_0), rezultă:

$$T_0 = \frac{(T_1 + T_2) \cdot \Delta y^2 + (T_3 + T_4) \cdot \Delta x^2}{2(\Delta x^2 + \Delta y^2)} \quad (5.61)$$

Dacă rețeaua are ochiuri pătrate ($\Delta x = \Delta y$), relația (5.61) devine:

$$T_0 = \frac{1}{4} (T_1 + T_2 + T_3 + T_4) \quad (5.62)$$

ceea ce înseamnă că temperatura într-un punct al rețelei unui domeniu omogen este egală cu media aritmetică a temperaturilor punctelor vecine.

Dacă expresia (5.62) se scrie pentru fiecare nod al rețelei adoptate, rezultă sistemul de ecuații algebrice în care necunoscutele sunt temperaturile nodurilor.

La adoptarea rețelei de calcul se recomandă următoarele:

- rețeaua, de preferință ortogonală, să fie cât mai apropiată de alcătuirea interioară a elementului neomogen;
- rețeaua de calcul să se extindă cu un pas în afara elementului, respectiv în aerul exterior și interior, pentru a se putea utiliza condițiile la limită;
- unele axe ale rețelei să coincidă cu limitele elementului, ale straturilor componente și ale punții termice.

Rezolvarea sistemului de ecuații care rezultă se face prin:

a. Calcul automat, cu ajutorul programelor pentru sisteme cu număr mare de ecuații, bazate pe diferite metode matematice.

Programele de calcul pentru rezolvarea problemelor de câmp sunt astfel întocmite încât pe baza datelor inițiale de intrare (parametrii mediului, alcătuirea elementului în zona analizată, caracteristicile termice ale materialelor, modul de discretizare, gradul de precizie impus etc.), să genereze automat sistemul de ecuații algebrice și să-l rezolve corespunzător condițiilor date, iar pe baza câmpului de temperaturi să determine caracteristicile termofizice ale elementului neomogen și să stabilească îndeplinirea criteriilor de performanță normate, eventual să evalueze pierderile de căldură, să traseze liniile izoterme sau liniile de flux termic etc.

b. Calcul manual, prin metoda aproximațiilor succesive, indicată în cazul unui număr mic de noduri (în general $n < 100$), ce necesită un volum mare de calcule și oferă un grad de precizie mai redus.

Pentru rezolvarea manuală a sistemului de ecuații se procedează astfel:

- se stabilesc valorile inițiale ale temperaturilor din nodurile rețelei, pe baza temperaturilor din câteva secțiuni caracteristice (axul punții, limita zonei de influență, unele secțiuni intermediare), calculate manual considerând transmisia termică unidirecțională, cu relația:

$$T_x = T_i - \frac{R_{i-x}}{R_0}(T_i - T_e) \quad (5.63)$$

Prin interpolare sau prin apreciere se obțin valorile de plecare ale temperaturilor în celelalte noduri;

- valorile inițiale se introduc în ecuațiile sistemului și rezultă un nou șir de temperaturi, care se introduc din nou în ecuații ș.a.m.d.;
- operația se continuă succesiv până când se atinge gradul de precizie dorit, respectiv până când toate temperaturile diferă de cele anterioare cu cel mult ecartul impus (de exemplu $0,1^\circ\text{C}$);
- temperaturile din ultimul șir de valori se folosesc în continuare la stabilirea parametrilor termofizici în zona analizată.

5.2.10.3. Metoda elementelor finite

Domeniul continuu (zona din elementul analizat: perete exterior, planșeu etc.) se descompune într-un număr finit de sub-elemente geometrice, numite elemente finite, cu aceleași proprietăți fizice ca ale corpului în ansamblu (Fig. 5.23). Aceste elemente se consideră interconectate în noduri, unde urmează să se determine soluția problemei, respectiv valorile temperaturilor.

Spre deosebire de metoda diferențelor finite, metoda elementelor finite nu necesită o rețea rectangulară. Elementele finite pot fi liniare (segmente de

dreaptă), plane (triunghiuri sau patrulatere), spațiale (tetraedre, hexaedre etc.), de același tip sau de tipuri diferite în cadrul aceluiași domeniu de analiză (Fig. 5.24).

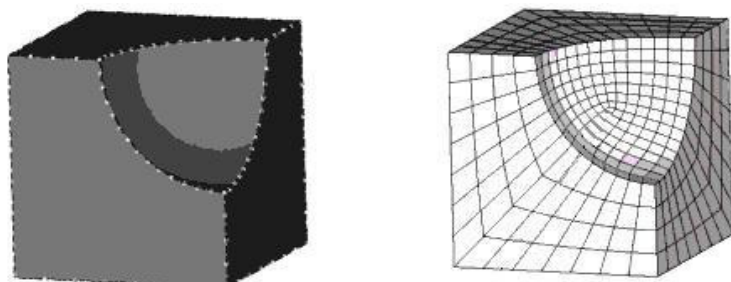


Fig. 5.23. Descompunerea unui domeniu în elemente finite (discretizare)

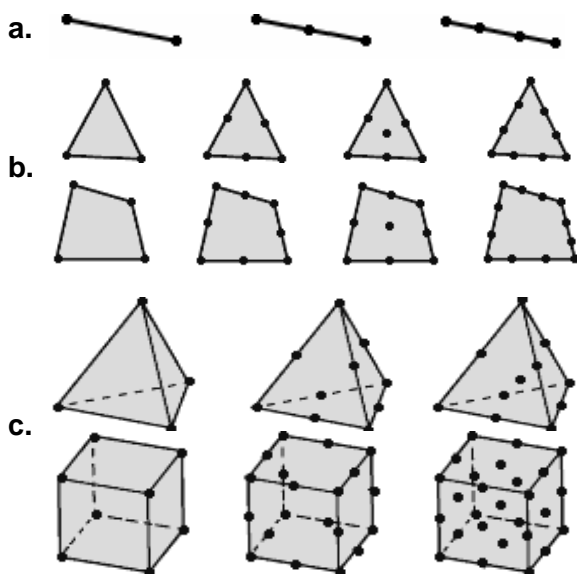


Fig. 5.24. Tipuri de elemente finite și nodurile aferente
a. liniare (unidimensionale); **b.** plane (bidimensionale);
c. spațiale (tridimensionale)

Dimensiunile elementelor finite influențează direct convergența soluției, deci precizia rezultatelor obținute, tendința fiind de a se adopta elemente finite cu dimensiuni cât mai mici, mai cu seamă în zonele cu variații mari ale mărimilor caracteristice ale câmpului. Ca și în cazul metodei diferențelor finite, nodurile se poziționează ținând seama de discontinuitățile fizice și geometrice ale elementului.

Dezvoltarea informaticii și a tehnicii de calcul din ultimii ani a permis realizarea unor programe perfecționate de generare automată sau semiautomată a rețelei de discretizare cu elemente finite și de rezolvare a sistemului de ecuații.

Principial, în cadrul metodei elementelor finite, se parcurg următoarele etape:

- introducerea datelor de intrare: mărimile geometrice și fizice ale domeniului studiat, condițiile la limită etc.;
- discretizarea domeniului (elementului) analizat;
- generarea ecuațiilor caracteristice pe elemente (ecuații elementale);
- asamblarea elementelor finite, respectiv a ecuațiilor, într-un sistem general, obținându-se astfel modelul numeric global;
- rezolvarea sistemului de ecuații, ce conduce la valorile temperaturilor în nodurile rețelei de discretizare;
- calculul unor mărimi derivate: fluxul termic, fluxul termic unitar, rezistența termică etc.

5.2.10.4. Programe de calcul

O dată cu apariția și dezvoltarea pe scară largă a microprocesoarelor și în continuare a calculatoarelor personale și a stațiilor de lucru ingineresti (după 1980), metodele numerice au cunoscut o amploare deosebită. În special metoda elementelor finite a suscitat în mare măsură interesul specialiștilor, datorită avantajelor sale bine cunoscute. Pe baza acestui model matematic au fost concepute programe performante, printre care NASTRAN, ANSYS, ABAQUS, COSMOS etc.

Toate aceste programe dispun de module de calcul extrem de puternice și de facilități deosebite de pre și post procesare.

a. Programul RDM

RDM este un program francez, scris de Yves Debard, de la Institutul Universitar de Tehnologie din Le Mans. Programul rulează în mediul Windows și, cu toate că nu se încadrează în categoria programelor profesionale, are meritul de a fi bine organizat, ușor de învățat și suficient de precis.

Cu acest program pot fi efectuate următoarele tipuri de analiză:

- analiza statică a grinzilor drepte solicitate la încovoiere plană;
- analiza elastică a stării plane de tensiuni și deformații;
- calculul plăcilor la încovoiere;
- analiza câmpului termic plan.

În ceea ce privește analiza termică, pot fi studiate domenii plane cu diverse forme geometrice, omogene sau neomogene, cu sau fără izvoare de căldură, în regim termic staționar, cu condiții la limită de speța I, II, III și IV.

Preprocesarea

Acest proces constă în definirea geometriei domeniului analizat. Pot fi utilizate puncte, drepte, segmente de dreaptă, cercuri și arce de cerc. Practic, deși gama elementelor geometrice nu este prea largă, poate fi generată (sau aproximată suficient de exact) forma oricărui domeniu curent întâlnit în practica de proiectare.

Discretizarea

Pentru discretizare pot fi utilizate:

- elemente finite plane cu 3 laturi (triunghiuri) și 3 sau 6 noduri;
- elemente finite plane cu patru laturi (patrulatere oarecare) și 4, 8 sau 9 noduri.

Discretizarea poate fi complet automată (tip Delaunay), cu utilizarea elementelor triunghiulare, sau semiautomată (pe blocuri), cu elemente triunghiulare și/sau patrulatere. După discretizare, elementele finite pot fi verificate din punct de vedere al distorsiunilor (patrulatere prea alungite, triunghiuri cu un unghi apropiat de 180° etc.) și pot fi luate măsuri de corectare, prin repetarea procesului de discretizare cu alte opțiuni.

Postprocesarea

După efectuarea analizei termice, se obțin următoarele rezultate:

- valorile temperaturilor în fiecare nod;
- valorile fluxurilor termice unitare în fiecare nod.

Pentru o mai bună înțelegere și interpretare, rezultatele pot fi puse sub diverse forme grafice:

- linii de egală temperatură (izoterme);

- linii de fluxuri unitare egale;
- hărți de temperaturi și de fluxuri unitare (prin colorarea diferită a zonelor dintre liniile de egală valoare);
- variația temperaturilor sau fluxurilor unitare în secțiuni alese de utilizator;
- variația temperaturilor sau fluxurilor unitare pe frontierele domeniului.

Valorile mărimilor calculate pot fi salvate în fișiere text, pentru întregul domeniu sau pentru anumite zone. Aceste valori pot fi apoi preluate într-un program de calcul tabelar, cum este EXCEL, și utilizate pentru determinarea rapidă a coeficientului liniar de transfer termic ψ și în final a rezistenței termice corectate R' (pct. 5.2.11). Coeficientul χ nu poate fi determinat cu programul RDM, întrucât acesta nu rezolvă probleme de câmp termic spațial.

b. Programul NASTRAN

Programul NASTRAN (NASA STRUCTURAL ANALYSIS) este proprietate a firmei „MSC Software Corporation” din Los Angeles, SUA. Programul pune la dispoziția utilizatorului un cadru de lucru foarte unitar și bine integrat în mediul WINDOWS. Toate fazele necesare unei analize, indiferent de tipul acesteia, se efectuează în același loc, cu aceeași structură de meniuri, cu comenzi comune de vizualizare pentru pre și post-procesare. Procesele de generare a geometriei domeniului și de generare a elementelor finite sunt separate, ceea ce creează posibilitatea unui mod de lucru ordonat, de tip ierarhizat, și multe alte facilități ce vor fi descrise în continuare.

Preprocesarea

Această fază presupune, principal, două etape:

- crearea geometriei;
- „îmbrăcarea” geometriei cu elemente finite (procesul de discretizare).

Modelarea geometriei, asemănătoare în principiu cu modul de lucru în AUTOCAD, include generarea de puncte, linii, curbe de diferite tipuri (inclusiv curbe spline), suprafețe dintre cele mai diverse (plane, conice, obținute prin translare de curbe etc.), volume simple (paralelipipedice, sferice, cilindrice) sau complexe (obținute prin combinarea volumelor simple și/sau cu ajutorul unor suprafețe de frontieră).

Operațiile de discretizare sunt mult ușurate de posibilitățile numeroase și foarte variate de generare automată sau semiautomată a rețelei, cu pași constanți sau variabili, atât pentru domeniile 2D cât și pentru cele 3D. Discretizarea se poate efectua direct, prin generarea elementelor finite fără utilizarea geometriei, dar acest procedeu nu se recomandă decât în cazul problemelor simple sau la corectarea unor zone de dimensiuni reduse. În mod uzual se utilizează elementele geometrice drept punct de pornire și suport pentru rețeaua de discretizare.

După generare, există posibilitatea unor prime verificări a elementelor finite, din punct de vedere al distorsiunilor apărute:

- verificarea raportului dintre lungimile laturilor adiacente ale elementului;
- verificarea raportului dintre lungimile laturilor opuse ale elementului;
- verificarea deviației unghiurilor în raport cu unghiul drept, la elemente 2D cu 4 laturi;
- verificarea deviației unghiurilor în raport cu unghiul de 60° , la elemente 2D cu 3 laturi;

- verificarea planeității elementelor 2D;
- verificarea tetraedrelor pleoștite (cu înălțime redusă).

Opțional, pentru elementele distorsionate, poate fi instituită o stare de „carantină”, în sensul că acestea sunt introduse într-un grup separat, unde pot fi vizualizate și manipulate independent de elementele finite „sănătoase”.

La finalul acestor operații se pot utiliza numeroasele opțiuni de corectare a rețelei prin îndesire, rărire, uniformizare, transformări de elemente, re-discretizare în zone controlate de utilizator etc.

Numărul de elemente sau noduri ale rețelei nu este limitat de program, ci doar de memoria sistemului pe care se lucrează.

Analiza cu elemente finite

Pot fi efectuate următoarele tipuri de analiză: analiză statică, analiză statică pentru optimizarea greutateii proprii a unei structuri, analiză dinamică modală (valori și vectori proprii), analiză spectrală, analiză dinamică tip „time history”, analiză neliniară de pierdere a stabilității (flambaj), analiză neliniară (calcul în domeniul plastic, calcul în stadiul de curgere etc.), curgeri de fluide, analiză termică în regim staționar și nestaționar, combinații ale acestora (de exemplu analiză termo-elastică).

În privința calculului termic pot fi analizate: conducția 1D, 2D sau 3D; convecția liberă sau forțată; radiația în spații închise sau deschise. Se pot impune condiții la limită de orice tip, constante sau variabile în spațiu și/sau timp. De asemenea, pot fi utilizate materiale cu coeficientul λ variabil (funcție de temperatură sau umiditate). Domeniile modelate pot conține surse termice punctuale, liniare, de suprafață sau de volum, constante sau variabile în timp.

Modelele analizate pot fi omogene sau neomogene, compuse dintr-o diversitate de tipuri de materiale solide (izotrope, ortotrope 2D sau 3D, anizotrope 2D sau 3D, hiperelastice etc.) sau fluide (gaze, lichide). Pot fi utilizate de asemenea materiale cu proprietăți termo-optice speciale (în spectru infraroșu sau vizibil) sau materiale ce suferă schimbări de fază.

Este de remarcat tendința de a introduce soluții matematice moderne în diversele tipuri de analiză, așa cum este de exemplu metoda Lanczos în analiza modală.

Postprocesarea

Pot fi vizualizate hărțile de deplasări, deformații, tensiuni, eforturi, temperaturi, viteze etc. De asemenea, se pot afișa diagramele de eforturi pentru elemente liniare (bare), starea de tensiuni sub formă vectorială, direcțiile tensiunilor principale, hărți ale diferitelor mărimi în secțiuni mobile, linii sau suprafețe de egală valoare pentru deplasări, tensiuni, temperaturi, flux termic etc.

Valorile acestor mărimi pot fi listate în diverse formate, prestabilite sau definite de utilizator, în fișiere text, pentru întregul domeniu sau pentru porțiuni ale acestuia.

Pot fi combinate rezultatele din diverse cazuri de încărcare, fiecare caz fiind afectat de un coeficient propriu, controlat de utilizator.

În plus, se poate evalua precizia analizei, în raport cu fiecare tip de rezultat (de exemplu fluxul termic), pe baza a 6 criterii posibile: diferența dintre valorile extreme în nodurile unui element, diferența dintre valorile extreme în nodurile unui element și cea medie, diferențe normalizate (raportate la valoarea maximă la nivelul întregului model) etc.

Nu în ultimul rând, este de remarcat paleta extrem de bogată a mesajelor pe care programul le generează la sfârșitul unei rulări. Acestea sunt împărțite în trei categorii:

- mesaje de informare, folosite în mod uzual pentru a înștiința utilizatorul asupra anumitor operații executate de program;
- mesaje de atenționare, atunci când sunt depistate anumite „stângăcii” în modelare (de exemplu sunt semnalate elementele cu distorsiuni mai mari decât cele admisibile); acestea nu sunt considerate erori grave, deși în anumite cazuri pot vicia în mare măsură rezultatele, iar rularea programului nu este stopată;
- mesaje de eroare fatală, care apar în cazul depistării unor greșeli sau omisiuni majore în datele de intrare (de exemplu nu sunt definite condițiile la limită în cadrul modelării unui câmp termic); în aceste cazuri rularea este întreruptă.

Setul complex de verificări ce pot fi efectuate înainte și după rulare, precum și numeroasele mesaje finale, diminuează în mod semnificativ probabilitatea unor erori de modelare și fac din NASTRAN un program în care cu greu se poate greși.

5.2.10.5. Exemplu de calcul

Pentru ilustrarea rezultatelor ce pot fi obținute prin modelarea numerică a câmpului termic, este prezentat în continuare un fragment dintr-o expertiză privind comportarea termică a unui bloc de locuințe cu structura din panouri mari prefabricate din beton (Fig. 5.25), executat în 1975.



Fig. 5.25. Bloc de locuințe din panouri mari prefabricate

În cadrul expertizei au fost modelate toate detaliile constructive ale elementelor cu rol de izolare termică: pereții exteriori, planșeele de la ultimul nivel și de peste subsol etc. În continuare sunt prezentate două detalii: secțiunea prin rostul vertical dintre panouri (Fig. 5.25, secțiunea a-a; Fig. 5.26) și secțiunea prin rostul orizontal (Fig. 5.25, secțiunea b-b; Fig. 5.27).

În Fig. 5.28 este prezentat modul de discretizare al rostului vertical, prin metoda elementelor finite. Deoarece se modelează câmpul termic într-o secțiune plană, s-au utilizat elemente finite bidimensionale (patrulatere). S-a utilizat opțiunea de discretizare automată, pe baza geometriei domeniului.

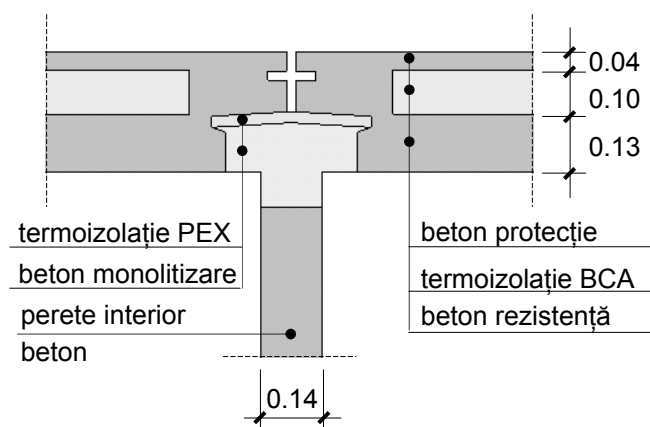


Fig. 5.26. Secțiune orizontală prin rostul vertical (Fig. 5.25, secț. a – a)

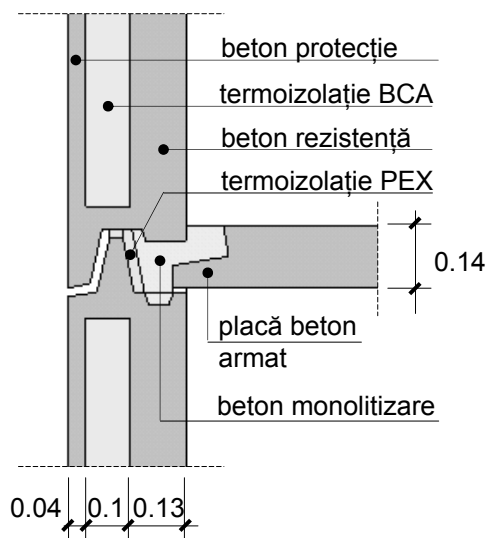


Fig. 5.27. Secțiune verticală prin rostul orizontal (Fig. 5.25, secț. b – b)

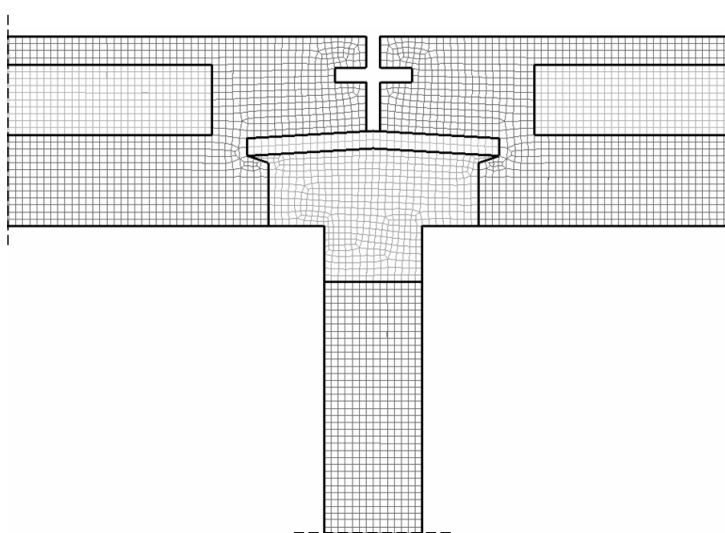


Fig. 5.28. Rețeaua de discretizare pentru rostul vertical

Rezultatele primare obținute în urma rulării (temperaturile în nodurile rețelei de discretizare) sunt reprezentate grafic în Fig. 5.29. Nuanțele deschise corespund valorilor ridicate ale temperaturilor ($5...20\text{ }^{\circ}\text{C}$), cele medii valorilor din intervalul $-5...+5\text{ }^{\circ}\text{C}$, iar cele închise cuprind intervalul $-5...-15\text{ }^{\circ}\text{C}$. Frontierele dintre nuanțele de gri reprezintă izotermele câmpului de temperatură.

În Fig. 5.30 este reprezentată harta fluxului termic unitar. Nuanțele închise corespund valorilor mari ale fluxului, ce apar în nervurile de legătură (din beton) de la marginile panourilor, iar nuanțele deschise reprezintă valorile reduse înregistrate în straturile de termoizolație și în pereții interior. Fig. 5.31 conține o reprezentare vectorială a fluxului termic unitar, practic fiind vizualizate direcțiile de curgere ale căldurii ce traversează pereții exterior.

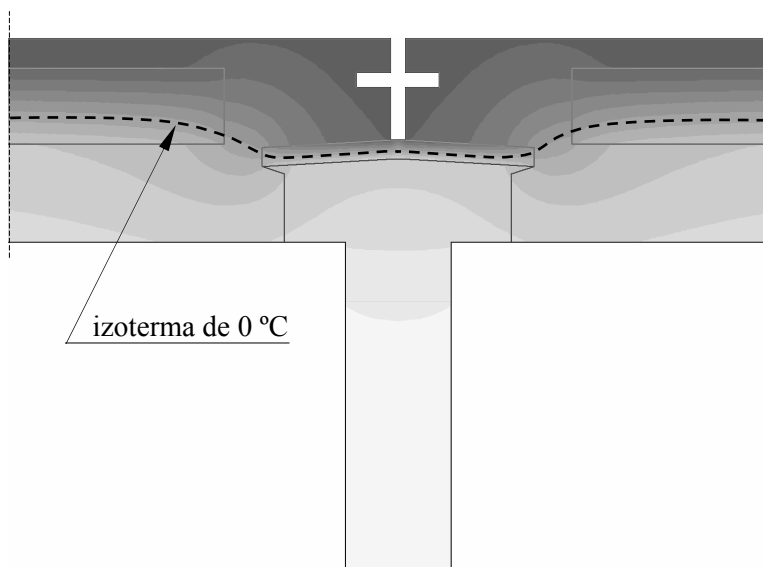


Fig. 5.29. Harta temperaturilor în secțiunea caracteristică a rostului vertical

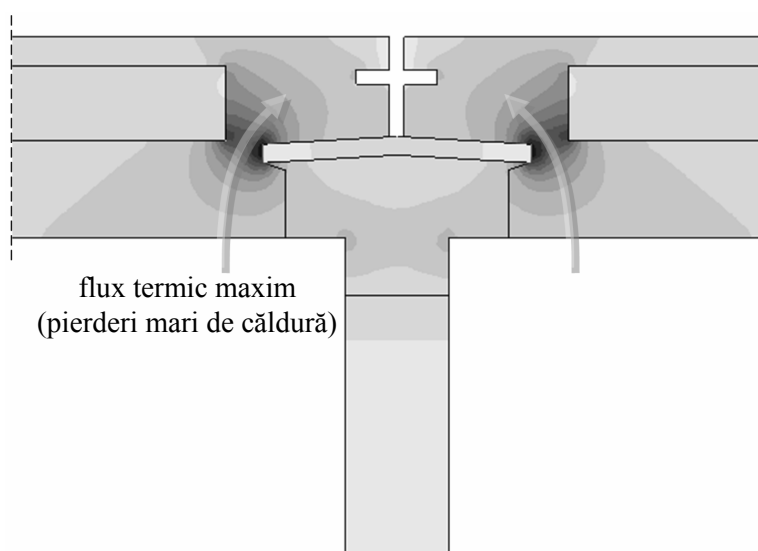


Fig. 5.30. Harta fluxului termic unitar în secțiunea caracteristică a rostului vertical

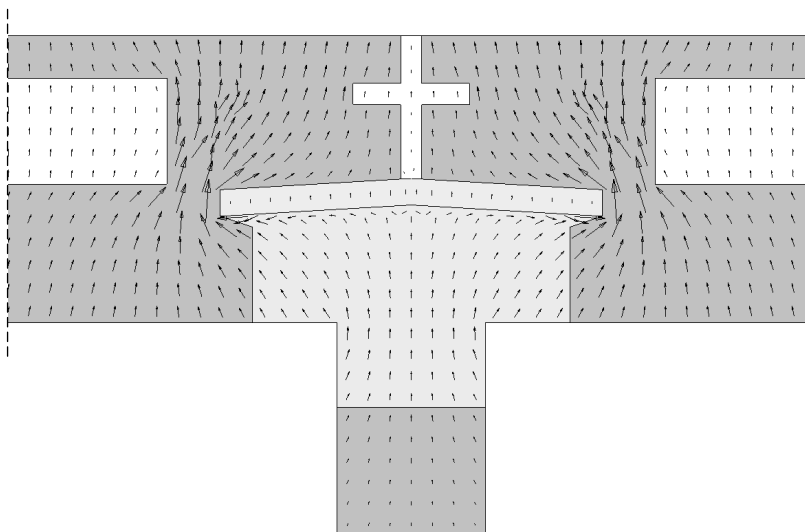


Fig. 5.31. Reprezentarea vectorială a fluxului termic unitar în rostul vertical

În Fig. 5.32 este prezentată discretizarea rostului orizontal, generată automat de program.

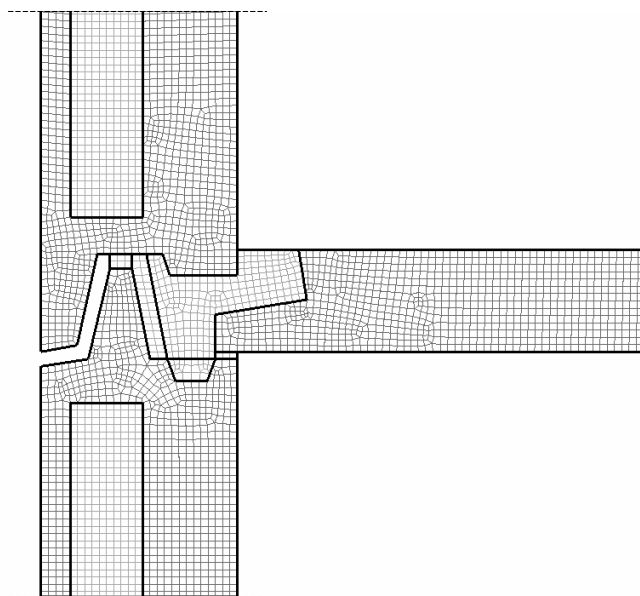


Fig. 5.32. Rețeaua de discretizare pentru rostul orizontal

Rezultatele obținute sunt reprezentate grafic în Fig. 5.33 (câmpul de temperaturi), Fig. 5.34 (câmpul de fluxuri termice unitare) și Fig. 5.35 (reprezentarea vectorială a fluxurilor unitare), convențiile de reprezentare fiind aceleași ca la rostul vertical.

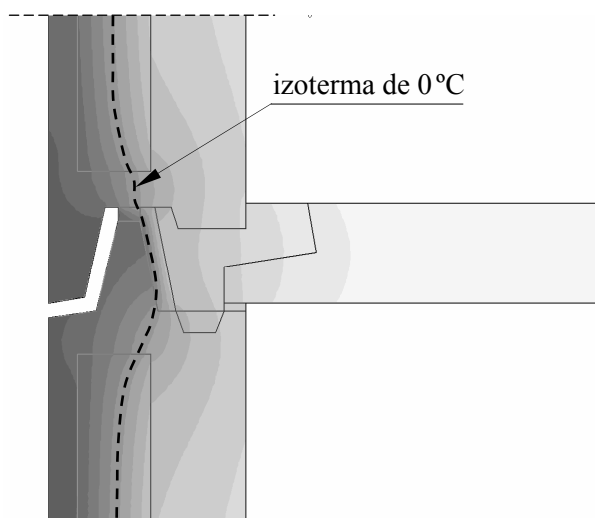


Fig. 5.33. Harta temperaturilor în secțiunea caracteristică a rostului orizontal

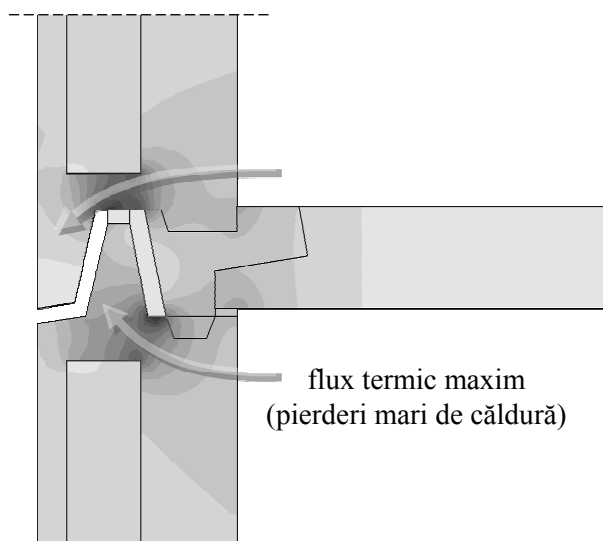


Fig. 5.34. Harta fluxului unitar în secțiunea caracteristică a rostului orizontal

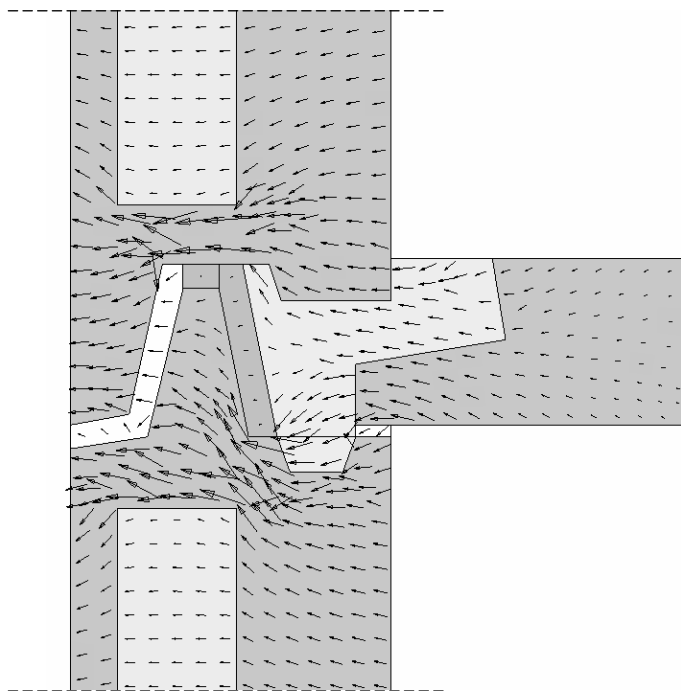


Fig. 5.35. Reprezentarea vectorială a fluxului unitar în rostul orizontal

În afara reprezentărilor grafice prezentate mai sus, programul de calcul furnizează valorile numerice ale mărimilor calculate în nodurile și/sau elementele rețelei de discretizare. Astfel, pot fi generate liste ale temperaturilor, gradientilor de temperatură, fluxurilor termice, fluxurilor termice unitare, pentru întregul domeniu sau pentru anumite zone alese de utilizator (de exemplu temperaturile pe suprafața interioară a elementului). De asemeni, programul NASTRAN poate calcula mărimi derivate definite de utilizator, așa cum este de exemplu rezistența termică. În Fig. 5.36 sunt redate hărțile rezistenței termice, valorile acesteia fiind obținute cu relația cunoscută (5.19). Nuanțele deschise reprezintă valorile mici ale rezistenței, din zona punților termice, iar nuanțele închise valorile mari, localizate în straturile de izolație termică și în zonele învecinate ale acestora.

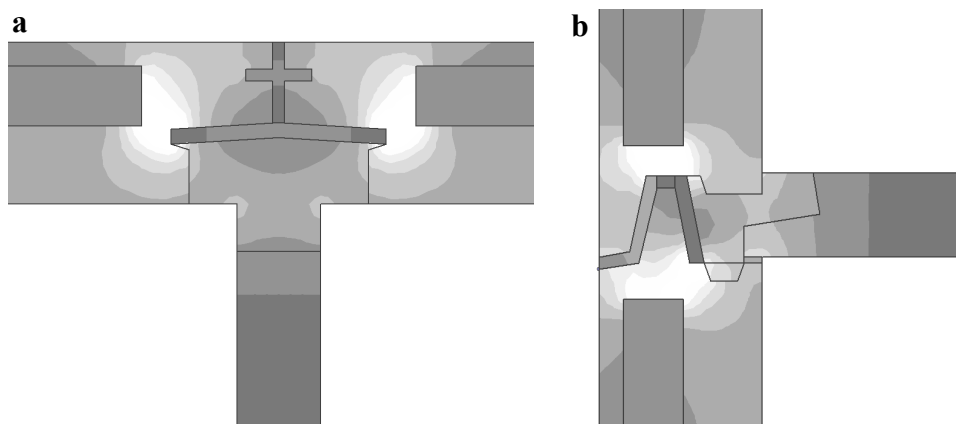


Fig. 5.36. Hărțile rezistențelor termice în rosturile panoului prefabricat
a. rost vertical; **b.** rost orizontal

5.2.11. Rezistența termică a elementelor cu punți

5.2.11.1. Punți termice

La elementele omogene, sau alcătuite din straturi continui și paralele cu suprafețele elementului, fluxul termic este unidirecțional și perpendicular pe element, iar rezistența termică este constantă. Practic, această situație se regăsește rar în cazul elementelor anvelopei clădirilor. De regulă, acestea conțin zone neomogene prin care căldura se propagă după două sau trei direcții, câmpul termic fiind în acest caz plan sau spațial.

În aceste zone pot exista materiale cu coeficient de conductivitate termică mai mare decât în restul elementului (câmpul curent) și/sau zone în care geometria elementului se modifică. Ambele situații au drept urmare o majorare semnificativă a pierderilor de căldură.

Zonele din componența elementelor de construcții, care datorită alcătuirii structurale sau geometrice prezintă o permeabilitate termică sporită față de restul elementului, determinând intensificarea transferului de căldură, sunt

denumite punți termice. Uneori există zone neomogene în care pierderile de căldură sunt mai mici decât în câmpul curent; prin extensie, și acestea sunt denumite punți termice.

Punțile termice sunt caracterizate în principal prin temperaturi care diferă de cele ale restului elementului din care fac parte. Ca urmare, în perioadele reci suprafața interioară a elementului de închidere prezintă în zonele punților temperaturi mai mici, ceea ce afectează condițiile de confort prin scăderea temperaturii resimțite în încăpere și favorizează condensarea vaporilor de apă din aerul interior, cu urmări defavorabile sub aspect igienic, estetic și al durabilității elementelor.

Punți termice frecvent întâlnite în construcții:

- stâlpii din beton înglobați parțial sau total în pereți din zidărie;
- sâmburii (stâlpișorii) și centurile pereților din zidărie;
- rosturile (îmbinările) dintre panourile prefabricate din beton ale pereților exteriori;
- intersecțiile dintre pereții exteriori (colțurile ieșinde sau intrânde ale clădirii), dintre pereții exteriori și cei interiori sau dintre pereții exteriori și planșee;
- conturul ferestrelor și ușilor exterioare etc.

Din punct de vedere geometric, punțile termice se clasifică în două mari categorii (Fig. 5.37):

- punți termice liniare – caracterizate printr-o anumită lungime, secțiunea transversală a punții fiind constantă pe toată lungimea acesteia. De exemplu, stâlpișorii și centurile înglobate în pereții din zidărie constituie punți termice liniare;

- punți termice punctuale – aceste punți au o extindere redusă pe toate cele 3 direcții. Intersecțiile dintre stâlpi și grinzi (dintre punțile termice liniare) constituie punți termice punctuale. De asemenea, unele elemente constructive cu dimensiuni mici, cum sunt ploturile din beton sau agrafele metalice cu ajutorul cărora se realizează legătura dintre straturile unui perete, constituie punți termice punctuale.

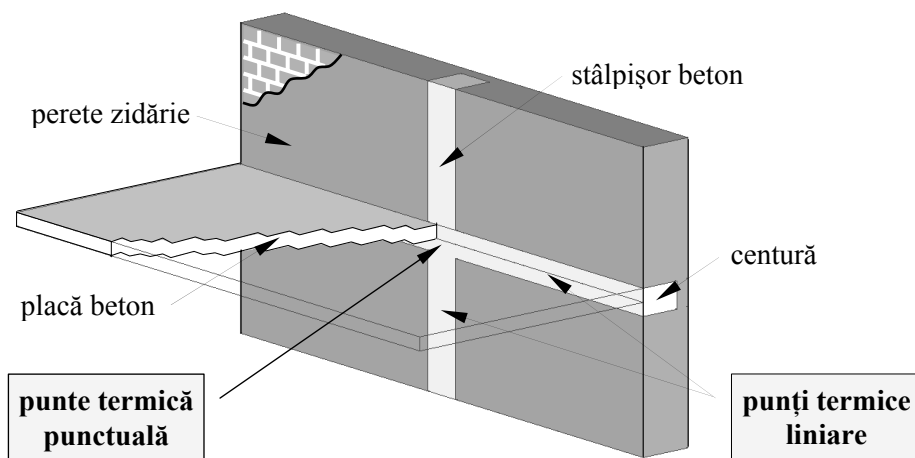


Fig. 5.37. Punți termice liniare și punctuale

5.2.11.2. Conceptul de rezistență termică specifică corectată

Conform Normativului C 107/3, prin rezistență termică specifică corectată, notată cu R' , se înțelege acea rezistență care „ține seama de influența punților termice asupra valorii rezistenței termice specifice determinate pe baza unui calcul unidirecțional în câmp curent”. În legătură cu această definiție trebuie aduse câteva precizări.

Rezistența termică în câmpul curent, determinată prin calcul unidirecțional este funcție de structura elementului în zonele neperturbate de punți, și nu

poate fi influențată de prezența acestora. Influența punților termice se exercită, de fapt, nu asupra rezistenței unidirecționale, ci asupra rezistenței termice globale a unui element. De aceea, este corect să spunem că rezistența termică corectată reprezintă o aproximare a rezistenței termice reale, care ține cont atât de rezistența unidirecțională cât și de efectul punților (pierderi suplimentare de căldură). Valoarea rezistenței termice corectate tinde către valoarea rezistenței termice reale, de ansamblu, fiind apropiată de aceasta în cazul unui calcul corect efectuat.

Pentru stabilirea relației de calcul a rezistenței termice specifice corectate trebuie mai întâi dedusă o expresie pentru coeficientul de transfer termic corectat U' care este, prin definiție, inversul rezistenței termice. În consecință, conform și rel. (5.19), se poate scrie:

$$U' = \frac{1}{R'} = \frac{q'}{\Delta T} \quad (5.64)$$

unde: q' – densitatea fluxului termic (fluxul termic unitar) (W/m^2);
 ΔT – căderea totală de temperatură (diferența dintre temperatura aerului interior și temperatura aerului exterior) ($^{\circ}C$ sau K).

a. Punți termice liniare

În cazul unui element de construcție cu funcție de izolare termică, ce conține o singură punte liniară (Fig. 5.38), densitatea fluxului termic poate fi exprimată ca sumă dintre densitatea q_u în câmp unidirecțional (ca și cum puntea termică nu ar exista) și o densitate de flux suplimentară Δq cauzată de punte: $q' = q_u + \Delta q$.

Relația (5.64) devine:

$$U' = \frac{q'}{\Delta T} = \frac{q_u + \Delta q}{\Delta T} \quad (5.65)$$

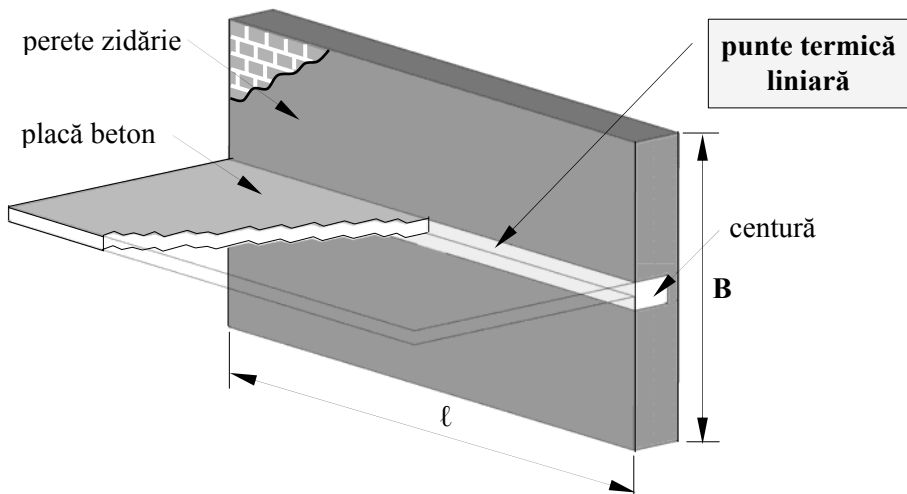


Fig. 5.38. Element cu o singură punte termică liniară

Expresia (5.65) se poate scrie:

$$U' = \frac{q_u + \Delta q}{\Delta T} = \frac{\frac{\Phi_u}{A} + \frac{\Delta \Phi}{A}}{\Delta T} = \frac{\Phi_u}{A \cdot \Delta T} + \frac{\Delta \Phi}{A \cdot \Delta T} \quad (5.66)$$

unde: Φ_u – fluxul termic unidirecțional, aferent ariei A , în situația fără punte (W);

Φ' – fluxul termic aferent ariei A , în situația cu punte (W);

$\Delta \Phi$ – surplusul de flux datorat punții termice: $\Delta \Phi = \Phi' - \Phi_u$ (W);

A – aria suprafeței traversate de fluxul termic; cf. Fig. 5.38: $A = B \cdot \ell$

În cazul transmisiei unidirecționale (fără punte), coeficientul de transfer termic U va fi:

$$U = \frac{q_u}{\Delta T} = \frac{\frac{\Phi_u}{A}}{\Delta T} = \frac{\Phi_u}{A \cdot \Delta T} \quad (5.67)$$

Din relația (5.67) rezultă:

$$\Phi_u = U.A.\Delta T \quad (5.68)$$

Înlocuind în expresia (5.66) fluxul termic Φ_u dat de relația (5.68) se obține:

$$\begin{aligned} U' &= \frac{\Phi_u}{A.\Delta T} + \frac{\Delta\Phi}{A.\Delta T} = \frac{U.A.\Delta T}{A.\Delta T} + \frac{\Delta\Phi.\ell}{A.\Delta T.\ell} = \\ &= U + \frac{\Delta\Phi}{\ell.\Delta T} \frac{\ell}{A} = \frac{1}{R} + \frac{\Delta\Phi}{\ell.\Delta T} \frac{\ell}{A} \end{aligned} \quad (5.69)$$

unde: R – rezistența termică determinată prin calcul unidirecțional ($m^2^\circ C/W$).

Cu notația $\frac{\Delta\Phi}{\ell.\Delta T} = \psi$, relația (5.69) se poate scrie:

$$U' = \frac{1}{R} + \frac{\psi.\ell}{A} \quad (5.70)$$

b. Punți termice punctuale

În cazul în care un element de construcție include o singură punte termică punctuală, relația (5.66) se poate scrie:

$$U' = \frac{\Phi_u}{A.\Delta T} + \frac{\Delta\Phi}{A.\Delta T} = \frac{U.A.\Delta T}{A.\Delta T} + \frac{\Delta\Phi}{A.\Delta T} = U + \frac{\Delta\Phi}{A.\Delta T} = \frac{1}{R} + \frac{\Delta\Phi}{\Delta T} \frac{1}{A} \quad (5.71)$$

Dacă se face notația $\frac{\Delta\Phi}{\Delta T} = \chi$, relația (5.71) devine:

$$U' = \frac{1}{R} + \frac{\chi}{A} \quad (5.72)$$

c. Cazul general

În situația când în cadrul unui element există un număr oarecare de punți termice liniare și punctuale, relațiile (5.70) și (5.72) conduc la:

$$U' = \frac{1}{R} + \frac{\sum \psi \cdot \ell}{A} + \frac{\sum \chi}{A} \quad (5.73)$$

Primul termen din membrul al II-lea al relației (5.73) reprezintă ponderea pierderilor termice unidirecționale (ca și cum punțile ar lipsi), iar următorii doi termeni ponderea pierderilor suplimentare datorate punților termice liniare, respectiv punctuale. Coeficientul de transfer termic corectat U' este o caracteristică specifică globală a porțiunii de anvelopă cu aria A .

Rezistența termică specifică corectată R' se obține prin inversarea coeficientului de transfer termic corectat U' , deci:

$$R' = \frac{1}{U'} = \frac{1}{\frac{1}{R} + \frac{\sum \psi \cdot \ell}{A} + \frac{\sum \chi}{A}} \quad (5.74)$$

Pentru asigurarea nivelului de protecție termică normat (preconizat), verificarea rezistenței termice specifice corectate a unui element de construcție cu funcții de izolare termică se efectuează cu relația:

$$R' \geq R'_{\min} \quad (5.75)$$

unde: R' – rezistență termică specifică corectată, calculată conform (5.74);

R'_{\min} – rezistență termică specifică corectată minimă necesară, ale cărei valori normate sunt prevăzute în Normativul C107/1 – Anexa 3, funcție de tipul elementului (pereți exteriori, planșee peste ultimul nivel etc.).

5.2.11.3. Coeficienții liniari și punctuali de transfer termic

Conform celor arătate la pct. 5.2.11.2, relațiile de definiție ale coeficienților de transfer termic liniari ψ și punctuali χ sunt:

$$\psi = \frac{\Delta\Phi}{\ell \cdot \Delta T} \quad (5.76)$$

$$\chi = \frac{\Delta\Phi}{\Delta T} \quad (5.77)$$

unde: $\Delta\Phi$ – surplusul de flux datorat punții termice: $\Delta\Phi = \Phi' - \Phi_u$ (W);

Φ' – fluxul termic ce traversează domeniul (porțiunea din element ce include puntea termică) (W);

Φ_u – fluxul termic unidirecțional, ce traversează același domeniu, dar în absența punții termice (W);

ℓ – lungimea punții termice liniare (m);

ΔT – căderea totală de temperatură ($^{\circ}\text{C}$ sau K).

Coeficientul ψ reprezintă, conform relației (5.76), surplusul de flux $\Delta\Phi$ datorat unei punți termice liniare, raportat la lungimea ℓ a acesteia și la căderea totală de temperatură ΔT (diferența dintre temperaturile aerului interior și exterior). Altfel spus, ψ reprezintă fluxul termic suplimentar ce traversează o punte liniară cu lungimea de 1 m, pentru o cădere de temperatură de 1°C (sau 1 K). Mărimea sa depinde de alcătuirea punții termice, dar și de caracteristicile zonei curențe (cu transmisie termică unidirecțională) în care este situată puntea.

În mod analog, conform relației de definiție (5.77), coeficientul χ reprezintă fluxul termic suplimentar cauzat de o punte punctuală, pentru o cădere de temperatură de 1°C (sau 1 K).

a. Calculul coeficienților ψ și χ

Calculul efectiv al coeficienților ψ și χ poate fi efectuat cu expresiile de definiție (5.76) și (5.77), prin parcurgerea următoarelor etape:

- modelarea numerică, cu ajutorul unui program specializat de calcul, a câmpului termic, fie pentru domeniul plan definit de secțiunea transversală prin puntea liniară (de regulă secțiune orizontală sau verticală) în cazul coeficientului ψ , fie pentru domeniul spațial în cazul coeficientului χ și determinarea fluxului termic Φ' ce traversează elementul;
- determinarea fluxului termic unidirecțional Φ_u pentru domeniul definit, în absența punții termice (calculul se poate efectua manual);
- stabilirea diferenței dintre cele două fluxuri $\Phi' - \Phi_u = \Delta\Phi$ și raportarea acesteia la lungimea punții și la căderea de temperatură (în cazul coeficientului ψ), sau numai la căderea de temperatură (în cazul coeficientului χ).

Problema care se pune este cât de extins trebuie să fie domeniul luat în considerare. Principial, în cazul punților termice liniare trebuie considerate porțiuni de o parte și de alta a punții, suficient de extinse pentru a depăși limitele zonei de influență a acesteia, limite ce variază în principal funcție de structura punții. Conform Normativului C 107/3 și altor reglementări, o lățime de cca. 1,2 m a celor două zone adiacente se poate considera acoperitoare în cazul oricărui tip de punte.

În Fig. 5.39 – 5.42 sunt reprezentate câteva situații uzuale în care intervin punți termice liniare și modul de apreciere a dimensiunilor domeniului considerat în calcule.

Pentru calculul fluxului Φ' domeniile modelate se adoptă conform Fig. 5.39.a – 5.42.a, iar pentru calculul fluxului Φ_u se consideră domeniile cu punți eliminate conform Fig. 5.39.b, 5.40.b, 5.41.c, 5.42.c.

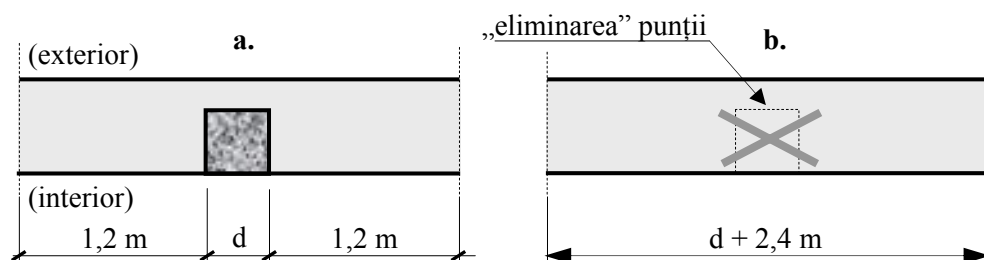


Fig. 5.39. Punte termică în dreptul unui stâlpișor înglobat
a. domeniul modelat numeric 2D;
b. domeniul fără punte (calcul unidirecțional)

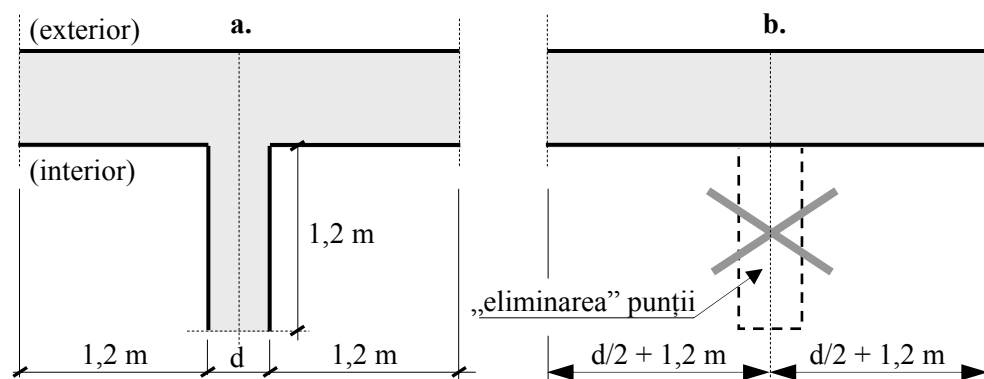


Fig. 5.40. Punte termică la intersecția dintre peretele exterior și cel interior
a. domeniul modelat numeric 2D;
b. domeniul fără punte (calcul unidirecțional)

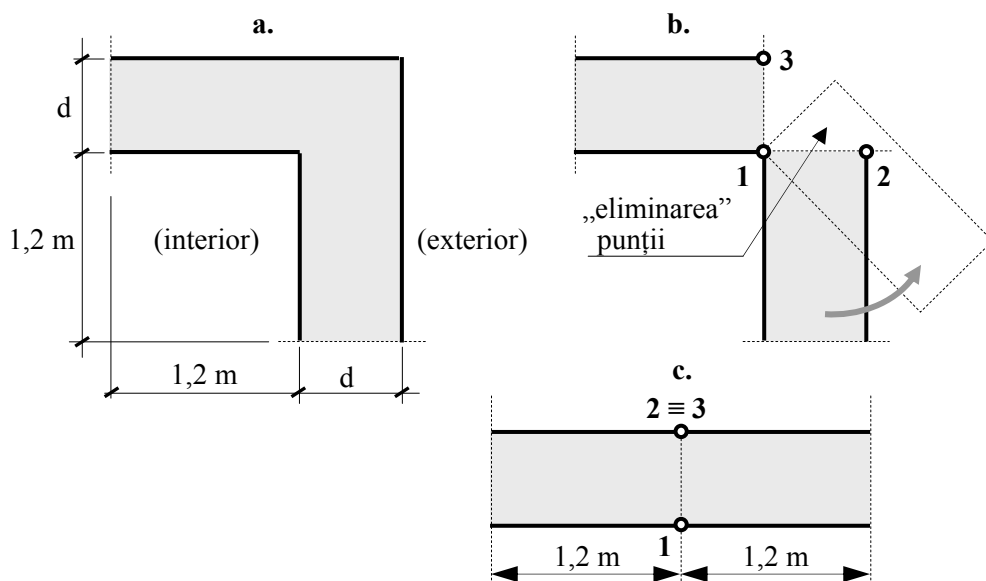


Fig. 5.41. Punte termică la intersecția dintre doi pereți exteriori – colț ieșind
a. domeniul modelat numeric 2D; **b.** modul de „eliminarea” a punții;
c. domeniul fără punte (calcul unidirecțional)

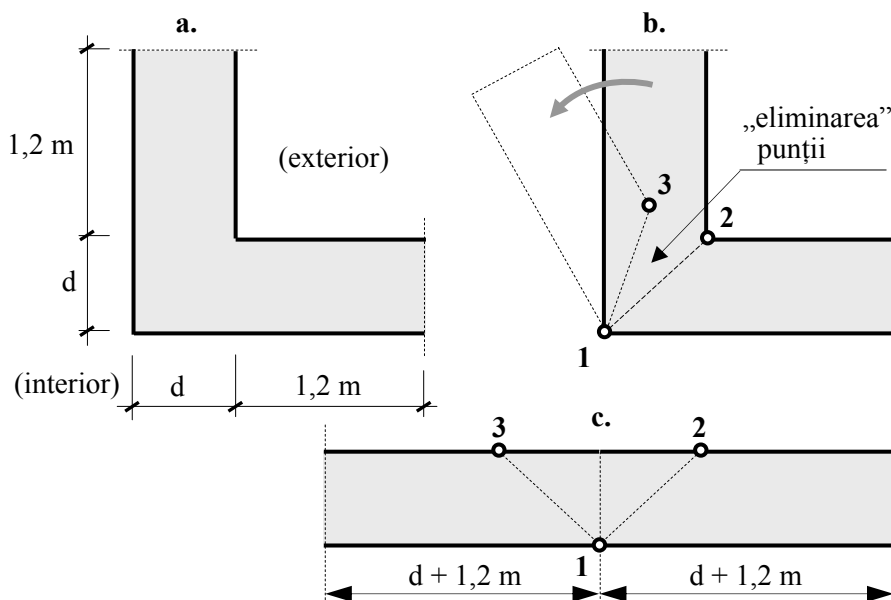


Fig. 5.42. Punte termică la intersecția dintre doi pereți exteriori – colț intrând
a. domeniul modelat numeric 2D; **b.** modul de „eliminarea” a punții;
c. domeniul fără punte (calcul unidirecțional)

În ceea ce privește fluxul termic Φ' ce traversează fiecare punte, acesta trebuie calculat fie prin modelarea numerică a câmpului termic pe domeniul plan definit de secțiunea transversală prin puntea termică liniară, fie prin rezolvarea câmpului termic pe domeniul spațial aferent punții punctuale. În ambele situații este necesară folosirea unui program de calcul capabil să rezolve probleme de câmp termic, de regulă fiind utilizate programe bazate pe metoda elementelor finite.

b. Metodologia de calcul recomandată în normative

Pentru calculul coeficientului liniar de transfer termic ψ și a celui punctual χ în cadrul Normativului C 107/3 se utilizează două relații alternative, deduse din expresiile de definiție (5.76) și (5.77):

$$\psi = \frac{\Phi}{\Delta T} - \frac{B}{R} \quad (5.78) \qquad \chi = \frac{\Phi}{\Delta T} - \frac{A}{R} \quad (5.79)$$

unde: Φ – fluxul termic aferent unei punți termice având lățimea B și lungimea de 1 m (W);

ΔT – căderea totală de temperatură ($^{\circ}\text{C}$ sau K);

B – lățimea domeniului analizat, considerată la suprafața interioară a elementului, cf. Fig. 5.43 – 5.46 (m);

R – rezistența termică unidirecțională ($\text{m}^2 \text{ } ^{\circ}\text{C}/\text{W}$);

A – aria suprafeței traversate de fluxul termic (m^2).

În Fig. 5.43 – 5.46 sunt reluate tipurile de domenii prezentate în Fig. 5.39 – 5.42. Normativul C 107/3 recomandă pentru zonele adiacente punții adoptarea unor lățimi $B = 0,8 \dots 1,2$ m, funcție de tipul domeniului.

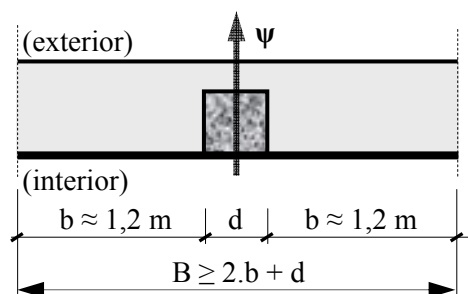


Fig. 5.43. Punte termică în dreptul unui stâlpișor înglobat
Definirea termenului „B” din relația (5.78)

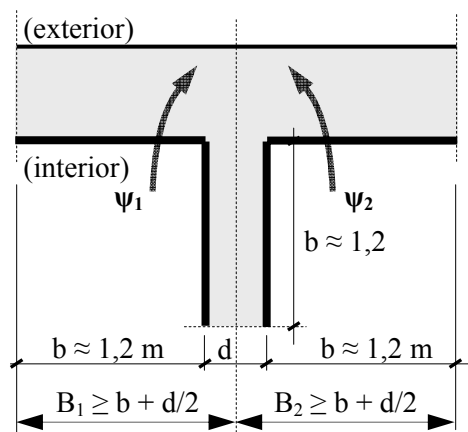


Fig. 5.44. Punte termică la intersecția dintre perețele exterior și cel interior
Definirea termenului „B” din relația (5.78)

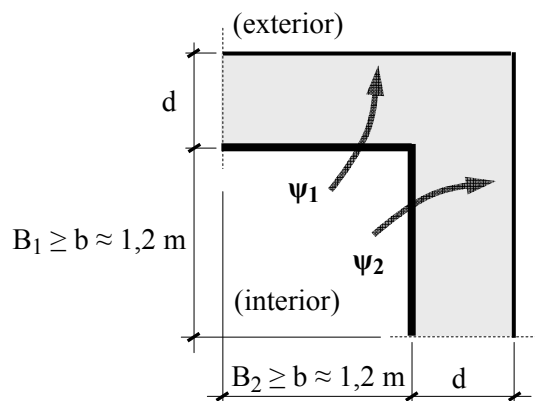


Fig. 5.45. Punte termică la intersecția pereților exteriori – colț ieșind
Definirea termenului „B” din relația (5.78)

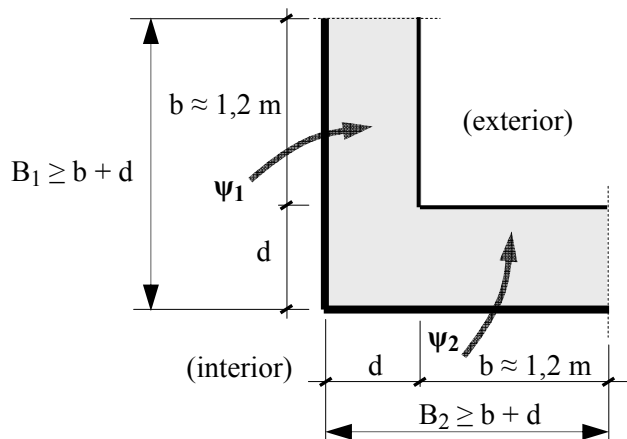


Fig. 5.46. Punte termică la intersecția pereților exteriori – colț întrând
Definirea termenului „B” din relația (5.78)

Relațiile (5.76) și (5.77) pe de o parte, și (5.78) și (5.79) pe de altă parte, conduc la două variante de determinare a coeficienților de transfer termic ψ și χ , în cadrul aceleiași metodologii. Ambele modalități implică același volum de calcul, dar prima, bazată pe relațiile de definiție, are următoarele avantaje:

- folosește expresii mai simple pentru coeficienții de transfer ψ și χ ;
- evidențiază semnificația fizică a coeficienților ψ și χ , conducând la un mod de lucru transparent, ușor de înțeles; relațiile (5.78) și (5.79) maschează logica metodei, mai ales că în cadrul Normativului C 107/3 nu sunt date definiții ale acestor coeficienți;
- se evită utilizarea termenului „B” din relația (5.78) prin aplicarea regulilor de eliminare a punților termice, ilustrate în Fig. 5.39 – 5.42.

5.2.12. Coeficientul global de izolare termică

Rezistența termică specifică corectată R' reprezintă o caracteristică termotehnică de bază a elementelor de construcții, fiind un indicator important al nivelului la care cerințele de izolare termică sunt îndeplinite. Totuși, această mărime caracterizează în mod individual diversele elemente opace, cu funcții de izolare termică, nu și clădirea în ansamblu. Pot exista situații când, deși rezistențele termice specifice corectate sunt superioare valorilor minime necesare (normate), pierderile de căldură globale ale clădirii se situează peste nivelul admisibil prevăzut de normele în vigoare. Astfel de cazuri pot să apară, în principal, din următoarele motive:

- aria suprafețelor vitrate exterioare (ferestre, uși exterioare, pereți vitrați etc.), prin care au loc pierderi semnificative de căldură, are o pondere importantă în cadrul ariei totale a anvelopei clădirii;
- clădirea are o volumetrie atipică, cu raportul dintre aria exterioară (aria anvelopei, prin care au loc pierderi termice) și volumul total al clădirii mai mare decât la construcțiile cu forme uzuale;
- există infiltrații necontrolate ale aerului exterior, datorită etanșării insuficiente a rosturilor tâmplăriei exterioare și/sau permeabilității mari la aer a unor elemente de închidere.

În consecință, atât normativele străine, cât și cele românești – Normativele C107/1 și C107/2 – introduc o mărime termotehnică numită „coeficient global de izolare termică”, notat cu G , ce exprimă cantitatea totală de căldură pierdută de clădire în exterior.

Normativul C107/1 conține metodologia de verificare a coeficientului G la clădiri de locuit. În conformitate cu acest normativ, coeficientul global de izolare termică „reprezintă suma pierderilor de căldură realizate prin

transmisie directă prin suprafața anvelopei clădirii, pentru o diferență de temperatură între interior și exterior de 1°C (sau 1 K), raportată la volumul clădirii, la care se adaugă pierderile de căldură aferente reîmprospătării aerului interior, precum și cele datorate infiltrațiilor suplimentare (necontrolate) de aer rece”.

Conform definiției, coeficientul global de izolare termică se calculează cu relația:

$$G = \frac{\sum \frac{\Phi_j}{\Delta T}}{V} + c_a \cdot \rho_a \cdot n \quad (5.80)$$

unde: G – coeficientul global de izolare termică ($\text{W/m}^3 \text{ } ^\circ\text{C}$);

Φ_j – fluxul termic ce traversează elementul „j” al clădirii (W);

ΔT – căderea totală de temperatură, adică diferența dintre temperatura convențională a aerului interior și temperatura convențională a aerului exterior: $\Delta T = T_i - T_e$ ($^\circ\text{C}$ sau K);

V – volumul interior încălzit al clădirii (m^3);

c_a – căldura specifică masică a aerului interior ($\text{J}/(\text{Kg } ^\circ\text{C})$ sau $\text{Ws}/(\text{Kg } ^\circ\text{C})$);

ρ_a – densitatea aerului interior (Kg/m^3);

n – viteza de ventilare naturală (rata ventilării), exprimată prin numărul de schimburi de aer pe oră într-un anumit spațiu (apartament, încăpere etc.) ($1/\text{h}$);

$c_a \cdot \rho_a \cdot n$ – pierderile de căldură datorate ventilării clădirii și, eventual, infiltrațiilor necontrolate de aer, raportate la volumul clădirii și la diferența de temperatură ΔT ($\text{W}/\text{m}^3 \text{ } ^\circ\text{C}$);

Relația (5.80) poate fi pusă sub o formă mai utilă din punct de vedere al calculelor practice. Astfel, suma din membrul II se poate scrie:

$$\sum \frac{\Phi_j}{\Delta T} = \sum \frac{\frac{\Phi_j}{A_j} A_j}{\Delta T} = \sum \frac{q_j \cdot A_j}{\Delta T} = \sum \frac{A_j}{\frac{\Delta T}{q_j}} = \sum \frac{A_j}{R'_j} = \sum L_j \quad (5.81)$$

unde: A_j – aria elementului „j”, cu funcție de izolare termică (m^2);
elementele „j” pot fi: pereții exteriori, zonele vitrate exterioare, planșeul de la ultimul nivel, pereți ce despart zone ale clădirii cu temperaturi diferite etc. (m^2);

q_j – fluxul termic unitar mediu (densitatea de flux) a elementului „j” (W/m^2);

R'_j – rezistența termică specifică corectată a elementului „j” ($m^2 \text{ } ^\circ C/W$);

L_j – coeficient de cuplaj termic al elementului „j”, egal prin definiție cu raportul A_j/R'_j ($W/^\circ C$);

Dacă se ține seama de valorile căldurii specifice masice a aerului interior ($c_a = 1000 \text{ } Ws/KgK$) și ale densității aerului interior ($\rho_a = 1.23 \text{ } Kg/m^3$), termenul al doilea din membrul II al relației (5.80) se poate explicita astfel:

$$(c_a \cdot \rho_a) \cdot n = \left(\frac{1000 \text{ } Ws/(KgK)}{3600} 1,23 \text{ } Kg/m^3 \right) \cdot n \cong 0,34 \cdot n \quad (5.82)$$

(valoarea 3600 se introduce pentru a face trecerea de la secunde la ore)

Cu ajutorul relațiilor (5.81) și (5.82), expresia (5.80) devine:

$$G = \frac{\sum \frac{\Phi_j}{\Delta T}}{V} + c_a \cdot \rho_a \cdot n = \frac{\sum L_j}{V} + 0,34 \cdot n \quad (5.83)$$

Din punct de vedere al spațiilor delimitate, elementele de izolare termică ale clădirilor pot fi grupate în două categorii:

- elemente ce delimitează interiorul clădirii de exteriorul acesteia (elemente perimetrice);
- elemente ce delimitează interiorul clădirii de spații construite adiacente, cu temperatură diferită (garaje, subsoluri, poduri, spații comerciale etc.).

Deoarece pierderile de căldură prin elementele perimetrice (în contact cu aerul exterior) sunt diferite de pierderile prin elementele ce delimitează spațiile adiacente, se introduce un factor de corecție adimensional notat cu τ , exprimat cu relația:

$$\tau = \frac{T_i - T_u}{T_i - T_e} \quad (5.84)$$

unde: T_i , T_e – temperatura convențională a aerului interior, respectiv exterior (°C);

T_u – temperatura aerului interior din spațiile adiacente clădirii (°C).

În relația (5.84) se observă că pentru $T_u = T_e$ (egalitate valabilă pentru elementele anvelopei în contact cu aerul exterior), rezultă $\tau = 1$.

În final, prin utilizarea rel. (5.83) și (5.84), relația practică de calcul a coeficientului global de izolare termică va fi:

$$G = \frac{\sum (L_j \cdot \tau_j)}{V} + 0,34 \cdot n \quad (5.85)$$

Verificarea nivelului de izolare termică globală se efectuează, conform Normativului C107/1, cu relația:

$$G \leq GN \quad (5.86)$$

în care: GN – coeficientul global normat de izolare termică ($\text{W/m}^3\text{°C}$).

Valorile coeficientul global normat de izolare termică pentru clădirile de locuit sunt date în cadrul Normativului C107/1, funcție de numărul N de niveluri și de raportul A/V dintre aria anvelopei și volumul încălzit al clădirii.

5.3. Transferul de masă

5.3.1. Mecanismul transferului de masă

La punctele anterioare s-au tratat fenomenele de transfer de căldură, pe baza tendinței naturale a corpurilor, de evoluție către o stare de echilibru termic. Dacă un sistem este alcătuit din unul sau mai mulți componenți în care concentrația variază de la un punct la altul, există de asemeni o tendință de echilibrare, de această dată a concentrațiilor, prin transportul masei din zonele cu concentrație mai ridicată către cele cu concentrație mai redusă. Acest fenomen poartă numele de transfer de masă.

Mecanismul transferului de masă este analog celui de transfer de căldură. Ambele sunt produse de o variație spațială a unui parametru motor: temperatura, în cazul căldurii, și concentrația (sau presiunea) în cazul masei. De asemenea, intensitatea ambelor procese depinde de gradientul parametrului motor și de rezistența opusă de mediu la procesul de transfer.

Transferul de masă apare la fluide, atât în faza gazoasă cât și în faza lichidă, în sistemele gaz – lichid, vapor – lichid, lichid – lichid, cu sau fără transfer de căldură. Aplicațiile tehnice mai importante ale transferului de masă sunt absorbția de gaz, adsorbția unui lichid într-un solid adsorbant, distilarea, extracția de lichide, umidificarea etc.

Transferul de masă se poate face în două moduri: prin difuzie moleculară și prin difuzie turbulentă.

Transferul de masă prin difuzie moleculară este analog cu transferul de căldură prin conducție termică și se datorează tendinței naturale de reducere a diferenței de concentrație dintr-un fluid prin mișcarea dezordonată a moleculelor sau atomilor care alcătuiesc fluidul.

Transferul de masă prin difuzie turbulentă este analog transferului de

căldură prin convecție termică și reprezintă transferul de masă de la o suprafață solidă către un fluid în mișcare. Fenomenul este dependent de proprietățile de transport ale fluidului și de caracteristicile hidrodinamice ale procesului.

5.3.2. Ecuația diferențială a transferului de masă

Conform legii conservării masei, viteza de variație a cantității de substanță dintr-un volum elementar este egală cu viteza de variație a fluxului de substanță care traversează suprafața volumului, la care se adaugă cantitatea de substanță generată în interiorul volumului elementar. Prin transformări succesive, expresia matematică a acestei legi, în cazul regimului staționar, poate fi adusă în final la forma:

$$\frac{\partial}{\partial x} \left(\delta \frac{\partial p_v}{\partial x} \right) + \frac{\partial}{\partial y} \left(\delta \frac{\partial p_v}{\partial y} \right) + \frac{\partial}{\partial z} \left(\delta \frac{\partial p_v}{\partial z} \right) = A \quad (5.87)$$

unde: p_v – presiunea parțială a vaporilor de apă din aer (daN/m² sau Pa);

A – cantitatea de apă depusă prin condens (g);

δ – coeficient de conductivitate a vaporilor (g/m.h.Pa):

$$\delta = \frac{D}{C_v T R_D} \quad (5.88)$$

D – coeficientul de difuzie a vaporilor prin aerul care umple porii și capilarele materialelor (m/h);

C_v – constanta gazelor pentru vapori de apă (J/mol.K);

T – temperatura absolută (K);

R_D – rezistența la difuzia vaporilor (m².h.Pa/g sau m/h).

Expresia (5.87) reflectă fenomenul real cu anumite simplificări, considerând regimul permanent (staționar) și neglijând căldura degajată în procesul de condens.

5.3.3. Umiditatea construcțiilor

5.3.3.1. Surse de umiditate

Prezența apei sub formă gazoasă (vapori), lichidă (picături) și uneori solidă poate avea efecte defavorabile asupra construcțiilor. Aceste efecte se răsfrâng fie asupra microclimatului încăperilor, determinând condiții sanitar–igienice improprii, fie asupra materialelor din elementele construcțiilor, conducând la efecte negative cum ar fi: scăderea capacității de izolare termică, apariția condensului, micșorarea rezistențelor mecanice etc.

Principalele surse de umiditate pentru construcții sunt:

- apa din teren, ce poate afecta fundațiile și subsolurile;
- apa meteorologică, ce acționează asupra elementelor exterioare sub formă de ploaie sau zăpadă;
- apa higroscopică, datorită umidității aerului interior și exterior;
- apa inițială datorată tehnologiei de execuție (apa din betoane, mortare etc.);
- apa de exploatare, datorită proceselor umede din anumite încăperi: spălătorii, băi, bucătării etc.;
- apa de condens, datorită condensării vaporilor de apă pe suprafețele sau în interiorul elementelor.

5.3.3.2. Umiditatea aerului

Cantitatea de vapori de apă, exprimată în grame, conținută într-un m^3 de aer, poartă numele de umiditate absolută:

$$\varphi_a = \frac{m_v}{V} \quad (\text{g}/\text{m}^3) \quad (5.89)$$

Cantitatea maximă de vapori ce poate fi conținută într-un m^3 de aer, la o temperatură T , se numește umiditate absolută de saturație, notată cu φ_s .

Raportul între umiditatea absolută și umiditatea absolută de saturație poartă numele de umiditate relativă (notată φ_r), exprimată procentual cu relația:

$$\varphi_r = \frac{\varphi_a}{\varphi_s} 100 \quad (\%) \quad (5.90)$$

Unei umidități relative φ_r îi corespunde o presiune a vaporilor de apă numită presiune parțială și notată cu p_v (exprimată în Pa, N/m^2 , mmHg etc.). Presiune parțială reprezintă presiunea pe care o exercită vaporii de apă din aer, dacă ar ocupa singuri volumul respectiv.

Umidității absolute maxime (de saturație) φ_s îi corespunde o presiune maximă p_s , denumită presiune de saturație. Atât presiunea parțială cât și cea de saturație depind de temperatură și variază direct proporțional cu aceasta.

Umiditatea relativă poate fi exprimată și ca raport între presiunea parțială și presiunea de saturație:

$$\varphi_r = \frac{p_v}{p_s} 100 \quad (\%) \quad (5.91)$$

Umiditatea relativă a aerului variază între 30...100% la exterior și între 30...70% la interior (în încăperi).

Conform relației (5.91), presiunea parțială se poate exprima:

$$p_v = \frac{p_s \Phi_r}{100} \quad (5.92)$$

5.3.3.3. Umiditatea materialelor

Materialele de construcții pot reține apa sub următoarele forme:

- apa legată chimic, prin reacțiile de formare a structurii interne; această apă nu este influențată de procesul de uscare;
- apa de structură, sau de hidratare, care participă la formarea structurii cristaline a unor materiale;
- apa higroscopică, reținută de materiale prin absorbție sau adsorbție, direct din faza gazoasă;
- apa liberă, reținută mecanic, fără adeziune, prin contactul direct al materialelor cu faza lichidă (infiltrații din ploi sau din procesele funcționale) sau ca urmare a condensării vaporilor pe suprafața și în masa elementului.

În cazul proceselor de umezire–uscare variază numai apa liberă și apa legată fizic (de structură și higroscopică).

Umiditatea materialelor se poate exprima pe bază gravimetrică sau volumetrică, prin raportarea greutateii G_a sau volumului V_a al apei conținute, la greutatea G_o , respectiv volumul V_o corespunzătoare materialului uscat:

$$U_g = \frac{G_a}{G_o} 100 = \frac{G_u - G_o}{G_o} 100; \quad U_v = \frac{V_a}{V_o} 100 \quad (\%) \quad (5.93)$$

unde: G_u – greutatea materialului umed (daN).

Determinarea conținutului de apă a unui material, respectiv a umidității, se poate face prin metode gravimetrice (uscarea și cântărire), metode electrice (bazate pe variația unui parametru electric cu umiditatea), electronice, radioactive etc.

Pentru o bună comportare în exploatare a elementelor de construcții este necesar ca umiditatea materialelor din care sunt alcătuite să nu depășească umiditatea higroscopică de echilibru corespunzătoare umidității relative a aerului din încăperi. Umiditatea higroscopică de echilibru corespunde situației în care reținerea apei de către materiale direct din aerul umed încetează, ca urmare a satisfacerii forțelor superficiale de legătură între pereții porilor, micro-capilarelor și apă, după o staționare corespunzătoare în mediul respectiv.

Exigențele legate de umiditatea elementelor de construcții, alcătuite din diverse materiale, diferă în raport cu funcțiile elementelor și cu natura materialelor. Elementele care se află în contact permanent cu apa trebuie să fie impermeabile (pardoselile și pereții din băi și bucătării, pereții de subsol și fundațiile în teren umed etc.), iar elementele exterioare de închidere (cu excepția ferestrelor) la care este posibilă apariția condensului la suprafață sau în structură trebuie tratate corespunzător (cu bariere contra vaporilor, straturi de aer ventilat etc.).

5.3.4. Aprecierea prin calcul a riscului la condens

Cea mai mare parte a materialelor de construcții, datorită structurii capilar-poroase, permit trecerea vaporilor de apă, ca urmare a diferențelor de presiune parțială, fiind deci permeabile la vaporii. Permeabilitatea la vaporii a materialelor se poate exprima printr-o caracteristică specifică, similară

coeficientului de conductivitate termică, numită coeficient de conductivitate a vaporilor de apă (δ).

Fizic, acest coeficient, măsurat în g/m.h.Pa, reprezintă cantitatea de vapor de apă (în grame) care trece printr-o suprafață de 1 m² a unui material cu grosimea de 1 m, timp de o oră, când există o diferență de presiune parțială a vaporilor de 1 Pa.

Pentru elementele de construcții se definesc permeabilitatea la vapor P_v (g/m².h.Pa sau h/m) și rezistența la permeabilitatea vaporilor R_v (m².h.Pa/g sau m/h):

$$P_v = \frac{\delta}{d}; \quad R_v = \frac{1}{P_v} = \frac{d}{\delta}; \quad \text{sau} \quad R_v = \sum_j \frac{d_j}{\delta_j} \quad (\text{structuri în straturi}) \quad (5.94)$$

Conform normativelor, rezistența la permeabilitatea vaporilor a unui element compus din mai multe straturi paralele între ele și perpendiculare pe direcția fluxului de vapor, se stabilește cu relația:

$$R_v = R_{v1} + R_{v2} + \dots + R_{vn} = \sum_{j=1}^n R_{v,j} = \sum_{j=1}^n d_j \cdot \mu_{Dj} \cdot M \quad (5.95)$$

unde: d_j – grosimea stratului „j” (m);

μ_{Dj} – factorul rezistenței la permeabilitate la vapor a stratului „j”;
este o mărime adimensională care indică de câte ori este mai mare rezistența la permeabilitate la vapor a unui material în raport cu rezistența la permeabilitate la vapor a aerului;

M – coeficient de difuzie a vaporilor de apă ($M = 54 \cdot 10^8 \text{ s}^{-1}$).

Calculul la condens are ca scop principal stabilirea situațiilor în care este posibilă apariția fenomenului de condens pe suprafața interioară sau în masa (în interiorul) elementelor de construcții.

5.3.4.1. Condensul pe suprafața interioară

Acest fenomen poate avea mai multe cauze:

- creșterea concentrației vaporilor de apă din aerul încăperilor, la temperatură interioară constantă, până la valoarea concentrației de saturație;
- scăderea temperaturii aerului interior până la valoarea la care presiunea parțială a vaporilor devine egală cu presiunea de saturație;
- scăderea temperaturii suprafeței interioare a elementelor de închidere, datorită scăderii temperaturii aerului exterior sau interior.

Temperatura la care presiunea parțială a vaporilor de apă devine egală cu presiunea de saturație, poartă numele de temperatură de rouă θ_r , ale cărei valori sunt întabulate în standard, funcție de umiditatea relativă și temperatura aerului interior.

Pentru ca fenomenul de condens pe suprafață să nu se producă trebuie ca temperatura T_{si} în orice punct al suprafeței interioare a elementelor cu rol de izolare să verifice relația:

$$T_{si} \geq \theta_r \quad (5.96)$$

În construcții, fenomenul de rouă apare în special ca urmare a unei exploatare neraționale (surse de vaporii cu debit mare, aerisire necorespunzătoare etc.), a încălzirii insuficiente în perioada de iarnă, sau datorită unor elemente cu grad redus de izolare termică. Fenomenul este localizat mai ales în zonele reci (punțile termice): colțurile pereților, îmbinările panourilor prefabricate din beton, centuri, buiandrugi etc.

5.3.4.2. Condensul în interiorul elementelor

Datorită diferenței dintre presiunea parțială a vaporilor de apă din încăperi și din exterior, în perioada rece a anului există tendința de migrare a vaporilor de apă de la aerul mai cald spre aerul rece, prin elementele de închidere permeabile. Intensitatea fenomenului depinde atât de diferența de presiune parțială cât și de permeabilitatea la vaporii a materialelor.

În cursul migrației prin elementul de construcție vaporii de apă pot ajunge într-o zonă a cărei temperatură să favorizeze condensarea (presiunea parțială a vaporilor atinge valoarea presiunii de saturație). În aceste zone surplusul de vaporii se depune sub formă lichidă, provocând umezirea.

Condiția evitării riscului de condens este ca în orice punct din interiorul elementului presiunea parțială a vaporilor să nu atingă valoarea presiunii de saturație.

În ipoteza regimului staționar și unidirecțional de migrație a vaporilor, valoarea presiunii parțiale (p_{vx}) într-un strat paralel cu suprafețele elementului, situat la distanța „x” de suprafața interioară, se determină cu relația:

$$p_{vx} = p_{vi} - \frac{R_{vx}}{R_v}(p_{vi} - p_{ve}) \quad (5.97)$$

unde: p_{vi} – presiunea parțială a vaporilor la suprafața interioară a elementului (Pa);

p_{ve} – idem, la suprafața exterioară (Pa);

R_{vx} – rezistența la permeabilitate la vaporii pe porțiunea de element de grosime „x” ($m^2 \cdot h \cdot Pa/g$);

R_v – rezistența totală a elementului la permeabilitate la vaporii ($m^2 \cdot h \cdot Pa/g$).

Expresia (5.97) este similară cu aceea pentru calculul temperaturii, deoarece fenomenul termic și cel de difuzie a vaporilor sunt guvernate de ecuații diferențiale cu forme similare.

Valorile presiunii de saturație a vaporilor depind de temperatură și sunt precizate în standard (sub formă tabelară).

Pe aceste baze, verificarea apariției condensului în interiorul unui element alcătuit din mai multe straturi paralele se efectuează trasând curba presiunilor parțiale a vaporilor și curba presiunilor de saturație (Fig. 5.47). Dacă aceste curbe se intersectează, în zona respectivă există riscul de apariție a condensului.

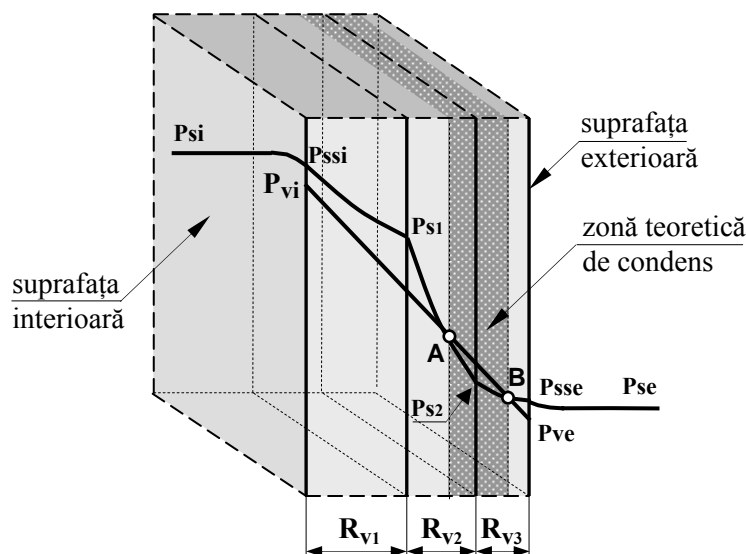


Fig. 5.47. Verificarea la condens în interiorul elementelor

Pentru trasarea curbelor presiunilor se parcurg următoarele faze:

a. Se determină temperaturile la suprafața interioară și exterioară, precum și la limita dintre straturi, conform metodologiei cunoscute din calculul termic:

$$T_x = T_i - \frac{R_x}{R_o}(T_i - T_e) \quad (5.98)$$

unde: T_i, T_e – temperatura aerului interior, respectiv exterior ($^{\circ}\text{C}$);

R_x – rezistența termică a zonei situate între suprafața interioară a elementului și un plan aflat la distanța „x” de aceasta ($\text{m}^2\text{ }^{\circ}\text{C/W}$);

R_o – rezistența termică totală a elementului ($\text{m}^2\text{ }^{\circ}\text{C/W}$).

b. Se calculează rezistențele la trecerea vaporilor pentru fiecare strat „j” al elementului, utilizându-se relația (5.95):

$$R_{vj} = d_j \cdot \mu_{Dj} \cdot M \quad (5.99)$$

c. Se stabilesc presiunile de saturație ale vaporilor în aerul interior și exterior (p_{si}, p_{se}) și la suprafața fiecărui strat ($p_{ssi}, p_{s1}, p_{s2}, p_{sse}$) folosind tabelele și relațiile din normativ, funcție de valorile temperaturii (calculate la punctul a), de valorile rezistențelor termice ale straturilor și de zona climatică:

$$p_{sk} = p_{sk,m} + z \left(\sum_{j=1}^k \frac{R_{j-1,j}}{R} \right)^2 \quad (5.100)$$

unde: p_{sk} – presiunile corectate de saturație ale vaporilor de apă la limitele dintre straturile elementului (Pa);

$p_{sk,m}$ – presiunile de saturație ale vaporilor de apă funcție de temperatura T_k , conform tabelului corespunzător din normativ (Pa);

z – coeficient de corecție funcție de zona climatică în care este situată clădirea din care face parte elementul calculat;

$R_{j-1,j}$ – rezistența termică unidirecțională a stratului dintre suprafețele $j-1$ și j ($m^2 \cdot ^\circ C/W$);

$\sum_{j=1}^k R_{j-1,j}$ – suma rezistențelor $R_{j-1,j}$ ale straturilor elementului de construcție, dintre suprafața interioară și suprafața „k” ($m^2 \cdot ^\circ C/W$);

R – rezistența termică unidirecțională totală a elementului ($m^2 \cdot ^\circ C/W$).

Deoarece curba presiunii de saturație are o variație neliniară, sub forma unor arce de parabolă aplatizate, este necesar ca valorile acestora să fie calculate și în puncte intermediare pe grosimea fiecărui strat (cel mai simplu într-un singur punct, în centrul stratului).

d. Se determină presiunile parțiale ale aerului interior p_{vi} și exterior p_{ve} , folosind relația (5.92):

$$p_{vi} = \frac{p_{si} \varphi_i}{100}; \quad p_{ve} = \frac{p_{se} \varphi_e}{100} \quad (5.101)$$

unde: p_{si} , p_{se} – presiunea de saturație a aerului interior, respectiv exterior (Pa);

φ_i , φ_e – umiditatea relativă a aerului interior, respectiv exterior (%).

e. Se reprezintă grafic elementul considerat (Fig. 5.47). Este recomandabil ca desenul să se facă la scara rezistențelor la permeabilitatea vaporilor (nu la scară geometrică). În acest mod presiunea parțială are o variație liniară pe

întreaga grosime a elementului, chiar dacă acesta este alcătuit din mai multe straturi cu caracteristici diferite, și astfel calculul presiunilor parțiale va fi necesar doar la suprafața interioară și exterioară. Dacă se lucrează la scară geometrică, presiunile parțiale se vor determina cu ajutorul relației (5.97) și la limita dintre straturile elementului.

f. Se reprezintă grafic, pe baza valorile calculate la punctele c și d, presiunea parțială și presiunea de saturație și se verifică dacă cele doua grafice se intersectează sau nu (există sau nu există posibilitatea de apariție a condensului).

În cazul în care curbele se intersectează, fâșia definită de cele două puncte de intersecție A și B (Fig. 5.47) constituie zona de condens din interiorul elementului. Aceasta este considerată ca fiind o zonă teoretică, întrucât curba presiunilor parțiale pe segmentul AB nu are sens fizic (presiunea parțială nu poate depăși presiunea de saturație). Pentru determinarea grafică a zonei reale de condens se duc tangente la curba presiunilor de saturație (Fig. 5.48), conform metodologiei propuse de Glaser, zona reală de condens rezultând mai restrânsă.

În situația apariției condensului este necesară determinarea temperaturii aerului exterior $T_{e\text{cond}}$ de la care începe fenomenul de condens. Calculul se realizează prin încercări, adoptând pentru temperatura exterioară valori din ce în ce mai mici, până când curba presiunilor parțiale devine tangentă la curba presiunilor (necorectate) de saturație. Funcție de temperatura $T_{e\text{cond}}$ astfel determinată, se adoptă din standard durata N_w (în ore) a perioadei de condensare, precum și temperatura exterioară medie T_{es} pe această durată. Cu aceste date se trasează noile grafice ale presiunii parțiale p_v și presiunii de saturație p_s , considerându-se T_{es} ca temperatură exterioară.

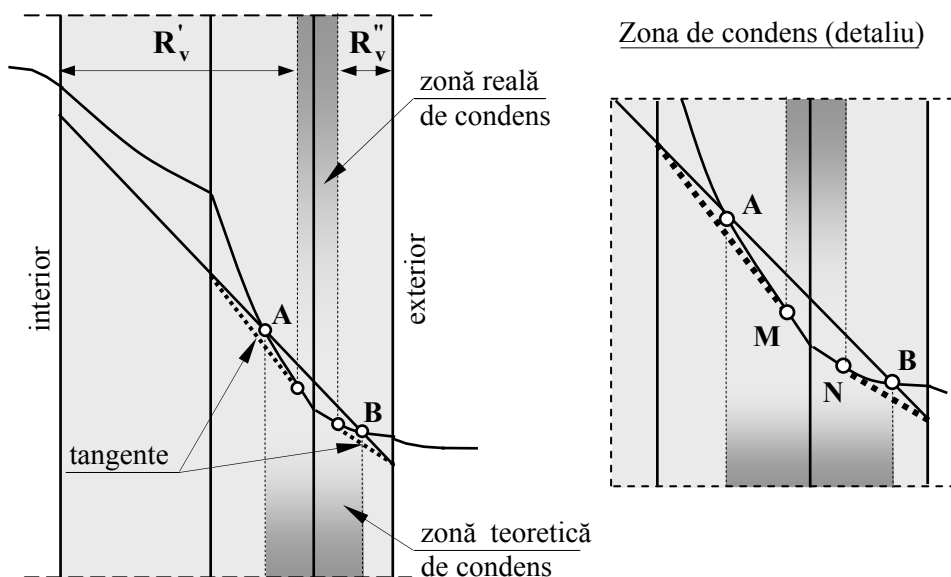


Fig. 5.48. Determinarea grafică a zonei reale de condens

Cu ajutorul valorilor astfel determinate, conform normativelor în vigoare trebuie efectuate următoarele verificări:

a. Se calculează cantitatea totală de vapori de apă m_w ce se poate acumula în element în perioada de iarnă:

$$m_w = 3600 \left(\frac{p_{vi} - p_{sM}}{R'_v} - \frac{p_{sN} - p_{ve}}{R''_v} \right) N_w \quad (5.102)$$

unde: m_w – cantitatea de apă condensată (Kg/m^2);

p_{vi}, p_{ve} – presiunile parțiale ale vaporilor din aerul interior/exterior (Pa);

p_{sM}, p_{sN} – presiunile de saturație (egale cu cele parțiale) ale vaporilor, pe suprafețele zonei de condens (corespunzătoare punctelor M și N, Fig. 5.48) (Pa);

R'_v, R''_v – rezistențele la permeabilitatea vaporilor ale zonelor elementului cuprinse între suprafața sa interioară și frontiera verticală din stânga zonei de condens, respectiv între frontiera verticală din dreapta zonei de condens și suprafața exterioară a elementului, cf. Fig. 5.48 ($\text{m}^2 \cdot \text{h} \cdot \text{Pa/g}$);

N_w – numărul de ore al perioadei în care are loc fenomenul de condensare (h).

b. Se determină cantitatea totală de vapori de apă m_v ce s-ar putea evapora din element în perioada de vară:

$$m_v = 3600 \left(\frac{p_{vi} - p_{sM}}{R'_v} - \frac{p_{sN} - p_{ve}}{R''_v} \right) N_v \quad (5.103)$$

unde: m_v – cantitatea de apă evaporată (Kg/m^2);

N_v – numărul de ore al perioadei în care are loc fenomenul de evaporare (h).

Calculul se efectuează cu o valoare a temperaturii exterioare T'_{es} , determinată în mod analog ca temperatura T_{es} .

c. Se verifică acumularea progresivă de apă în interiorul elementului, de la un an la altul, datorită fenomenului de condens. Cantitatea de apă m_w provenită din condensarea vaporilor în perioada rece a anului trebuie să fie mai mică decât cantitatea de apă m_v care se poate evapora în perioada caldă, ceea ce implică verificarea relației:

$$m_w < m_v \quad (5.104)$$

d. În afară de satisfacerea condiției (5.104), este necesar ca nivelul de umezire al materialului în care are loc condensul să fie suficient de redus, pentru a nu afecta semnificativ caracteristicile sale termofizice și mecanice.

Astfel, creșterea umidității ΔW la sfârșitul perioadei de condensare nu trebuie să depășească valorile maxime admisibile ΔW_{adm} prevăzute în normativ, funcție de caracteristicile higrotermice ale materialelor din zona de condens:

$$\Delta W = \frac{100 m_w}{\rho d_w} \leq \Delta W_{\text{adm}} \quad (5.105)$$

unde: ρ – densitatea materialului în care s-a produs condensul (Kg/m^3);

d_w – grosimea zonei în care se acumulează umiditatea (m).

În afară de metodologia de calcul prezentată mai sus, pentru prevenirea fenomenelor de condens este necesară respectarea unor reguli de alcătuire a elementelor și de exploatare a clădirii, cele mai importante fiind:

- asigurarea unei ventilări naturale corespunzătoare a spațiilor interioare, în special a acelor unde au loc degajări importante de vapori (băi, bucătării etc.), prin prevederea canalelor de ventilare și a unor grile de aerisire la geamuri;
- asigurarea unui regim corect de încălzire în perioada rece a anului, prin asigurarea temperaturii aerului interior la valoarea de minim 20°C și a temperaturii pe suprafețele interioare ale elementelor anvelopei clădirii la valori superioare punctului de rouă;
- folosirea unor bariere de vapori, dispuse de regulă pe fața caldă a stratului de termoizolație;
- limitarea punților termice și corectarea celor ce nu pot fi evitate, și/sau folosirea elementelor de construcții prevăzute cu strat de aer ventilat.

Capitolul 6

Noțiuni de acustica construcțiilor

6.1. Generalități

Sunetele sunt vibrații transmise printr-un mediu elastic sub formă de unde. Pentru anumite valori ale intensității și frecvenței sunetele sunt percepute de urechea omenească, producând senzații auditive.

Sunetele pot fi simple sau complexe. Sunetele supărătoare, indiferent de natura lor, reprezintă zgomote. Acestea au o influență dăunătoare asupra sistemului nervos, provocând o stare de oboseală. Din acest motiv izolările fonice sunt necesare, atât la clădirile civile cât și la cele industriale, pentru a opri răspândirea zgomotelor ce se produc în interiorul și în exteriorul construcțiilor.

Problemele specifice acusticii construcțiilor sunt:

- a. protecția împotriva zgomotelor și vibrațiilor; această categorie de probleme se poate rezolva prin:
 - reducerea intensității zgomotelor la sursă;

- atenuarea zgomotelor la trecerea prin elementele de închidere (izolații fonice).

b. asigurarea condițiilor optime de audiție în săli, prin următoarele măsuri:

- tratamente acustice absorbante, pentru a reduce reflexia necontrolată a sunetelor și efectele sale negative;
- dirijarea convenabilă a sunetelor utile, pe baza reflexiei controlate.

Realizarea unor clădiri corespunzătoare din punct de vedere acustic impune necesitatea cunoașterii modului de propagare și de percepere a sunetelor și zgomotelor și, pe de altă parte, analiza proprietăților acustice ale materialelor și elementelor componente ale clădirilor.

Sunetele se pot propaga prin aer, în care caz se numesc sunete sau zgomote aeriene, sau prin medii solide (elemente de construcții), fiind numite sunete sau zgomote structurale.

Zgomotele produse de lovituri se numesc zgomote de impact și se transmit atât prin structură (elemente) cât și prin aer.

Sunetele pot fi studiate și apreciate sub două aspecte:

a) Fenomen fizic (obiectiv), produs prin vibrația mecanică a corpurilor solide și fluide. În acest caz sunetele sunt caracterizate prin mărimi specifice oscilațiilor (undelor): amplitudine, perioadă, lungime de undă, frecvență, pulsație, precum și prin mărimi energetice: energie sonoră, presiune sonoră, intensitate sonoră etc.

b) Fenomen fiziologic (subiectiv), prin care se înțelege senzația percepută de organele auditive. În această situație sunetele se caracterizează prin: înălțime, timbru, nivel de tărie sonoră.

6.2. Sunetul ca fenomen fizic

6.2.1. Unde acustice

Sunetul este o formă de energie și este produs de vibrația corpurilor, transmisă prin aer și recepționată în final de ureche. Oscilațiile ce se propagă în spațiu formează o undă, sub formă de comprimări și dilatări succesive ale mediului de propagare (Fig. 6.1). Particulele mediului nu se deplasează odată cu unda elastică, ci efectuează o mișcare alternativă în jurul poziției lor de echilibru, mijlocind transferul vibrațiilor, dar fără a se deplasa odată cu acestea.

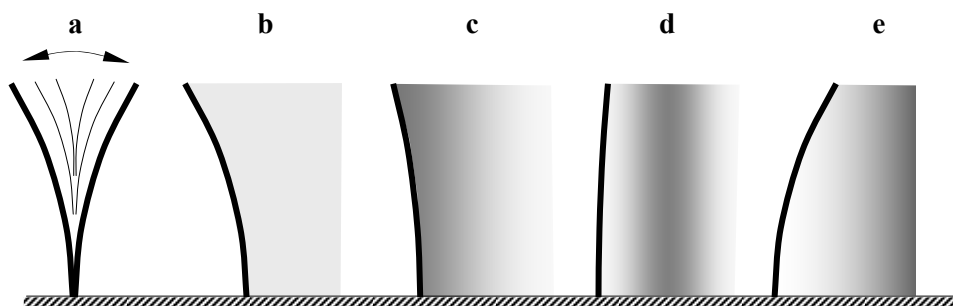


Fig. 6.1. Transmiterea prin aer a undelor sonore
a. vibrația unei lame elastice;
b, c, d, e. faze de comprimare și destindere ale aerului

Modul de propagare al undelor depinde de natura mediului. În fluide (lichide și gaze) apar numai unde longitudinale, pe când în solide pot să apară atât unde longitudinale cât și unde transversale.

Caracteristicile de bază ale undelor sonore sunt enumerate și descrise pe scurt în cele ce urmează.

a. Viteza de propagare (c)

Reprezintă lungimea parcursă de unda acustică într-un mediu elastic, în unitatea de timp. Determinarea vitezei undelor se poate efectua cu ajutorul formulei lui Newton:

$$c = \sqrt{\frac{E}{\rho}} \quad (6.1)$$

unde: E – modulul de elasticitate al mediului de propagare (N/m²);

ρ – densitatea mediului (Kg/m³).

Expresia (6.1) capătă forme diferite, funcție de mediul prin care are loc transmisia sonoră (solid, lichid sau gazos). În Tabelul 6.1 sunt prezentate valorile vitezei sunetelor în diverse medii.

Tabel 6.1.

Nr. crt.	Mediul de transmisie a sunetelor	Densitate (Kg/m ³)	Viteza sunetului (m/s)
1	Aer (la 20°C)	1.2	344
2	Apă	1000	1450
3	Oțel	7850	5100
4	Aluminiu	2600	5104
5	Beton	2200	4000
6	Lemn de brad	510	4700
7	Zidărie cărămidă plină	1800	4000
8	Sticlă	2400	6000
9	Cauciuc	1000...2000	40...200
10	Plută	250	500

După cum se poate remarca din tabel, materialele compacte (oțel, beton, sticlă) permit o bună propagare a sunetelor, pe când materialele mai puțin compacte și mai ușoare (cauciuc, plută) se opun trecerii sunetelor.

b. Lungimea de undă (λ)

Reprezintă distanța dintre două puncte succesive în care au loc concomitent comprimări sau dilatări ale mediului elastic prin care se transmit undele sonore, și se măsoară în unități de lungime. Pentru sunete lungimea de undă este cuprinsă în intervalul $\lambda = 0,03 \dots 20$ m.

c. Frecvența de oscilație (f)

Este definită de numărul de vibrații (oscilații) pe secundă și se măsoară în Hz (Hertz) sau 1/s ($1 \text{ Hz} = 1$ perioadă pe secundă). Urechea omenească poate percepe sunetele din intervalul de frecvență $f = 16 \dots 20\,000$ Hz. Vibrațiile cu frecvența sub 20 Hz se numesc infrasunete, iar cele cu frecvența mai mare de 20 000 Hz ultrasunete. În construcții interesează în special intervalul de frecvență 100...6400 Hz.

d. Perioada de oscilație (T)

Timpul în care se efectuează o oscilație completă, măsurat în secunde, poartă numele de perioadă de oscilație.

Între viteza de propagare, lungimea de undă, frecvența de oscilație și perioada de oscilație ce caracterizează undele sonore, există următoarele relații:

$$f = \frac{1}{T}; \quad c = f \cdot \lambda; \quad \lambda = c \cdot T \quad (6.2)$$

6.2.2. Caracteristici de bază ale sunetului

a. Presiunea acustică

Deoarece vibrația unui corp provoacă dilatări și contractări ale mediului fluid învecinat (de exemplu aerul), rezultă o variație de presiune, aceasta având valori mai mari în cazul comprimării particulelor, sau mai mici în cazul rarefierii (Fig. 6.2).

Pentru măsurarea presiunii sonore se folosește unitatea de presiune sonoră numită „bar”, definită prin: $1 \text{ bar} = 10^5 \text{ N/m}^2 = 10^5 \text{ Pa}$. De exemplu, șoapta creează în aer la distanța de 1 m o presiune sonoră de 0.01 bari, strigătul 10 bari iar un motor de avion cca. 200 bari.

b. Intensitatea acustică

Datorită propagării undelor acustice, într-un mediu elastic se transmite o anumită energie. Cantitatea de energie acustică ce cade în unitatea de timp pe o suprafață se numește flux de energie acustică.

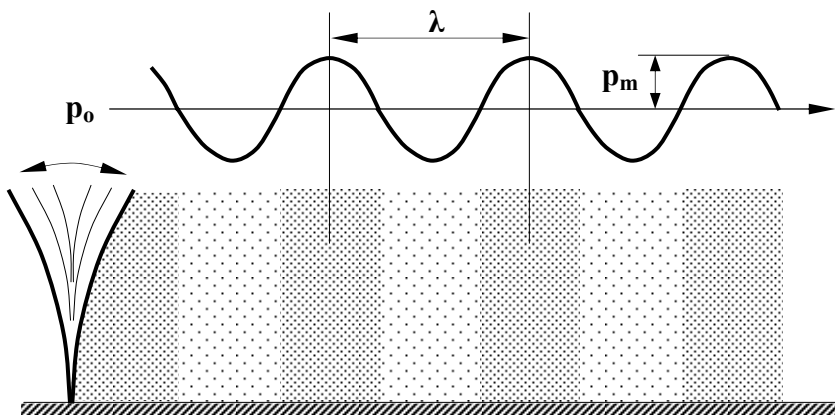


Fig. 6.2. Presiunea undei sonore
 p_0 – presiunea statică (atmosferică); p_m – presiunea maximă

Prin intensitate acustică se înțelege fluxul de energie sonoră ce cade pe unitatea de suprafață:

$$I = \frac{\Phi}{S} \quad (6.3)$$

unde: I – intensitatea acustică (W/m^2);

Φ – flux de energie acustică (W);

S – suprafața supusă acțiunii sonore (m^2).

Intensitatea acustică poate fi definită și ca produs între energia acustică W și viteza sunetului c :

$$I = W \cdot c = \frac{p^2}{\rho \cdot c} \quad (6.4)$$

unde: W – energia acustică (J sau Ws);

c – viteza sunetului (m/s);

p – presiunea efectivă a sunetului, definită ca medie pătratică a presiunii acustice instantanee în intervalul unei perioade, pentru un punct al mediului (Pa sau N/m^2);

ρ – densitatea mediului (Kg/m^3).

c. Nivelul de intensitate sonoră

Cel mai slab sunet care poate fi perceput de om, la frecvență de 1000 Hz, are intensitatea acustică $I_0 = 10^{-12} \text{ W/m}^2$. Pe de altă parte, s-a constatat experimental că senzația auditivă crește cu logaritmul excitației. Datorită acestui fapt și pentru a evita dificultățile practice legate de folosirea unor numere foarte mici ($10^{-12} \dots 10^0$), pentru caracterizarea comodă a nivelului

acustic se utilizează o scară logaritmică, raportată la o intensitate de referință, conform relației:

$$L_i = \log I - \log I_0 = \log \frac{I}{I_0} \quad (6.5)$$

unde: L_i – nivelul intensității sonore (Beli);

I – intensitatea acustică (W/m^2);

I_0 – intensitatea acustică de referință (W/m^2); reprezintă, prin definiție, pragul inferior al intensității auditive ce poate fi percepută de om, la frecvența de 1000 Hz;

\log – logaritmul în baza 10.

Subunitatea curent folosită în calcule și măsurători este decibelul (notat dB), în care caz relația (6.5) devine:

$$L_i = 10 \cdot \log \frac{I}{I_0} \quad (6.6)$$

Nivelul (pragul) minim al intensității sonore ce poate fi percepută de om este:

$$L_i = 10 \cdot \log \frac{I}{I_0} = 10 \cdot \log \frac{I_0}{I_0} = 10 \cdot \log 1 = 0 \text{ dB} \quad (6.7)$$

Nivelul (pragul) maxim, ce corespunde intensității sonore $I_{\max} = 1 \text{ W/m}^2$ (perceput ca debut al unei senzații dureroase), are valoarea:

$$L_i = 10 \cdot \log \frac{I_{\max}}{I_0} = 10 \cdot \log \frac{1}{10^{-12}} = 10 \cdot \log 10^{12} = 10 \cdot 12 \cdot \log 10 = 120 \text{ dB} \quad (6.8)$$

d. Nivelul de presiune sonoră

Deoarece presiunea acustică, spre deosebire de intensitatea sunetului, este măsurabilă, se definește noțiunea de nivel de presiune sonoră cu ajutorul relației:

$$L_p = 10 \cdot \log \left(\frac{p}{p_0} \right)^2 = 20 \cdot \log \frac{p}{p_0} \quad (6.9)$$

unde: p – presiunea acustică (Pa sau N/m^2);

p_0 – presiunea de referință, corespunzătoare pragului inferior de audibilitate la frecvența de 1000 Hz ($p_0 = 2 \cdot 10^{-5} N/m^2$).

6.3. Sunetul ca fenomen fiziologic

Sursele sonore determină oscilații care, între anumite limite, pot fi percepute prin intermediul organelor auditive, producând o anumită senzație auditivă. Cunoașterea mecanismului auditiv, a raportului între excitația fizică și percepția fiziologică, sunt probleme importante nu numai în medicină, dar și în ingineria construcțiilor. Studiarea acestor probleme a permis stabilirea unor metode de măsurarea a zgomotului, a unor niveluri admisibile, a unor criterii de comportare a sălilor etc.

Principalele caracteristicile ale sunetului, privit ca fenomen fiziologic, sunt :

a. Înălțimea sunetului

Sunetele produse de un număr mic de vibrații, adică cele cu frecvență mică, se numesc sunete joase, iar cele produse de un număr mare de vibrații se numesc sunete înalte. Înălțimea sunetului este o caracteristică a senzației auditive prin care pot fi diferențiate sunetele joase de cele înalte, în raport

cu frecvența oscilațiilor care le-au produs. Experimental s-a arătat că înălțimea nu este funcție numai de frecvență, ci și de nivelul presiunii sonore, deoarece sensibilitatea organului auditiv la variația înălțimii sunetului descrește odată cu scăderea nivelului de intensitate sonoră.

b. Tăria sunetului

Este o însușirea a senzației auditive, datorită căreia sunetele sunt percepute ca fiind slabe sau puternice. O mărime des utilizată este nivelul de intensitate auditivă (L_a), ce constituie corespondentul auditiv al nivelului de intensitate sonoră, și se definește conform relației:

$$L_a = 10 \cdot \log \frac{I_a}{I_{a,0}} = 20 \cdot \log \frac{p_a}{p_{a,0}} \quad (6.10)$$

unde: I_a , p_a – intensitatea, respectiv presiunea auditivă a sunetului;

$I_{a,0}$, $p_{a,0}$ – intensitatea, respectiv presiunea auditivă de referință.

Unitatea de măsură a nivelului de intensitate auditivă este fonul, ce reprezintă nivelul de tărie a sunetului etalon cu frecvența de 1000 Hz, a cărui presiune acustică este egală cu presiunea de prag (presiunea acustică minimă, pentru o frecvență dată, care produce o senzație auditivă perceptibilă de către om: $p_{a,0} = 2 \cdot 10^{-5} \text{ N/m}^2$).

Pentru sunetele cu frecvența de 1000 Hz valoarea nivelului intensității sonore, exprimate în dB și valoarea intensității auditive, exprimate în foni, sunt egale, având același nivel de referință. În practică, se poate considera acceptabilă aproximația echivalenței între dB și fon, în domeniul de frecvențe audibile. În Tabelul 6.2 sunt centralizate valori ale nivelului de intensitate auditivă, în situații mai des întâlnite.

Tabel 6.2.

Nr. crt.	Condiții practice	L_a (foni)
1	Foșnetul frunzelor	10
2	Stradă liniștită, cu locuințe	30
3	Stradă cu circulație moderată	60
4	Birou de copiat acte cu mașini de scris	70
5	Discotecă	110
6	Motor avion, la distanță de cca. 5 m	120
7	Turboreactoare	170

c. Timbrul

În raport cu frecvența, un sunet poate fi pur sau complex. Sunetul pur este produs de o vibrație armonică (vibrație ce poate fi reprezentată prin funcții trigonometrice simple, sinusoidale sau apropiate de o sinusoidă), pe o singură frecvență. Sunetul complex conține un anumit număr de sunete pure: un sunet fundamental, cu frecvența cea mai joasă, și o serie de sunete cu frecvență superioară celei fundamentale.

Sunetele muzicale sunt sunete complexe la care frecvențele componentelor sunt multiplii întregi ai frecvenței fundamentale. Dacă această regulă nu este respectată, sunetul respectiv poartă denumirea de zgomot.

Caracteristica prin care se pot deosebi două sunete cu aceeași frecvență fundamentală, dar cu număr de armonice diferite, poartă numele de timbru.

În concluzie, după senzația auditivă pe care o produc, sunetele se împart în: sunete pure, sunete muzicale și zgomote.

6.4. Absorbția acustică. Reverberația

6.4.1. Absorbția acustică

Când undele acustice întâlnesc un obstacol suferă modificări ale direcției de propagare și ale caracteristicilor energetice. Astfel, o parte din energia sonoră se reflectă (E_r), o parte este absorbită de element (E_a) și o parte (E_t) se transmite prin element în spațiile învecinate:

$$E = E_r + E_a + E_t \quad (6.11)$$

Raportul dintre energia acustică absorbită și cea incidentă se numește coeficient de absorbție, ce variază funcție de natura materialului și de frecvența sunetului:

$$\alpha_a = \frac{E_a}{E} \quad (6.12)$$

Coeficientul de absorbție pentru materialele de construcții compacte (oțel, beton, cărămidă, lemn) are valori mici, de cca. 0,02...0,08, deoarece în aceste cazuri energia acustică reflectată este mare. Materialele poroase (vată minerală, pâslă, plută) au proprietăți bune de absorbție a sunetului ($\alpha_a = 0,2...0,8$).

Absorbția acustică a unei încăperi se determină cu relația:

$$A = \sum \alpha_i S_i \quad (6.13)$$

unde: α_i – coeficientul de absorbție al materialului suprafeței S_i ;

S_i – suprafața elementului de construcție „i”, sau a obiectelor din încăpere (m^2).

6.4.2. Reverberația

Un sunet emis într-o încăpere suferă numeroase reflexii pe suprafețele elementelor limitatoare și a obiectelor din interior, rezultând o suprapunere a undelor reflectate care determină întărirea și prelungirea sunetului după încetarea emisiei. Acest fenomen poartă numele de reverberație. Reverberația este mai evidentă în încăperile mari și intervine nefavorabil asupra calităților audiției.

Reverberația reprezintă amortizarea energiei acustice într-o încăpere închisă, concretizată prin prelungirea sunetului după încetarea emisiei sursei. Durata de reverberație este prin definiție (convenție) intervalul de timp în care nivelul acustic într-o încăpere scade cu 60 dB după încetarea sursei sonore.

6.5. Determinarea caracteristicilor de izolare acustică

6.5.1. Zgomote aeriene

a) Determinarea prin calcul a indicelui de izolare acustică

Elementele de construcție cu rol de închidere sau cele de compartimentare trebuie să asigure o atenuare corespunzătoare a zgomotelor transmise prin aer din exterior sau din încăperile învecinate, astfel încât nivelul de zgomot efectiv dintr-o încăpere să nu depășească un anumit nivel admisibil. În acest scop este necesar ca gradul (sau indicele) de izolare acustică efectiv (R_{aef}) al elementului să fie mai mare sau cel puțin egal cu gradul de izolare necesar (R_{an}), stabilit funcție de nivelul teoretic al zgomotului perturbator (L_t) și nivelul admisibil (L_{ad}) corespunzător cerințelor de confort acustic:

$$R_{\text{aef}} \geq R_{\text{an}}; \quad R_{\text{an}} = L_t - L_{\text{ad}} \quad (6.14)$$

Indicele efectiv de izolare acustică a unui element se poate determina pe cale analitică, cu ajutorul unor relații simplificate care țin seama de variația logaritmică a gradului de izolare acustică cu masa elementului (legea masei). Pentru un perete monostrat se poate utiliza o relație de forma:

$$R_{\text{aef}} = k_1 \log m + k_2 \quad (6.15)$$

unde: m – masa elementului (Kg);

k_1, k_2 – coeficienți funcție de masa elementului și de structura peretelui.

Pentru un perete alcătuit din două straturi între care există o lamelă de aer:

$$R_{\text{aef}} = k_1 \log(m_1 + m_2) + k_2 + \Delta R \quad (6.16)$$

unde: m_1, m_2 – masele celor două straturi (Kg);

ΔR – sporul de izolare al stratului de aer (dB).

Pentru evaluarea gradului real de izolare acustică trebuie să se ia în considerare și absorbția din camera studiată:

$$R'_{\text{aef}} = R_{\text{aef}} + 10 \cdot \log \frac{A}{S} \quad (6.17)$$

unde: A – absorbția acustică totală a încăperii;

S – suprafața interioară a elementelor de construcție ale încăperii.

Valorile indicilor de izolare acustică determinați cu relațiile (6.15)...(6.17) se consideră valori medii pentru frecvența de 500 Hz, ce reprezintă media geometrică a frecvențelor de 50 și 5000 Hz.

În concluzie, îmbunătățirea gradului de izolare acustică la zgomot aerian al elementelor se poate face pe baza creșterii masei, fie prin majorarea grosimii fie prin adoptarea unor materiale cu densitate mai mare.

b) Determinarea experimentală a indicelui de izolare acustică

Se realizează în stația acustică, alcătuită din două încăperi alăturate, una de emisie și cealaltă de recepție, elementul analizat fiind montat în golul dintre acestea (Fig. 6.3). Indicele efectiv de izolare acustică a elementului testat se determină cu relația:

$$R'_{\text{aef}} = L_1 - L_2 + 10 \cdot \log \frac{S}{A} \quad (6.18)$$

unde: L_1 , L_2 – nivelurile de zgomot măsurate în camera de emisie, respectiv de recepție (dB);

S – suprafața elementului analizat (m^2);

A – suprafața de absorbție echivalentă a camerei de recepție (m^2).

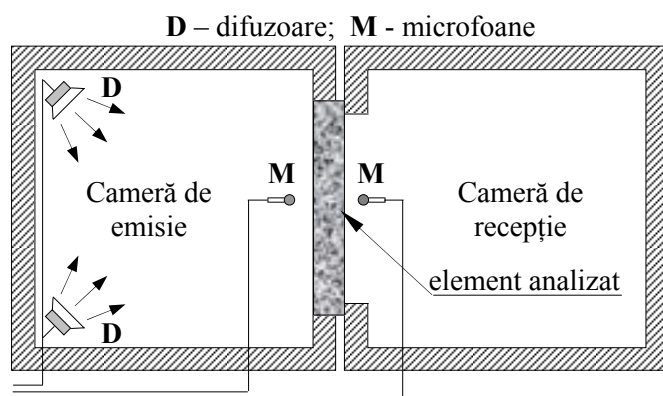


Fig. 6.3. Analiza experimentală a zgomotelor aeriene

Suprafața de absorbție echivalentă se determină prin măsurători, folosind relația:

$$A = 0,163 \frac{V}{T} \quad (6.19)$$

unde: V – volumul camerei de recepție (m^3);

T – durata de reverberație (s).

6.5.2. Zgomote de impact

Zgomotele de impact sunt produse prin acțiunea directă (prin șoc) asupra elementelor de construcții și, la clădirile obișnuite, apar în special datorită circulației în încăperi, a deplasării mobilierului, a unor lovituri pe planșee etc.

Datorită impactului, elementul de construcție intră în vibrație, transformând o parte din energia primită în energie acustică, pe care o transmite mediului sub formă de unde sonore.

Din punct de vedere practic interesează în primul rând caracteristicile de izolare la zgomot de impact ale complexului planșeu-pardoseală.

Gradul de izolare la zgomot de impact al planșeelor este dificil de apreciat prin calcul, recurgându-se la mijloace experimentale prin utilizarea unui dispozitiv (ciocan) standardizat (Fig. 6.4).

Întrucât în camera de recepție se înregistrează, în afară de zgomotul direct transmis de elementul de planșeu analizat, și zgomotele reflectate, nivelul zgomotului de impact se determină folosind relația (6.20).

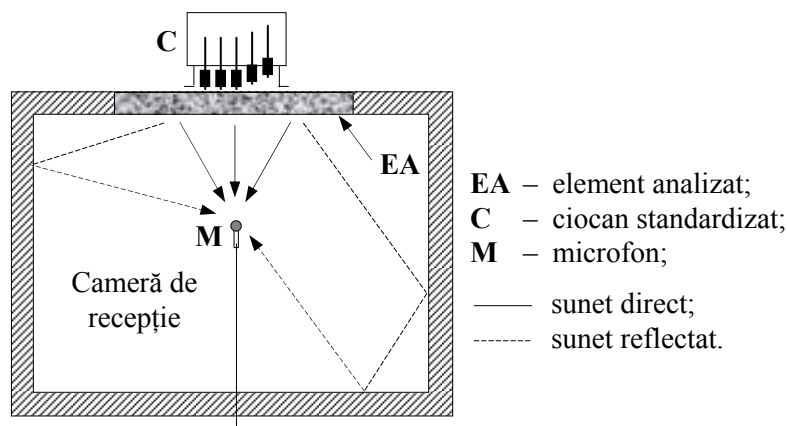


Fig. 6.4. Analiza experimentală a zgomotelor de impact

$$L_n = L - 10 \cdot \log \frac{A_0}{A} \quad (6.20)$$

(semnul minus se folosește datorită faptului că $\log(A_0/A) < 0$)

unde: L_n – nivelul normalizat al zgomotului de impact (dB);

L – nivelul zgomotului înregistrat în camera de recepție (dB);

A_0 – suprafața de absorbția acustică de referință ($A_0 = 10 \text{ m}^2$);

A – suprafața de absorbția acustică a camerei de recepție (m^2).

Rezultatele obținute cu ajutorul ciocanului standardizat trebuie interpretate cu atenție, întrucât spectrul zgomotului înregistrat (graficul de variație al nivelului zgomotului funcție de frecvență) diferă de cel rezultat în situațiile reale, atât ca mărime cât și ca distribuție pe frecvențe. Aceasta se datorează faptului că în clădiri zgomotele de impact se transmit și prin căile colaterale constituite de elementele de construcție aflate în legătură cu elementul pe care se produce șocul, căi ce sunt eliminate în cazul încercărilor în stația acustică.

Prezența pardoselii conduce la o creștere a gradului de izolare fonică a planșeului, atât la zgomote de impact cât și la cele aeriene, datorită amortizărilor locale ale oscilațiilor. Determinarea aportului pardoselii se face în stația acustică, utilizându-se relația:

$$\Delta L_n = L_{n,0} - L_{n,1} \quad (6.21)$$

unde: ΔL_n – aportul suplimentar de izolare fonică datorită pardoselii (dB);

$L_{n,0}$ – nivelul zgomotului măsurat la planșeul fără pardoseală (dB);

$L_{n,1}$ – nivelul zgomotului măsurat la planșeul cu pardoseală (dB).

6.6. Măsurile de atenuare a zgomotelor

6.6.1. Reducerea zgomotelor prin măsuri urbanistice

Zgomotele exterioare pot avea cauze dintre cele mai diverse: circulația vehiculelor și a pietonilor, funcționarea unor instalații, lucrări de întreținere, reparații sau amenajări etc.

a) Măsurile generale

În această categorie intră măsurile ce pot fi aplicate la scara unei întregi localități.

- Sistematizarea localității prin separarea zonelor de locuit de cele destinate agrementului și de zonele industriale. În acest context, sunt scoase din perimetrul zonei de locuit industriile poluante sau care necesită un volum mare de materii prime, deci un volum mare de transport.
- Efectuarea periodică și în condiții de calitate a lucrărilor de întreținere ale drumurilor. Arterele de circulație intensă, în special cele destinate

traficului greu, trebuie poziționate la periferia zonelor de locuit prin prevederea unor rute ocolitoare (șosele de centură).

- Utilizarea unor vehicule de transport în comun silențioase (tramvaie de ultimă generație, troleibuze etc.).

b) Măsuri locale

- Îndepărtarea clădirilor de sursele de zgomot prin retragerea acestora în raport cu arterele de circulație intensă. Dispunerea blocurilor perpendicular pe axul străzii poate diminua nivelul de zgomot.
- Când nu pot fi evitate arterele cu circulație mare, zona de locuințe se protejează cu clădiri–ecran, cu destinații care admit un nivel mai ridicat de zgomot (magazine, clădiri administrative etc.).
- Prevederea unor perdele de protecție, alcătuite din zone plantate dispuse între sursele de zgomot și zona locuită.
- Utilizarea unor ecrane–barieră de protecție acustică (de exemplu ecrane din beton armat), care creează o așa numită umbră acustică, în care nivelul zgomotelor este substanțial redus.
- Proiectarea corectă a apartamentelor, din punct de vedere al poluării sonore, prin amplasarea camerelor destinate activităților zilnice pe fațada expusă zgomotelor, iar a celor de odihnă pe fațada opusă.

6.6.2. Reducerea zgomotelor prin izolare acustică

a) Reducerea zgomotelor aeriene

Capacitatea de izolare acustică a elementelor (pereți, planșee) alcătuite dintr-un singur strat depinde de masa elementului și de frecvența sunetului, crescând proporțional cu logaritmul acestor mărimi. Pentru majoritatea

sunetele obișnuite, cu frecvențe mai mari decât frecvența proprie a elementului (care este foarte mică, de cca. 20...30 Hz), capacitatea de izolare este influențată numai de masă.

La o mărire substanțială a masei elementului, creșterea capacității de izolare acustică nu este prea mare, aceasta variind cu logaritmul masei. Practic, prin dublarea masei (deci și a costului materialelor), se câștigă un spor de izolare de numai 4...6 dB, sunetele înalte fiind mai bine atenuate decât cele joase, care au o putere de pătrundere mai mare.

O soluție alternativă, mai rațională, constă în folosirea unor pereți alcătuiți din două straturi paralele, fără legături rigide între acestea, ce au posibilitatea de a oscila independent sub acțiunea undelor sonore. Pot fi adoptate următoarele soluții:

- în cazul pereților grei este indicat ca între cele două straturi să nu se dispună nici un material (deoarece se creează o legătură între straturi), sporul de izolare acustică fiind de cca. 6...9 dB, funcție de grosimea stratului de aer (Fig. 6.5.a);
- la pereții cu greutate medie este posibil ca stratul de aer, ce are o frecvență proprie situată în zona sunetelor înalte, să intre în rezonanță. De aceea este indicat să se dispună un strat absorbant, din pâslă. Acest strat trebuie să fie în suspensie (fără legături cu cele două straturi ale peretelui de bază), sau fixat numai pe una dintre suprafețele interioare ale elementului (Fig. 6.5.b);
- pentru pereții despărțitori ușori spațiul dintre straturi trebuie umplut în întregime cu un material absorbant (Fig. 6.5.c).

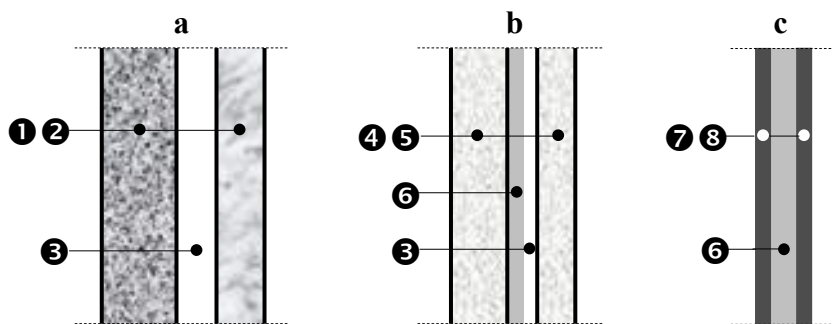


Fig. 6.5. Soluții de izolare fonică la zgomote aeriene
a. perete greu; **b.** perete cu greutate medie; **c.** perete ușor
1.2. materiale grele (beton); **3.** strat aer; **4.5.** materiale medii (zidărie);
6. pâslă minerală; **7.8.** materiale ușoare (din produse lemnoase)

În ceea ce privește planșeele, izolarea la zgomotele aeriene este asigurată datorită masei lor mari, de peste 350 Kg/m^2 , dacă placa din beton este de minim 13...15 cm grosime. Un grad superior al capacității de izolare se poate obține prin utilizarea tavanelor suspendate false, cu rol fonoabsorbant.

b) Reducerea zgomotelor de impact

Zgomotele de impact se produc prin lovirea directă a elementelor de construcții, în cadrul exploataării normale a clădirilor. Problema atenuării zgomotelor de impact se pune în special pentru complexul pardoseală–planșeu–tavan, la clădirile civile cu mai multe niveluri, unde astfel de zgomote au un caracter frecvent și condiționează confortul.

Pentru a se obține o calitate corespunzătoare a ansamblului planșeu-pardoseală, din punct de vedere al izolării la zgomot de impact, se recomandă asigurarea masei optime a planșeului, precum și atenuarea șocurilor cu ajutorul unor straturi absorbante prevăzute între pardoseală și placă. Pentru evitarea propagării zgomotului prin structură se evită contactul

direct dintre pardoseală și pereți, prin intermediul unor rosturi. În principiu, sunt posibile următoarele soluții:

- utilizarea unor pardoseli elastice (mochetă, mase plastice) dispuse pe o placă din beton cu grosime minimă de 13...15 cm (Fig. 6.6.a);
- adoptarea unui sistem de pardoseală cu dală flotantă, ce sprijină pe o placă din beton de grosime moderată, de cca. 10 cm (Fig. 6.6.b). Dala flotantă constă dintr-un strat superior de uzură dur (parchet), rezemat pe un suport rigid (din beton slab armat de cca. 4 cm, PFL sau PAL) care sprijină la rândul său pe un strat elastic (din polistiren, pâslă sau pudretă de cauciuc) ce amortizează vibrațiile din impact;
- soluțiile de mai sus pot fi încă îmbunătățite prin prevederea unui tavan fals, suspendat prin legături elastice (Fig. 6.6.c).

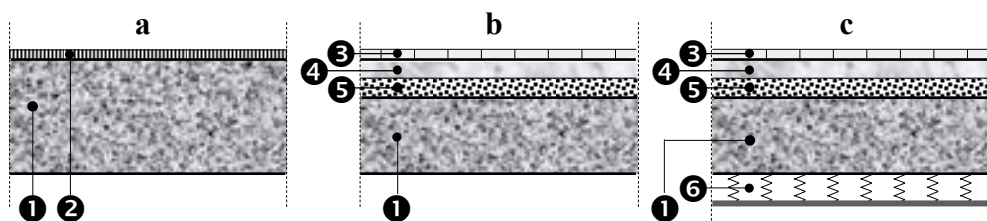


Fig. 6.6. Soluții de izolare fonică la zgomote de impact

a. planșeu masiv; **b.** dală flotantă; **c.** dală flotantă + tavan suspendat

1. placă beton; **2.** strat uzură elastic; **3.** strat uzură dur;

4. suport rigid; **5.** strat elastic; **6.** tavan suspendat

6.6.3. Tratamente acustice absorbante

În timp ce măsurile de izolare acustică au rolul de a proteja o încăpere împotriva zgomotelor provenite din afara acesteia, tratamentele absorbante sunt destinate atenuării unor sunete parazite emise din interiorul încăperii.

Reflexiile repetate ale sunetelor într-o încălț închisă conduc la o percepție amplificată a acestora, cu efecte adesea neplăcute din punct de vedere al confortului acustic. Pentru evitarea acestui fenomen se recurge la folosirea anumitor materiale și soluții constructive care determină o majorare a energiei sonore absorbite, în detrimentul celei reflectate. În raport cu mecanismul prin care se realizează disiparea energiei acustice, există mai multe tipuri de tratamente absorbante.

a) Absorbanti poroși

Transformă energia sonoră în căldură prin frecarea cauzată de vâscozitatea aerului din pori. Coeficientul de absorbție depinde de: porozitatea materialului, grosimea plăcii, distanța față de perete, frecvența sunetului.

Materialele ce pot fi folosite ca absorbanti poroși sunt: vata minerală, produse din vată minerală (saltele, fâșii, plăci plane pline sau perforate), plută expandată, PFL poros, îmbrăcăminti de catifea și pluș etc.

Tratamentele subțiri sunt eficiente în domeniul sunetelor înalte, iar cele groase în domeniul sunetelor medii și joase. Eficiența tratamentului crește dacă este poziționat la o anumită distanță față de perete. Prelucrarea suplimentară a materialului prin perforare, formare de adâncituri, rugozități etc., conduce la creșterea capacității de absorbție (favorizează pătrunderea undelor în material).

În Fig. 6.7 este prezentată o soluție de tratament fonoabsorbant realizat din plăci de pâslă minerală perforate.

b) Absorbanti cu placă oscilantă

Se bazează pe faptul că un panou aflat în calea undelor acustice vibrează, consumând o parte din energia acustică incidentă. Dacă frecvența undelor

sonore coincide cu cea a sistemului absorbant, se ajunge la fenomenul de rezonanță, absorbția acustică fiind maximă.

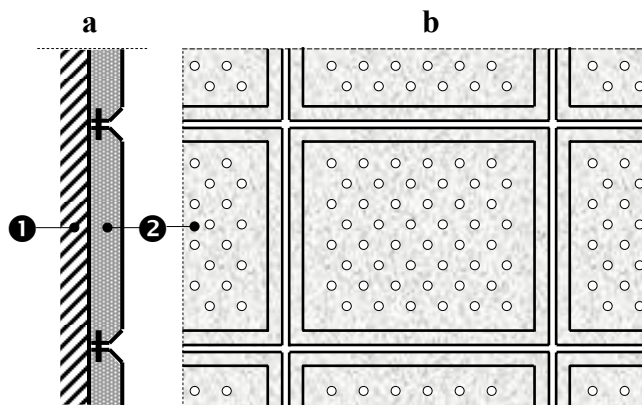


Fig. 6.7. Tratament cu absorbanți poroși
a. secțiune verticală; b. elevație; 1. perete; 2. plăci din pânslă

Tratamentele acustice absorbante de acest tip se pot realiza din panouri de placaj, carton, metal, sau din cadre de lemn prevăzute cu o pânză groasă și un material poros (vată de bumbac).

Absorbanții de tip placă se pot monta cu spațiu liber în spate (Fig. 6.8.a), sau cu pânslă (Fig. 6.8.b). De asemenea, se poate îmbunătăți capacitatea de absorbție prin compartimentarea spațiului din spatele panoului cu rigle și fâșii de pânslă sau vată (Fig. 6.8.c).

c) Absorbanți cu aer (rezonatori)

Deși oscilații cu aer se deosebesc din punct de vedere constructiv de cei descriși mai sus (pct. b), se bazează pe același tip de fenomen, numai că ecranul ce intră în vibrație este înlocuit cu un volum de aer.

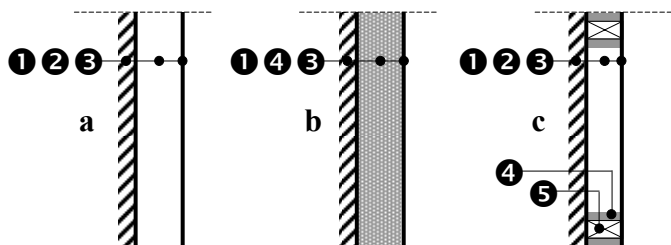


Fig. 6.8. Tratamente cu absorbantți cu placă oscilantă
 1. perete; 2. aer; 3. placă compactă (placaj); 4. pâslă afânată; 5. rigle din lemn

Principial, un astfel de sistem poate fi comparat cu o sticlă culcată, având gâtul liber sau umplut cu un material poros (Fig. 6.9.a). Sub acțiunea sunetului incident aerul din canalul rezonatorului execută mișcări de oscilație alternative, ca un piston și, datorită inerției și vâscozității, disipează energia sonoră. La rezonanță viteza aerului din canal devine foarte mare, dar dacă în gât se montează un material de absorbție acustică, prin frecare rezonatorul devine un absorbant sonor foarte eficient.

Cavitățile de rezonanță pot fi separate între ele prin despărțituri din scândură, și sunt acoperite cu un perete perforat unic din placaj, peste orificii pozându-se o pânză (Fig. 6.9.b).

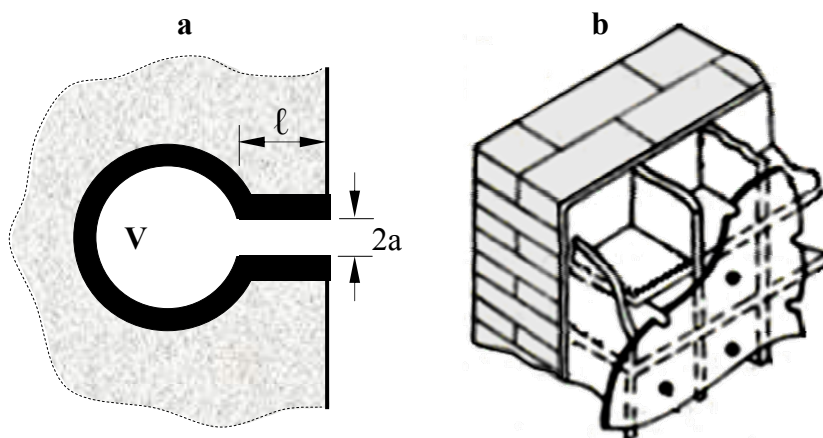


Fig. 6.9. Tratamente cu absorbantți cu aer
 a. rezonator Helmholtz; b. absorbant acustic cu aer la un perete din zidărie

6.7. Elemente de acustica sălilor

Sălile de spectacole și de conferințe (Fig. 6.10), în special cele de dimensiuni mari, ridică probleme complexe privind asigurarea unei bune audiții. Principal, rezolvarea acestor probleme se poate face prin: reducerea nivelului de zgomot prin absorbție, reducerea fenomenului de reflexie repetată a zgomotelor, dirijarea convenabilă a sunetelor utile printr-o formă geometrică corespunzătoare a sălii și a elementelor limitatoare etc.

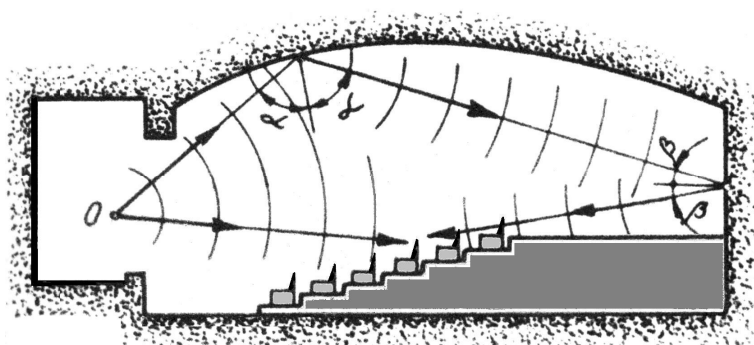


Fig. 6.10. Secțiune verticală printr-o sală. Propagarea sunetelor

6.7.1. Acustica geometrică

Condițiile de audibilitate ale unui ascultător care recepționează unde directe și unde reflectate (Fig. 6.10), variază în raport cu modul în care acesta recepționează cele două categorii de unde. Dacă acestea sunt decalate în timp cu mai mult de 0,05 s (diferența de drum a celor două tipuri de sunete este mai mare de cca. 17 m), ascultătorul le percepe în mod distinct, sub formă de ecou, ceea ce influențează în mod nefavorabil audiția.

Un fenomen asemănător se întâlnește la sălile cu două laturi paralele apropiate, când datorită reflexiilor multiple a undelor sonore în raport cu cele două suprafețe reflectante apare așa numitul ecou de fluturare.

Uneori, datorită geometriei suprafețelor delimitatoare, există tendința de concentrare a undelor sonore reflectate în anumite puncte numite focare, ceea ce micșorează calitățile acustice ale încăperii.

Întărirea sunetului direct prin sunete reflectate care să ajungă la ascultător în timp util, precum și evitarea ecourilor, a ecourilor de fluturare și a focarelor acustice se pot realiza printr-o dirijare judicioasă a undelor reflectate. Acest lucru implică efectuarea unui studiu asupra geometriei încăperii, în special asupra formei și dimensiunilor acesteia.

Astfel, folosind noțiunea de rază acustică, au fost puse bazele acusticii geometrice, analogă cu optica geometrică. Acest studiu se face în toate secțiunile caracteristice, mersul razelor acustice directe și reflectate fiind simulat atât în plan orizontal cât și vertical (Fig. 6.11).

Din analiza modului de distribuție al undelor acustice în secțiunile alese, rezultă forma geometrică ce trebuie adoptată pentru elementele principale ale sălii (tavan, pereți laterali, pardoseli), precum și modul de distribuție a suprafețelor reflectante și absorbante, pentru asigurarea unui câmp sonor cât mai uniform și pentru evitarea fenomenelor nedorite descrise mai sus.

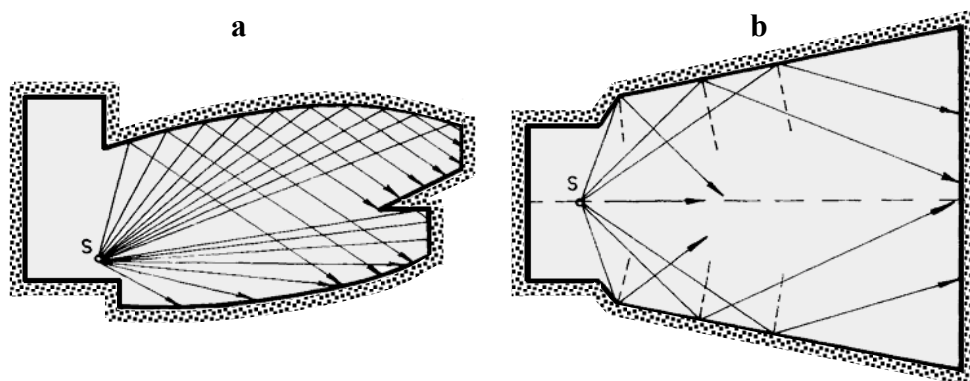


Fig. 6.11. Distribuția razelor acustice într-o sală de spectacole
a – secțiune verticală; b – secțiune orizontală

6.7.2. Absorbția acustică

Capacitatea de absorbție a materialelor depinde de frecvența sunetului incident. Unele materiale de construcție (vata minerală, păsă, tencuiala poroasă, ceramica poroasă etc.) absorb bine sunetele înalte (cu frecvență ridicată), pe când alte materiale prezintă capacitate ridicată de absorbție în domeniul frecvențelor joase.

Natura suprafețelor elementelor influențează în mare măsură capacitatea de absorbție a energiei sonore. Astfel, elementele cu suprafețe netede reflectă aproape integral sunetele, având deci absorbția sonoră foarte redusă.

Pentru o sală având suprafețele limitrofe S_i , tratate cu diferite materiale cu coeficient de absorbție α_i , capacitatea de absorbție se poate aprecia cu relația (6.13).

Mobilierul și alte obiecte aflate în sală, precum și persoanele, absorb de asemenea o parte din energia sonoră, fiind caracterizate prin diferite valori ale capacității de absorbție a_j , astfel că absorbția acustică totală a unei săli ocupate rezultă:

$$A = \sum_i \alpha_i \cdot S_i + \sum_j a_j \quad (6.22)$$

Absorbția acustică a materialelor și a obiectelor se determină pe cale experimentală, cu ajutorul tubului acustic sau în camere reverberante.

6.7.3. Reverberația

Caracterizarea reverberației unei săli se face prin durata sa de reverberație, noțiune ce a fost definită la pct. 6.4.2.

Durata de reverberație a unei încăperi se poate determina experimental prin măsurători, sau prin calcul cu ajutorul relației lui Sabine, funcție de volumul încăperii V și de absorbția totală A :

$$T = 0,163 \frac{V}{A} \quad (6.23)$$

Pentru asigurarea unei audiții corespunzătoare în săli este necesar ca durata de reverberație să prezinte o valoare optimă, care depinde de destinația sălii (conferințe, spectacole de teatru, concerte etc.), fiind cuprinsă între 0,5 și 4 secunde. Dacă durata de reverberație efectivă este mai mare decât durata optimă, sala devine răsunătoare, sunetele se aud prelungit și datorită suprapunerilor repetate sunt neclare. În situația inversă sunetele se aud seci, înfundate și slabe.

Efectele supărătoare datorate reverberației se pot evita alegând o formă adecvată a sălii (pereți neparaleli, tavan și pardoseală curbe etc.), iar reducerea nivelului de zgomot se poate asigura prin absorbție acustică, pe baza tratamentelor acustice absorbante.

6.7.4. Elemente de proiectare acustică a sălilor

Alegerea formei și dimensiunilor unei săli, precum și aplicarea unor tratamente acustice pe suprafețele delimitatoare trebuie să asigure condițiile unei bune audiții, în raport cu destinația sălii.

Proiectarea acustică a unei săli de audiție publică cuprinde mai multe etape:

- a. determinarea caracteristicilor generale, geometrice și acustice, ale sălii;
- b. stabilirea formei sălii (inclusiv scena);
- c. alegerea tratamentelor acustice și distribuția lor;

- d. dimensionarea elementelor delimitatoare în scopul asigurării protecției împotriva zgomotelor perturbatoare interioare sau exterioare.

Procesul de proiectare a unei săli este complex și cu atât mai laborios cu cât dimensiunile sălii sunt mai mari și forma mai complicată, fiind necesare atât etape de calcul cât și simulări pe calculator, determinări experimentale etc. În cadrul acestui proces trebuie ținut cont de următoarele principii constructive:

- pentru eliminarea ecoului se impune, în majoritatea cazurilor, tratarea absorbantă a peretelui ce delimitează spatele sălii și a porțiunilor de tavan orientate spre acesta;
- eliminarea paralelismului între suprafețe prin adoptarea unor săli cu formă trapezoidală în plan, prin înclinarea pereților laterali cu unghiuri ce variază între $5...15^\circ$ sau prin șicanarea acestora;
- suprafețele din fața scenei se tratează de regulă reflectant, pentru a dirija energia acustică spre mijlocul sălii, în special la sălile în care nu există o amplificare a sunetului prin mijloace electroacustice. O atenție deosebită trebuie acordată sălilor cu secțiune dreptunghiulară de lățime mare (≥ 20 m) la care, pentru evitarea ecoului în primele rânduri, se impune tratarea absorbantă a pereților laterali în apropierea scenei;
- panta pardoselii sălii rezultă în mod curent din construirea curbei optime de vizibilitate și de recepționare directă a undelor sonore, curbă formată dintr-un palier orizontal și o spirală logaritmică;
- tavanul poate avea un profil continuu cu o anumită curbură, sau o formă frântă, funcție de cerințele sălii. Acest ultim aspect este legat de asigurarea suprafețelor necesare absorbției și reflexiei sunetelor, de

realizarea unei înălțimi medii în raport cu volumul sălii, de mascarea instalației de iluminat, de amplasarea unor cabine de proiecție, precum și de considerente estetice;

- pentru înlăturarea focalizărilor acustice se vor evita suprafețele concave, atenția îndreptându-se spre cele plane și mai ales spre cele convexe. Ultimele constituie elemente difuzante de sunet, astfel încât câmpul sonor din interiorul sălii câștigă în uniformitate. La sălile mai vechi, bogat ornamentate, elementele difuzante se realizau sub formă de statuete sau diverse ornamentații, în timp ce la sălile moderne elementele difuzante se realizează sub formă de semisfere, semicilindri sau segmente de prismă.

Minidicționar tehnic de construcții

A

abatere admisibilă	diferența dintre dimensiunea limită (limita superioară sau inferioară admisă a dimensiunii efective a unui element de construcție) și dimensiunea efectivă de construcție
acoperiș terasă	acoperiș plat, fără pod, cu pante de scurgere ale apelor meteorice sub 7%, întâlnit frecvent la blocurile de locuințe
acclerația terenului pentru proiectare	valoarea maximă (de vârf) a accelerației orizontale a terenului, corespunzătoare unui interval mediu de recurență al magnitudinii seismice $IMR = 100$ ani
accelerogramă	reprezentarea grafică a variației valorilor accelerației terenului în timp pentru un anumit cutremur, pe o anumită direcție
acțiuni în construcții	orice cauze susceptibile de a determina solicitări mecanice ale elementelor de construcții
acțiuni cvasipermanente (aproape permanente)	acțiunile ce se manifestă cu intensități mari timp îndelungat sau foarte frecvent (exemple: greutatea pereților despărțitori neportanți, presiunea lichidelor sau gazelor din rezervoare, greutatea prafului industrial)

acțiuni dinamice	acțiunile care variază rapid ca intensitate, direcție sau punct de aplicare, determinând oscilații ale structurii (perioada de variație a încărcării este mai mică decât perioada proprie de oscilație a structurii)
acțiuni excepționale (accidentale)	acțiunile ce apar foarte rar, eventual niciodată în perioada de exploatare a unei construcții, dar cu intensități deosebit de mari (forța seismică, forțele rezultate din inundații puternice sau explozii etc.)
acțiuni permanente	acțiuni a căror valoare rămâne practic neschimbată pe toată durata de exploatare a construcției (exemplu: greutatea proprie a elementelor de construcții cu poziție fixă)
acțiuni statice	acțiunile care variază lent în timp, astfel că nu determină oscilații ale structurii (perioada de variație a încărcării este mai mare decât perioada proprie de oscilație a structurii)
acțiuni variabile	acțiunile ce se manifestă cu intensități semnificative la intervale mari sau care pot varia rapid în timp (încărcarea din zăpadă, vânt etc.)
amortizare	disiparea energiei unui sistem oscilant ca urmare a prezenței unor forțe rezistente (de frecare internă); dacă un sistem nu ar avea o amortizare, ar continua să oscileze la infinit (după încetarea acțiunii forțelor exterioare)
amortizare critică	valoarea amortizării vâscoase pentru care sistemul revine la poziția inițială fără a se produce oscilații (mișcarea își pierde caracterul oscilant)
amortizare vâscoasă	un sistem oscilant are amortizare vâscoasă când disiparea energiei rezultă din forțe rezistente proporționale cu viteza (ipoteza lui Voigt)
anvelopă	totalitatea elementelor unei clădirii care separă interiorul acesteia (volumul încălzit) de exterior și de spații adiacente neîncălzite

asiză	un șir orizontal de blocuri din zidărie împreună cu rostul orizontal aferent
astereală	element format din scânduri dispuse paralel cu streșina acoperișului, fixate cu cuie pe căpriori; servește drept suport pentru învelitorile neportante (din tablă plană, carton asfaltat etc.)

B

balustradă (la scări)	elementul vertical de protecție prevăzut spre partea liberă a rampei sau podestului, având la partea superioară un element necesar sprijinirii în timpul circulației, numit mână curentă
B.C.A.	beton celular autoclavizat
beton monolit	betonul turnat pe șantier, la locul de punere în operă al elementului
beton prefabricat	betonul turnat în fabrici de prefabricate sau pe piste special amenajate; după întărire, elementul din beton este transportat și montat pe șantier în cadrul construcției
blocuri mari	elemente cu dimensiuni mari, reprezentând porțiuni de pereți, confecționate în prealabil (industrial); se folosesc curent blocuri mari din b.c.a. sub forma unor fâșii cu înălțimea egală cu un etaj și lățimea de cca. 60 cm
blocuri mici pentru zidărie	blocuri cu mărimea echivalentă cu una sau mai multe cărămizi, iar greutatea până la capacitatea de manipulare a unui om
buiandrug	element de rezistență prevăzut la partea superioară a golurilor din pereți (pentru uși sau ferestre), cu rol de preluare a încărcărilor transmise de zidăria de deasupra; pot fi din lemn, zidărie, beton, metal etc.

C

cadru	ansamblu format din stâlpi și grinzi, ce lucrează ca un tot unitar; poate fi plan sau spațial, cu una sau mai multe deschideri și cu unul sau mai multe niveluri; cel mai simplu cadru este compus din doi stâlpi și o grindă
căprior	element din lemn ecarisat sau rotund, care se așează după linia de cea mai mare pantă a acoperișului, la distanțe de 60...100 cm, fixându-se de pane
căldură specifică	cantitatea de căldură necesară pentru ridicarea temperaturii unui Kg de material cu 1 K (sau 1°C)
câmp termic	totalitatea valorilor temperaturii ce caracterizează un anumit spațiu (domeniu, element)
câmp termic constant (staționar sau permanent)	câmpul termic la care temperatura în orice punct este constantă în timp
câmp termic variabil (nestaționar sau tranzitoriu)	câmpul termic la care temperatura în cel puțin un punct este variabilă în timp
câmp termic unidirecțional	câmpul termic la care propagarea căldurii are loc în mod preponderent pe o singură direcție
câmp termic bidirecțional (plan)	câmpul termic la care propagarea căldurii are loc în mod preponderent pe două direcții
câmp termic tridirecțional (spațial)	câmpul termic la care propagarea căldurii are loc pe toate cele trei direcții în spațiu
centură	element din beton armat, cu secțiune dreptunghiulară, prevăzut în pereți la nivelul planșeelor din beton sau fundațiilor, având funcția de a asigura conlucrarea spațială a elementelor de rezistență (pereți portanți și planșee)

cheson (de acoperiș)	element plan alcătuit dintr-o placă subțire de beton, de 3...5 cm, rigidizată cu nervuri longitudinale și transversale
clasă de precizie	ansamblu de valori ale toleranței, corespunzătoare aceluiași grad de precizie
clădire	construcție cu funcția principală de a servi ca adăpost pentru oameni în timpul perioadelor de muncă, destindere sau odihnă și pentru bunurile acestora, precum și pentru procesele tehnologice
clădire agricolă	clădire destinată producției agricole (hambare, mori, grajduri, abatoare, crame etc.)
clădire civilă	clădire ce nu servește producției (clădiri de locuit, clădiri social-culturale, clădiri administrative etc.)
clădire industrială	clădire destinată producției industriale (hale industriale, ateliere, centrale energetice, depozite etc.)
coamă	linia înclinată situată la intersecțiile în unghi ieșind ale versanților (pantelor) acoperișului
coeficient de absorbție acustică	raportul dintre energia acustică absorbită de un material și cea incidentă
coeficient aerodinamic al vântului	are semnificația unui raport între presiune normală a vântului într-un punct pe suprafața clădirii și presiunea de referință într-un punct aflat la distanță de clădire, într-o zonă în care curenții de aer nu sunt perturbați de construcție; depinde de geometria și dimensiunile clădirii, de unghiul de atac al vântului, de rugozitatea terenului etc.
coeficient de amortizare termică	mărime ce reflectă capacitatea unui element de a atenua variațiile de temperatură ale aerului exterior, egală cu raportul dintre amplitudinea variației temperaturii aerului exterior și amplitudinea variației temperaturii suprafeței interioare a elementului

coeficient de asimilare termică	raportul între amplitudinea fluxului termic unitar și amplitudinea temperaturii într-un element, în ipoteza că ambele au o variație de tip sinusoidal în timp; depinde de coeficientul de conductivitate termică, căldura specifică și densitatea materialului
coeficient de conductivitate termică	mărime numeric egală cu cantitatea de căldură ce trece printr-un element cu suprafața de 1 m^2 , grosimea de 1 m , timp de o oră și pentru o diferență de temperatură dintre cele doua suprafețe de 1 K (sau 1°C)
coeficientul construcțiilor de expunere (pentru încălcarea din zăpadă)	coeficient prin care se ține cont de gradul de expunere al clădirii la vânt, funcție de prezența unor obstacole din vecinătatea construcției (alte clădiri, plantații etc.), ceea ce influențează mărimea încărcării din zăpadă
coeficient de defazare termică	reflectă capacitatea elementelor de construcții de a întârzia oscilațiile temperaturii aerului exterior
coeficient de difuzivitate termică	mărime ce caracterizează transferul termic în regim variabil, egală cu raportul dintre coeficientul de conductivitate termică și produsul dintre căldura specifică și densitatea materialului
coeficient de formă (aglomerare) (pentru încărcarea din zăpadă)	coeficient funcție de forma acoperișului clădirii (mărimea pantei, prezența unor denivelări, prezența unor obstacole etc.), ce ia în considerare posibilitatea aglomerării zăpezii în anumite zone ale acoperișului
coeficient global de izolare termică	reprezintă suma pierderilor de căldură realizate prin transmisie directă prin suprafața anvelopei clădirii, pentru o diferență de temperatură între interior și exterior de 1 K (sau 1°C), raportată la volumul clădirii, la care se adaugă pierderile de căldură aferente reîmprospătării aerului interior, precum și cele datorate infiltrațiilor suplimentare de aer rece
coeficient de grupare (factor de simultaneitate)	coeficienți utilizați în cadrul grupărilor de încărcări pentru considerarea probabilității reduse de apariție simultană a mai multor acțiuni la intensități maxime

coeficient al încărcării (coeficient parțial de siguranță)	coeficient în general supraunitar, prin care se face trecerea de la încărcările normate la cele de calcul, având semnificația unui coeficient de siguranță; în prezent este folosită denumirea de „coeficient (factor) parțial de siguranță”
coeficient de siguranță pentru materiale	coeficient prin care se ține seama de abaterile posibile, în sens defavorabil, a rezistențelor materialelor față de valorile normate, datorită variațiilor statistice ale calității materialelor și ale caracteristicilor geometrice ale elementelor de construcții (denumit și „coeficient parțial de siguranță pentru materiale”);
coeficient liniar de transfer termic	reprezintă surplusul de flux termic datorat unei punți termice liniare, raportat la lungimea acesteia și la căderea totală de temperatură (diferența dintre temperaturile aerului interior și exterior); altfel spus, reprezintă fluxul termic suplimentar cauzat de o punte liniară cu lungimea de 1 m, pentru o cădere de temperatură de 1 K (sau 1°C)
coeficient punctual de transfer termic	reprezintă fluxul termic suplimentar cauzat de o punte termică punctuală, pentru o cădere de temperatură de 1 K (sau 1°C)
coeficient termic (pentru încărcarea din zăpadă)	coeficient de reducere a încărcării zăpezii în cazuri speciale, când capacitatea de izolare a acoperișului este limitată și căldura cedată duce la topirea zăpezii
coeficient de transfer termic de suprafață (supraficial), prin convecție	mărima numeric egală cu cantitatea de căldură primită sau cedată de un corp (element) prin convecție, într-o oră, printr-un m^2 din suprafața sa exterioară, când diferența de temperatură dintre suprafață și fluidul înconjurător este de 1 K (sau 1°C)
coeficient de transfer termic de suprafață (supraficial), prin radiație	mărima numeric egală cu cantitatea de căldură radiată de 1 m^2 din suprafața unui corp, într-o oră, la o temperatură a suprafeței radiante de 100 K

coeficient de transfer termic de suprafață (superficial)	mărimea numeric egală cu cantitatea totală de căldură (convecție + radiație) primită sau cedată de un corp (element) într-o oră, printr-un m^2 din suprafața sa exterioară, când diferența de temperatură dintre suprafață și fluidul înconjurător este de 1 K (sau 1°C)
coeficient de permeabilitate la vaporii (de apă)	cantitatea de vaporii de apă (în grame) care trece printr-o suprafață de 1 m^2 a unui material cu grosimea de 1 m, timp de o oră, când există o diferență de presiune parțială a vaporilor de 1 Pa (sau 1 torr)
componentă de rafală a vântului	partea fluctuantă a vitezei vântului, la un anumit moment și la o anumită înălțime; se folosește și denumirea de „viteză de rafală”
condiții de unicitate (condiții la limită)	condiții care definesc dimensiunile elementului (domeniului) analizat, precum și legăturile sale cu mediul ambiant, din punct de vedere termic, higric etc.
conducție termică	transmisia căldurii dintr-o regiune cu temperatură mai ridicată către o regiune cu temperatură mai scăzută, în interiorul unui mediu solid, lichid sau gazos sau între medii diferite în contact fizic direct, prin vibrația termică a rețelei cristaline și/sau prin intermediul electronilor liberi
conformare antiseismică	ansamblu de măsuri constructive ce asigură comportarea favorabilă a clădirilor în raport cu acțiunea seismică
consolă	<p>a. element liniar fixat (încăstrat) la una din extremități și liber la cealaltă (exemplu: grinzile de susținere ale unei copertine);</p> <p>b. element plan fixat pe una din laturi și liber pe celelalte (exemplu: plăcile balcoanelor)</p>
contrafișă (la șarpante)	element înclinat care, împreună cu cleștii, contribuie la asigurarea stabilității spațiale a șarpantei acoperișului
contratreaptă	element vertical între două trepte succesive, realizat ca o nervură

convecție termică	procesul de transfer al căldurii prin acțiunea combinată a conducției termice, a acumulării de energie și a mișcării moleculelor unui fluid
convecție liberă (naturală)	proces de transfer termic convectiv la care mișcarea de amestec a fluidului este rezultatul diferențelor de densitate produse de gradientii (variațiile) de temperatură
convecție forțată	proces de transfer termic convectiv la care mișcarea de amestec a fluidului este rezultatul unor cauze externe (de exemplu un ventilator), care produc diferențe de presiune
coordonare dimensională	convenția de a utiliza în cadrul activităților de proiectare, de producere și de punere în operă, numai acele dimensiuni geometrice care respectă anumite reguli stabilite anterior
coordonare modulară	un set de reguli (convenții) prin care dimensiunile elementelor de construcții pot lua numai acele valori care corespund unei lungimi alese arbitrar, numită modul de bază, sau unor moduli derivați din modulul de bază
cornișă	îngroșare a pereților exteriori, în plan orizontal, în dreptul planșeelor curente, cu rol de protecție împotriva intemperiilor și de ornamentare
cosoroabă	pana de la nivelul streșinii
cota ± 0.00 (a unei clădiri)	este reprezentată, în mod convențional, de cota pardoselii finite de la parterul clădirii
creastă	intersecția orizontală a pantelor acoperișului, situată la partea superioară a acestuia
criterii de performanță	traducerea exigențelor de performanță în calități pe care trebuie să le îndeplinească diferențiat părțile componente ale clădirii pentru ca exigențele de performanță să fie satisfăcute

D

densitatea fluxului termic (fluxul termic unitar)	cantitatea de căldură care străbate unitatea de suprafață în unitatea de timp
deschidere	distanța interax dintre două elementele de rezistență verticale succesive, pe direcția transversală a unei clădiri (exemplu: distanța interax dintre stâlpii unei hale industriale, pe direcție transversală)
dimensiune modulară	dimensiune egală cu multiplu întreg al unui modul
dimensiune nominală	dimensiune modulară ce caracterizează un element prin dimensiunea sa principală, permițând identificarea lui dintr-o serie de elemente asemănătoare
dimensiune modulată	dimensiunea unui element de construcție care se assemblează cu alte elemente, astfel încât prin alăturarea acestora, ținând seama și de rosturi, să rezulte o dimensiune modulară
dimensiuni de proiect	dimensiunile teoretice ale conturului unui element, adică dimensiunile rezultate din calculele de rezistență și din condiții de rezemare sau de asamblare
dimensiuni reale	dimensiunile efective de contur ale unui element de construcție
discretizare a unui domeniu	operație în cadrul metodelor numerice, ce constă Fig. „fragmentarea” (divizarea, descompunerea) sub o anumită formă a domeniului modelat și determinarea mărimilor caracteristice în nodurile și/sau elementele rețelei de discretizare
dolie	linie înclinată situată la intersecțiile în unghi intrând ale versanților (pantelor) acoperișului
durată de reverberație	intervalul de timp în care nivelul acustic într-o încăpere scade cu 60 dB după încetarea sursei sonore

E

efecte ale acțiunilor	eforturile secționale sau eforturile unitare (tensiunile) din elementele structurale, precum și deplasările sau rotațiile pentru elementele structurale și structura în ansamblu
elemente de compartimentare	elemente ce servesc împărțirii spațiilor interioare ale unei clădiri: pereți interiori, uși interioare etc.
elemente de închidere	elementele ce asigură izolarea termică, hidrofugă și acustică a interiorului clădirii: pereți exteriori, ferestre, uși exterioare, învelitorile acoperișului etc.
epicentru	proiecția geometrică a hipocentrului pe suprafața scoarței terestre
exigențe în construcții	condițiilor pe care trebuie să le satisfacă construcțiile, ținând seama de funcțiile ce decurg din destinația clădirii și de interesele colectivității care o utilizează
exigențe de performanță	sunt formulate de specialiști pentru a satisface exigențele utilizatorilor, luând în considerare factorii care acționează asupra imobilului
exigențele utilizatorilor clădirilor	condițiile pe care utilizatorii unei clădiri le doresc îndeplinite în imobilele pe care le vor folosi

F

factor de amplifi-care dinamică	sinonim cu „spectru normalizat de răspuns elastic al accelerației terenului”
factor de comportare	factor ce ia în considerare comportarea inelastică a structurii, în funcție de materialele folosite (beton, metal, lemn, zidărie etc.) și de capacitatea structurii de disipare a energiei, atunci când aceasta depășește limita de comportare elastică, lucrând parțial în domeniul plastic

factor de expunere al vântului	coeficient ce cuantifică influența rafalelor vântului, a rugozității terenului și a înălțimii la care se calculează presiunea vântului
factor de importanță-expunere al construcției	coeficient folosit în calculul încărcării seismice prin metoda forțelor seismice statice echivalente; este o mărime convențională care depinde de clasa de importanță a clădirii, apreciată în funcție de: consecințele prăbușirii asupra vieților omenești, utilitatea construcției pentru siguranța publică și protecția civilă în perioada imediată după cutremur, consecințele sociale și economice ale prăbușirii sau avarierii grave
factor parțial de siguranță	sinonim cu „coeficientul încărcării”
factorul rezistenței la permeabilitate la vapori	mărime adimensională care indică de câte ori este mai mare rezistența la permeabilitate la vapori a unui material în raport cu rezistența la permeabilitate la vapori a aerului
factor de rafală a vântului	raportul între presiunea de vârf produsă de rafalele vântului și presiunea medie, produsă de viteza medie a vântului
factor de rugozitate al vântului	raportul dintre presiunea medie a vântului la o anumită înălțime și presiunea de referință
factor de simultaneitate	sinonim cu „coeficient de grupare”
flux (termic, acustic etc.)	cantitatea de energie (calorică, acustică etc.) ce străbate o suprafață în unitatea de timp
formă de oscilație	configurația geometrică a mișcării unui sistem oscilant care vibrează liber cu o anumită frecvență proprie; fiecare punct material al sistemului execută o mișcare armonică simplă
fracțiune de amortizare critică	raportul dintre coeficientul de amortizare efectiv și coeficientul de amortizare critică, corespunzătoare unui sistem oscilant cu amortizare vâscoasă

frecvență	numărul de oscilații complete (sau cicli) pe durata unei secunde
frecvență fundamentală	frecvența cu valoarea cea mai joasă a unui sistem oscilant cu mai multe grade de libertate
fundație	element al structurii de rezistență a clădirii prin intermediul căruia se realizează încastrarea construcției în terenul de fundare și transmiterea la pământ a tuturor eforturilor rezultate din ansamblul acțiunilor mecanice exterioare
fundație continuă	fundația ce susține pereții portanți ai clădirii, rezemată pe teren pe toată lungimea sa
fundație izolată	fundație cu formă pătrată sau dreptunghiulară în plan, situată sub fiecare stâlp al unei clădiri
fundație pe rețele de grinzi	fundație alcătuită din grinzi dispuse după cele două direcții principale ale clădirii (longitudinală și transversală)
fundație pe radier general	fundația constituită dintr-o placă groasă din beton, dezvoltată sub întreaga suprafață a clădirii

G

glaf	element liniar prevăzut pe latura orizontală inferioară a ferestrei, spre interior, cu rol de protecție și decorativ; se execută din lemn, mozaic turnat, marmură, beton
gradient de temperatură	este o măsură a variației temperaturii pe o anumită direcție din spațiul (domeniul) analizat; din punct de vedere matematic reprezintă limita raportului între diferența de temperatură ΔT și distanța Δx dintre două puncte, când $\Delta x \rightarrow 0$

greutate tehnică	greutatea materialului în starea de îndesare și cu umiditatea de echilibru pe care acesta le are după ce a fost pus în operă; dacă este vorba despre un material neomogen, greutate tehnică are semnificația unei medii ponderate a greutăților specifice ale materialelor componente
grindă	element de rezistență orizontal sau uneori înclinat, solicitat în mod preponderent la încovoiere, rezemat la extremități pe stâlpi, pereți portanți, fundații etc., care preia sarcinile transmise de alte elemente, pe care le susține (pereți neportanți, planșee etc.); grinzile cadrelor se mai numesc și rigle
grindă cu inimă plină	grindă din lemn, beton, metal cu secțiunea dreptunghiulară, T, I etc.
grindă cu zăbrele	grindă formată dintr-un ansamblu de bare articulate la extremități; elementele inferioare și superioare poartă numele de tălpi, elementele verticale se numesc montanți, iar cele înclinate se numesc diagonale; barele pot fi realizate din lemn, beton sau metal și sunt dispuse sub formă de triunghiuri (structură nedeformabilă)
grindă de podest	element liniar orizontal amplasat în secțiunea de frângere dintre rampa scării și podest, cu rol de susținere
grindă de vang	element liniar sau curb, dispus înclinat, central sau marginal sub rampa scării și paralel cu aceasta, cu rol de susținere
grupare de încărcări	un set de încărcări a căror acțiune se poate produce simultan cu o mare probabilitate și, în consecință, sunt considerate împreună în calculele de proiectare

H

higrotermica construcțiilor

ramură a fizicii construcțiilor în cadrul căreia sunt studiate acele fenomene și caracteristici ale clădirilor ce au în vedere satisfacerea cerințelor de viață ale oamenilor și în special protecția contra agenților climatici: variații de temperatură, vânt, ploaie, zăpadă

hipocentru (focar)

punct de origine al undelor seismice, aflat în interiorul scoarței pământului la o anumită adâncime, în zona de lunecare a plăcilor tectonice

I

indice de inerție termică

mărimă prin care se apreciază capacitatea de acumulare și cedare a căldurii de către un element, egal cu produsul dintre rezistența termică și coeficientul de asimilare termică

industrializarea construcțiilor

procesul prin care o parte dintre elementele componente ale unei construcții sunt produse în condiții industriale, în cadrul unor întreprinderi specializate, urmând ca apoi să fie transportate și montate la locul de punere în operă

infrastructură

totalitatea elementelor situate sub cota ± 0.00 a clădirii: fundații, pereți de subsol, planșeul peste subsol etc.

intensitate acustică

fluxul de energie sonoră ce cade pe unitatea de suprafață

intensitate acus- tică de referință

reprezintă pragul inferior al intensității auditive ce poate fi percepută de om, la frecvența de 1000 Hz

intensitate de calcul a încărcărilor	valoare având o anumită probabilitate de manifestare, ce se determină prin înmulțirea valorii intensității normate a încărcării cu un coeficient numit coeficientul încărcării, prin care se ține seama de abaterile posibile, în sens defavorabil pentru structură, ale intensității în raport cu valorile normate
intensitate normată a încărcărilor	valoare de referință, aleasă convențional, ținând seama de variabilitatea statistică specifică a acțiunii respective (în prezent este adoptată denumirea de „valoare caracteristică”)
interval mediu de recurență	numărul mediu de ani în care valoarea unui anumit parametru poate fi atinsă o singură dată; parametrul caracteristic poate fi: încărcarea maximă din zăpadă, viteza maximă a vântului, magnitudinea unui seism etc.

Î

înălțimea sunetului	caracteristică funcție de frecvența oscilațiilor sonore (frecvențele mici conduc la sunete joase, cele mari la sunete înalte)
încărcări utile	încărcările reprezentate de greutatea oamenilor, mobilierului, aparatelor, instalațiilor etc.
învelitoare	element de construcție prevăzut la partea superioară a acoperișului, având ca funcție principală izolarea hidrofugă, în unele cazuri și izolarea termică, precum și iluminarea naturală a spațiului acoperit

L

linie izotermă	locul geometric al punctelor de egală temperatură, dintr-un câmp termic plan
-----------------------	--

lucarnă gol prevăzut cu fereastră, practicat în învelitoarea acoperișurilor cu pod, cu rol de iluminare naturală și cu funcții ornamentale

**lucrări
inginerești** toate construcțiile, cu excepția celor ce intră în categoria clădirilor: drumuri, căi ferate, tuneluri, poduri, rezervoare, castele de apă, coșuri de fum, canale, construcții hidrotehnice etc.

M

**metode (tehnici)
numerice** metode aproximative de rezolvare a unei ecuații diferențiale de ordin superior, sau a unui sistem de ecuații diferențiale ce caracterizează un anumit fenomen, prin transformarea acestora într-un sistem liniar de ecuații algebrice

mod de vibrație ansamblul format dintr-o formă de oscilație și perioada proprie (sau frecvența proprie) de vibrație

**mod fundamen-
tal de vibrație** modul de vibrație căruia îi corespunde frecvența cea mai joasă, numită frecvență fundamentală (modul fundamental este primul mod de vibrație)

modul valoare aleasă arbitrar pentru realizarea coordonării dimensionale în construcții; în țara noastră, ca și în multe alte țări, modulul de bază este $M = 100 \text{ mm}$

N

nervură rigidizare la elemente de grosime redusă, ce constă într-o îngroșare având de regulă secțiune dreptunghiulară

**nivelul
intensității
auditive** reprezintă corespondentul auditiv al nivelului de intensitate sonoră, fiind egal cu de 10 ori logaritmul zecimal al raportului dintre intensitatea auditivă și intensitatea auditivă de referință

nivelul intensității sonore	logaritmul zecimal al raportului dintre intensitatea acustică a sunetului și intensitatea acustică de referință, exprimat în beli (logaritmul se multiplică cu 10 în cazul exprimării în decibeli)
niveluri de performanță	reprezintă concretizarea cantitativă, numerică, a criteriilor de performanță, astfel încât acestea să poată fi utilizate în proiectare, cu ajutorul diferitelor relații fizico–matematice de dimensionare

P

PAL	plăci aglomerate lemnoase
pană (la șarpanta acoperișului)	element orizontal executat din lemn ecarisat, paralel cu creasta acoperișului, poziționat la distanțe de 3...4 m; pana de la cota cea mai înaltă se numește pană de creastă, iar paneele de la nivelul streșinii se numesc cosoroabe
panouri mari (prefabricate)	elemente de dimensiunea unei încăperi, ce se montează prin îmbinare; se utilizează pentru pereți și planșee și sunt confecționate din beton armat, cu sau fără izolație termică, din beton cu agregate ușoare sau din produse ceramice
perete autoportant	perete ce preia numai încărcările din greutatea proprie, pe toată înălțimea peretelui
perete neportant (purtat)	perete ce preia numai încărcările din greutatea proprie pe înălțimea unui singur nivel, pe care o transmite la elementele structurale pe care reazemă
perete portant	perete ce preia, în afară de greutatea proprie, sarcini verticale provenite de la alte elemente (planșee, grinzi etc)

perete structural	perete ce preia, în afară de greutatea proprie, sarcini verticale de la alte elemente (planșee, grinzi etc.), precum și sarcini orizontale din vânt, seism etc.
perete de un sfert de cărămidă	perete din zidărie de cărămidă cu grosimea nominală aproximativ egală cu latura mică a cărămizii (uzual 7,5 cm); este alcătuit din cărămizi dispuse pe cant
perete de o jumătate de cărămidă	perete din zidărie de cărămidă cu grosimea nominală aproximativ egală cu lățimea cărămizii (12,5 cm în cazul cărămizilor pline și de regulă 15 cm în cazul cărămizilor cu goluri verticale)
perete de o cărămidă	perete din zidărie de cărămidă cu grosimea nominală aproximativ egală cu lungimea unei cărămizi (25 cm în cazul cărămizilor pline și de regulă 30 cm în cazul cărămizilor cu goluri verticale)
perete de o cărămidă și jumătate	perete din zidărie de cărămidă cu grosimea nominală aproximativ egală cu lungimea + lățimea unei cărămizii ($25 + 12,5 = 37,5$ cm, în cazul cărămizilor pline)
performanțe în construcții	îndeplinirea unui set de exigențe (condiții ce trebuie satisfăcute de o construcție, funcție de destinația acesteia și de interesele utilizatorilor)
perioadă	timpul minim necesar pentru ca o mișcare periodică să se repete identic; perioada se măsoară în general în secunde, și mai poate fi definită ca inversul frecvenței
perioadă fundamentală	perioada asociată modului de vibrație fundamental; este inversul frecvenței fundamentale
perioadă de revenire	sinonim cu „interval mediu de recurență”
permeabilitate la vapori	inversul rezistenței la permeabilitatea vaporilor
PEX	polistiren expandat
PFL	plăci fibrolemnoase

poală (picătură)	linia cea mai joasă a acoperișului, ce delimitează conturul acestuia în plan
podest (palier)	element plan, orizontal, servind drept loc de odihnă, așteptare și acces de la casa scării la alte spații; poate fi de nivel sau intermediar
pop (la șarpanta acoperișului)	element vertical solicitat la compresiune cu flambaj, realizat din lemn dreptunghiular sau rotund, având uzual latura (sau diametrul) de cca. 12...14 cm
presiune de referință a vântului	presiunea exercitată în centrul unei plăci plane verticale, dispusă perpendicular pe direcția vântului
presiune parțială a vaporilor	presiunea vaporilor ce corespunde unei umidități oarecare, mai mică decât umiditatea maximă (de saturație)
presiune de saturație a vaporilor	presiunea vaporilor ce corespunde umidității absolute maxime (de saturație)
punte termică	zonă din cadrul unui element de construcție, care datorită alcătuirii structurale sau geometrice prezintă o permeabilitate termică sporită față de restul elementului, permițând intensificarea transferului de căldură
punte termică liniară	punte termică caracterizată printr-o anumită lungime, secțiunea transversală a punții fiind constantă pe toată lungimea acesteia (de exemplu stâlpișorii și centurile din beton înglobați în pereții de zidărie)
punte termică punctuală	punte cu o extindere redusă pe toate cele 3 direcții (exemple: elementele constructive cu dimensiuni mici, cum sunt ploturile din beton sau agrafele metalice cu ajutorul cărora se realizează legătura dintre straturile unui perete)

R

rata ventilării	numărul de schimburi de aer pe oră, într-un anumit spațiu (apartament, încăpere etc.)
radiație termică	transferul căldurii sub formă de unde electromagnetice, între corpuri cu temperaturi diferite, separate în spațiu
rampă (la scări)	elementul înclinat care susține sau include treptele și contratreptele; este executat de regulă din beton armat
reverberație	amortizarea energiei acustice într-o încăpere închisă, concretizată prin prelungirea sunetului după încetarea emisiei sursei
rezistență termică specifică corectată	reprezintă o aproximare a rezistenței termice reale a unui element, ce ține cont de pierderile de căldură prin câmpul curent al elementului și de efectul punților termice (pierderi suplimentare de căldură)
rezistență termică unidirecțională	capacitatea unui element omogen, sau a unui element alcătuit din straturi paralele între ele și perpendiculare pe direcția fluxului termic, de a se opune trecerii căldurii; din punct de vedere matematic este raportul dintre căderea totală de temperatură (diferența dintre temperatura aerului interior și exterior) și fluxul termic unitar
rezistență la permeabilitatea vaporilor	capacitatea unui element de a se opune migrației vaporilor; din punct de vedere matematic este raportul dintre grosimea elementului și coeficientul de permeabilitate la vaporii
rost	<p>a. „întrerupere” a clădirii în plan vertical, pe toată înălțimea acesteia, inclusiv fundațiile, care permite deformarea independentă a tronsoanelor; funcție de scopul pentru care sunt prevăzute, există rosturi de dilatare, rosturi de tasare și rosturi antiseismice</p> <p>b. interspațiile dintre elementele prefabricate din beton;</p> <p>c. interspațiile dintre blocurile unei zidării;</p>

S

sâmbure (stâlpișor)	stâlp din beton armat monolit de dimensiuni reduse (cu laturile secțiunii sub 40 cm; uzual 25 – 30 cm), înglobat în pereții din zidărie, în special la colțuri și intersecții, pentru asigurarea unei bune comportări la sarcini orizontale (seism)
scara Mercalli	caracterizează acțiunea seismică în mod descriptiv (calitativ) pentru fiecare grad seismic, prin efectele asupra oamenilor, construcțiilor, terenului etc. (apreciere subiectivă); este organizată pe 12 grade de intensitate seismică
scara Richter	caracterizează acțiunea seismică prin energia de deformare eliberată prin rupțura faliei, calculată funcție de amplitudinea mișcării seismice înregistrată pe seismografe de un anumit tip (apreciere obiectivă); cuprinde 8 grade de intensitate seismică
scaun (la șarpante)	sub-ansamblu format din popi, pane și contrafișe
sistem de referință modular	sistemul compus dintr-o rețea de plane perpendiculare, pe trei direcții, care împart volumul clădirii în paralelipipede rectangulare, cu lungimea laturilor egală cu modulul de bază sau cu multiplii ai acestuia
soclu	partea inferioară a pereților exteriori, situată deasupra nivelului terenului, cu înălțimea de cca. 40...60 cm, din beton, piatră etc., cu rol de protecție la lovituri accidentale și cu funcții ornamentale
solbanc	element de construcție liniar, dispus orizontal pe latura inferioară a golurilor pentru ferestre, spre exterior, cu rol ornamental și de protecție a fațadei împotriva apelor din precipitații; poate fi din cărămidă, piatră, beton etc.

spectru seismic (al deplasărilor, vitezelor sau accelerațiilor)	reprezentarea grafică a variației valorilor deplasărilor relative, vitezelor relative (în raport cu terenul) sau accelerațiilor absolute ale unui sistem cu un singur grad de libertate dinamică, în funcție de perioada proprie de vibrație a acestuia, când baza sa este supusă unei excitații de tip seismic
spectru de accelerații inelastic	spectru de accelerații ce ia în considerare rezervele de capacitate portantă ale structurii clădirii prin disiparea energiei când deformațiile efective depășesc limita elastică, structura lucrând parțial în domeniul plastic
spectru normalizat de răspuns elastic al accelerației terenului	spectrului obținut prin raportarea (împărțirea) ordonatelor graficului spectrului de accelerații la accelerația maximă (de vârf) a terenului; se mai folosește denumirea de „factor de amplificare dinamică”
spectru seismic de răspuns al accelerațiilor	reprezentarea grafică a valorilor maxime ale accelerațiilor unui sistem oscilant, pentru un cutremur dat, în funcție de perioada proprie și gradul de amortizare al sistemului
spectru standard (spectru de proiectare)	media spectrelor seismice de răspuns ale accelerațiilor, a celor două componente principale (pe direcțiile N – S și V – E) corespunzătoare înregistrărilor șocurilor seismice
stări limită	stările în afara cărora structura nu mai satisface criteriile adoptate în cadrul procesului de proiectare
stări limită ultime	stările limită ce implică protecția vieții oamenilor și a siguranței structurii și/sau protecția unor bunuri de valoare deosebită; toate aceste stări sunt asociate cu prăbușirea sau cu forme similare de cedare structurală
stări limită de serviciu	stările limită ce iau în considerare funcționarea structurii sau a elementelor structurale în condiții normale de exploatare, confortul utilizatorilor construcției și limitarea vibrațiilor, deplasărilor și deformațiilor structurii; dincolo de aceste stări utilizarea normală a construcției nu mai este posibilă

stâlp	element de rezistență vertical (uneori ușor înclinat), fixat la partea inferioară în fundație, care preia sarcinile transmise de alte elemente (grinzi, planșee etc.)
structură de rezistență	totalitatea elementelor unei construcții care preiau încărcările de diverse tipuri, determinând capacitatea portantă a clădirii: pereți portanți, planșee, stâlpi, grinzi, fundații etc.
structură de rezistență flexibilă	structură a unei clădiri la care deformațiile sunt rezultatul efectului dominant al momentelor încovoietoare; perioadele proprii de vibrație sunt în general $T \geq 0,00..1,20$ (exemplu: structurile pe cadre de beton armat, oțel, lemn)
structură de rezistență rigidă	structură a unei clădiri la care deformațiile sunt produse în special de forțele tăietoare; aceste construcții au perioadele proprii de vibrație mici $T \leq 0,25..0,50$ s; (exemplu: clădirile cu structura de rezistență din pereți portanți de beton armat sau din zidărie de cărămidă)
structură de rezistență semiflexibilă	structură a unei clădiri la care deformațiile sunt rezultatul efectului combinat al forțelor tăietoare și al momentelor încovoietoare; perioadele proprii de vibrație se înscriu de regulă în intervalul $T = 0,25..1,20$ s; exemplu: structurile alcătuite din cadre de beton armat rigidizate cu pereți de umplutură din zidărie masivă
sunete (zgomote) aeriene	sunetele sau zgomote ce se propagă prin aer
sunete (zgomote) structurale	sunetele sau zgomote ce se propagă prin medii solide (elemente de construcții)
sunetele muzicale	sunete complexe la care frecvențele componentelor sunt multipli întregi ai frecvenței fundamentale;
suprafață izotermă	locul geometric al punctelor dintr-un câmp termic spațial, ce se caracterizează prin aceeași valoare a temperaturii

suprastructură elementele situate deasupra cotei ± 0.00 a clădirii: pereții de la parter și nivelurile curente, planșeele curente etc.

S

șarpantă pe scaune structura de rezistență a acoperișurilor cu pod, formată din elemente principale numite ferme, transversale pe acoperiș, situate la distanțe interax de cca. 3..5 m, și elemente secundare formate din perechi de căpriori, dispuși între ferme la distanțe de 60...100 cm

T

temperatură mărime scalară de stare care caracterizează gradul de încălzire al corpurilor

timbrul sunetului caracteristică prin care se pot deosebi două sunete cu aceeași frecvență fundamentală, dar cu număr de armonice diferite

tipizare a elementelor de construcții reprezintă o treaptă mai avansată a coordonării dimensionale și constă în proiectarea și confecționarea unor elemente de dimensiuni corespunzătoare unei serii modulare cu număr redus de termeni și unor condiții de exploatare tip, care se repetă cu o mare frecvență

toleranță mărimea erorilor admise pentru un produs, referitoare la dimensiunile, poziția, forma și aspectul unui element

toleranță dimensională diferența dintre dimensiunea limită maximă (limita superioară admisă a dimensiunii efective a unui element de construcție) și dimensiunea limită minimă (limita inferioară admisă a dimensiunii efective a unui element de construcție)

transfer de căldură	procesul spontan, ireversibil de propagare a căldurii în spațiu, reprezentând schimbul de energie termică între corpuri sau regiuni ale aceluiași corp, ca rezultat al diferențelor de temperatură dintre acestea; transferul de căldură este un transfer de energie între sisteme fizico–chimice sau între diferitele părți ale aceluiași sistem, în cadrul unei transformări în care nu se efectuează lucru mecanic
transfer de masă	procesul de migrație a unui fluid în interiorul unui corp, atunci când există diferențe de presiune (sau de concentrație) între diferitele zone ale acestuia (de exemplu migrația vaporilor de apă într-un perete)
travee	distanța interax dintre două elementele de rezistență verticale succesive, pe direcția longitudinală a unei clădiri (exemplu: distanța interax dintre stâlpii unei hale industriale, pe direcție longitudinală)
treaptă	elementul orizontal de bază al unei scări, pe care sprijină piciorul
tronson	porțiune a unei clădiri separată de restul construcției prin rosturi de dilatare, antiseismice sau de tasare

U

umiditate absolută	cantitatea de vapori de apă, exprimată în grame, conținută într-un m ³ de aer
umiditate de saturație	cantitatea maximă de vapori ce poate fi absorbită de aer, la o anumită temperatură
umiditate relativă	raportul între umiditatea absolută și umiditatea de saturație, exprimat procentual (prin înmulțirea raportului cu 100); se poate exprima și ca raport între presiunea parțială și presiunea de saturație
umiditatea materialelor	se exprimă pe bază gravimetrică sau volumetrică, prin raportarea greutateii sau volumului apei conținute la greutatea, respectiv volumul corespunzător materialului uscat (se exprimă în procente)

unde sonore oscilațiile ce se transmit într-un spațiu, sub formă de comprimări și dilatări succesive ale mediului de propagare

V

valoare caracteristică a încărcării valoarea caracteristică a unei acțiuni corespunde unei probabilități mici de depășire a valorii acțiunii în sens defavorabil pentru siguranța structurii, pe perioada unui interval de timp de referință (vezi și „intensitatea normată a încărcărilor”)

versanți (ape) suprafețele înclinate ale acoperișurilor

vibrații armonice mișcări ce pot fi reprezentate prin funcții trigonometrice simple, sinusoidale sau cvasisinusoidale (aproape sinusoidale)

viteză de rafală a vântului similar cu „componentă de rafală”

viteză de referință a vântului viteza vântului mediată pe o durată $T = 10$ min., măsurată la o înălțime de 10 m în câmp deschis și având o probabilitate de depășire într-un an de 0,02 (2%)

viteză instantanee a vântului viteza vântului la un anumit moment

Z

zgomote sunete supărătoare, indiferent de natura lor

zgomote de impact zgomotele produse de lovituri, care se transmit atât prin elementele de construcții cât și prin aer

zidărie	material de construcție neomogen, alcătuit din elemente rigide numite blocuri și materiale sau elemente de legătură (mortare, agrafe, adezivi), rezultând astfel un ansamblu de sine stătător, capabil să reziste la sollicitări de ordin fizic și mecanic
zidărie simplă	zidărie alcătuită dintr-un singur tip de bloc
zidărie mixtă	zidărie alcătuită din două sau mai multe straturi verticale paralele, realizate din materiale diferite ce conlucrează între ele
zidărie armată	zidărie prevăzută cu armături transversale sau longitudinale
zidărie complexă	zidărie ce include elemente din beton armat monolit (stâlpișori, centuri) cu care conlucrează la preluarea încărcărilor

Indexul termenilor

A

abatere admisibilă 32

acceleerația terenului pentru
proiectare 87

acțiuni în construcții 17, 34, 35,
37, 38–40, 42–45, 48–53, 56, 59,
60, 62, 66–71, 74–76, 79, 80,
92–99

acțiuni dinamice 44, 60, 101

acțiuni permanente 43, 45, 46,
47, 96, 97

acțiuni variabile 43, 49, 50, 56,
96, 97, 98

amortizare critică 87

asiză 104, 111, 113

acoperiș terasă 169

accelerogramă 85

acțiuni cvasipermanente 43, 48,
97, 99

acțiuni excepționale (accidentale)
42, 43, 75

acțiuni statice 43, 44, 60

amortizare 81, 85

anvelopă 132, 195, 201, 209,
210, 213, 229

B

B.C.A. 46, 148

beton prefabricat 27, 30, 32, 33,
48, 169, 187, 190, 196, 221

blocuri mici pentru zidărie 102

beton monolit 102

blocuri mari 102

buiandrug 113, 222

C

cadru 11, 12, 28, 82, 83, 92, 252

câmp termic 136–138, 144, 146,
156, 164, 165, 168–170, 173–175,
177, 181, 183, 187–190, 193, 195,
205, 209

câmp termic variabil (nestaționar
sau tranzitoriu) 136, 164, 165,
166, 168, 169

câmp termic bidirecțional (plan)
136, 137, 138, 165, 170,
175, 181, 195

centură 102, 139, 196, 221

clădire 8, 10–23, 25, 26, 28–30,
34, 42, 44, 48, 49, 51, 52, 54,
58–60, 66 67, 68, 74, 76, 80, 82,
84–86, 91–94, 97, 132, 133, 164,
169, 171, 195, 196, 209–213, 225,
229, 230, 231, 245, 246, 248, 250

clădire civilă 10, 11, 12, 17, 26, 29
48, 51, 230, 250

căldură specifică 152, 167, 210

câmp termic constant (staționar sau
permanent) 136, 142, 143, 146, 160
163, 175, 181, 185

câmp termic unidirecțional 136,
142, 143, 146, 157, 164, 165, 168,
169, 170, 199, 223

câmp termic tridirecțional (spațial)
136, 137, 138, 165, 183, 195

clasă de precizie 32, 33

clădire agricolă 10, 97

clădire industrială 10, 12, 26,
28, 29, 51,

coeficient de absorbție acustică 241, 252, 257	coeficient aerodinamic al vântului 66, 67, 68, 70
coeficient de amortizare termică 167, 168, 169	coeficient de asimilare termică 166, 167
coeficient de conductivitate termică 142, 143, 146–148, 150, 152, 167, 171, 172, 195, 219	coeficientul condițiilor de expunere (pentru încărcarea din zăpadă) 52, 54
coeficient de defazare termică 169, 170	coeficient de difuzivitate termică 165
coeficient de formă (aglomerare) pentru încărcarea din zăpadă 52, 53	coeficient global de izolare termică 209, 210, 213
coeficient de grupare (factor de simultaneitate) 40, 96	coeficient al încărcării (coeficient parțial de siguranță) 39, 45, 47, 54, 122
coeficient de siguranță pentru materiale 39	coeficient liniar de transfer termic 202, 204
coeficient punctual de transfer termic 202, 204, 205	coeficient termic (pentru încărcarea din zăpadă) 52, 54
coeficient de transfer termic de suprafață (superficial), prin convecție 152, 158	coeficient de transfer termic de suprafață, prin radiație 156, 158
coeficient de transfer termic de suprafață (superficial) 159, 172	coeficient de permeabilitate la vapori (de apă) 220
componentă de rafală a vântului 63	condiții de unicitate (condiții la limită) 170–173
conducție termică 134, 135, 141– 144, 147, 149, 157, 159, 161, 162, 164, 171, 172, 185, 214	conformare antiseismică 94

consolă 82

convecție liberă (naturală) 150, 185

coordonare dimensională 21, 23, 29

cota ± 0.00 (a unei clădiri) 14

convecție termică 134, 135, 141, 147, 149, 150–153, 157, 158, 161, 162, 171, 172, 185, 215

convecție forțată 150

coordonare modulară 23

criterii de performanță 16, 178

D

densitatea fluxului termic (fluxul termic unitar) 140, 143, 145, 157, 158, 160, 162, 165–167, 171–173, 180, 182, 183, 190–194, 198, 211

dimensiune modulară 27

dimensiune modulată 24, 27, 28, 29

dimensiuni reale 30, 47

durată de reverberație 242, 245, 257, 258

deschidere 24, 25, 29

dimensiune nominală 27

dimensiuni de proiect 27, 30, 32

discretizarea unui domeniu 173, 174 177, 179, 180, 182, 184, 188, 190, 192, 194

E

efecte ale acțiunilor 93, 96–99

elemente de închidere 13, 17, 20, 65, 150, 196, 209, 219, 221, 222, 230, 242

elemente de compartimentare 14, 241

epicentru 75, 78

exigențe în construcții 14, 15

exigențe de performanță 16, 17,
20, 21, 34

exigențele utilizatorilor clădirilor
15, 16

F

factor de amplificare dinamică 87,
90

factor de comportare 87, 90

factor (coeficient) parțial de
siguranță 39, 45, 47, 54, 122

factorul rezistenței la permeabilitate
la vapori 220

factorul de expunere al vântului 66,
67

factor de importanță-expunere al
construcției 84, 85, 92

factor de rafală a vântului 66, 70

factor de rugozitate al vântului 66

factor de simultaneitate 40, 96

flux termic 139, 144, 150, 151,
166, 180, 186, 194, 195, 199, 200,
202, 204, 205, 206, 209, 210

flux acustic 235, 236

formă de oscilație 82

fracțiuni de amortizare critică 87

frecvență 82, 230, 231, 234, 236–
241, 243, 246, 248, 249, 252, 257

fundație 12, 14, 50, 128, 216, 219

G

gradient de temperatură 138, 144,
150, 172

greutate tehnică 46, 47

grindă 32, 48

grupare de încărcări 17, 37, 54,
95, 96, 98, 99

H

higrotermica construcțiilor 131

hipocentru (focar) 75

I

indice de inerție termică 167

industrializarea construcțiilor 19,
23, 30

infrastructură 14

intensitate acustică 230, 234–238

intensitate acustică de referință
237, 239

intensitate de calcul a încărcărilor 45

intensitate normată a încărcărilor
45, 46, 49

interval mediu de recurență 68, 87,
96

Î

înălțimea sunetului 231, 238, 239

încărcări utile 49, 50

învelitoare 13, 60, 94

L

linie izotermă 138, 140, 178,
183, 191

lucrări ingineresti 8, 10, 12, 13

M

metode (tehnici) numerice 173, 181

mod de vibrație 81–84, 91–93

mod fundamental de vibrație 84, 91

modul 22, 23, 24, 25, 27

N

nivelul intensității auditive 239

nivelul intensității sonore 236, 237,
239

niveluri de performanță 16, 17, 47

P

PAL 250

panouri mari (prefabricate) 169,
188, 189, 191, 197, 222

perete autoportant 103

perete neportant 103

performanțe în construcții 14, 15,
16, 17, 19, 20, 21, 34, 47, 177

perioadă 82, 167, 231, 234, 236

perioadă proprie de vibrație 11,
60, 82, 85, 86, 92

perioadă fundamentală 84, 87

perioadă de revenire 52, 68

permeabilitate la vapori 219, 220,
222

PEX 190

PFL 251, 252

presiune de referință a vântului
65,
66, 68, 70

presiune parțială a vaporilor 215,
217, 219–222, 225, 226

presiune de saturație a vaporilor
147, 217, 221–227

punte termică 169, 177, 178,
194–200, 202–209, 221, 229

punte termică liniară 196–199, 201,
202, 204–206, 209

punte termică punctuală 197, 200,
201, 205, 209

R

rata ventilării 211

reverberație 241, 242, 257, 258

rezistență termică unidirecțională
156, 157, 198, 200, 202, 225

rost 14, 27, 28, 74, 94, 104, 106,
107, 108, 111, 112, 113, 116, 129,
188–196, 209, 251

radiație termică 134, 135, 141
153–155

rezistență termică specifică corectată
197, 198, 201, 209, 211

rezistență la permeabilitatea
vaporilor 220, 222, 225, 228

S

sâmbure (stâlpișor) 102, 104, 196,
202, 206

scara Richter 79, 80

spectru de accelerații inelastic 86

spectru seismic de răspuns al
acclerațiilor 84, 92

stări limită 34, 38, 39, 40, 41, 45,
54, 87, 95, 97, 98, 99, 118, 121,
122, 125, 126

stări limită de serviciu 38, 39, 95,
98, 99, 122

scara Mercalli 79

sistem de referință modular 25

spectru normalizat de răspuns
elastic al accelerației terenului 86,
87, 90

spectru standard (spectru de pro-
iectare) 86, 92

stări limită ultime 38, 87, 95,
97, 121

stâlp 12, 23, 28, 46, 50,
51, 123, 197

structură de rezistență 11, 23, 28, 30, 31, 34, 35, 37–40, 42–45, 48, 50, 54, 66, 67, 70, 71, 74, 81–83, 86, 87, 90–92, 95–97, 99, 187

structură de rezistență rigidă 11

sunete (zgomote) aeriene 16, 231, 242, 244, 247, 248, 250

sunetele muzicale 240

suprastructură 14

structură de rezistență flexibilă 11, 56

structură de rezistență semiflexibilă 11

sunete (zgomote) structurale 231

suprafață izotermă 138, 139

T

temperatură 18, 42, 65, 71–75, 97, 98, 100, 131–139, 142–147, 149–152, 154–158, 160–174, 176–178, 180, 182, 183, 185, 186, 190, 191, 193, 194, 196, 198, 202, 204–206, 210–212, 214, 215, 217, 221–224, 226, 228, 229

tipizare a elementelor de construcții 23, 29

transfer de căldură 131–135, 141, 142, 147, 149, 150–154, 157, 161, 170, 171, 195, 214, 215

travee 24, 25, 29

timbrul sunetului 231, 240

toleranță 21, 29–33

transfer de masă 132, 133, 150, 153, 214, 215

U

umiditate absolută 217

umiditate de saturație 217

umiditate relativă 133, 217, 219,
221, 225

unde sonore 229–234, 240, 241,
244, 248, 251, 254, 255, 258

umiditatea materialelor 46, 147,
218, 219

V

valoare caracteristică a încărcării
45,
46, 49, 50, 52, 53, 96, 97, 98, 122

viteză de rafală a vântului 63

viteză instantanee a vântului 63

vibrații armonice 240

viteză de referință a vântului 63, 68

Z

zgomote 16–18, 230, 231, 238,
240, 242, 244–248, 250, 251, 255,
258, 259

zidărie 11, 32, 46, 72, 74, 90,
100–105, 107–119, 121–123,
125–130, 137–140, 148, 196,
233, 250, 254

zidărie mixtă 101, 102

zidărie complexă 102

zgomote de impact 16, 231,
245–247, 250, 251

zidărie simplă 101, 102, 121

zidărie armată 102

Indexul simbolurilor

Unitățile de măsură nu sunt trecute întodeauna în SI, ci sub forma utilizată în mod uzual în calculele de proiectare. Pentru mărimile adimensionale în locul unității de măsură s-a folosit simbolul (-).

A

A_{ad} – abaterea admisibilă (mm);
rel. (1.4)

A_{ref} – aria de construcție de referință, orientată perpendicular pe direcția vântului (m^2); pag. 70

A_{fr} – aria de construcție orientată paralel cu direcția vântului (m^2); pag. 71

a_g – accelerația terenului pentru proiectare (m/s^2); pag. 87

$A_{E,k}$ – efectul pe structură al acțiunii seismice; pag. 96

A – coeficient de utilizare a blocului de zidărie (-); pag. 110

A – aria totală (m^2 , cm^2); pag. 126

A_c – aria totală (convențională) (m^2 , cm^2); pag. 115

A_c – aria comprimată (m^2 , cm^2);
pag. 126

A_{str} – aria suprafeței strivite (m^2 , cm^2); pag. 115

A_f – aria secțiunii forfecate
(m^2 , cm^2); pag. 129

A – absorbția acustică a unei
încăperi (m^2); rel. (6.13)

a – coeficientul de difuzivitate
termică (m^2/s); pag. 165

C

c – coeficientul de siguranță în me-
toda rezistențelor admisibile (–);
rel. (2.2)

C_e – coeficient prin care se ține
seama de condițiile de expu-
nere ale amplasamentului
construcției (–); rel. (3.3)

$c_e(z)$ – factorul de expunere la
înălțimea „ z ” deasupra
terenului (–); rel. (3.11)

$c_g(z)$ – factorul de rafală (–);
pag. 66

c_d – coeficientul de răspuns dina-
mic la vânt al construcției (–);
pag. 70

c_p – căldura specifică la presiune
constantă ($J/Kg^\circ C$); pag. 152

C_v – constanta gazelor pentru
vapori de apă ($J/mol.K$);
pag. 215

c_r – coeficientul de siguranță în me-
toda de calcul la rupere (–);
rel. (2.2)

C_t – coeficient termic prin care se
ține seama de topirea zăpezii
datorită pierderilor termice ale
clădirii (–); rel. (3.3)

c_p – coeficient aerodinamic de
presiune (–); pag. 66

$c_r(z)$ – factorul de rugozitate (–);
pag. 66

c_{fr} – coeficient de frecare pentru
vânt (–); pag. 70

c_a – căldura specifică masică a
aerului interior ($J/(Kg^\circ C)$);
pag. 210

c – viteza de propagare a undelor
(m/s); rel. (6.1)

D

D_{\max} – dimensiunea limită maximă (mm); rel. (1.3)

D_{constr} – dimensiunea de construcție (mm); rel. (1.4)

$D_{\text{ef.max}}^c, D_{\text{ef.min}}^c$ – dimensiunile efective maxime, respectiv minime, ale elementului cuprins (mm); rel. (1.5)

D – coeficientul de difuzie a vaporilor (m/s); pag. 216

D_{\min} – dimensiunea limită minimă (mm); rel. (1.3)

$D_{\text{ef.max}}^c, D_{\text{ef.min}}^c$ – dimensiunile efective maxime, respectiv minime, ale elementului cuprinzător (mm); rel. (1.5)

D – indicele de inerție termică (–); rel. (5.49), (5.50)

d_w – grosimea stratului în care se acumulează umiditatea (m); pag. 229

E

E – modulul de elasticitate (daN/cm^2); pag. 73

E_r – valoarea modulului de elasticitate a zidăriei la rupere (daN/cm^2); pag. 117

E_E – efectul acțiunii seismice (efort secțional, deplasare); pag. 93

E – energia sonoră (J); rel. (6.11)

E_a – energia sonoră a undelor absorbite (J); pag. 241

E_o – valoarea inițială a modulului de elasticitate a zidăriei (daN/cm^2); pag. 117

e_o – excentricitatea unei forțe (m); pag. 123

$E_{E,k}$ – efectul acțiunii seismice în modul „k” de vibrație; pag. 93

E_r – energia sonoră a undelor reflectate (J); pag. 241

E_t – energia sonoră a undelor transmise (J); pag. 241

F

F_w – forța globală pe direcția
vântului (daN); rel. (3.12)

F_b – forța seismică totală (forță
tăietoare de bază) (t);
rel. (3.21)

$F_{b,k}$ – forța tăietoare de bază apli-
cată pe direcția mișcării seis-
mice, în modul propriu de
vibrație „k” (t); rel. (3.26)

f – frecvența de oscilație (Hz);
pag. 234

F_{fr} – forța de frecare din vânt
(daN); rel. (3.13)

F_i – forța seismică orizontală static
echivalentă de la nivelul „i” (t);
rel. (3.25)

f – coeficient de frecare (–);
pag. 113

G

$G_{k,i}$ – efectul pe structură al
acțiunii permanente „i”,
luată cu valoarea sa carac-
teristică; pag. 96

G – coeficientul global de izolare
termică ($W/m^3^{\circ}C$);
rel. (5.80), (5.85)

grad T – gradient de temperatură
($^{\circ}C/m$); pag. 138

GN – coeficientul global normat de
izolare termică ($W/m^3^{\circ}C$);
pag. 213

H

h – înălțimea secțiunii (m, cm);
pag. 124

h_c – înălțimea zonei comprimate a
secțiunii (m, cm); pag. 127

I

I – momentul de inerție (m^4);
pag. 74

i_c – raza de girație a zonei
comprimate (m); pag. 127

I_o – intensitatea acustică de
referință (W/m^2); pag. 237

$I_{a,o}$ – intensitatea auditivă de refe-
rință a sunetului (W/m^2);
pag. 239

i – raza de girație (m); pag. 121

I – intensitate acustică (W/m^2);
rel. (6.3)

I_a – intensitatea auditivă a sunetului
(W/m^2); pag. 239

J

J_{max}, J_{min} – jocul maxim, respec-
tiv minim (mm);
rel. (1.5)

K

k – coeficientul de siguranță
pentru materiale (–); pag. 39

L

L – coeficient de cuplaj termic
($W/^\circ C$); pag. 211

L_p – nivelul de presiune sonoră
(dB); rel. (6.9)

L_i – nivelul intensității sonore (Beli
sau dB); rel. (6.5), (6.6)

L_a – nivelul de intensitate auditivă
(fon); rel. (6.10)

M

m – masa (Kg, t);

m_i – masa de nivel (t); Fig. 3.23.b

M_{\max} – momentul maxim (daNm);
rel. (2.3)

M_r – momentul de rupere (daNm);
rel. (2.3)

M – coeficient de difuzie a
vaporilor de apă (1/s);
pag. 220

m_w – cantitatea de apă condensată
în masa unui element (iarna)
(Kg/m²); rel. (5.102)

m_v – cantitatea de apă evaporată
dintr-un element (vara)
(Kg/m²); rel. (5.103)

N

N_{\max} – efortul axial maxim (daN);
rel. (2.3)

N_r – efortul axial de rupere (daN);
rel. (2.3)

N_d – solicitarea axială de calcul
(daN); rel. (4.25)

N_k – solicitarea axială caracteristică
(normată) (daN); pag. 122

n – coeficientul încărcării (–);
pag. 39

n – viteza de ventilare naturală (rata
ventilării) (1/h); pag. 212

N_w – numărul de ore al perioadei
în care are loc fenomenul de
condensare (h); pag. 228

N_v – numărul de ore al perioadei
în care are loc fenomenul de
evaporare (h); pag. 228

P

P_k – valoarea caracteristică (normalată) a încărcării permanente (daN); rel. (3.1)

p_v – presiune parțială a vaporilor de apă (Pa); rel. (5.92)

P_v – permeabilitatea la vaporii (g/m².h.Pa sau h/m); rel. (5.94)

p_o – presiunea acustică de referință (Pa); pag. 238

$p_{a,o}$ – presiune auditivă de referință a sunetului (W/m²); pag. 239

P_d – valoarea de calcul a încărcării permanente (daN); rel. (3.2)

p_s – presiune de saturație a vaporilor de apă (Pa); pag. 217

p – presiunea acustică (bar, Pa); pag. 235

p_a – presiune auditivă a sunetului (W/m²); pag. 239

Q

q_{ref} – presiune de referință a vântului (daN/m²); rel. (3.9); pag. 68

$Q_{k,j}$ – efectul pe structură al acțiunii variabile „j”, luată cu valoarea sa caracteristică; pag. 96

Q – cantitatea de căldură (J, Wh); pag. 139

q – factorul de comportare (la încărcarea seismică) (–); pag. 87, 90

$Q_{k,1}$ – efectul pe structură al acțiunii variabile cu ponderea predominantă, luată cu valoarea sa caracteristică; pag. 96

q – fluxul termic unitar (densitatea fluxului termic) (W/m²); pag. 140

R

r – numărul curent al unui mod de vibrație (-); pag. 93

R_b^n – rezistența normată (caracteristică) a blocului de zidărie (daN/cm^2); pag. 110

$R_{t,n}^n$ – rezistența normată (caracteristică) de aderență la întindere a zidăriei (daN/cm^2); rel. (4.2)

$R_{f,t}^n$ – rezistența de rupere la forfecare după secțiuni nelegate a zidăriei (daN/cm^2); rel. (4.5)

R_{str}^n – rezistența la strivire a zidăriei (daN/cm^2); rel. (4.7)

R' – rezistența termică specifică corectată ($\text{m}^2\text{°C/W}$); rel. (5.74)

R_v – rezistența la permeabilitatea vaporilor ($\text{m}^2 \cdot \text{h} \cdot \text{Pa/g}$ sau m/h); rel. (5.94)

R_{aef} – gradul (indicele) de izolare acustică efectiv (dB); rel. (6.15), (6.16)

R_z^n – rezistența normată la compresiune a zidăriei (daN/cm^2); rel. (4.1)

R_b^n – rezistența normată (caracteristică) a mortarului (daN/cm^2); pag. 110

$R_{t,t}^n$ – rezistența normată (caracteristică) la întindere tangențială a zidăriei (daN/cm^2); rel. (4.3), (4.4)

$R_{f,n}^n$ – rezistența de rupere la forfecare după secțiuni legate a zidăriei (daN/cm^2); rel. (4.6)

R – rezistență termică unidirecțională ($\text{m}^2\text{°C/W}$); rel. (5.19)

R'_{min} – rezistență termică specifică corectată minimă necesară (normată) ($\text{m}^2\text{°C/W}$); pag. 201

R_{an} – gradul (indicele) de izolare acustică necesar (dB); rel. (6.14)

S

S_{\max} – solicitarea maximă posibilă;
rel. (2.4)

s_k – valoarea caracteristică a
încărcării din zăpadă pe
acoperiș (daN/m^2); rel. (3.3)

s_d – intensitatea de calcul a încărcării din zăpadă (daN/m^2);
rel. (3.4)

s_i – componenta modului fundamental de vibrație, pe direcția gradului de libertate dinamică de translație, la nivelul „i” (m);
Fig. 3.23.c; pag. 91

s – coeficient de asimilare termica
($\text{W/m}^2\text{°C}$); rel. (5.47), (5.48)

S_{\min}^{cap} – capacitatea portantă minimă
probabilă a secțiunii; pag. 41

$s_{0,k}$ – valoarea caracteristică a
încărcării din zăpadă pe
sol (daN/m^2); rel. (3.3)

$S_d(T)$ – ordonata spectrului de răspuns de proiectare pentru
acceleerații (m/s^2); pag. 85

$s_{i,k}$ – componenta pe direcția gradului de libertate dinamică de translație la nivelul „i” în modul de vibrație „k” (m);
Fig. 3.23.c,d,e; pag. 93

T

T_D – toleranța dimensională (mm);
rel. (1.3)

T_{\max} – forța tăietoare maximă
(daN); rel. (2.3)

T_1 – perioada fundamentală (s);
pag. 84

T – intervalul de mediere pentru
calculul vitezei medii a
vântului (min); rel. (3.6)

T_J – toleranța jocului (mm);
rel. (1.6)

T_r – forța tăietoare de rupere
(daN); rel. (2.3)

T_B , T_C și T_D – perioade de control
(de colț) (s); pag. 86

T – temperatura (K, °C); pag. 135

T_+^n, T_-^n – temperatura exterioară
normată maximă/minimă
(°C); rel. (3.19)

T_{0+}, T_{0-} – temperaturile inițiale
(pozitive sau negative)
din faza terminării con-
strucției (°C); pag. 74

T_{si}, T_{se} – temperaturile suprafeței
interioare/exterioare a unui
element (°C, K); pag. 142

T_i, T_e – temperatura aerului inte-
rior, respectiv exterior
(°C, K); pag. 151

T_s – temperatura la suprafața unui
corp (°C, K); pag. 158

T_f – temperatura într-un fluid
(°C, K); pag. 158

T – perioada de oscilație (s);
pag. 234

U

U – viteza medie a vântului (m/s);
rel. (3.5), (3.6)

$U(z,t)$ – viteza vântului la momen-
tul „t”, la înălțimea „z”
(m/s); rel. (3.7)

$U(z)$ – viteza medie a vântului la
înălțimea „z” (m/s); rel. (3.7)

u_i – viteza vântului la momentul
„i” (m/s); rel. (3.5)

$u(z,t)$ – partea fluctuantă a vitezei
vântului (componenta de
rafală) la momentul „t”, la
înălțimea „z” (m/s); rel. (3.7)

U – coeficientul de transfer termic
(W/m²°C); rel. (5.38)

U' – coeficientul de transfer
termic corectat (W/m²°C);
rel. (5.64)

U_g – umiditatea gravimetrică a
materialelor (%); rel. (5.93)

U_v – umiditatea volumetrică a
materialelor (%); rel. (5.93)

V

v – viteza (m/s); pag. 62

W

$w(z)$ – presiunea vântului la înălțimea „ z ” deasupra terenului, normală pe suprafețele structurii (daN/m^2); rel. (3.10)

W – modulul de rezistență (cm^3);
pag. 74

Y

y – distanța dintre centrul de greutate al secțiunii și marginea cea mai sollicitată (m); pag. 124

Z

z_i – înălțimea nivelului „ i ” în raport cu baza construcției (m); Fig. 3.23

Simboluri grecești

α

α – coeficient de dilatare termică
(–); pag. 73

α_c – coeficientul de transfer termic
de suprafață (superficial), prin
convecție ($\text{W}/\text{m}^2\text{°C}$); pag. 151

α – coeficientul de transfer termic
de suprafață (superficial)
($\text{W}/\text{m}^2\text{°C}$); pag. 158

α_a – coeficientul de absorbție al
unei suprafețe (–); rel. (6.12)

α – caracteristica elastică a
zidăriei (–); pag. 118

α_r – coeficientul de transfer termic
de suprafață (superficial), prin
radiație ($\text{W}/\text{m}^2\text{°C}$); rel. (5.17)

α_i, α_e – coeficienți de transfer ter-
mic superficial la suprafața
interioară/exterioară
($\text{W}/\text{m}^2\text{°C}$); pag. 159

β

$\beta(T)$ – spectrul normalizat de răs-
puns pentru componenta
orizontală a accelerației
terenului (–); pag. 87

β – gradul de zveltețe (–); pag. 121

β_o – factorul de amplificare dinamică
maximă a accelerației orizon-
tale a terenului de către
structură (–); pag. 87, 90

β_c – gradul de zveltețe al zonei
comprimate (–); rel. 4.35

γ

γ – coeficient parțial de siguranță
(–); pag. 39

γ_m – coeficient parțial de siguranță
pentru materiale (–); pag. 39

γ – greutatea tehnică a materialului (daN); rel. (3.1)

γ_{ℓ} – factorul de importanță-expunere al construcției (–); pag. 85

Δ, δ

Δ – deformația maxime (săgeată sau rotire); rel. (2.5)

$\bar{\Delta}$ – deformația limită (săgeată sau rotire); rel. (2.5)

$\Delta \ell$ – deformația unui element liniar (mm); rel. (3.15)

ΔT – diferența de temperatură (°C); pag. 73

ΔT_s – diferența dintre temperaturile suprafețelor unui element (°C); pag. 160

$\Delta \Phi$ – diferența de flux termic (J/h, W); pag. 199

ΔW – creșterea umidității la sfârșitul perioadei de condensare (%); rel. (5.105)

ΔW_{adm} – valoarea maximă admisibilă a creșterii umidității la sfârșitul perioadei de condensare (%); pag. 229

δ – coeficient de conductivitate a vaporilor (g/m.h.Pa); pag. 215

ε

ε – deformația relativă (–); pag. 73

ε – coeficientul de defazare termică (ore); pag. 169

η

η – coeficient de corecție pentru mortarele de mărci inferioare (–); pag. 110

θ

θ_r – temperatură de rouă ($^{\circ}\text{C}$);
pag. 221

λ

λ – coeficientul de conductivitate
termică ($\text{W/m}^{\circ}\text{C}$);
pag. 142, 146

λ – coeficientul de zveltețe (–);
pag. 121

λ – lungimea de undă (m); pag. 234

λ – factor de corecție pentru
încărcarea seismică (–); pag. 84

λ_c – coeficientul de zveltețe al
zonei comprimate (–); pag. 127

μ

μ_i – coeficientul de formă
(aglomerare) pentru încărcă-
rea din zăpadă (–); rel. (3.3)

μ_D – factorul rezistenței la per-
meabilitate la vapori (–);
pag. 220

μ – coeficientul de formă al diagra-
mei presiunilor (–); pag. 128

ν

ν – vâscozitatea cinematică (m^2/s);
pag. 152

ν – coeficientul de amortizare al
amplitudinii oscilațiilor tempe-
raturii aerului exterior (–);
rel. (5.51)

ρ

ρ – densitatea (Kg/m^3);

ρ_a – densitatea aerului (Kg/m^3);
pag. 65

ψ

ψ_0, ψ_1, ψ_2 – coeficienți de grupare
sau factori de simultaneitate (-); pag. 40

ψ – coeficientul liniar de transfer
termic ($\text{W/m}^2\text{C}$);
rel. (5.76), (5.78)

σ

σ – tensiunea (efortul unitar
normal) (daN/cm^2); pag. 73

σ_a – tensiunea normală admisibilă
(daN/cm^2); rel. (2.2)

σ_{lim} – rezistența normală limită
(daN/cm^2); rel. (2.2)

σ_{max} – tensiunea normală maximă
(daN/cm^2); rel. (2.1)

σ_{af} – rezistența admisibilă la
flambaj (daN/cm^2); pag. 119

σ_{ac} – rezistența admisibilă la
compresiune (daN/cm^2);
pag. 119

σ_c – rezistența limită la compresiune
(daN/cm^2); pag. 119

σ_{cr} – efortul critic de flambaj
(daN/cm^2); pag. 119

σ_{cr}^0 – efortul unitar critic corespunzător
modulului inițial de elasticitate E_0 al zidăriei
(daN/cm^2); pag. 120

σ_0 – efortul unitar mediu de
compresiune pe rostul forfecat
(daN/cm^2); pag. 129

τ

τ_a – tensiunea tangențială
admisibilă (daN/cm²); rel. (2.2)

τ_{\max} – tensiunea tangențială
maximă (daN/cm²); rel. (2.1)

τ – factor de corecție a diferenței
de temperatură (–); rel. (5.84)

τ_{\lim} – rezistența tangențială limită
(daN/cm²); rel. (2.2)

τ – timpul (h); pag. 142

φ

φ – coeficientul de flambaj (–);
rel. (4.14)

φ_1 – coeficientul de flambaj
corectat (–); rel. (4.34),
pag. 127

Φ, Φ' – fluxul termic (J/h, W);
pag. 139, 199

Φ – flux de energie acustică (W);
pag. 235

φ_s – umiditate absolută de
saturație (g/m³); pag. 217

φ_0 – coeficientul de flambaj corespunzător modulului inițial de elasticitate E_0 al zidăriei (–); rel. (4.22), (4.23)

φ_c – coeficientul de flambaj pentru zona comprimată a secțiunii (–); pag. 127

Φ_u – fluxul termic unidirecțional (J/h, W); pag. 199

φ_a – umiditate absolută (g/m³);
rel. (5.89)

φ_r – umiditate relativă (%);
rel. (5.90), (5.91)

χ

χ – coeficientul punctual de
transfer termic (W/°C);
rel. (5.77), (5.79)

Bibliografie

1. Asanache H. Higrotermica clădirilor, Editura Matrix Rom, București, 1999
2. Asanache H, Demir V., Delia F. Higrotermica clădirilor. Aplicații, Editura Matrix Rom, București, 2000
3. Beleş A., Ifrim M. Elemente de seismologie inginerască, Editura Tehnică, București, 1962
4. Ciornei Al. Cum concepem construcțiile civile, Editura JUNIMEA, Iași, 2000
5. Ciornei Al. Ingineria clădirilor, Editura JUNIMEA, Iași, 2006
6. Comșa E. Construcții civile, vol. I, partea I, II, Editura Universității Tehnice Cluj–Napoca, 1992
7. Comșa E., Moga I. Construcții civile, vol. II, Elemente de higrotermică și acustica clădirilor, Editura Universității Tehnice Cluj–Napoca, 1992
8. Focșa V. Higrotermica și acustica clădirilor, Editura Didactică și Pedagogică, București, 1975

9. Focşa V. Construcţii civile, vol I, II, III, Editura Institutului Politehnic Iaşi, 1978
10. Gavrilăş I. Fizica construcţiilor. Elemente de higrotermică, Editura CERMI, Iaşi, 2001
11. Gavrilăş I. Evaluarea şi reabilitarea termofizică a clădirilor, Editura Experţilor Tehnici, Iaşi, 2002
12. Ghiocel D., ş.a. Constructii civile, Editura Didactică şi Pedagogică, Bucureşti, 1985
13. Hamburger L. Introducere în teoria propagării căldurii. Conducţia prin solide, Editura Academiei R.P.R., 1956
14. Hernot D., Porcher G. Thermique appliqué aux bâtiments, Les édition parisiennes CFP (chaud froid plomberie), Paris, 1995
15. Ifrim M. Analiza dinamică a structurilor şi inginerie seismică, Editura Didactică şi Pedagogică, Bucureşti, 1973
16. Lienhard J.H. IV, Lienhard J.H. V A Heat Transfer Textbook, Phlogiston Press, Cambridge, Massachusetts, 2003
17. Lungu D., Ghiocel D. Metode probabilistice în calculul construcţiilor, Editura Tehnică, Bucureşti, 1982
18. Mihăescu A. Construcţii civile, Editura Institutului Politehnic Timişoara, 1980
19. Moga I. Contribuţii la optimizarea higrotermică a clădirilor din zona Cluj–Napoca, Teză de doctorat, Iaşi, 1987
20. Negoită Al., Focşa V., Radu A. ş.a. Construcţii civile, Editura Didactică şi Pedagogică, Bucureşti, 1976
21. Peştişanu C. Construcţii, Editura Didactică şi Pedagogică, Bucureşti, 1979

22. Radu A., Sardino R. Clădiri, Editura Institutului Politehnic Iași, vol. I (1972), vol. 2 (1974)
23. Radu A., Vereș Al. Construcții civile (partea I), Editura Institutului Politehnic Iași, 1985
24. Radu A., ș.a. Satisfacerea exigențelor de izolare termică și conservare a energiei în construcții, Editura Societății Academice “Matei-Teiu Botez”, Iași, 2003
25. Radu A., Bliuc I., Vasilache M. Higrotermică aplicată, Editura Societății Academice “Matei-Teiu Botez”, Iași , 2004
26. Roulet C.A. Santé et qualité de l’environnement intérieur dans les bâtiments, Collection „Gérer l’environnement”, Presses polytechniques et universitaires romandes, Lausanne, 2004
27. Salvadori M. Lupta împotriva gravitației, Editura Albatros, București, 1983
28. Salvadori M. Mesajul structurilor, Editura Tehnică, București, 1991
29. Ștefănescu D. Curs general de construcții, Editura Universității Tehnice Iași, 1995
30. Ștefănescu D., Velicu C. Clădiri civile, Editura Experților Tehnici, Iași, 1997
31. Vasilache M., Velicu C. Ghid pentru reabilitarea termică a clădirilor de locuit, Editura Experților Tehnici, Iași, 1997
32. Velicu C. Curs general de construcții, Editura Universității Tehnice Iași, 1995
33. Vereș Al., Vasilache M. Elemente de acustica clădirilor, Editura CERMI, Iași, 2002

- | | | |
|-----|-----------------|---|
| 34. | C107/1–97 | Normativ privind calculul coeficienților globali de izolare termică la clădirile de locuit |
| 35. | C107/2–97 | Normativ privind calculul coeficientului global de izolare termică la clădirile cu altă destinație decât cele de locuit |
| 36. | C107/3–97 | Normativ privind calculul termotehnic al elementelor de construcție ale clădirilor |
| 37. | C107/4–97 | Ghid pentru calculul performanțelor termotehnice ale clădirilor de locuit |
| 38. | C107/5–97 | Normativ privind calculul termotehnic al elementelor de construcție în contact cu solul |
| 39. | C107/6–02 | Normativ general privind calculul transferului de masă (umiditate) prin elementele de construcție |
| 40. | C107/7–02 | Normativ privind proiectarea la stabilitate termică a elementelor de închidere ale clădirilor |
| 41. | CR 1-1-3–2005 | Cod de proiectare. Evaluarea acțiunii zăpezii asupra construcțiilor |
| 42. | Cod NP-082-04 | Cod de proiectare. Bazele proiectării și acțiuni asupra construcțiilor. Acțiunea vântului |
| 43. | Cod P100-1/2004 | Cod de proiectare seismică – Partea I: prevederi de proiectare pentru clădiri |
| 44. | CR 0–2005 | Cod de proiectare. Bazele proiectării structurilor în construcții |